

การออกแบบเซอร์กิตเบรกเกอร์แบบโซลิดสเตตสำหรับระบบไฟฟ้าแรงต่ำ

**THE DESIGN OF A SOLID STATE CIRCUIT BREAKER FOR
LOW VOLTAGE POWER SYSTEM**

ศุภวัฒน์ คำทิพย์

วิทยานิพนธ์นี้เป็นส่วนหนึ่งของการศึกษาตามหลักสูตร
ปริญญาวิศวกรรมศาสตรมหาบัณฑิต สาขาวิชาวิศวกรรมไฟฟ้า

คณะวิศวกรรมศาสตร์

มหาวิทยาลัยเทคโนโลยีราชมงคลธัญบุรี

ปีการศึกษา 2558

ลิขสิทธิ์ของมหาวิทยาลัยเทคโนโลยีราชมงคลธัญบุรี

การออกแบบเซอร์กิตเบรกเกอร์แบบโซลิตสเตตสำหรับระบบไฟฟ้าแรงต่ำ

ศุภวัฒน์ คำทิพย์

วิทยานิพนธ์นี้เป็นส่วนหนึ่งของการศึกษาตามหลักสูตร
ปริญญาวิศวกรรมศาสตรมหาบัณฑิต สาขาวิชาวิศวกรรมไฟฟ้า

คณะวิศวกรรมศาสตร์

มหาวิทยาลัยเทคโนโลยีราชมงคลธัญบุรี

ปีการศึกษา 2558

ลิขสิทธิ์ของมหาวิทยาลัยเทคโนโลยีราชมงคลธัญบุรี

หัวข้อวิทยานิพนธ์ การออกแบบเซอร์กิตเบรกเกอร์แบบ โซลิดสเตตสำหรับระบบไฟฟ้าแรงต่ำ
The Design of a Solid State Circuit Breaker for Low Voltage System
ชื่อ - นามสกุล นายศุภวัฒน์ คำทิพย์
สาขาวิชา วิศวกรรมไฟฟ้า
อาจารย์ที่ปรึกษา รองศาสตราจารย์กฤษณ์ชนม์ ภูมิภิตติพิชญ์, Ph.D.
อาจารย์ที่ปรึกษาร่วม ผู้ช่วยศาสตราจารย์ณัฐภัทร พันธุ์คง, Ph.D.
ปีการศึกษา 2558

คณะกรรมการสอบวิทยานิพนธ์

..... ประธานกรรมการ
(ผู้ช่วยศาสตราจารย์วันชัย ทรัพย์สิงห์, Ph.D.)
..... กรรมการ
(ผู้ช่วยศาสตราจารย์สาคร โพธิ์งาม, วศ.ด.)
..... กรรมการ
(ผู้ช่วยศาสตราจารย์บุญยัง ปลั่งกลาง, Dr.-Ing.)
..... กรรมการ
(ผู้ช่วยศาสตราจารย์ณัฐภัทร พันธุ์คง, Ph.D.)
..... กรรมการ
(รองศาสตราจารย์กฤษณ์ชนม์ ภูมิภิตติพิชญ์, Ph.D.)

คณะวิศวกรรมศาสตร์ มหาวิทยาลัยเทคโนโลยีราชมงคลธัญบุรี อนุมัติวิทยานิพนธ์ฉบับนี้
เป็นส่วนหนึ่งของการศึกษาตามหลักสูตรปริญญาวิทยาศาสตรบัณฑิต

.....คณบดีคณะวิศวกรรมศาสตร์

(ผู้ช่วยศาสตราจารย์ตีวกร อ่างทอง, Ph.D.)

วันที่ 19 เดือน พฤษภาคม พ.ศ. 2559

| | |
|----------------------|--|
| หัวข้อวิทยานิพนธ์ | การออกแบบเซอร์กิตเบรกเกอร์แบบ โซลิดสเตตสำหรับระบบไฟฟ้าแรงต่ำ |
| ชื่อ-นามสกุล | นายศุภวัฒน์ คำทิพย์ |
| สาขาวิชา | วิศวกรรมไฟฟ้า |
| อาจารย์ที่ปรึกษา | รองศาสตราจารย์กฤษณ์ชนม์ ภูมิภักดีพิชญ์, Ph.D. |
| อาจารย์ที่ปรึกษาร่วม | ผู้ช่วยศาสตราจารย์ณัฐภัทร พันธุ์คง, Ph.D. |
| ปีการศึกษา | 2558 |

บทคัดย่อ

วิทยานิพนธ์นี้มีวัตถุประสงค์เพื่อออกแบบเซอร์กิตเบรกเกอร์แบบ โซลิดสเตตสำหรับระบบไฟฟ้าแรงต่ำซึ่งเซอร์กิตเบรกเกอร์ที่ใช้ทั่วไปไม่สามารถป้องกันความผิดพลาดได้ทั้งหมด เนื่องจากการทำงานของเซอร์กิตเบรกเกอร์จะมีโครงสร้างการป้องกันอยู่ 2 แบบคือแผ่น โลหะคู่ทำหน้าที่ในการตรวจจับกระแสไฟฟ้าไหลเกินและขดลวดแม่เหล็กไฟฟ้าทำหน้าที่ตรวจจับการลัดวงจร

การทำงานของเซอร์กิตเบรกเกอร์จึงได้แบ่งขั้นตอนการทำงานคือขั้นตอนการตรวจจับกระแสและแรงดันไฟฟ้า ขั้นตอนการสวิตช์ และขั้นตอนการทำงานเมื่อมีสิ่งผิดปกติเกิดขึ้น จึงพบได้ว่าปัญหาการทำงานของเซอร์กิตเบรกเกอร์ยังไม่สามารถแก้ปัญหาคุณภาพไฟฟ้าได้ทั้งหมด ดังนั้นวิทยานิพนธ์นี้จึงได้ศึกษาและออกแบบเซอร์กิตเบรกเกอร์แบบ โซลิดสเตตเพื่อแก้ปัญหาดังกล่าว โดยใช้สวิตช์แบบ โซลิดสเตตเป็นตัวตัดต่อวงจรและใช้ไมโครคอนโทรลเลอร์เป็นตัวประมวลผลและส่งสัญญาณภายใต้เงื่อนไข แรงดันไฟฟ้าตก แรงดันไฟฟ้าเกิน กระแสไฟฟ้าเกิน กระแสไฟฟ้ารั่ว การลัดวงจรและการอาร์ค โดยการตรวจจับเหตุการณ์ แรงดันไฟฟ้าเกิน แรงดันไฟฟ้าตก กระแสไฟฟ้าเกินและกระแสไฟฟ้ารั่วจะใช้วิธีการตรวจจับแบบอาร์เอ็มเอส ส่วนการลัดวงจรจะใช้การตรวจจับค่ายอด และการตรวจจับอาร์คจะใช้วิธีการวัดความเข้มแรงแห่งสัญญาณด้านรับ (อาร์เอสเอสไอ)

การจำลองการทำงานของเซอร์กิตเบรกเกอร์แบบ โซลิดสเตตขนาดพิกัดกระแสทริป 30 แอมแปร์ แรงดันไฟฟ้า 220 โวลต์ ความถี่ 50 เฮิร์ตซ์ จะจำลองการลัดวงจรเมื่อเกิด แรงดันไฟฟ้าเกิน แรงดันไฟฟ้าตก กระแสไฟฟ้าเกิน กระแสไฟฟ้ารั่ว การลัดวงจรและการอาร์ค และสร้างต้นแบบเซอร์กิตเบรกเกอร์แบบ โซลิดสเตตขนาดพิกัดตามที่เสนอและได้ทำการทดสอบการตัดและต่อวงจรในสภาวะผิดปกติ โดยอ้างอิงมาตรฐาน IEC 60898 และ มาตรฐาน UL 1966 ดังนั้นการออกแบบเซอร์กิตเบรกเกอร์แบบ โซลิดสเตตในวิทยานิพนธ์นี้สามารถเป็นต้นแบบและนำไปพัฒนาได้ในอนาคต

คำสำคัญ : เซอร์กิตเบรกเกอร์แบบ โซลิดสเตต ความผิดพลาด กระแสทริป การอาร์ค อาร์เอสเอสไอ

| | |
|--------------------------|--|
| Thesis Title | The Design of a Solid State Circuit Breaker for Low Voltage System |
| Name-Surname | Mr. Supawat Kamtip |
| Program | Electrical Engineering |
| Thesis Advisor | Associate Professor Krischonme Bhumkittipich, Ph.D. |
| Thesis Co-advisor | Assistant Professor Nathabhat Phankong, Ph.D. |
| Academic Year | 2015 |

ABSTRACT

This study aims to design a solid state circuit breaker (SSCB) for low voltage system. The general circuit breaker could not protect all faults because the bimetal structure detected excess overload current while the magnetic coil detected the short circuit.

The operation of general circuit breakers can be classified the operation process involved detection of voltage and current, switching process, and abnormal operation process. This circuit breaker could not detect all of power quality problem, so the design of the SSCB is created using IGBTs as switching devices and the microcontroller as the processor under conditions of voltage sag, voltage swell, overload current, leakage current, short circuit, and arcing. By the way, The voltage sag, voltage swell, overload current and leakage current were detected by RMS method while the short circuit was detected by peak detection method and Received Signal Strength Indication (RSSI) method detected arcing phenomena.

The design of the SSCB included 30 AT, 220 V, and 50 Hz and displayed signal voltage and current. It was disconnected in case of voltage sag, voltage swell, overload current, leakage current, short circuit, and arcing. The results revealed that voltage and current signal were disconnected and connected in abnormal conditions by referring to the IEC 60898 and UL1966 standards. Therefore, this SSCB can be created as the principles of SSCB develop in the future.

Keywords: solid state circuit breaker, fault, ampere trip (AT), arcing, RSSI

กิตติกรรมประกาศ

วิทยานิพนธ์นี้ได้สำเร็จลุล่วงด้วยดีข้าพเจ้าขอขอบพระคุณอาจารย์ที่ปรึกษา รองศาสตราจารย์ ดร.กฤษณ์ชนม์ ภูมิภักติพิชญ์ ที่ปรึกษาวิทยานิพนธ์ ผู้ช่วยศาสตราจารย์ ดร.ภัทร พันธุ์คง ที่ปรึกษาร่วม ประธานการสอบวิทยานิพนธ์ ผู้ช่วยศาสตราจารย์ ดร.วันชัย ทรัพย์สิงห์ ผู้ช่วยศาสตราจารย์ ดร.สาคร โพธิ์งาม ผู้ทรงคุณวุฒิ และผู้ช่วยศาสตราจารย์ ดร.บุญยัง ปลั่งกลาง กรรมการสอบวิทยานิพนธ์ ที่กรุณาให้คำแนะนำและให้คำปรึกษาตลอดจนให้ความช่วยเหลือแก้ไขข้อบกพร่องต่าง ๆ เพื่อให้วิทยานิพนธ์ฉบับนี้มีความสมบูรณ์ ซึ่งผู้วิจัยขอกราบขอบพระคุณเป็นอย่างสูงไว้ ณ โอกาสนี้

ขอขอบคุณผู้ทรงคุณวุฒิทั้ง 5 ท่าน ที่ให้ความอนุเคราะห์ประเมินรับรองต้นแบบชิ้นงานวิจัยและให้คำแนะนำอันเป็นประโยชน์ในการทำวิจัย ขอขอบคุณศูนย์วิจัยระบบไฟฟ้ากำลังและพลังงานที่ให้ความอนุเคราะห์อุปกรณ์และเครื่องมือที่ใช้ในการวิจัย และขอขอบใจเพื่อนนักศึกษาระดับปริญญาโทและเอก ทุกคนที่ให้ความสนใจในการดำเนินกิจกรรมการวิจัยจนได้ความสมบูรณ์ของงาน ขอขอบคุณบุคลากร บัณฑิตวิทยาลัยทุกคนที่เป็นกำลังใจ และให้ความช่วยเหลือตลอดช่วงเวลาของการศึกษาและทำการวิจัย

คุณค่าอันพึงมีจากวิทยานิพนธ์ฉบับนี้ ขอมอบเพื่อบูชาพระคุณบิดา มารดา ครู อาจารย์ และผู้มีพระคุณทุกท่าน

ศุภวัฒน์ คำทิพย์

สารบัญ

| | หน้า |
|---|------|
| บทคัดย่อภาษาไทย..... | (3) |
| บทคัดย่อภาษาอังกฤษ..... | (4) |
| กิตติกรรมประกาศ..... | (5) |
| สารบัญ..... | (6) |
| สารบัญตาราง..... | (8) |
| สารบัญรูป..... | (9) |
| สัญลักษณ์และคำย่อ..... | (11) |
| สารบัญรูป..... | (12) |
| บทที่ 1 บทนำ..... | 13 |
| 1.1 ความเป็นมาและความสำคัญของปัญหา..... | 13 |
| 1.2 วัตถุประสงค์ของการวิจัย..... | 15 |
| 1.3 สมมุติฐานของการวิจัย..... | 15 |
| 1.4 ขอบเขตของการวิจัย..... | 16 |
| 1.5 ขั้นตอนในการดำเนินงาน..... | 16 |
| 1.6 ข้อจำกัดของวิทยานิพนธ์..... | 16 |
| 1.7 ประโยชน์ที่คาดว่าจะได้รับ..... | 16 |
| บทที่ 2 ทฤษฎีและงานวิจัยที่เกี่ยวข้อง..... | 17 |
| 2.1 งานวิจัยที่เกี่ยวข้องของเซอร์กิตเบรกเกอร์แบบ โซลิตสเตด..... | 17 |
| 2.2 ความเป็นมาของปัญหาที่เกิดขึ้นในปัจจุบัน..... | 20 |
| 2.3 เซอร์กิตเบรกเกอร์ทั่วไป..... | 23 |
| 2.4 เซอร์กิตเบรกเกอร์แบบ โซลิตสเตด..... | 26 |
| 2.5 วงจรสับเบอรั..... | 30 |
| 2.6 การตรวจจับ..... | 33 |
| 2.7 กรอบของการทำงานวิจัย..... | 42 |
| 2.8 สรุปงานวิจัยที่เกี่ยวข้อง..... | 43 |

สารบัญ (ต่อ)

| | หน้า |
|---|------|
| บทที่ 3 เซอร์กิตเบรกเกอร์แบบโซลิดสเตต..... | 45 |
| 3.1 การทำงานของเซอร์กิตเบรกเกอร์แบบโซลิดสเตต..... | 46 |
| 3.2 การทำงานของเซอร์กิตเบรกเกอร์แบบโซลิดสเตตกรณีที่เกิดแรงดันไฟฟ้าเกิน..... | 48 |
| 3.3 การทำงานของเซอร์กิตเบรกเกอร์แบบโซลิดสเตตกรณีที่เกิดแรงดันไฟฟ้าตก..... | 49 |
| 3.4 การทำงานของเซอร์กิตเบรกเกอร์แบบโซลิดสเตตกรณีที่เกิดกระแสไฟฟ้าเกิน..... | 50 |
| 3.5 การทำงานของเซอร์กิตเบรกเกอร์แบบโซลิดสเตตกรณีที่เกิดการอาร์ค..... | 51 |
| 3.6 การทำงานของเซอร์กิตเบรกเกอร์แบบโซลิดสเตตกรณีที่เกิดกระแสไฟฟ้ารั่ว..... | 52 |
| 3.7 การทำงานของเซอร์กิตเบรกเกอร์แบบโซลิดสเตตกรณีที่เกิดลัดวงจร..... | 53 |
| บทที่ 4 การทดสอบการทำงานและผลการวิเคราะห์ข้อมูล..... | 54 |
| 4.1 ชุดทดสอบของเซอร์กิตเบรกเกอร์แบบโซลิดสเตต..... | 54 |
| 4.2 การทดสอบการทำงานของการตรวจจับแรงดันและกระแส..... | 55 |
| 4.3 การทดสอบการตัดและต่อวงจรของเซอร์กิตเบรกเกอร์แบบโซลิดสเตต..... | 59 |
| 4.4 การทดสอบกำลังสูญเสียของเซอร์กิตเบรกเกอร์แบบโซลิดสเตตขณะทำการสวิตช์..... | 60 |
| 4.5 การทดสอบเซอร์กิตเบรกเกอร์แบบโซลิดสเตต..... | 62 |
| 4.6 เปรียบเทียบและสรุปผล..... | 65 |
| บทที่ 5 สรุปผลการวิจัย การอภิปรายผล และข้อเสนอแนะ..... | 66 |
| 5.1 สรุปผลการวิจัย..... | 66 |
| 5.2 ข้อเสนอแนะ..... | 68 |
| บรรณานุกรม..... | 69 |
| ภาคผนวก..... | 75 |
| ภาคผนวก ก ข้อมูลต่างๆ..... | 76 |
| ภาคผนวก ข การออกแบบและวงจรทดลอง..... | 96 |
| ภาคผนวก ค ผลงานตีพิมพ์เผยแพร่..... | 105 |
| ประวัติผู้เขียน..... | 152 |

สารบัญตาราง

| | หน้า |
|---|------|
| ตารางที่ 2.1 สาเหตุและผลกระทบของปรากฏการณ์ทางด้านคุณภาพกำลังไฟฟ้า..... | 20 |
| ตารางที่ 2.2 มาตรฐาน IEEE Std 242-2001 กำหนดค่าการเคลียร์ฟอลต์ของเซอร์กิตเบรกเกอร์..... | 26 |
| ตารางที่ 5.1 การเปรียบเทียบเซอร์กิตเบรกเกอร์ทั่วไปกับเซอร์กิตเบรกเกอร์แบบโซลิดสเตต..... | 66 |
| ตารางที่ 5.2 การเปรียบเทียบเวลาการทำงานเซอร์กิตเบรกเกอร์..... | 67 |



สารบัญรูป

| | หน้า |
|---|------|
| รูปที่ 1.1 การทำงานของเซอร์กิตเบรกเกอร์แบบ โชลิตสตัด..... | 14 |
| รูปที่ 2.1 เซอร์กิตเบรกเกอร์เชิงกล..... | 24 |
| รูปที่ 2.2 การทำงานของเซอร์กิตเบรกเกอร์..... | 24 |
| รูปที่ 2.3 ส่วนการทำงานของเซอร์กิตเบรกเกอร์แบบ โชลิตสตัด..... | 26 |
| รูปที่ 2.4 วงจรสมมูลในอุปกรณ์สวิตซ์อิเล็กทรอนิกส์กำลัง..... | 28 |
| รูปที่ 2.5 กระแสที่ไหลผ่านอุปกรณ์สวิตซ์ที่ช่วงเวลาต่างๆ..... | 28 |
| รูปที่ 2.6 การทำงานของวงจรสับเบอ์เริ่มการทำงานของวงจร $t_0 < T < t_1$ | 30 |
| รูปที่ 2.7 การทำงานของวงจรสับเบอ์ $t_1 < T < t_2$ | 30 |
| รูปที่ 2.8 การทำงานของวงจรสับเบอ์ $t_2 < T < t_3$ | 31 |
| รูปที่ 2.9 วงจรสับเบอ์วงจร A และวงจร B..... | 31 |
| รูปที่ 2.10 การทำงานของวงจรสับเบอ์ $t_3 < T < t_4$ | 32 |
| รูปที่ 2.11 รูปคลื่นสัญญาณของไซน์..... | 33 |
| รูปที่ 2.12 สัญญาณของการควบคุมจากการตรวจจับที่มุมต่างกัน 90 องศาทางไฟฟ้า..... | 37 |
| รูปที่ 2.13 การอาร์ค Line to Line แบบขนาน..... | 39 |
| รูปที่ 2.14 การอาร์คแบบอนุกรม..... | 39 |
| รูปที่ 2.15 การอาร์ค Line to Ground..... | 40 |
| รูปที่ 2.16 กราฟแสดงความสัมพันธ์การอาร์คแบบขนาน(1) และอนุกรม(2)..... | 40 |
| รูปที่ 2.17 การประมวลผลของการตรวจจับอาร์ค..... | 41 |
| รูปที่ 2.18 กรอบของการทำงานวิจัย..... | 42 |
| รูปที่ 3.1 โครงสร้างภายในของเซอร์กิตเบรกเกอร์แบบ โชลิตสตัด..... | 45 |
| รูปที่ 3.2 การจำลองการต่อวงจรของเซอร์กิตเบรกเกอร์..... | 47 |
| รูปที่ 3.3 การจำลองรูปคลื่นการตัดวงจรของเซอร์กิตเบรกเกอร์แบบ โชลิตสตัด..... | 48 |
| รูปที่ 3.4 การจำลองเซอร์กิตเบรกเกอร์แบบ โชลิตสตัดขณะแรงดัน ไฟฟ้าเกิน..... | 49 |
| รูปที่ 3.5 การจำลองของเซอร์กิตเบรกเกอร์แบบ โชลิตสตัดขณะแรงดัน ไฟฟ้าตก..... | 50 |
| รูปที่ 3.6 การจำลองของเซอร์กิตเบรกเกอร์แบบ โชลิตสตัดขณะกระแส ไฟฟ้าเกิน..... | 51 |
| รูปที่ 3.7 การจำลองเซอร์กิตเบรกเกอร์แบบ โชลิตสตัดขณะเกิดการอาร์ค..... | 51 |

สารบัญรูป (ต่อ)

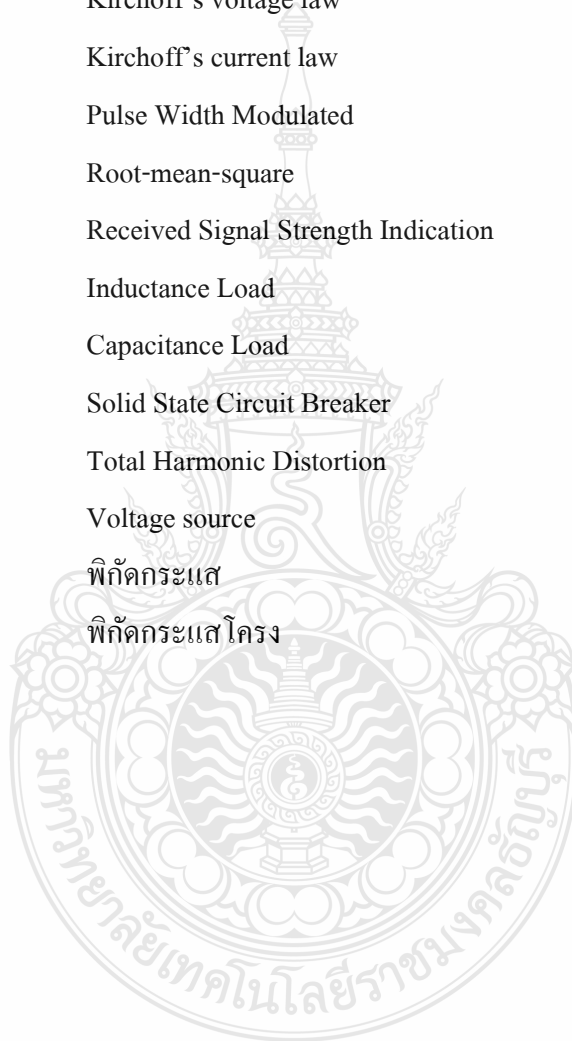
| | หน้า |
|--|------|
| รูปที่ 3.8 การจำลองเซอร์กิตเบรกเกอร์แบบโซลิดสเตตขณะกระแสไฟฟ้ารั่ว..... | 52 |
| รูปที่ 3.9 การจำลองการตัดวงจรของเซอร์กิตเบรกเกอร์แบบลัดวงจร..... | 53 |
| รูปที่ 4.1 โครงสร้างของของเซอร์กิตเบรกเกอร์แบบโซลิดสเตต..... | 54 |
| รูปที่ 4.2 แรงดันด้านเข้าและสัญญาณแรงดันเข้าบอร์ด STM32F4..... | 55 |
| รูปที่ 4.3 แรงดันด้านเข้าและสัญญาณแรงดันเข้าบอร์ด STM32F เมื่อเกิดแรงดันไฟฟ้าตก..... | 56 |
| รูปที่ 4.4 แรงดันด้านเข้าและสัญญาณแรงดันเข้าบอร์ด STM32F เมื่อเกิดแรงดันไฟฟ้าเกิน..... | 57 |
| รูปที่ 4.5 กระแสที่โหลดและสัญญาณกระแสเข้าบอร์ด STM32F เมื่อต่อวงจร..... | 58 |
| รูปที่ 4.6 กระแสที่โหลดและสัญญาณกระแสเข้าบอร์ด STM32F เมื่อตัดวงจร..... | 58 |
| รูปที่ 4.7 การอาร์คของเซอร์กิตเบรกเกอร์แบบโซลิดสเตต..... | 59 |
| รูปที่ 4.8 การทดสอบการต่อวงจรของเซอร์กิตเบรกเกอร์แบบโซลิดสเตต..... | 59 |
| รูปที่ 4.9 การทดสอบการตัดวงจรของเซอร์กิตเบรกเกอร์แบบโซลิดสเตต..... | 60 |
| รูปที่ 4.10 กำลังสูญเสียในการสวิตช์ของเซอร์กิตเบรกเกอร์แบบโซลิดสเตตเมื่อตัดวงจร..... | 61 |
| รูปที่ 4.11 กำลังสูญเสียในการสวิตช์ของเซอร์กิตเบรกเกอร์แบบโซลิดสเตตเมื่อต่อวงจร..... | 61 |
| รูปที่ 4.12 ทดสอบการลัดวงจรของเซอร์กิตเบรกเกอร์แบบโซลิดสเตต..... | 62 |
| รูปที่ 4.13 การทดสอบการอาร์คของเซอร์กิตเบรกเกอร์แบบโซลิดสเตต..... | 63 |
| รูปที่ 4.14 การทดสอบแรงดันเกินของเซอร์กิตเบรกเกอร์แบบโซลิดสเตต..... | 64 |
| รูปที่ 4.15 การทดสอบแรงดันตกของเซอร์กิตเบรกเกอร์แบบโซลิดสเตต..... | 64 |

คำอธิบายสัญลักษณ์และคำย่อ

| | |
|-------------------|---------------------------------------|
| สัญลักษณ์ | ความหมาย |
| C_S | ตัวเก็บประจุสแน็บเบอร์ |
| dv/dt | อัตราการเพิ่มของแรงดัน |
| dv/dt | ตัวเก็บประจุสแน็บเบอร์ |
| $i(t)$ | กระแสที่เกิดขึ้นทันทีทันใด |
| P_{AV} | กำลังสูญเสียของการสวิตช์ในขณะที่ทำงาน |
| P_Q | ค่ากำลังไฟฟ้าสูญเสียที่ไอจีบีที |
| P_R | ตัวต้านทานสแน็บเบอร์ |
| R_S | ตัวต้านทานสแน็บเบอร์ |
| T_a | อุณหภูมิแวดล้อม |
| T_{jmax} | อุณหภูมิการทำงานสูงสุด |
| $t_{conduct}$ | คาบเวลาในการสุมข้อมูล |
| $t_{com(max)}$ | ค่าเฉลี่ยของเวลาในการ Turn off |
| t_{off} | ช่วงเวลาหยุดนำกระแส (Off) |
| $t_{s,on}$ | ช่วงเวลาเริ่มนำกระแส (Turn On) |
| $t_{s,off}$ | ช่วงเวลาเริ่มหยุดนำกระแส (Turn Off) |
| $ V $ | ขนาดของแรงดันไฟฟ้า |
| $\angle V$ | มุมเฟสของแรงดันไฟฟ้า |
| $W_{con,loss}$ | การสูญเสียขณะนำกระแส |
| W_{on} | การสูญเสียขณะหยุดนำกระแส |
| W_{off} | จำนวนของตัวเก็บประจุ |
| $W_{s,loss}$ | การสูญเสียขณะสวิตช์ซึ่ง |
| $W_{s_on,loss}$ | การสูญเสียช่วงเริ่มนำกระแส |
| $W_{s_off,loss}$ | การสูญเสียช่วงเริ่มหยุดนำกระแส |

คำอธิบายสัญลักษณ์และคำย่อ (ต่อ)

| | |
|-------|---|
| คำย่อ | ความหมาย |
| AFCIs | Arc Fault Circuit Interrupters |
| ASD | Adjustable Speed Drive |
| IEC | Internationnal Electrotechique Commission |
| KVL | Kirchoff's voltage law |
| KCL | Kirchoff's current law |
| PWM | Pulse Width Modulated |
| RMS | Root-mean-square |
| RSSI | Received Signal Strength Indication |
| RL | Inductance Load |
| RC | Capacitance Load |
| SSCB | Solid State Circuit Breaker |
| THD | Total Harmonic Distortion |
| VS | Voltage source |
| AT | ฟิวส์กระแส |
| AF | ฟิวส์กระแส โครง |



บทที่ 1

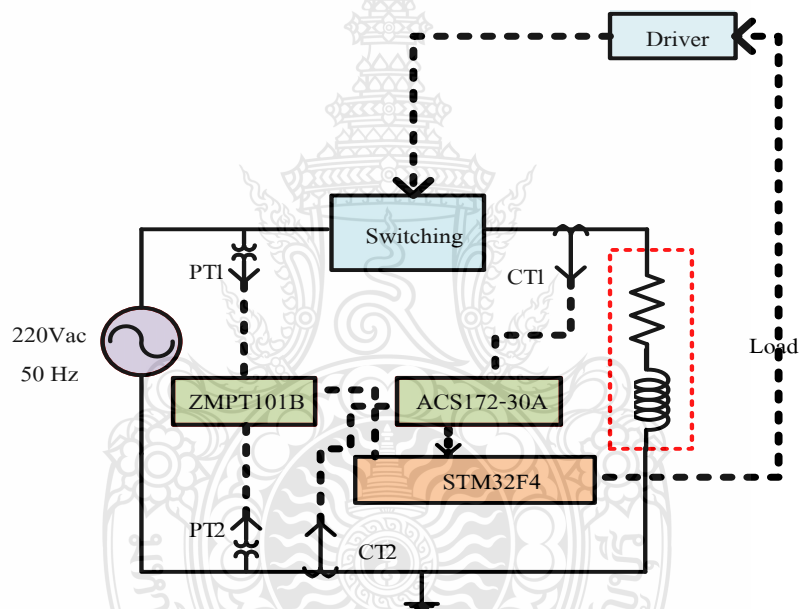
บทนำ

1.1 ความเป็นมาและความสำคัญของปัญหา

เมื่อกล่าวถึงเซอร์กิตเบรกเกอร์ที่มีใช้อยู่ในอดีตและปัจจุบันจะนิยมใช้เป็นอุปกรณ์ป้องกันเบื้องต้นของระบบไฟฟ้า เมื่อระบบเกิดความผิดปกติอุปกรณ์จะต้องทำงานหรือตัดวงจร เมื่อเกิดขึ้นซึ่งเมื่อเกิดความผิดปกติพ่วงนอกเหนือจากนี้จึงทำให้ระบบไฟฟ้าอยู่ในสภาวะอันตราย และปัญหาความไวของการทำงานของเซอร์กิตเบรกเกอร์เชิงกล อีกทั้งเมื่อมีการตัดวงจรยังมีปัญหาจากการอาร์คที่เกิดจากการแยกตัวของหน้าสัมผัสดังนั้นจึงมีการใช้เทคนิคมากมายหลายอย่างเช่น การใช้ก๊าซ SF6 ระบบสุญญากาศ ระบบแรงดันอากาศ และการใช้ของเหลว และยังมีอีกหลายอย่าง ดังนั้นการใช้โซลิดสเตตมาแทนทำให้ไม่เกิดการอาร์คเกิดขึ้นระหว่างการสวิตช์[1] อีกทั้งโวลตอินดักทีฟที่ทำให้เกิดแรงดันย้อนกลับ (Restriking Voltage) เมื่อเกิดการตัดวงจรยังมีพลังงานในรูปเส้นแรงแม่เหล็กอยู่ หลังจากนั้นเส้นแรงแม่เหล็กก็จะยุบตัวทำให้เกิดพลังงานไฟฟ้าจ่ายให้กับวงจรอีกครั้ง ดังนั้นการสวิตช์ที่กล่าวถึงยังมีปัญหาที่ต้องมีการปรับปรุงแก้ไขให้ดีขึ้น[2] ปัญหาของการตรวจจับของเซอร์กิตเบรกเกอร์ที่มีใช้อยู่ในปัจจุบันและอดีตจะสามารถป้องกันในสภาวะที่เกิดการลัดวงจรและกระแสเกินเท่านั้นไม่สามารถที่จะตัดวงจรหรือทำงานเมื่อเกิดเหตุการณ์ความผิดปกติ อาทิเช่น แรงดันผิดปกติ กระแสรั่ว การเกิดการอาร์คในระบบ[3] ดังนั้นความผิดปกติที่เกิดในระบบ เซอร์กิตเบรกเกอร์ที่มีใช้ในปัจจุบันจะไม่สามารถป้องกันและตัดวงจรได้[4] นั้นแสดงให้เห็นว่าระบบไฟฟ้าที่ใช้ในปัจจุบันและอดีตมีความเสี่ยงและอันตรายอย่างมาก เพราะไม่สามารถทำงานได้โดยอ้างอิงจากการออกแบบระบบไฟฟ้าเบื้องต้นอีกทั้งการใช้ไฟฟ้ายังใช้กันทั้งประเทศและตลอดเวลา จึงทำให้กล่าวได้ว่าระบบไฟฟ้าที่ไม่ปลอดภัยและมีความเสี่ยงอาจกำหนดความเชื่อมั่นของระบบไฟฟ้า

การกล่าวอ้างถึงการป้องกันและปัญหาที่การป้องกันในอดีตที่ไม่สามารถครอบคลุมทั้งหมด ดังนั้นการศึกษาอุปกรณ์ป้องกันในระบบไฟฟ้า เมื่อเกิดความผิดปกติในระบบไฟฟ้าสิ่งที่สำคัญและจำเป็นต้องมีอุปกรณ์ตรวจจับ[8] อุปกรณ์ป้องกันเพื่อจำกัดพื้นที่ของปัญหาและลดความเสียหายและอันตรายที่เกิดขึ้นกับผู้ใช้ไฟฟ้าและเครื่องใช้ไฟฟ้าในระบบไฟฟ้า วิทยานิพนธ์นี้มุ่งประเด็นศึกษาระบบไฟฟ้าแรงดันต่ำ กรณีที่แรงดันไฟฟ้าตก แรงดันไฟฟ้าเกิน กระแสไฟฟ้าเกิน กระแสไฟฟ้ารั่ว การลัดวงจร การอาร์ค[7]

การศึกษาพฤติกรรมการทำงานของเซอร์กิตเบรกเกอร์ที่มีโซ่อยู่ในปัจจุบัน มีเหตุการณ์ที่เซอร์กิตเบรกเกอร์ที่โซ่อยู่ทั่วไป ไม่สามารถที่จะตรวจจับเมื่อเกิดความผิดปกติที่เกิดขึ้น ดังนั้นจึงมีการศึกษาหลักการทำงาน การตรวจจับและการตัดต่อเมื่อระบบมีความผิดปกติเกิดขึ้นในระบบไฟฟ้า การตรวจจับจึงเป็นสิ่งสำคัญอันดับแรกในการทำงานของเซอร์กิตเบรกเกอร์ ดังนั้นเซอร์กิตเบรกเกอร์ที่มีโซ่ในปัจจุบันได้มีการนำเทคโนโลยีต่าง ๆ มาใช้เพื่อให้ได้คุณสมบัติตามต้องการ และประสิทธิภาพในการทำงานที่ดีที่สุด สิ่งสำคัญที่ต้องการในระบบไฟฟ้า คือ ความเร็วขณะทำงาน ความถูกต้องแม่นยำ ไม่ทำให้เกิดผลกระทบต่อระบบไฟฟ้า เมื่อมีการทำงาน สามารถทำงานได้หลายครั้งอย่างมั่นใจ รวมทั้งการสูญเสียพลังงานไฟฟ้า ในช่วงของการตัดและต่อในสภาวะปกติและสภาวะเกิดความผิดปกติของระบบไฟฟ้าแรงต่ำ



รูปที่ 1.1 ส่วนประกอบของเซอร์กิตเบรกเกอร์แบบโซลิดสเตต

ดังรูปที่ 1.1 การศึกษาวิทยานิพนธ์นี้ ได้นำอุปกรณ์อิเล็กทรอนิกส์กำลังมาใช้ในการวิจัย เนื่องจากเป็นที่ทราบกันว่าอุปกรณ์อิเล็กทรอนิกส์กำลังในปัจจุบันมีอัตราการทำงานแรงดันไฟฟ้าและกระแสไฟฟ้าที่สูงมาก งานวิจัยนี้ต้องการนำสถานะการนำกระแสและหยุดนำกระแสของอุปกรณ์อิเล็กทรอนิกส์กำลัง มาใช้แทนในส่วนของหน้าสัมผัสของเซอร์กิตเบรกเกอร์ เรียกว่า เซอร์กิตเบรกเกอร์แบบโซลิดสเตตเซอร์ โดยการจำลองการทำงานใน Matlab/Simulink ในการเกิดความผิดปกติชนิดต่างๆและ เมื่อเกิดความผิดปกติในระบบไฟฟ้าเซอร์กิตเบรกเกอร์แบบโซลิดสเตตสามารถที่จะทำงานได้ภายใต้เงื่อนไขการทำงานจากการจำลอง โดยนำไมโครคอนโทรลเลอร์ STM32F4 เข้ามา

ช่วยในประมวลผลการทำงาน โดยที่รับค่ากระแสจาก ตัวตรวจวัดกระแส ACS712-30A และตัวตรวจวัดแรงดัน ZMPT101B จากการตรวจจับความผิดปกติของรูปคลื่นกระแสไฟฟ้าและรูปคลื่นแรงดันไฟฟ้า โดยทำการผ่านกระบวนการของยกระดับสัญญาณ (Signal Conditioning) ก่อนที่สัญญาณกระแสไฟฟ้าและสัญญาณแรงดันไฟฟ้าจะเข้าไปยังช่อง อนุล็อกดิจิทัลคอนเวอร์เตอร์โมดูล จากนั้นชุดประมวลผลของไมโครคอนโทรลเลอร์ STM32F4 รับค่าสัญญาณและเข้าไปในชุดการโปรแกรม Waijung Blockset ของ Mathlab/Simulink โดยการกำหนดช่องสัญญาณอินพุตและเอาต์พุต

ดังนั้นในระบบไฟฟ้าจำเป็นต้องมีการออกแบบและจำลองความผิดปกติในกรณีต่างๆของระบบไฟฟ้า เพื่อให้อุปกรณ์ป้องกันที่มีประสิทธิภาพในการป้องกันปัญหาในระบบไฟฟ้า ในโครงการวิจัยนี้ได้เพิ่มในส่วนของการศึกษาการลัดวงจร กระแสไฟฟ้าเกิน แรงดันไฟฟ้าเกิน แรงดันไฟฟ้าตก กระแสไฟฟ้ารั่วและการอาร์ค ด้วยเหตุนี้จึงมีการพัฒนาและนำเอาเทคโนโลยีไมโครคอนโทรลเลอร์มาประยุกต์ใช้ซึ่งสามารถที่จะเสริมจุดอ่อนของอุปกรณ์ป้องกันที่มีอยู่ในปัจจุบัน โดยสามารถที่จะตรวจจับสัญญาณไฟฟ้าได้และใช้ไมโครคอนโทรลเลอร์ในการประมวลผลเพื่อตรวจจับความผิดปกติของรูปคลื่นทางไฟฟ้า

1.2 วัตถุประสงค์

1.2.1 เพื่อศึกษาปัญหาของแรงดันไฟฟ้าและกระแสไฟฟ้า กรณีของ แรงดันไฟฟ้าตก แรงดันไฟฟ้าเกิน กระแสไฟฟ้าเกิน กระแสไฟฟ้ารั่ว การลัดวงจรและการอาร์ค

1.2.2 เพื่อศึกษาและออกแบบการทำงานของเซอร์กิตเบรกเกอร์แบบโซลิดสเตตขนาดของกระแสทริป 30 แอมแปร์ พิกัดแรงดัน 220 โวลต์ เพื่อป้องกันอุปกรณ์ไฟฟ้าเมื่อเกิดความผิดปกติในระบบไฟฟ้า

1.2.3 เพื่อศึกษาแนวทางการพัฒนาเซอร์กิตเบรกเกอร์แบบโซลิดสเตต

1.3 สมมุติฐานของการวิจัย

การทำงานของวงจรเซอร์กิตเบรกเกอร์แบบโซลิดสเตต โดยศึกษาการทำงานของวงจรและสามารถออกแบบการทำงานและกำหนดขนาดของอุปกรณ์ ซึ่งสามารถทนกระแสไฟฟ้าและตัดวงจรเมื่อเกิดปัญหากับระบบไฟฟ้า โดยใช้ไอจีบีทีเป็นตัวสวิตช์และรับคำสั่งจากไมโครคอนโทรลเลอร์ และนำมาเป็นอุปกรณ์ป้องกัน จะต้องตัดวงจรเมื่อเกิดความผิดปกติเกิดขึ้น

1.4 ขอบเขตของการวิจัย

1.4.1 วิเคราะห์วงจรเซอร์กิตเบรกเกอร์แบบโซลิดสเตตสำหรับระบบจำหน่ายแรงต่ำขนาดของกระแสทริป 30 แอมแปร์ พิกัดแรงดัน 220 โวลต์

1.4.2 จำลองการทำงานของเซอร์กิตเบรกเกอร์แบบโซลิดสเตตสำหรับระบบจำหน่ายแรงต่ำขนาดของกระแสทริป 30 แอมแปร์ พิกัดแรงดัน 220 โวลต์

1.4.3 สร้างต้นแบบเซอร์กิตเบรกเกอร์แบบโซลิดสเตตสำหรับระบบจำหน่ายแรงต่ำขนาดของกระแสทริป 30 แอมแปร์ พิกัดแรงดัน 220 โวลต์

1.5 ขั้นตอนในการดำเนินการ

1.5.1 ศึกษาข้อมูลเกี่ยวกับเซอร์กิตเบรกเกอร์แบบโซลิดสเตต

1.5.2 ศึกษาการจำลองการทำงานของเซอร์กิตเบรกเกอร์แบบโซลิดสเตต

1.5.3 ออกแบบวงจรของเซอร์กิตเบรกเกอร์แบบโซลิดสเตต

1.5.4 วิเคราะห์การทำงานของเซอร์กิตเบรกเกอร์แบบโซลิดสเตต

1.5.5 ทำการทดลองโดยการจำลองด้วยโปรแกรมคอมพิวเตอร์

1.5.6 สรุปผลการจำลองของเซอร์กิตเบรกเกอร์แบบโซลิดสเตต

1.5.7 สร้างต้นแบบเซอร์กิตเบรกเกอร์แบบโซลิดสเตต

1.5.8 ทดสอบชิ้นงานของเซอร์กิตเบรกเกอร์แบบโซลิดสเตต

1.6 ข้อยกัณฑ์ของวิทยานิพนธ์

วิทยานิพนธ์นี้จะมีการออกแบบและจำลองการทำงานของเซอร์กิตเบรกเกอร์แบบโซลิดสเตตโดยใช้ไอจีบีทีเป็นวงจรการทำงานตัดและต่อวงจร และนำผลที่ได้จากการศึกษามาออกแบบและทดสอบเซอร์กิตเบรกเกอร์แบบโซลิดสเตต เพื่อใช้เป็นอุปกรณ์ป้องกันระบบไฟฟ้าแรงต่ำ

1.7 ประโยชน์ที่คาดว่าจะได้รับ

1.7.1 การออกแบบวงจรเซอร์กิตเบรกเกอร์แบบโซลิดสเตต

1.7.2 ต้นแบบวงจรเซอร์กิตเบรกเกอร์แบบโซลิดสเตต

1.7.3 การเผยแพร่ผลการวิจัยในการประชุมวิชาการด้านวิศวกรรมไฟฟ้า

1.7.4 การส่งเสริมการสร้างความมั่นคงของระบบจำหน่ายไฟฟ้าโดยรวมของประเทศ

1.7.5 ผลการศึกษาวิจัยและพัฒนาสามารถนำไปใช้งานได้จริง

บทที่ 2

ทฤษฎีและงานวิจัยที่เกี่ยวข้อง

การจำลองและการทดสอบอุปกรณ์ป้องกันเหตุการณ์ดังกล่าวจึงมีการการศึกษาทฤษฎีหรืองานวิจัยที่เกี่ยวข้องกับอุปกรณ์ป้องกันและลดความเสียหายของระบบไฟฟ้าแรงต่ำ ภายใต้เงื่อนไขที่กำหนดในการอุปกรณ์และเครื่องมือต่าง ๆ นำมาประยุกต์ใช้งาน ดังนั้นการออกแบบ การจำลอง การทดลองและการทดสอบจำเป็นต้องคำนึงถึงคุณสมบัติที่ดีคือความน่าเชื่อถือและถูกต้องความรวดเร็ว ความสามารถในการตรวจสอบได้และความง่ายในการใช้งาน

ดังนั้นจึงเป็นที่มาของการศึกษาทฤษฎีหรือการทำงานของเซอร์กิตเบรกเกอร์แบบโซลิดสเตตสำหรับระบบจำหน่ายแรงต่ำ การจำลองและการทดสอบอุปกรณ์การป้องกัน เมื่อเกิดความผิดปกติของระบบไฟฟ้าการศึกษาทฤษฎีหรืองานวิจัยที่เกี่ยวข้องกับอุปกรณ์ป้องกันและลดความเสียหายของระบบไฟฟ้าแรงต่ำ ที่ทำให้เกิดอันตรายและความเสียหายกับอุปกรณ์ไฟฟ้า เครื่องใช้ไฟฟ้าและผู้ใช้ไฟ จึงมีการศึกษาเหตุการณ์ต่างๆที่เกิดจากความผิดปกติของระบบไฟฟ้าแรงต่ำซึ่งมีเหตุการณ์ที่ใช้ทดสอบมีดังนี้ แรงดันไฟฟ้าตกน้อยกว่าหรือเท่ากับ 190 โวลต์แรงดันไฟฟ้าเกินมากกว่าหรือเท่ากับ 250 โวลต์กระแสไฟฟ้าเกินมากกว่าหรือเท่ากับ 30 แอมแปร์กระแสไฟฟ้ารั่วมากกว่าหรือเท่ากับ 25 มิลลิแอมแปร์และการอาร์ค

2.1 งานวิจัยที่เกี่ยวข้องของแบบเซอร์กิตเบรกเกอร์แบบโซลิดสเตต

การทำวิทยานิพนธ์นี้ได้ทำการศึกษาจากบทความต่างประเทศที่เกี่ยวข้องกับงานวิจัยเนื่องจากในประเทศไทยยังไม่มีผู้นำเสนองานวิจัยเกี่ยวกับเรื่องนี้ จึงยากต่อการหาเอกสารอ้างอิงสำหรับการทำวิทยานิพนธ์ในครั้งนี้ สำหรับเอกสารที่ได้ศึกษามา สรุปได้ดังนี้

Kai Ding, K.W.E.Cheng, X.D.Xue, B.P. Divakar, C.D.Xu, Y.B.Che, D.H.Wang และ P.Dong[7] บทความนี้นำเสนอการหาจุดเริ่มต้นและช่วงเวลาของเหตุการณ์ที่เกิดแรงดันตก ได้ทำการวิเคราะห์และแสดงให้เห็นว่าการตรวจจับแรงดันตกมีหลากหลายชนิด ซึ่งแสดงความเร็วในการตรวจจับ ความถูกต้องของแต่ละวิธีการตรวจจับ ดังนั้นจึงผู้แต่งจึงใช้วิธีการตรวจจับค่ายอดและวิธีการตรวจจับแบบอาร์เอ็มเอส ซึ่งวิธีการตรวจจับทั้ง 2 แบบนี้ มีข้อเสียจึงต้องหาวิธีการตรวจจับแบบใหม่จึงใช้การตรวจจับแบบเอ็มวี(MV Massing Voltage method)เพื่อลดปัญหาความผิดพลาดและความซับซ้อนของการใช้งาน และยังหลีกเลี่ยงวิธีการตรวจจับฮิตเตอร์รีซีต ที่มีความช้าแต่แม่นยำสูงเมื่อเปรียบเทียบการตรวจจับแบบอื่น ดังนั้นข้อเสียของการตรวจจับวิธีอาร์เอ็มเอส เมื่อค่าภาวะชั่วคราว

จะมีการเพิ่มขึ้นของค่ายอดทำให้เกิดการตรวจจับที่ผิดพลาดเกิดขึ้นในเครื่องวัด ทำให้ผู้แต่งเทคนิคการตรวจจับแบบ เทคนิคการตรวจจับแรงดันผิดพลาดเกิดขึ้น ซึ่งวิธีการนี้สามารถที่จะตรวจจับได้อย่างถูกต้องแม่นยำและยังง่าย รวดเร็ว และสมการคณิตศาสตร์ของอัลกอริทึมที่ใช้เขียนโปรแกรมในไมโครคอนโทรลเลอร์ไม่ซับซ้อน

W. S. Moon, J. C. Kim; A. Jo, S. B. Bang และ W. S. Koh[8]บทความนี้นำเสนอมาตรฐาน UL1699 ของการอาร์คเป็นมาตรฐานที่ใช้ในการทดสอบการอาร์คที่เกิดขึ้น โดยจะมีอุปกรณ์ตรวจจับเรียกว่า AFCIs (Arc Fault Circuit Interrupters) ในระบบ มี 3 ชนิด คือ แบบ Line to Line แบบขนาน Series arc และแบบ Line to Ground โดยเฉพาะการเกิดการอาร์คแบบอนุกรม เมื่อเซอร์กิตเบรกเกอร์แบบเชิงกลไม่สามารถตรวจจับได้ เมื่อมีการอาร์คเกิดขึ้นจุดการอาร์คจะทำให้เกิดความร้อนจนเป็นสาเหตุของการเกิดไฟไหม้ ดังนั้นจึงวิเคราะห์ปัญหาของการเกิดการอาร์คแบบอนุกรม โดยใช้วิธีการทดสอบแบบ Specimen เป็นการสร้างต้นแบบในการทดสอบการอาร์คโดยมีตัวตรวจจับแบบยูวี นำออสซิลโลสโคปมาวัดค่ากระแส แรงดันด้านเข้า แรงดันการเกิดอาร์คและตัวตรวจจับยูวี โดยมี การทดสอบ 2 แบบคือ แบบที่ 1 จ่ายแรงดันด้านปฐมภูมิ 200 โวลต์และด้านออก 15 กิโลโวลต์ โดยทำให้เกิดการอาร์ค จากนั้นลดแรงดันเป็น 7.5 กิโลโวลต์ โดยใช้โหลด 100 วัตต์ แบบที่ 2 จ่ายแรงดัน 220 โวลต์ จากนั้นปรับค่ายอดของกระแสเป็น 5, 10, 20, 30 แอมแปร์ตามลำดับแล้วดูแรงดันที่ตัวตรวจจับ ยูวี สรุปการทำงานเป็นไปตามเงื่อนไขสามารถวัดพลังงานของการอาร์คได้โดยนำแรงดันของการเกิดอาร์คมาคูณกับกระแสด้านเข้าแล้วทำการอินทิเกรต โดยอ้างอิงมาตรฐาน UL1966

Seung Kook Yang, Yeon Su Kim, In-Gun Kim, Taejun Choi และ Ju lee[9]บทความนี้การนำเสนอสถิติสาเหตุการเกิดไฟไหม้ที่เกิดจากการลัดวงจร กระแสเกิน กระแสรั่ว การเกิดการอาร์ค และอัตราส่วนของความผิดพลาดของระบบไฟฟ้าที่ทำให้เกิดไฟไหม้ สรุปคือการเกิดการอาร์คแบบอนุกรมที่ทำให้เกิดไฟไหม้มากที่สุด ดังนั้นจึงมีการตรวจจับอาร์คเกิดขึ้น โดยใช้ตัวตรวจจับ 2 แบบคือ เอเอฟซีไอ(AFCI Arc Fault Circuit Interruptions)และเอเอฟดีดี (AFDD Arc Fault Detection Device) ทั้ง 2 ชนิดเป็นตัวตรวจจับการเกิดการอาร์คที่เป็นสาเหตุของการไฟไหม้ และได้มีการอธิบายวิธีการทำงานของการตรวจจับ โดยใช้สัญญาณกระแสความถี่ต่ำและนำเสนอวิธีการทำงานของการตรวจจับการอาร์คโดยใช้สัญญาณ อินฟราเรดเอฟเอ็ม โดยอาศัยความถี่สูงและความถี่ต่ำของอาร์เอสเอส ไอ RSSI(Received Signal Strength Indication) คุณสมบัติของการตรวจจับสามารถตรวจจับการเกิดอาร์คในระบบได้เมื่อเกิดแรงดัน ขึ้นตอนในตรวจจับและการทำงานมี 3 ขั้นตอน ดังนี้ 1.วิเคราะห์รูปคลื่นสัญญาณ 2.ใช้สัญญาณรูปคลื่นฮาร์โมนิก 3.ใช้สัญญาณรูปคลื่นความถี่สูง เมื่อได้สัญญาณตามที่

ต้องการได้นำค่ากระแสอาร์คและRSSI มาเข้ากระบวนการทำงานแล้ว ทำการเปรียบเทียบสัญญาณสุดท้ายก็จะเป็นตัวตรวจจับการอาร์คข้อดีของบทความนี้ทำให้รู้พื้นฐานและหลักการของการตรวจจับ

Jonathan Andrea, Partrick Schweitzer และ Jean-Mary Martel [10] บทความนี้ชนิดการอาร์คที่เป็นสาเหตุของการเกิดไฟไหม้ โดยอ้างอิงชนิดการเกิดในระบบของ ระบบพลังงานแสงอาทิตย์ ระบบรถไฟฟ้า ระบบอากาศยานและระบบไฟฟ้าของที่อยู่อาศัย รวมถึงการเกิดการอาร์คของหน้าสัมผัส โดยอ้างอิงมาตรฐานการเกิดอาร์คของ AFCI UL1996 โดยมีการทดสอบและเปรียบเทียบ 3 ชนิด คือ จีดีอาร์ค (GDARC Generator Device Arcing) การทดสอบระหว่างสายทองแดง การทดสอบสายทองแดงในผงถ่าน ส่วนการทดสอบ แบบที่ 1 มีการใช้ทดสอบในช่วงแรงดันเกิน การอาร์คจะปรากฏที่ขั้ว อิเล็กโทรดเกิดจากความต่างศักย์ทั้งสองขั้ว ที่แรงดัน 65 โวลต์ กระแส 10 แอมแปร์ โดยให้หม้อสเฟสเป็นตัวจ่ายความถี่ให้กับหม้อแปลง โดยปรับแรงดันกระแสด้านทุติยภูมิ 20 แอมแปร์ แบบที่ 2 หน้าสัมผัสการอาร์คประกอบด้วยขั้วอิเล็กโทรดและขั้วอิเล็กโทรดเคลื่อนที่ขนาดเส้นผ่าศูนย์กลาง 6.4 มิลลิเมตร โดยการปรับระยะระหว่างขั้วอิเล็กโทรดทั้งสอง แบบที่ 3 จะใช้ลวดตัวนำขนานกันแล้วทำการสับไบริดจ์กับตัวนำทั้งสอง โดยใช้โหลดขนาด 100 วัตต์ โดยอ้างอิงวิธีการทดสอบ UL1966 โดยการปรับระยะระหว่างตัวนำทั้งสอง แรงดันที่ใช้ทดสอบที่ 120 โวลต์ระยะเวลาที่ใช้ทดสอบการอาร์ค 10 วินาที ดังนั้นจึงนำมาปรับวิธีการทดสอบการอาร์คให้เหมาะสมกับวิทยานิพนธ์นี้

F. R. Zaro, M. A. Abido, S. Ameenuddin และ I. M. Elamin [11] บทความนี้นำเสนอการวิเคราะห์และแสดงช่วงเวลาการลัดวงจร ทำให้เกิดช่วงแรงดันค่ายอดไม่ปกติจึงเกิดแรงดันไฟฟ้าตกและเกิน ดังนั้นการตรวจวัดจะมีการคำนวณหาอาร์เอ็มเอสและหาค่าพารามิเตอร์ต่างๆที่ใช้ในการคำนวณและอีกวิธีจะใช้ Quadrature เป็นวิธีการตรวจจับที่เร็วกว่าวิธีอาร์เอ็มเอส ซึ่งวิธีการตรวจจับแรงดันตกและแรงดันเกินมีหลากหลายวิธี การจำลองเหตุการณ์แรงดันตกจะมีการเปรียบเทียบการตรวจจับแบบวิธีอาร์เอ็มเอสและวิธี Quadrature ทำให้เห็นว่าผลการจำลองของแรงดันตกวิธีการตรวจจับแบบ Quadrature จะมีการตรวจจับที่เร็วกว่าวิธีอาร์เอ็มเอส และการตรวจจับแรงดันเกินก็มีผลของการตรวจจับแบบ Quadrature เร็วกว่าวิธีอาร์เอ็มเอส จึงทำให้วิธีการนี้มีข้อดีคือมีความแม่นยำและรวดเร็วในการตรวจจับ

บทความ [11] นำเสนอมาตรฐานของ IEEE STD 1159-1995 การสังเกตคุณภาพของระบบไฟฟ้า และ มาตรฐาน UL1699 ของการอาร์คเป็นมาตรฐานที่ใช้ในการทดสอบการอาร์คที่เกิดขึ้นโดยจะมีอุปกรณ์ตรวจจับเรียกว่า AFCIs (Arc Fault Circuit Interrupters) ในระบบ มี 3 ชนิด คือ แบบ Line to Line แบบขนาน Series arc และแบบ Line to Ground โดยเฉพาะการเกิดการอาร์คแบบอนุกรม เมื่อเซอร์กิตเบรกเกอร์แบบเชิงกลไม่สามารถตรวจจับได้ เมื่อมีการอาร์คเกิดขึ้นจุดการอาร์คจะทำให้เกิด

ความร้อนจนเป็นสาเหตุของการเกิดไฟไหม้ ดังนั้นจึงเอา AFCIs คือ arc fault circuit interrupters คุณสมบัติของการตรวจจับสามารถตรวจจับการเกิดอาร์คในระบบได้เมื่อเกิดแรงดัน ของ RSSI(Received Signal Strength Indication) ขึ้นตอนในตรวจจับและการทำงาน 1.วิเคราะห์รูปคลื่นสัญญาณ 2.ใช้สัญญาณรูปคลื่นฮาร์โมนิก3.ใช้สัญญาณรูปคลื่นความถี่สูง เมื่อได้สัญญาณตามที่ ต้องการได้นำค่ากระแสอาร์คและRSSI มาเข้ากระบวนการทำงานแล้ว ทำการเปรียบเทียบสัญญาณ สุดท้ายก็จะเป็นตัวตรวจจับการอาร์ค

2.2 ความเป็นมาของปัญหาที่เกิดขึ้นในปัจจุบัน

ปัญหาทางด้านคุณภาพกำลังไฟฟ้าที่เกิดขึ้น มีผลกระทบต่ออุปกรณ์ไฟฟ้าไม่ว่าจะเป็น อุปกรณ์อิเล็กทรอนิกส์ชิ้นเล็กๆ หรืออุปกรณ์ชิ้นอื่นที่ประกอบอยู่ในอุปกรณ์ไฟฟ้าทำให้อุปกรณ์เหล่านี้เสียหาย หรือไม่สามารถใช้งานได้ ซึ่งขึ้นอยู่กับความรุนแรงหรือชนิดของปัญหาที่เกิดขึ้นดังนั้นสามารถสรุปผลกระทบและสาเหตุของปัญหาทางด้านคุณภาพกำลังไฟฟ้าได้ดังนี้

ตารางที่ 2.1 สาเหตุและผลกระทบของปรากฏการณ์ทางด้านคุณภาพกำลังไฟฟ้า[18]

| ชนิดของปัญหาทางด้าน คุณภาพกำลังไฟฟ้า | สาเหตุ | ผลกระทบ |
|---|---|---|
| 1. Transients | | |
| 1.1 Impulsive Transients | ฟ้าผ่า Electro-Static Discharge สวิตซ์ของภาระไฟฟ้า สวิตซ์ของชุดเก็บประจุ | อุปกรณ์ไฟฟ้าเสียหาย |
| 1.2 Oscillatory Transients | สวิตซ์ของสายเคเบิล สวิตซ์ของชุดเก็บประจุ สวิตซ์ของภาระไฟฟ้า | อุปกรณ์ไฟฟ้าเสียหาย ฉนวนเสื่อมสภาพหรือสูญเสีย ความเป็นฉนวน ชุดขับเคลื่อนปรับความเร็วได้ตัด วงจร |

| 2. Short Duration Variations | | |
|---|---|--|
| 2.1 Voltage Dip (Sags) | ความผิดปกติของระบบไฟฟ้า การเริ่มเดินเครื่องมอเตอร์ขนาดใหญ่ | อุปกรณ์ไม่สามารถทำงานได้ เกิดผลเสียทางอ้อม เช่น การผลิต หยุดชะงัก |
| 2.2 Temporary Overvoltages (Swells) | ความผิดปกติชนิดเฟสเดียวต่อ กราวด์ ปลดภาระไฟฟ้าขนาดใหญ่ สวิตช์ชุดตัวเก็บประจุ | อุปกรณ์อิเล็กทรอนิกส์ ชุดขับเคลื่อนปรับความเร็วได้ และคอมพิวเตอร์ ได้รับความ เสียหายอายุการใช้งานของ อุปกรณ์สั้นลง |
| 2.3 Short Interruptions | ความผิดปกติของระบบไฟฟ้า ความล้มเหลวของอุปกรณ์ ระบบควบคุมทำงานผิดพลาด | อุปกรณ์อิเล็กทรอนิกส์ไม่ทำงาน สูญเสียข้อมูล หรือห้วอ่านข้อมูล เสียหาย |
| 3. Long Duration Variations | | |
| 3.1 Overvoltage | ปลดภาระไฟฟ้าขนาดใหญ่ สวิตช์ชุดตัวเก็บประจุ การปรับแก้ของหม้อแปลงไฟฟ้า | อุปกรณ์ไฟฟ้าเสียหาย และ มีอายุการใช้งานลดลง |
| 3.2 Undervoltages | สวิตช์ภาระไฟฟ้าขนาดใหญ่ ปลดชุดตัวเก็บประจุ ภาระไฟฟ้าเกิน (Over Load) | อุปกรณ์ไฟฟ้าไม่สามารถทำงาน ได้ เกิดความร้อนสูงกับมอเตอร์ |
| 3.3 Long Interruptions | อุปกรณ์ป้องกันทำงานดับไฟฟ้าเพื่อ การบำรุงรักษาอุบัติเหตุ | อุปกรณ์ไฟฟ้าไม่ทำงาน เกิดผล ทางอ้อม คือกระบวนการผลิต เสียหาย |

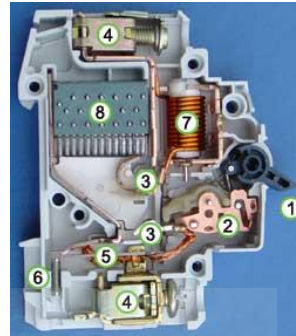
| | | |
|----------------------|--|---|
| 4. Voltage Unbalance | <p>ความไม่สมดุลของภาระไฟฟ้าในแต่ละเฟส</p> <p>ตัวเก็บประจุทำงานผิดพลาด เช่น เกิดฟิวส์ขาดเฟสใดเฟสหนึ่งของชุดตัวเก็บประจุ 3 เฟส</p> | <p>อายุการใช้งานของมอเตอร์และหม้อแปลงสั้นลงเนื่องจากความร้อนที่เกิดขึ้น</p> |
| 5. Waveform | | |
| Distortions | | |
| 5.1 DC Offset | <p>การรบกวนของแม่เหล็กโลก (Geomagnetic)</p> <p>ผลจากวงจรเรียงกระแสแบบครึ่งคลื่น</p> | <p>เพิ่มการอิมตัวของหม้อแปลง</p> <p>เพิ่มความเครียดต่อฉนวน</p> |
| 5.2 Harmonics | <p>ภาระไฟฟ้าประเภทไม่เป็นเชิงเส้น</p> <p>เกิดเรโซแนนซ์ในระบบ</p> | <p>เกิดความร้อนเกินในสายศูนย์หม้อแปลง และมอเตอร์</p> |
| 5.3 Interharmonics | <p>ตัวแปลงผันความถี่แบบสถิต (Static Frequency Converter)</p> <p>ตัวแปลงผันแบบไซโคล (Cyclo-Converter)</p> <p>อุปกรณ์ไฟฟ้าจำพวกอาร์ค</p> | <p>เกิดสัญญาณรบกวน</p> <p>ตัวกรองรับภาระไฟฟ้าเกิน</p> <p>การอิมตัวของขดลวดกระแส (CT)</p> <p>ทำให้เกิดการมองเห็นแสงกระเพื่อม</p> |
| 5.4 Notching | <p>อุปกรณ์อิเล็กทรอนิกส์กำลังทำงานในสภาวะเมื่อกระแสเปลี่ยนจากเฟสหนึ่งไปยังเฟสอื่น ๆ</p> | <p>อุปกรณ์อิเล็กทรอนิกส์ที่มีการทำงานร่วมกับสัญญาณนาฬิกาทำงานผิดพลาด</p> |
| 5.5 Noise | <p>ฟ้าผ่า</p> <p>การทำงานของเครื่องเชื่อมแหล่งจ่ายกำลังแบบสวิตซ์</p> <p>ชุดควบคุม SCR</p> <p>สัญญาณรบกวนจากสัญญาณวิทยุหรือโทรทัศน์</p> | <p>ส่งสัญญาณรบกวนไปยัง</p> <p>อุปกรณ์ไฟฟ้าต่าง ๆ ที่ไวต่อสัญญาณรบกวน</p> |

| | | |
|--|--|--|
| 6. Voltage Fluctuations (Voltage Flicker) | การเปลี่ยนแปลงของภาระไฟฟ้า เตา หลอมแบบอาร์ค ภาระไฟฟ้าที่มีองค์ประกอบของ รีแอกทีฟ | ความสว่างของหลอดไฟ เปลี่ยนแปลง ส่งผลต่อภาระไฟฟ้าถ้าเกิดการเปลี่ยนแปลงของแรงดันมาก |
| 7. Power Frequency Variations | ความผิดพลาดของระบบไฟฟ้า ขนาดใหญ่ ภาระไฟฟ้าขนาดใหญ่ หลุดจากระบบเครื่องกำเนิดไฟฟ้า หยุดเดินเครื่อง | กระทบต่อการทำงานของเครื่องจักรกลไฟฟ้า กระบวนการใดก็ตามที่ใช้เวลาในการควบคุมการผลิตจากความถี่ไฟฟ้ากำลัง |

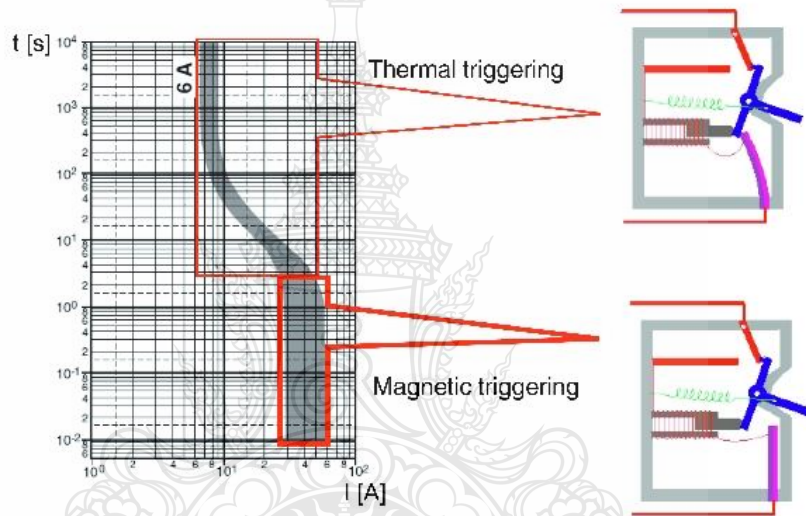
การแปรเปลี่ยนช่วงระยะเวลาสั้น (Short Duration Variation) คือปรากฏการณ์ที่เกิดการเปลี่ยนแปลงของแรงดันหรือกระแสเพียงช่วงเวลาสั้นๆ ส่วนมากเกิดจากสภาวะความผิดพลาดในระบบไฟฟ้า ซึ่งปรากฏการณ์ทางคุณภาพกำลังไฟฟ้าที่อยู่ในกลุ่มนี้คือ (Voltage Dip)หรือ Voltage Sags) แรงดันเกินชั่วคราว (Voltage Swells) สำหรับวิทยานิพนธ์นี้จะมุ่งเน้นไปที่ การตัดวงจรเมื่อเกิดความผิดพลาดขึ้นของแรงดันและกระแสที่ผิดปกติ

2.3 เซอร์กิตเบรกเกอร์ทั่วไป

เซอร์กิตเบรกเกอร์เป็นอุปกรณ์ป้องกันที่ใช้หน้าสัมผัสตัดและต่อวงจรเมื่อเกิดความผิดปกติของระบบไฟฟ้าดังรูปที่ 2.1 หลักการทำงานของเซอร์กิตเบรกเกอร์อุปกรณ์ป้องกันทางไฟฟ้าทำหน้าที่ในการป้องกันกระแสไฟฟ้าเกินและการลัดวงจร กล่าวคือเมื่อใดก็ตามที่มีการใช้กระแสไฟฟ้าสูงเกินกว่ากำหนด อาจทำความเสียหายต่อสายไฟฟ้าและอุปกรณ์ไฟฟ้า รวมถึงเมื่อเกิดกระแสไฟฟ้าลัดวงจรเซอร์กิตเบรกเกอร์จะทำการตัดกระแสไฟฟ้าออกจากระบบโดยอัตโนมัติ เพื่อป้องกันไม่ให้เกิดความเสียหายที่อาจนำไปสู่การเกิดอัคคีภัยในที่สุด ดังนั้นการเลือกใช้เซอร์กิตเบรกเกอร์ต้องคำนึงถึงค่าความสามารถในการตัดกระแสลัดวงจรต้องสูงกว่าค่ากระแสไฟฟ้าลัดวงจรของระบบไฟฟ้าที่ตำแหน่งติดตั้งและค่ากระแสพิสัยจะต้องน้อยกว่าค่ากระแสไฟฟ้าที่สายไฟจะทนได้สำหรับปลดวงจรเมื่อเกิดกระแสลัดวงจรหรือมีกระแสค่าสูงๆ ประมาณ 8-10 เท่าขึ้นไปไหลผ่านกระแสไฟฟ้าจำนวนมาก จะทำให้เกิด สนามแม่เหล็กความเข้มสูง ดึงให้อุปกรณ์การปลดวงจรทำงานได้



รูปที่ 2.1 เซอร์กิตเบรกเกอร์เชิงกล[5]



รูปที่ 2.2 การทำงานของเซอร์กิตเบรกเกอร์[2]

การทำงานของเซอร์กิตเบรกเกอร์ที่อาศัยอำนาจแม่เหล็กไฟฟ้าจากขดลวดเมื่อได้รับกระแสปริมาณที่มากกว่าตามที่มีการตั้งค่าไว้ จะทำให้เกิดความเข้มสนามแม่เหล็กที่ทำให้เกิดแรง ดันแกนอาร์เมเจอร์ของเซอร์กิตเบรกเกอร์ทำงาน

$$B = \frac{\mu_0 I}{2\pi a}$$

เมื่อ \bar{B} = ความเข้มสนามแม่เหล็ก (T)

μ_0 = ความซึมแม่เหล็ก

$$= 4\pi \times 10^{-7} \text{ Wb/A.m}$$

I = กระแสไฟฟ้า (A)

a = ระยะห่างจากขดลวด (m)

รูปที่ 2.2 การทำงานของเซอร์กิตเบรกเกอร์ในช่วงของความร้อนสะสมโดยอาศัยหลักการของการขยายความร้อนของโลหะต่างชนิดกันเมื่อได้รับกระแสมากกว่าพิกัดประมาณ 1.25 เท่าของกระแสไหลใน ช่วงระยะเวลาในช่วง 10 -100 วินาที จึงทำอยู่ในสภาวะไหลคเกิน ช่วงการทำงานในช่วงต่อมาเมื่อมีการเปลี่ยนแปลงของค่าอิมพีแดนซ์ลัดต่ำลงจนเข้าใกล้ศูนย์หรือเกิดการลัดวงจรทำให้เกิดการเปลี่ยนแปลงของกระแสซึ่งเกิดจากการเปลี่ยนแปลงของค่าอิมพีแดนซ์ของวงจร จึงเกิดการลัดวงจรเกิดขึ้นจะทำให้เกิดกระแสลัดวงจรทำให้ขดลวดภายในของเซอร์กิตเบรกเกอร์เกิดการเหนี่ยวนำ แล้วทำให้เกิดเส้นแรงแม่เหล็กเกิดขึ้น โดยมีแรงทำให้กลไกของเซอร์กิตเบรกเกอร์ทำงานทำการตัดวงจรออกจากระบบหรือจำกัดพื้นที่ไม่ให้เกิดปัญหากระทบกับวงจรอื่น

2.3.1 มาตรฐานเซอร์กิตเบรกเกอร์

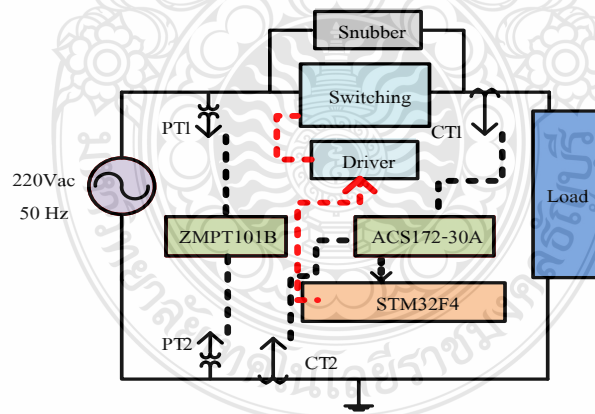
เซอร์กิตเบรกเกอร์ของประเทศไทยที่ใช้กันได้ใช้มาตรฐาน IEC 60898ซึ่งเซอร์กิตเบรกเกอร์ตามมาตรฐานนี้ใช้สำหรับติดตั้งกับบ้านที่อยู่อาศัยและอาคารทั่วไปซึ่งตามมาตรฐานการติดตั้งทางไฟฟ้าสำหรับประเทศไทยพ.ศ. 2545เซอร์กิตเบรกเกอร์ MCB แบบ 2 ขั้ว (มาตรฐานว.ส.ท.) ได้กำหนดให้เซอร์กิตเบรกเกอร์ที่ใช้กับบ้านที่อยู่อาศัยที่มีขนาดกระแสไม่เกิน 125 แอมแปร์ความทนกระแสลัดวงจรไม่เกิน 25 kA และต้องใช้เซอร์กิตเบรกเกอร์ตามมาตรฐาน IEC 60898 [19]เท่านั้นการตัดวงจรเมื่อเกิดไฟฟ้าลัดวงจรจากเส้น L ไปเส้น N หรือระหว่างเฟสในระบบไฟฟ้า 3 เฟสโดยมีกระแสไฟฟ้าไหลผ่านมากๆเมื่อเทียบกับกระแสใช้งานในภาวะปกติเมื่อเกิดไฟฟ้าลัดวงจรจะเกิดกระแสไฟฟ้าไหลผ่านเซอร์กิตเบรกเกอร์ในปริมาณมากๆถ้าปริมาณกระแสไฟฟ้าที่ไหลผ่านมีค่ามากกว่าค่ากระแสเกินทริปทันที (Overcurrent Instantaneous Tripping)ของเซอร์กิตเบรกเกอร์จะตัดวงจรทันทีภายในเวลา 0.1 วินาทีที่มีค่าความทนกระแสไฟฟ้าลัดวงจรที่กำหนด (Rated Short-Circuit Capacity หรือ I_{cn}) เป็นค่ากระแสไฟฟ้าลัดวงจรสูงสุดที่เซอร์กิตเบรกเกอร์ทนได้เมื่อเกิดกระแสลัดวงจร โดยทั่วไปตามข้อกำหนดเซอร์กิตเบรกเกอร์หลัก ต้องทนกระแสลัดวงจรได้ไม่น้อยกว่า 10 kAอุณหภูมิใช้งานของเซอร์กิตเบรกเกอร์อยู่ที่ $-5^{\circ}\text{C} - 40^{\circ}\text{C}$ อุณหภูมิเฉลี่ย 24 ชั่วโมงไม่เกิน 35°C [20]

ตารางที่ 2.2มาตรฐาน IEEE Std 242-2001 กำหนดค่าเมื่อเกิดความผิดปกติของเซอร์กิตเบรกเกอร์ตัดวงจรออกจากระบบไฟฟ้าในระยะเวลา[18],[20]

| สภาวะการทำงานของเซอร์กิตเบรกเกอร์ | ขนาดพิกัดกระแส 225–600 A (AT) |
|-----------------------------------|-------------------------------|
| Instantaneous, cycles | 2–3 |
| Short time, cycles | 30-100 |
| Long time, cycles | Over 100 |
| Ground fault, cycles | 10–30 |

2.4 เซอร์กิตเบรกเกอร์แบบโซลิดสเตต

การทำงานของเซอร์กิตเบรกเกอร์แบบโซลิดสเตต[30] จำเป็นต้องมีความปลอดภัย ความน่าเชื่อถือ มีคุณภาพและความคงทนต่อการใช้งานเมื่อเกิดความผิดปกติของระบบไฟฟ้า หน้าที่การทำงานของเซอร์กิตเบรกเกอร์แบบโซลิดสเตตเป็นการนำเทคโนโลยีต่าง ๆ มาใช้ และนำปัญหาของเซอร์กิตเบรกเกอร์เชิงกลที่ไม่สามารถตรวจจับหรือไม่สามารถตัดวงจรเมื่อเกิดปัญหาทางไฟฟ้า



รูปที่ 2.3 ส่วนการทำงานของเซอร์กิตเบรกเกอร์แบบโซลิดสเตต

ส่วนมากจะสรุปมาจากไฟฟ้าลัดวงจรแต่ในทางไฟฟ้าถ้าเกิดการลัดวงจรจริงเซอร์กิตเบรกเกอร์ต้องมีการตัดวงจร ดังภาพที่ 2.3 ส่วนการทำงานของเซอร์กิตเบรกเกอร์แบบโซลิดสเตต

ประกอบด้วย 3 ส่วนหลัก ชุดการตรวจจับ ชุดประมวลผลและควบคุมการทำงาน ชุดการสวิตซ์การตรวจจับส่วนจะมีการตรวจจับหรือการวัดแบบเวลาจริงของกระแส แรงดัน[12] เพื่อส่งข้อมูลไปให้กับชุดประมวลผลเพื่อทำหน้าที่ตัดสินใจในการต่อหรือตัดวงจรเมื่อเกิดปัญหาของกระแสและแรงดันไฟฟ้า

โครงสร้างภายในของเซอร์กิตเบรกเกอร์แบบโซลิดสเตตประกอบด้วยไอจีบีที[47] ซึ่งจะมีวงจรควบคุมการทำงานของตัวไอจีบีทีโดยจะรับคำสั่งจากตัวประมวลผล ถ้าเป็นไปตามเงื่อนไขที่กำหนดจะสั่งให้ไอจีบีทีตัดหรือต่อ การทำงานของไอจีบีทีเป็นไปตามอัลกอริทึมของการตรวจจับของเซอร์กิตเบรกเกอร์แบบโซลิดสเตต ประกอบด้วยตรวจจับแรงดัน ไฟฟ้าเกิน ตรวจจับแรงดัน ไฟฟ้าตก ตรวจจับกระแส ไฟฟ้ารั่ว ตรวจจับกระแส ไฟฟ้าเกิน ตรวจจับกระแส ไฟฟ้าลัดวงจรและตรวจจับการอาร์คสัญญาณที่ได้จากการวัดจะส่งข้อมูลสัญญาณมาที่อัลกอริทึมของการตรวจจับจะมีการประมวลผลตามเงื่อนไขของแรงดัน ไฟฟ้าตกแรงดัน ไฟฟ้าเกิน กระแส ไฟฟ้าเกิน กระแส ไฟฟ้ารั่ว การลัดวงจรและการอาร์ค ถ้ามีและเป็นไปตามเงื่อนไขจะสั่งให้วงจรจับทำงานวงจรไอจีบีทีทำการตัดวงจรการทำงานได้จะมีการกล่าวขั้นตอนของการนำกระแสของไอจีบีทีและช่วงเวลาในการหยุดนำกระแสของไอจีบีที และที่สำคัญคืออัลกอริทึมของการตรวจจับการอาร์คเป็นที่น่าสนใจอย่างมากในการตรวจจับ

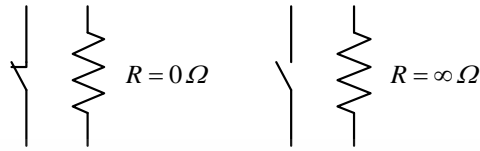
2.4.1 อุปกรณ์สวิตซ์อิเล็กทรอนิกส์กำลัง

การสวิตซ์ของเซอร์กิตเบรกเกอร์แบบโซลิดสเตตจะใช้อิเล็กทรอนิกส์กำลังเป็นอุปกรณ์ที่ใช้ในวงจรอิเล็กทรอนิกส์กำลังทั่วไป ซึ่งอุปกรณ์ดังกล่าวสามารถแบ่งการทำงานใน 2 สถานะคือ สถานะนำกระแส และสถานะหยุดนำกระแส ทั้งนี้ในเชิงทฤษฎี การสวิตซ์ของอุปกรณ์อิเล็กทรอนิกส์จะถูกสมมติให้เป็นสวิตซ์อุดมคติ เพื่อให้ง่ายต่อการวิเคราะห์ห้วงจรคุณลักษณะแรงดันและกระแสของอุปกรณ์สวิตซ์อิเล็กทรอนิกส์กำลังแต่ละชนิดมีความจำเป็นอย่างยิ่งในการนำไปประยุกต์ใช้งาน

อุปกรณ์สวิตซ์อิเล็กทรอนิกส์กำลังควรมีคุณลักษณะทางอุดมคติดังนี้ สามารถทนแรงดัน Breakdown ได้สูง ซึ่งขึ้นอยู่กับพิกัดแรงดันใช้งานมีกำลังไฟฟ้าสูญเสียต่ำขณะทำการสวิตซ์ มีความเร็วสูงในการเปลี่ยนสถานะการทำงาน ทนต่ออุณหภูมิสูงขณะใช้งานและควบคุมได้ง่าย[47]

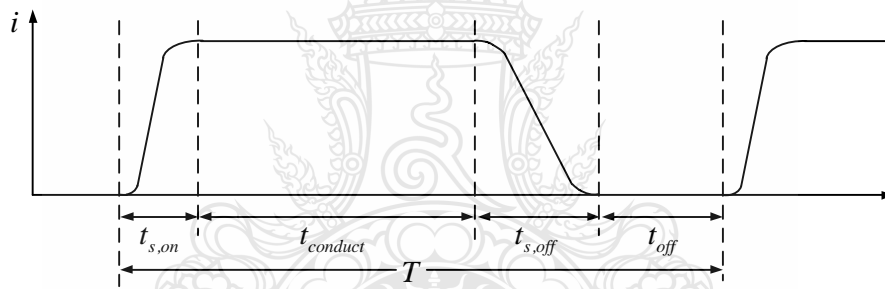
โดยทั่วไปการสวิตซ์ของเซอร์กิตเบรกเกอร์แบบโซลิดสเตตจะทำงานเป็นสวิตซ์ในวงจร ซึ่งขณะนำกระแส ค่าความต้านทานของอุปกรณ์จะต่ำมาก (ใกล้กับศูนย์) และขณะหยุด

นำกระแส ค่าความต้านทานของอุปกรณ์จะสูงมาก (ใกล้เคียงค่าอนันต์)[41],[42] ดังวงจรสมมูลในรูปที่ 2.4



รูปที่ 2.4 วงจรสมมูลในอุปกรณ์สวิตช์อิเล็กทรอนิกส์กำลัง

การสวิตช์อิเล็กทรอนิกส์กำลังเปลี่ยนสถานะทำงานจะเกิดกำลังไฟฟ้าสูญเสียขึ้น ซึ่งเกี่ยวข้องกับค่าประสิทธิภาพของวงจรโดยรวม ทั้งนี้ช่วงเวลาในการทำงานของสวิตช์ และกำลังไฟฟ้าสูญเสียจากการทำงานทั้ง 2 สถานะ ดังรูปที่ 2.5



รูปที่ 2.5 กระแสที่ไหลผ่านอุปกรณ์สวิตช์ในช่วงเวลาต่างๆ

- เมื่อ $t_{s,on}$ คือ ช่วงเวลาเริ่มนำกระแส (Turn on)
- $t_{conduct}$ คือ ช่วงเวลานำกระแส (On)
- $t_{s,off}$ คือ ช่วงเวลาเริ่มหยุดนำกระแส (Turn off)
- t_{off} คือ ช่วงเวลาหยุดนำกระแส (Off)

การสูญเสียที่สวิตช์อิเล็กทรอนิกส์กำลังแบ่งได้เป็น 2 ส่วนคือ สูญเสียขณะนำกระแส ($W_{con,loss}$) และ ขณะสวิตช์ซึ่ง ($W_{s,loss}$) โดยการสูญเสียขณะสวิตช์ซึ่งแบ่งได้อีกเป็น 2 ส่วนคือ ช่วงเริ่มนำกระแส (turn-on loss: $W_{s_{on},loss}$) และช่วงเริ่มหยุดนำกระแส (turn-off loss: $W_{s_{off},loss}$) ค่าพลังงานสูญเสียต่างๆ สามารถคำนวณได้ดังสมการ 2.1

$$\begin{aligned}
 W_{con,loss} &= V_d I_d t_{conduct} \\
 W_{s_on,loss} &= \frac{1}{2} V_d I_d t_{s,on} \\
 W_{s_off,loss} &= \frac{1}{2} V_d I_d t_{s,off}
 \end{aligned}
 \tag{2.1}$$

วัตถุประสงค์ของการออกแบบอุปกรณ์สวิตซ์อิเล็กทรอนิกส์กำลังคือค่าที่น้อยที่สุดของการสูญเสียขณะนำกระแสและการสูญเสียขณะสวิตซ์ซึ่งรวมกัน (อยู่ในรูปของความร้อน) เพราะอุณหภูมิการทำงานสูงสุด T_{jmax} จะต้องถูกจำกัดเพื่อป้องกันอุณหภูมิเบรคดาวน์ ดังนั้นกำลังสูญเสียสูงสุดหาได้จาก

$$P_{AVmax} < \frac{T_{jmax} - T_a}{R_{thja}}
 \tag{2.2}$$

เมื่อ T_{jmax} คือ อุณหภูมิสูงสุดที่จุดต่อ

T_a คือ อุณหภูมิแวดล้อม

R_{thja} คือ ความต้านทานความร้อนระหว่างจุดต่อของสารกึ่งตัวนำและสภาพแวดล้อม

อุณหภูมิการทำงานสูงสุด T_{jmax} จะลดลงด้วยอุปกรณ์ป้องกันแรงดัน กำลังสูญเสียของอุปกรณ์สวิตซ์อิเล็กทรอนิกส์กำลังในขณะที่ทำงานที่ความถี่ f สามารถหาได้จาก

$$P_{AV} = \psi I_{on} V_{on} + f (W_{on} + W_{off})
 \tag{2.3}$$

เมื่อ I_{on} คือ กระแสในขณะนำกระแส

V_{on} คือ แรงดันขณะนำกระแส

W_{on} คือ การสูญเสียขณะนำกระแส

W_{off} คือ การสูญเสียขณะหยุดนำกระแส

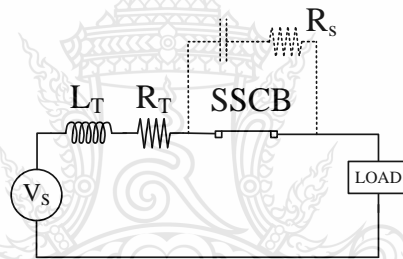
ψ คือ duty cycle

จากสมการที่ 2.2 และ 2.3 เป็นข้อจำกัดสำหรับการนำอุปกรณ์สวิตซ์อิเล็กทรอนิกส์กำลังไปประยุกต์ใช้งาน พิกัดกำลังไฟฟ้าของอุปกรณ์สวิตซ์อิเล็กทรอนิกส์กำลังและการประยุกต์ใช้งาน

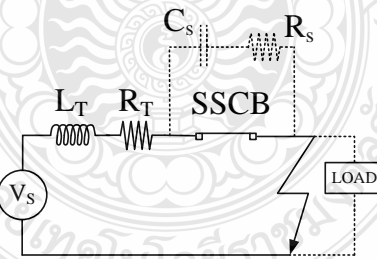
การพัฒนาอุปกรณ์อิเล็กทรอนิกส์ในปัจจุบันสามารถพัฒนาไปที่พิกัดสูงขึ้นมา ขนาดของกำลังไฟฟ้าที่ใช้ 10 kVA ความถี่สวิตซ์ 20 kHz สำหรับงานวิทยานิพนธ์นี้จะพิจารณาเลือกใช้ IGBT เป็นอุปกรณ์สวิตซ์อิเล็กทรอนิกส์ [12]

2.5 วงจรสับเบอรั

เมื่อมีการควบคุมของอุปกรณ์โดยใช้ ไอจีบีที เป็นตัวตัดและต่อวงจร ซึ่งเป็นโหลด RL โดยหลักการทำงานกระแสและแรงดันมูมเฟสจะไม่ตรงกัน ดังนั้นการจึงเกิดความไม่แน่นอนของ ไอจีบีที ที่ตัดวงจร เพราะว่าเมื่อยังมีกระแสไหลกลับเข้าไปยังอุปกรณ์สวิตซ์ทำให้เกิดความเสียหายเกิดขึ้น โดยวงจรสับเบอรัจะต่อขนานกับอุปกรณ์สวิตซ์ โดยใช้สับเบอรัแบบ RC สำหรับการควบคุมแรงดันชั่วขณะ การออกแบบวงจรสับเบอรัจำเป็นต้องมีการปรับปรุงความทนทานต่อแรงดันชั่วขณะเริ่มต้น การวิเคราะห์หน้าที่การทำงานของวงจรสับเบอรัดังภาพที่ 2.6



รูปที่ 2.6 การทำงานของวงจรสับเบอรัเริ่มการทำงานของวงจร $t_0 < T < t_1$



รูปที่ 2.7 การทำงานของวงจรสับเบอรั $t_1 < T < t_2$

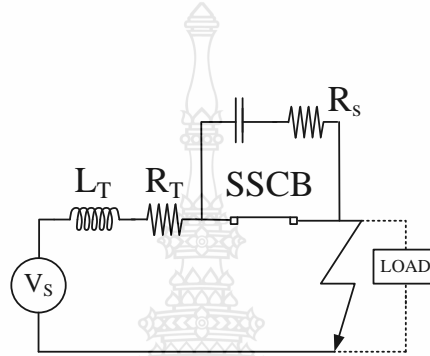
เมื่อเวลาเริ่มต้น $t_1 < T < t_2$

โดย
$$v_s - i_s(R_T + R_L) = 0, i_0 = \frac{v_s}{R_T + R_L} \quad (2.4)$$

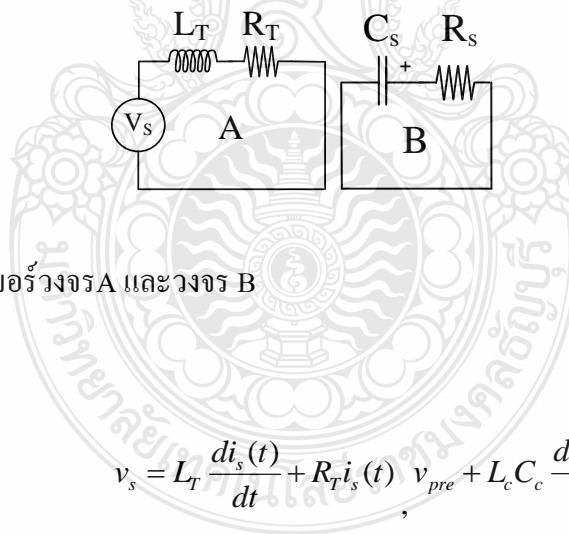
เมื่อ $(t_1 < T < t_2)$

โดยที่
$$v_s = L_T \frac{di_s(t)}{dt} + R_T i_s(t), \frac{di_s(t)}{dt} = \frac{v_s}{L_T} \quad (2.5)$$

โดยให้
$$i_s(t) = i_f(1 - e^{-\frac{t}{\tau}}) - i_0 e^{-\frac{t}{\tau}}, \tau = \frac{L_T}{R_T}, i_f = \frac{v_s}{R_T} \quad (2.6)$$



รูปที่ 2.8 การทำงานของวงจรสับเบอ์ทำงานของวงจร $t_2 < T < t_3$



รูปที่ 2.9 วงจรสับเบอ์วงจร A และวงจร B

เมื่อ $(t_2 < T < t_3)$

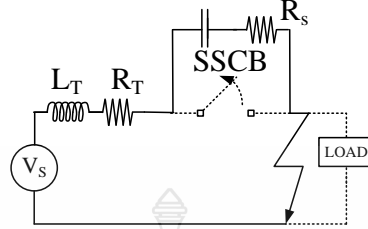
ดังนั้นวงจร A
$$v_s = L_T \frac{di_s(t)}{dt} + R_T i_s(t), v_{pre} + L_c C_c \frac{d^2 v_c(t)}{dt^2} = 0 \quad (2.8)$$

โดยให้
$$\frac{di_c(t)}{dt} = \frac{-v_c(t)}{L_c}, i_{cm} = v_{pre} \sqrt{\frac{C_c}{L_c}}, \omega_1 = \frac{1}{\sqrt{L_c C_c}}$$

ดังนั้นวงจร B
$$i_s(t) = i_B(t) + i_c(t), i_s(t) = i_f(1 - e^{-\frac{t}{\tau}}) + i_{st} e^{-\frac{t}{\tau}} \quad (2.9)$$

โดยที่

$$v_c(t) = v_{pre} \sin(\omega_1 t) \quad i_c(t) = \alpha_1 \sin(\omega_1 t) \quad \alpha_1 = -\frac{V_{pre}}{\omega_1 L_c} \quad (2.10)$$



รูปที่ 2.10 การทำงานของวงจรถนั้บเบอร์ $t_3 < T < t_4$

เมื่อ $(t_3 < T < t_4)$

จะได้

$$C_c L_{tot} \frac{d^2 v_c(t)}{dt^2} + C_c R_{tot} \frac{dv_c(t)}{dt} + v_c(t) - v_s(t) = 0 \quad (2.11)$$

โดเมนเวลาของกระแส

$$C_c L_{tot} \frac{d^2 i_s(t)}{dt^2} + C_c R_{tot} \frac{di_s(t)}{dt} + i_s(t) = 0 \quad (2.12)$$

โดยที่

$$v_c(t) = v_s - e^{-\alpha_2 t} [b \cos(\beta_2 t) - c \sin(\beta_2 t)] \quad (2.13)$$

และ

$$i_s(t) = e^{-\alpha_2 t} [b \cos(\beta_2 t) - c \sin(\beta_2 t)] \quad (2.14)$$

โดยให้

$$a = \frac{i_s(t_3)}{C_c}, \quad b = v_{c3} - v_s, \quad c = \frac{1}{\beta_2} (\alpha_2 b + a),$$

และ

$$d = \frac{1}{\beta_2} \left(\frac{b}{L_{tot}} + \alpha_2 i_s(t_3) \right), \quad \alpha_2 = \frac{R_{tot}}{2L_{tot}}, \quad \omega_2 = \frac{1}{\sqrt{L_{tot} C_c}}$$

ดังนั้น

$$\beta_2 = \sqrt{\omega_2^2 - \alpha_2^2} \quad V_{cf} = V_s + e^{\frac{\alpha_2}{\beta_2} t} \left[b \cos\left(\frac{-\gamma}{\beta_2}\right) - b \sin\left(\frac{-\gamma}{\beta_2}\right) \right]$$

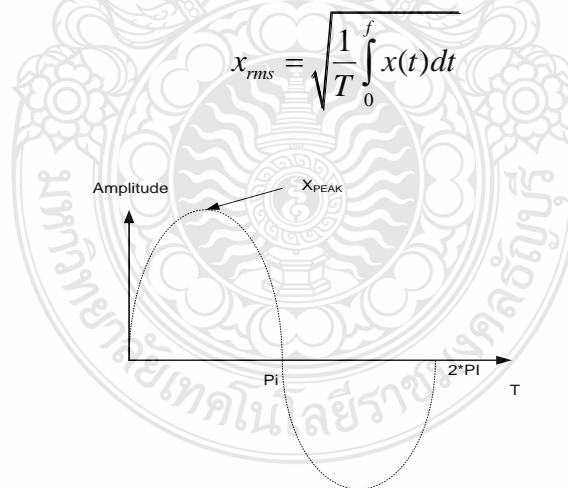
เมื่อ (2.4)-(2.14) เป็นการพิสูจน์ให้เห็นการทำงานของวงจรถนั้บเบอร์จะทำงานเมื่อมีการตัดวงจรถนั้บเบอร์ของเซอร์กิตเบรกเกอร์ ซึ่งสามารถพิสูจน์ได้เป็นสมการคณิตศาสตร์ กระแสและแรงดันแต่ละช่วงของโดเมนเวลา[32]

เมื่อมีการควบคุมของอุปกรณ์โดยใช้ไอจีบีที[40]เป็นตัวตัดและต่อวงจร ซึ่งเป็นโหลด RL[26] โดยหลักการทำงานกระแสและแรงดันมูมเฟสจะไม่ตรงกัน ดังนั้นการจึงเกิดความไม่แน่นอนของไอจีบีทีที่ตัดวงจร เพราะว่าเมื่อยังมีกระแสไหลกลับเข้าไปยังอุปกรณ์สวิตซ์ที่ทำให้เกิดความเสียหายเกิดขึ้น ดังนั้นจำเป็นต้องใช้วงจร snubber เข้ามาใช้วงจร snubber (Snubber Circuit)[29] ขณะเริ่มนำและเริ่มหยุดนำกระแส

2.6 การตรวจจับ

จากการศึกษาวิธีการตรวจจับแรงดันด้วยวิธีการต่างๆ เพื่อสั่งการให้อุปกรณ์ป้องกันในระบบไฟฟ้าทำงานได้ถูกต้องแม่นยำจะใช้วิธีการตรวจจับแรงดันแบบ RMS[8] เป็นวิธีการตรวจจับแรงดัน และกระแสไฟ โดยผ่านชุดตรวจจับทำหน้าที่ ตรวจจับสัญญาณกระแสและสัญญาณแรงดันแปลงซึ่งเมื่อทำการผ่านวงจรระดับสัญญาณ แรงดันที่วัดได้ 3.11 โวลต์ สัญญาณออกไม่เกิน 3.3 โวลต์ ก่อนที่จะนำสัญญาณเข้าตัวควบคุมการประมวลผล STM32F4 เพื่อทำการ โปรแกรมสัญญาณเข้าไปใน Matlab/Simulink สั่งการให้เซอร์กิตเบรกเกอร์แบบ โซลิดสเตตทำงาน[40]

2.6.1 การตรวจจับแบบอาร์เอ็มเอส

$$x_{rms} = \sqrt{\frac{1}{T} \int_0^T x(t) dt} \quad (2.15)$$


รูปที่ 2.11 รูปคลื่นสัญญาณของไซน์

$$x(t) = x_{peak} \sin\left(t \frac{2\pi}{T}\right) \quad (2.15)$$

$$x_{rms} = \sqrt{\frac{1}{T} \int_0^T x_{peak}^2 \sin^2\left(t \frac{2\pi}{T}\right) dt} \quad (2.16)$$

$$\sin^2 u = \frac{1 - \cos(2u)}{2} \quad (2.17)$$

$$= \sqrt{\frac{x_{peak}^2}{2T} \left[t \Big|_0^T - \sin\left(\frac{4\pi}{T}t\right) \frac{T}{4\pi} \Big|_0^T \right]} \quad (2.18)$$

$$= \sqrt{\frac{x_{peak}^2}{2T} T} \quad (2.19)$$

$$x_{rms} = \frac{x_{peak}}{\sqrt{2}} \quad (2.20)$$

จากการศึกษาวิธีการตรวจจับแรงดันด้วยวิธีการต่างๆ เพื่อสั่งการให้อุปกรณ์ป้องกันในระบบไฟฟ้าทำงาน การตรวจจับกระแสไฟฟ้าและแรงดันไฟฟ้าโดยวิธีการตรวจจับแรงดันจะเป็นแบบ Hall effect และใช้การ Isolate เพื่อทำการแยกกราวด์ ของชุดการตรวจจับ ชุดโปรแกรมการทำงาน ของไมโครคอนโทรลเลอร์ STM32f4 และวงจรกำลัง ดังนั้นวิธีการตรวจจับแรงดันไฟฟ้า และกระแสไฟฟ้าในวิทยานิพนธ์นี้ เพื่อนำไปสั่งการให้เซอร์กิตเบรกเกอร์แบบ โซลิดสเตตทำงานจึงมีหลายวิธีในการตรวจจับและแปลงค่าสัญญาณของกระแสและแรงดัน[12]

$$v_i^{rms} = \sqrt{\frac{1}{N} \sum_{j=1}^{i+N-1} v_j^2} \quad (2.22)$$

เมื่อ N คือค่าสุ่มคาบเวลาต่อ 1 ไซเคิล

v_j คือ ค่าสุ่มเวลาของสัญญาณแรงดัน

v_i^{rms} คือ ค่าสุ่มเวลาของสัญญาณแรงดันอาร์เอ็มเอส

v_{rms} คือค่าการหน่วงเวลาของสัญญาณแรงดัน

2.6.2 การตรวจจับแบบค่ายอด

การตรวจจับแบบค่ายอดจะใช้การตรวจจับของความผิดพร่อง จากการลัดวงจรและแรงดันเกิน โดยการอ้างอิงสัญญาณกระแสและแรงดันเข้าไปในไมโครคอนโทรลเลอร์ให้ $v_i(t)$ คือแรงดันของสัญญาณด้านเข้า

$$v_i(t) = v_p \sin^2(\omega t) \quad (2.23)$$

เมื่อ v_p คือค่ายอดของสัญญาณด้านเข้า ถ้า $v_i(t)$ มีการเลื่อนมุม 90 องศา จะได้ $v'_i(t)$

$$v'_i(t) = v_p \sin(\omega t + 90^\circ) \quad (2.24)$$

$$v'_i(t) = v_p \cos(\omega t) \quad (2.25)$$

โดยทั้งสองสัญญาณ $v_i(t)$ และ $v'_i(t)$ จะเป็นฟังก์ชันตั้งฉากและแยกเป็น

$$v_{o1}(t) = kv_p^2 \sin^2(\omega t) \quad (2.26)$$

$$v_{o2}(t) = kv_p^2 \cos^2(\omega t) \quad (2.27)$$

เมื่อค่า k คือค่าสัมประสิทธิ์ตัวแปร ระหว่าง $v_{o1}(t)$ และ $v_{o2}(t)$ จะได้สมการดังนี้

$$v_{oa}(t) \equiv v_{o1}(t) + v_{o2}(t) \quad (2.28)$$

$$= kv_p^2 \sin^2(\omega t) + kv_p^2 \cos^2(\omega t) \quad (2.29)$$

การวัดค่ายอดของสัญญาณ $v_{oa}(t)$ คือค่ารากของวงจรม เพราะฉะนั้นจะได้แรงดันที่ออก

$$v_o(t) = k_1 v_p \quad (2.30)$$

ดังนั้นสามารถนำสมการที่ได้นำมาเขียนใน Waijung Blockset เพื่อให้ได้สัญญาณที่มาจาก การวัดสามารถอ้างอิงการใช้งานดังสมการที่ 2.30 จะเห็นได้ว่าเมื่อสัญญาณกระแสและแรงดันเข้าไป ในไมโครคอนโทรลเลอร์จะนำตัวประมวลผลทางคณิตศาสตร์มาทำการหาค่าสัมบูรณ์ ทำให้ค่า สัญญาณไม่ติดลบ จึงเป็นข้อดีคือสามารถตรวจจับได้เร็วขึ้น

2.6.3 การตรวจจับแบบเปรียบเทียบอาร์เอ็มเอส

การตรวจจับกระแสจะใช้หลักการ การเปรียบเทียบสัญญาณของกระแสเข้าและ กระแสออก โดยจะนำกระแสให้เป็นค่าอาร์เอ็มเอส จากนั้นเข้าตัวประมวลผลทางคณิตศาสตร์ เมื่อเกิด การรั่วไหลของกระแสชุดประมวลผลจะทำงาน ดังสมการ(2.31)

$$i_{com} = i_{in} - i_{out} > 25 \text{ mA} \quad (2.31)$$

เมื่อ i_{com} คือ สัญญาณกระแสอาร์เอ็มเอสของชุดประมวลผล

i_{in} คือ สัญญาณกระแสอาร์เอ็มเอสด้านเข้า

i_{out} คือ สัญญาณกระแสอาร์เอ็มเอสด้านออก

ถ้าสัญญาณกระแสอาร์เอ็มเอสด้านเข้าลบสัญญาณกระแสอาร์เอ็มเอสด้านออกมีค่ามากกว่า 25 มิลลิแอมแปร์ สัญญาณกระแส i_{com} จะสั่งให้ชุดประมวลผลทำงาน ตัดวงจร อ้างอิงมาตรฐาน IEC 60898

2.6.4 การตรวจจับแบบQuadrature

การตรวจจับวิธีนี้จะมีการตรวจจับแบบอาร์เอ็มเอสแต่จะใช้การตรวจจับ 2 ตัวซึ่งจะมี ความแตกต่างของมุม 90 องศาทางไฟฟ้าดังรูปที่ 2.12[8]

$$v(t) = v_p \sin(\omega t) \quad (2.32)$$

จะได้สมการ

$$s_1 = v_p \sin(\theta) \quad (2.33)$$

และ

$$s_2 = v_p \sin(\theta + \pi/2) \quad (2.34)$$

แปลงค่ามุม

$$s_2 = v_p \cos(\theta) \quad (2.35)$$

นำ $s_1^2 + s_2^2$ จะได้

$$s_1^2 + s_2^2 = v_p^2 (\sin^2(\theta) + \cos^2(\theta)) \quad (2.35)$$

$$s_1^2 + s_2^2 = v_p^2 \quad (2.36)$$

$$\sqrt{s_1^2 + s_2^2} = v_p \quad (2.37)$$

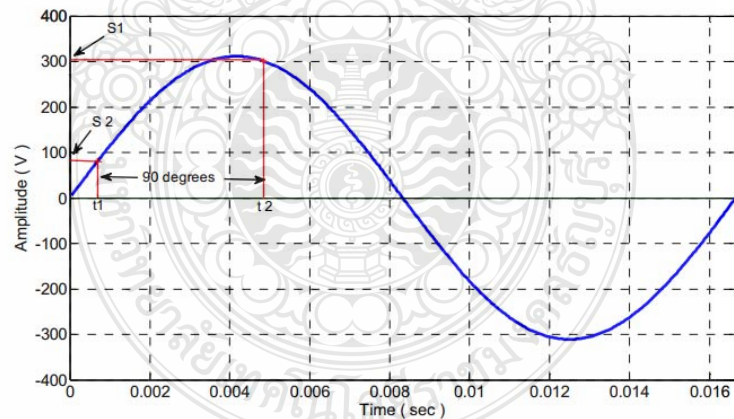
คำตอบจะได้คือ

$$v_{rms} = \frac{v_p}{\sqrt{2}} = \frac{\sqrt{s_1^2 + s_2^2}}{\sqrt{2}} \quad (2.38)$$

เมื่อ $v(t)$ คือ สัญญาณของแรงดันไฟฟ้า

v_p คือ แรงดันค่ายอดของสัญญาณของแรงดันไฟฟ้า

s_1 และ s_2 คือ ค่าสัญญาณของการควบคุมจากการตรวจจับที่มุมต่างกัน 90 องศาทางไฟฟ้า



รูปที่ 2.12 สัญญาณของการควบคุมจากการตรวจจับที่มุมต่างกัน 90 องศาทางไฟฟ้า

2.6.5 การตรวจจับแบบดีเอฟที(Discrete Fourier Transform)

การใช้งานของการแปรฟูรีเย เป็นการตรวจจับมุมเฟสและค่าออกของสัญญาณ

ดังสมการ 2.39

$$v(t) = \frac{a_0}{2} + \sum_{n=0}^{\infty} a_n \cos n\omega_0 t + \sum_{n=0}^{\infty} b_n \sin n\omega_0 t \quad (2.39)$$

เป็นการแยกจำนวนจริงกับจำนวนจินตภาพ

$$a_1 = \frac{2}{T} \int_0^T v(t) \cos \omega_0 t dt \quad (2.40)$$

$$b_1 = \frac{2}{T} \int_0^T v(t) \sin \omega_0 t dt \quad (2.41)$$

นำสมการ จะได้

$$a_1 = \frac{\sqrt{2}}{N} \sum_{i=0}^N v\left(t - i \frac{T}{N}\right) \cos\left(2\pi \frac{i}{N}\right) \quad (2.42)$$

$$b_1 = \frac{\sqrt{2}}{N} \sum_{i=0}^N v\left(t - i \frac{T}{N}\right) \sin\left(2\pi \frac{i}{N}\right) \quad (2.43)$$

ได้ค่าแรงดัน

$$V = \sqrt{a_1^2 + b_1^2} \quad (2.44)$$

2.6.6 การตรวจจับอาร์ค

การเกิดการอาร์คเป็นการเกิดจากความต่างศักย์ของกระแสไฟฟ้าที่ไหลอยู่ของตัวนำ ดังนั้นชนิดของการเกิดการอาร์คแบ่งได้เป็น 3 ชนิด Line to Line แบบขนาน Series arc และ Line to ground

การอาร์ค Line to Line แบบขนานโดยเกิดจากสายไฟ 2 เส้นเกิดการลัดวงจรแบบไม่สมบูรณ์ดังรูป การอาร์คแบบอนุกรมเป็นเกินในสายลวดตัวนำ โดยจะมีแหล่งจ่ายไฟแล้วผ่านการจุดอาร์คและผ่านไปยังโหลด การอาร์คชนิดนี้เป็นเหตุผลเบื้องต้นของการเกิดอัคคีภัยสมการคณิตศาสตร์ของการเกิดการอาร์คดังสมการ 2.25[9]

เมื่อ U_{arc} คือ ค่าของแรงดันเมื่อเกิดการอาร์ค

I_{arc} คือ ค่ากระแสเริ่มต้นเมื่อเกิดการอาร์ค

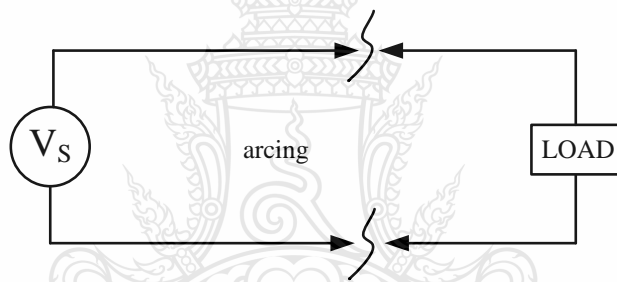
g_m คือ ค่าพลวัตซ์ของตัวนำของล่ออาร์ค

T คือ ค่าคงตัวของเวลาในการอาร์ค

P คือ พลังงานที่เกิดการอาร์ค

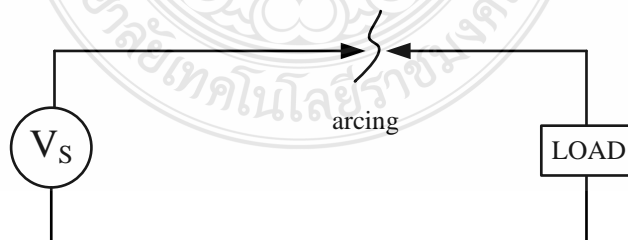
$$\frac{1}{g_m} = \int \frac{1}{T} \left(\frac{u_{arc} i_{arc}}{P_o} - 1 \right) dt \quad (2.25)$$

$$\frac{1}{g_m} = \int \frac{1}{T} \left(\frac{u_{arc}^2}{u_0^2} - 1 \right) dt \quad (2.26)$$



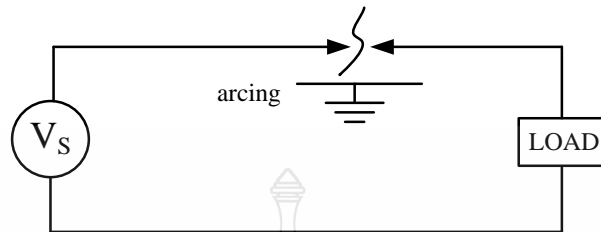
รูปที่ 2.13 การอาร์ค Line to Line แบบขนาน

การอาร์ค Line to Line แบบขนานภาพที่ 2.13 เป็นการอาร์คแบบการอาร์ค 2 จุดเมื่อดูจากวงจร โดยกระแสจะมากจาก V_s ผ่านจุดอาร์คจุดที่ 1 ผ่านโหลด หลังจากนั้นผ่านจุดอาร์คจุดที่ 2 กลับเข้าสู่ V_s



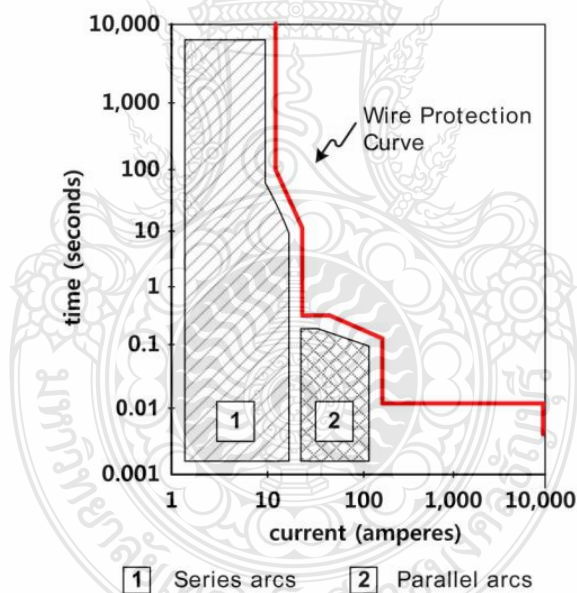
รูปที่ 2.14 การอาร์คแบบอนุกรม

การอาร์คแบบอนุกรมจะเป็นที่เกิดขึ้นเป็นลำดับแรกที่ทำให้เกิดไฟไหม้ ภาพที่ 2.14 เป็นการอาร์คแบบอนุกรม จากวงจรโดยกระแสจะมากจาก V_s ผ่านจุดอาร์คจุดที่ 1 ผ่านโหลด หลังจากนั้นสู่ V_s



รูปที่ 2.15 การอาร์ค Line to Ground

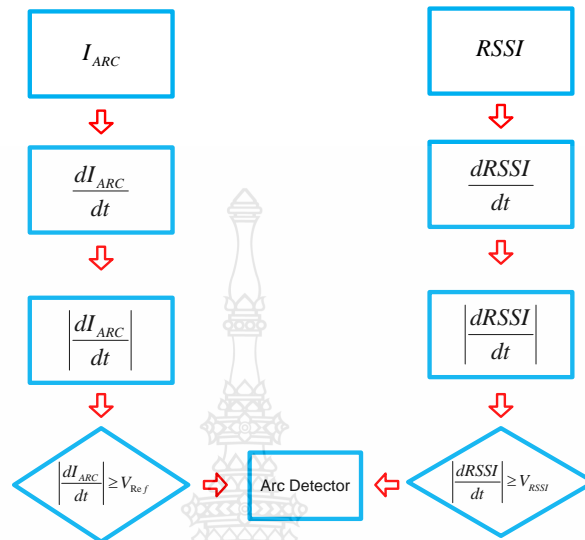
ภาพที่ 2.15 การอาร์ค Line to ground เป็นการอาร์คแบบการอาร์ค 1 จุดมือคูจากวงจร โดยกระแสจะมากจาก V_s ผ่านจุดอาร์คจุดที่ 1 ลงกราวด์ ผ่าน โหลด หลังจากนั้นผ่านเข้าสู่ V_s



รูปที่ 2.16 กราฟแสดงความสัมพันธ์การอาร์แบบขนาน(1) และอนุกรม(2)

รูปที่ 2.16 กราฟแสดงคุณสมบัติช่วงเวลาและกระแสของเซอร์กิตเบรกเกอร์ สามารถแบ่งเป็น 2 ส่วน อ้างอิงจากการป้องกันสายไฟ ส่วนที่ 1 และ 2 เซอร์กิตเบรกเกอร์ไม่สามารถตรวจจับและป้องกันในส่วนของการเกิดการอาร์คทั้งแบบขนานและแบบอนุกรม โดยเฉพาะการอาร์คแบบ

อนุกรมเพราะว่าเมื่อเกิดจะมีกระแสที่ต่ำ เซอร์กิตเบรกเกอร์ไม่สามารถทำงานได้ ดังนั้นทำให้เกิดความร้อนจุดที่เกิดการอาร์คเป็นสาเหตุให้เกิดเพลิงไหม้ได้

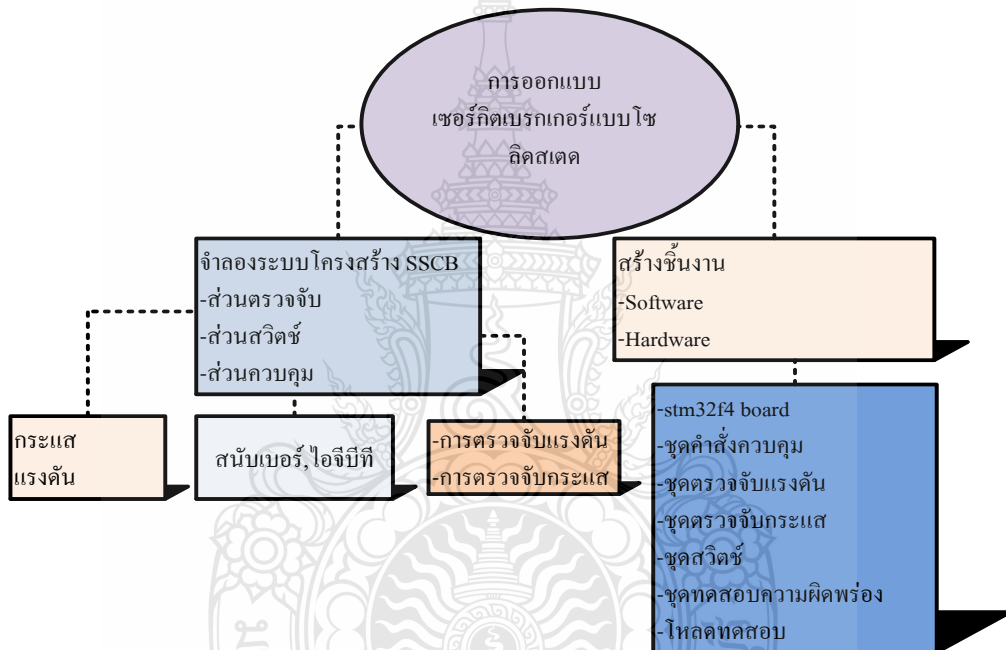


รูปที่ 2.17 การประมวลผลของการตรวจจับอาร์ค

รูปที่ 2.17 จะแยกเป็นการตรวจจับ 2 ส่วน การตรวจจับการอาร์คคือเริ่มจากจะมีการวัดกระแสอาร์ครูปคลื่นไซน์แล้วมาทำการหาค่าอนุพันธ์ จากนั้นหาค่าสัมบูรณ์ ทำการเปรียบเทียบกับแรงดันอ้างอิง[9]และอีกส่วนจะทำการวัดค่า RSSI ทำการหาอนุพันธ์ของสัญญาณ แล้วทำการหาค่าสัมบูรณ์ของสัญญาณ RSSI นำค่ามาเปรียบเทียบกับสัญญาณแรงดัน RSSI เมื่อเกิดการอาร์คเกิดขึ้นจะมีการรับค่าและเปรียบเทียบ

2.7 กรอบของการทำงานวิจัย

ขั้นตอนการดำเนินการออกแบบเซอร์กิตเบรกเกอร์แบบโซลิตสเตรคสำหรับระบบจำหน่ายแรงต่ำ เป็นกรอบการทำงานและแนวทางการวางแผนก่อนการปฏิบัติจะมีความศึกษามีขั้นตอนการทำงานอยู่ 3 ขั้นตอนของการทำงาน คือการจำลองจะทำความรู้กับการศึกษาส่วนของการศึกษาการทำงานขึ้นงาน และส่วนต่อมาที่ทำการจำลองการทำงานจะทำความรู้กับการเตรียมชุดทดสอบสำหรับทดสอบการทำงานเซอร์กิตเบรกเกอร์แบบ โซลิตสเตรค



รูปที่ 2.18 กรอบของการทำงานวิจัย

เริ่มต้นการทำงานดังรูปที่ 2.18 จะแบ่งเป็น 2 ส่วนคือจะมีการจำลองโครงสร้างเซอร์กิตเบรกเกอร์แบบโซลิตสเตรคและชิ้นงาน การจำลองโครงสร้างจะแบ่งเป็นส่วนตรวจจับ ส่วนสวิตช์และส่วนควบคุม ส่วนการตรวจจับจะแบ่งการทำงานได้ 2 ส่วน การตรวจจับกระแสไฟฟ้าและแรงดันไฟฟ้า การจำลองการตรวจวัดสามารถวัดค่าโดยใช้เครื่องมือของ Matlab/Simulink โดยทำการอนุกรมเพื่อวัดกระแสไฟฟ้า และขนานเพื่อวัดแรงดันไฟฟ้า ส่วนการสวิตช์จะมีการออกแบบและใช้สมการทางคณิตศาสตร์มาพิสูจน์และแสดงการทำงานของสับเบอร์ดในแต่ละช่วงของเวลาการทำงานจะมีความสัมพันธ์กับส่วนการตัดและต่อจะใช้ไอจีบีที ร่วมกับวงจรสับเบอร์ด และส่วนควบคุมจะรับค่า

การตรวจจับกระแสไฟฟ้าและการตรวจจับแรงดันไฟฟ้าแล้วจำลองการทำงานความผิดปกติ ของแรงดันไฟฟ้าและกระแสไฟฟ้า

สร้างชิ้นงาน จะแบ่งเป็น 2 ชนิด ซอฟต์แวร์จะใช้ Matlab/Simulink เป็นตัวเชื่อมต่อกับบอร์ด STM32F4 โดยผ่าน Waijung Blocksets โดยการกำหนดช่อง ADC พิกัดไม่เกิน 3.3 โวลต์รับค่าจาก ตัวตรวจจับกระแสจะใช้แบบ Hall Effect รุ่น ASC172-30A และตรวจจับแรงดันจะใช้ ZMPT101B Single Phase AC Voltage Transformer Sensor Module(AC Volt Sensor)โดยการโปรแกรมจะ นำกระแสและแรงดันที่ได้มาทำการ Signal Conditioning แล้วแปลงให้เป็นในรูปของสัญญาณ จากนั้นเข้าสมการคณิตศาสตร์ของ Blockset ประมวลผล ถ้าเกิดสัญญาณผิดปกติจะมีชุดคำสั่งตัดวงจร ตามที่โปรแกรมไว้ส่งสัญญาณจากการวัดกระแสโดยผ่านชุดขับ TLP250 เพื่อให้ไอจีบีทีทำงานส่วนการ ทดสอบแรงดันไฟฟ้าตกและแรงดันไฟฟ้าเกินจะใช้ จะใช้ตัวปรับแรงดันแรงดันไฟฟ้า 0-250 โวลต์ โดยการปรับแรงดันตกคือแรงดันปกติ 220 โวลต์ทำการปรับแรงดัน ใช้ได้ 190 โวลต์ การทดสอบ แรงดันเกินคือแรงดันปกติ 220 โวลต์ทำการปรับแรงดัน ใช้ได้ 250 โวลต์ การอาร์คจะมีการทดสอบ โดยใช้โหลดหลอดไฟ 200 วัตต์ ชุดการทดสอบการอาร์คจะใช้สายไฟ 1 เส้นและทำการตัดออกเป็น 2 ด้าน ใช้ตะไบทำให้แหลมต่ออนุกรมกับแหล่งจ่ายแล้วใช้น้ำเป็นตัวกลางในการทดสอบการอาร์คโดย ช่องว่างระหว่างตัวนำสามารถปรับระยะการอาร์คได้ กระแสไฟฟ้าเกินจะใช้หลอดไฟ ขนาด 1,000 วัตต์จำนวน 5 หลอด ต่อหลอดไฟเพิ่ม 10 หลอด เพื่อให้ค่าอิมพีแดนซ์ของวงจรลดลง

2.8 สรุปงานวิจัยที่เกี่ยวข้อง

จากการศึกษาวรรณกรรมหรืองานวิจัยที่เกี่ยวข้องกับเซอร์กิตเบรกเกอร์แบบโซลิดสเตต สำหรับระบบจำหน่ายแรงต่ำ พบว่า เมื่อเกิดความผิดปกติในระบบไฟฟ้าสิ่งสำคัญและจำเป็นต้องมี อุปกรณ์ตรวจจับและอุปกรณ์ป้องกันเพื่อจำกัดพื้นที่ของปัญหาและลดความเสียหายและอันตรายที่เกิด ขึ้นกับผู้ใช้ไฟฟ้าและเครื่องใช้ไฟฟ้าในระบบไฟฟ้าแรงดันต่ำ กรณีที่แรงดันไฟฟ้าตก แรงดันไฟฟ้า เกิน กระแสไฟฟ้าเกิน การอาร์ค

การทำงานของวงจรเซอร์กิตเบรกเกอร์แบบเชิงกลและแบบโซลิดสเตต[1]-[4] เป็นการ เปรียบเทียบการทำงานข้อดีและข้อเสียของเซอร์กิตเบรกเกอร์ที่ใช้กันทั่วไปกับเซอร์กิตเบรกเกอร์ที่มี ออกแบบและการจำลองผล เมื่อเกิดความผิดปกติในระบบ ดังนั้นเหตุการณ์ต่างๆที่เกิดขึ้น จะมีการใช้ สมการทางคณิตศาสตร์มาวิเคราะห์ แสดงให้เห็นในช่วงพลวัตต์ในการปิดและเปิดวงจร จากนั้น การ จำลองผลของการทำงานของเซอร์กิตเบรกเกอร์แบบโซลิดสเตตจะใช้โปรแกรม Matlab/Simulink

เป็นตัวแสดงผลการทำงานในการตรวจสอบตัดและต่อวงจรขณะเกิดความผิดปกติแสดงให้เห็นพฤติกรรมของกระแสไฟฟ้าและแรงดันไฟฟ้าและความสัมพันธ์ของตัวตรวจสอบความผิดปกติ

การออกแบบวงจรไอจีบีทีที่อยู่ภายในตัวเซอร์กิตเบรกเกอร์แบบโซลิดสเตตสำหรับระบบไฟฟ้าแรงต่ำ 1 เฟสขณะทำการสวิตช์ตัดและต่อจะใช้วงจรสับเบรคเพื่อลดค่าของ di/dt และ dv/dt เมื่อโหลดเป็นอินดักทีฟ และยังกล่าวถึง มาตรฐาน IEC60898และมาตรฐานกUL1966

การจำลองและทดสอบการทำงานของเซอร์กิตเบรกเกอร์แบบ โซลิดสเตต และอัลกอริทึมการตรวจจับแรงดันไฟฟ้า,กระแสไฟฟ้าและการอาร์คของตัวเซอร์กิตเบรกเกอร์แบบโซลิดสเตตโดยการจำลองและทดสอบซึ่งประกอบด้วยเงื่อนไขการทดสอบ แรงดัน ไฟฟ้าเกิน แรงดัน ไฟฟ้าตก กระแสไฟฟ้าเกิน กระแสไฟฟ้ารั่วและการอาร์ค

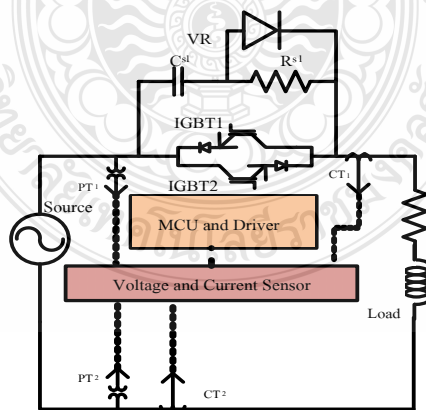


บทที่ 3

เซอร์กิตเบรกเกอร์แบบโซลิตสเตรด

การออกแบบการศึกษาการทำงานของเซอร์กิตเบรกเกอร์แบบโซลิตสเตรดมีการวัดค่าแรงดันไฟฟ้าและกระแสไฟฟ้า การสวิตช์และการทำงานของไมโครคอนโทรลเลอร์ ภายใต้เงื่อนไขแรงดันไฟฟ้าตก แรงดันไฟฟ้าเกิน กระแสไฟฟ้าเกิน กระแสไฟฟ้ารั่ว ลัดวงจรและการอาร์ค จำเป็นต้องมีการออกแบบ การจำลอง การทดลองและการทดสอบ ดังนั้นวิทยานิพนธ์นี้ใช้โปรแกรม Matlab/Simulink จำลองการทำงานของเซอร์กิตเบรกเกอร์แบบโซลิตสเตรดสำหรับระบบจำหน่ายแรงต่ำ มีการจำลองเหตุการณ์ของการเกิดความผิดปกติภายใต้เงื่อนไขแรงดันไฟฟ้าตก แรงดันไฟฟ้าเกิน กระแสไฟฟ้าเกิน กระแสไฟฟ้ารั่ว การลัดวงจรและการอาร์ค ที่เกินในระบบไฟฟ้าเพื่อวัดค่ากระแสไฟฟ้าและแรงดันไฟฟ้า ในสถานการณ์ของการเกิดความผิดปกติต่าง ๆ โดยค่าแรงดันไฟฟ้าและกระแสไฟฟ้าวัดได้จะเป็นสัญญาณที่เปลี่ยนแปลงตามเวลาเพื่อทำการศึกษาการทำงานของ เซอร์กิตเบรกเกอร์แบบโซลิตสเตรดและนำค่าต่าง ๆ ที่ได้จากการจำลอง หาอุปกรณ์อิเล็กทรอนิกส์ที่นำมาใช้ในการสร้างวงจรของเซอร์กิตเบรกเกอร์แบบโซลิตสเตรด

วัตถุประสงค์ของวิทยานิพนธ์นี้เพื่อออกแบบและศึกษาการทำงาน วิธีการนำสัญญาณของกระแสไฟฟ้าและแรงดันไฟฟ้าที่ได้จากการวัดมาเข้าอินพุตของไมโครคอนโทรลเลอร์ STM32F443 เหตุการณ์ต่าง ๆ ของความผิดปกติเช่นแรงดันไฟฟ้าตก แรงดันไฟฟ้าเกิน กระแสไฟฟ้ารั่ว กระแสไฟฟ้าเกิน การลัดวงจรและการอาร์ค



รูปที่ 3.1 โครงสร้างภายในของเซอร์กิตเบรกเกอร์แบบโซลิตสเตรด

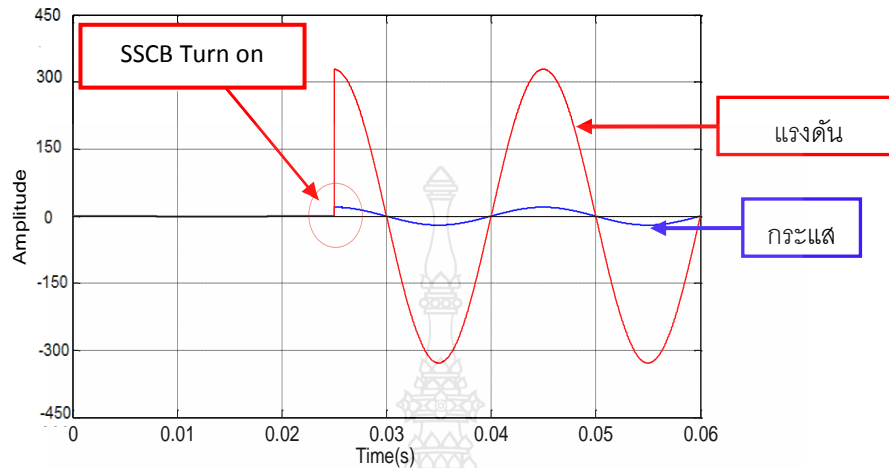
ขนาดของเซอร์กิตเบรกเกอร์แบบ โชลิตสตัดที่ใช้ในการออกแบบและจำลองคือ กระแส ทริป 30 แอมแปร์ พิกัดแรงดัน 220 โวลต์ เพื่อป้องกันอุปกรณ์ไฟฟ้าเมื่อเกิดความผิดปกติภายใต้ เงื่อนไขแรงดันไฟฟ้าตก แรงดันไฟฟ้าเกิน กระแสไฟฟ้าเกิน กระแสไฟฟ้ารั่ว ลัดวงจรและการอาร์ค ในระบบไฟฟ้าอีกทั้งเป็นการศึกษาแนวทางการพัฒนาเซอร์กิตเบรกเกอร์แบบ โชลิตสตัดดังรูปที่ 3.1 โครงสร้างภายในของเซอร์กิตเบรกเกอร์แบบ โชลิตสตัด

ชุดการตรวจจับกระแสจะใช้แบบ Hall Effect แบบ ACS712-30A Current Sensor Module ชนิดกระแส 30-40 แอมแปร์ ความไว 66 มิลลิโวลต์ต่อแอมแปร์ การตอบสนอง 5 ไมโครวินาที แบน วิดท์ 80 กิโลเฮิรตซ์ สัญญาณออกเป็นแบบอนาล็อก ส่วนชุดการตรวจจับแรงดันจะใช้ AC Volt Senser เบอร์ ZMPT101B Single Phase AC Voltage Transformer sensor Module ส่วนตัววงจรควบคุม จะใช้ ไมโครคอนโทรลเลอร์เบอร์ STM32F4 โดยทำงานร่วมกับ Matlab/Simulink จะใช้ในการจำลองการทำงาน ของเซอร์กิตเบรกเกอร์แบบ โชลิตสตัด แรงดันไฟฟ้าตก แรงดันไฟฟ้าเกิน กระแสไฟฟ้าเกิน กระแสไฟฟ้ารั่ว การลัดวงจรและการอาร์ค การจำลองการทำงานและการกำหนดพิกัดในการตัดวงจร ของเซอร์กิตเบรกเกอร์แบบ โชลิตสตัด เมื่อมีเหตุการณ์ผิดปกติเกิดขึ้น และสามารถโปรแกรมโดยใช้ Waijung Blocksets ในการต่อร่วมกับ โปรแกรม Matlab/Simulink โครงสร้างภายในของเซอร์กิตเบรก เกอร์แบบ โชลิตสตัดประกอบด้วยไอจีบีที 2 ตัว ทำหน้าที่นำกระแสไฟฟ้า ตัดและต่อวงจรซึ่งจะมี วงจรควบคุมการทำงานของตัวไอจีบีทีโดยจะรับคำสั่งจากตัวประมวลผล ถ้าเป็นไปตามเงื่อนไขที่ กำหนดจะสั่งให้ไอจีบีทีตัดวงจร การทำงานของไอจีบีทีจะทำงานเป็นไปตามอัลกอริทึมของการ ตรวจจับของเซอร์กิตเบรกเกอร์แบบ โชลิตสตัด ประกอบด้วยตรวจจับแรงดัน ไฟฟ้าตรวจจับ กระแสไฟฟ้าและส่งสัญญาณมาที่ไปยังไมโครคอนโทรลเลอร์ ประมวลผล อัลกอริทึมของการตรวจจับ ดังรูปที่ 3.2 จะมีการตรวจจับโดยรับค่าจากสัญญาณที่เกิดจากการวัดความผิดปกติ กระแสไฟฟ้าและ แรงดันไฟฟ้าของระบบ และประมวลผลตามเงื่อนไข ถ้าเป็นไปตามเงื่อนไขจะสั่งให้วงจรจับทำงาน ของไอจีบีทีทำการตัดวงจร

3.1 การทำงานของเซอร์กิตเบรกเกอร์แบบ โชลิตสตัด

การจำลองการทำงานของวงจรเซอร์กิตเบรกเกอร์แบบ โชลิตสตัดใช้การวิเคราะห์คุณสมบัติ พื้นฐานของการนำสารกึ่งตัวนำมาเป็นสวิตซ์ในการต่อวงจรไฟฟ้า วงจรสมมูล 1 เฟส เพื่อการ นำเสนอให้เห็นแรงดันจากแหล่งจ่ายและความต้านทานในระบบแรงต่ำ แสดงวงจรอุดมคติเมื่อเกิด ความผิดปกติในระบบแรงต่ำ ในช่วงเวลาที่เกิดความผิดปกติในระบบรูปคลื่นของแรงดันตกคร่อม โหลด และกระแสไฟฟ้าที่ไหลในวงจร จะเห็นว่าแรงดันไฟฟ้าที่ตกคร่อม กับรูปคลื่นกระแสที่ไหล

ผ่านเซอร์กิตเบรกเกอร์แบบ โซลิดสเตตประกอบไปด้วย แหล่งจ่ายกระแสสลับ ส่วนวงจรกำลัง ส่วน วงจรควบคุม และ โหลดทดสอบ

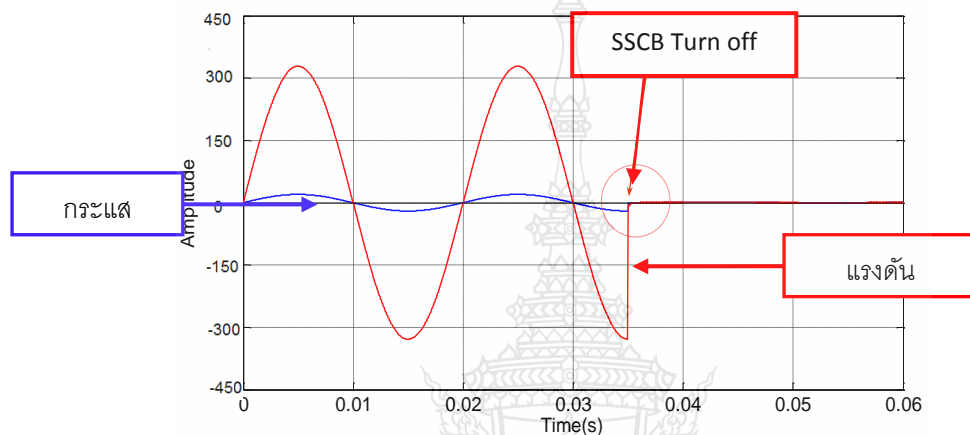


รูปที่ 3.2 การจำลองการต่อวงจรของเซอร์กิตเบรกเกอร์แบบ โซลิดสเตต

รูปคลื่นกระแสและแรงดันของเซอร์กิตเบรกเกอร์แบบ โซลิดสเตตในระบบไฟฟ้า 1 เฟส แสดงให้เห็นว่าในช่วงเวลาปกติ กระแสสามารถไหลผ่านโซลิดสเตตเซอร์กิตเบรกเกอร์ได้ปกติเมื่อในระบบเกิดการเปลี่ยนแปลงของกระแสไฟฟ้าแบบกระแสเกินจะตัดวงจรออกทันที จากผลการทดลองเบื้องต้นจากการใช้โปรแกรม Matlab/Simulink จำลองการตัดวงจรของระบบไฟฟ้าในช่วงเวลา 2.5 มิลลิวินาทีดังรูปที่ 3.2

การจำลองวงจรของเซอร์กิตเบรกเกอร์แบบ โซลิดสเตตใช้การวิเคราะห์คุณสมบัติพื้นฐานของการนำสารกึ่งตัวนำมาเป็นสวิตซ์ในการตัดวงจรไฟฟ้าส่วนการทำงานของเซอร์กิตเบรกเกอร์แบบ โซลิดสเตต ของแต่ละส่วนจะมีส่วนประกอบ ส่วนตรวจจับความผิดปกติ ส่วนประมวลผลการทำงาน และส่วนตัดต่อ การนำเสนอจะเป็นการจำลองการทำงานของให้เห็นแรงดันจากแหล่งจ่ายและ กระแสที่ผ่านโหลด แสดงวงจรอุดมคติเมื่อเกิดความผิดปกติในระบบในช่วงเวลาที่เกิดความผิดปกติในระบบรูปคลื่นของแรงดันตกคร่อมเซอร์กิตเบรกเกอร์แบบ โซลิดสเตตและกระแสไฟฟ้าที่ไหลในวงจร จะเห็นว่าแรงดันไฟฟ้าที่ตกคร่อมเซอร์กิตเบรกเกอร์แบบ โซลิดสเตตเพิ่มขึ้นและรูปคลื่น กระแสที่ไหลผ่านเซอร์กิตเบรกเกอร์แบบ โซลิดสเตตลดลงเกิดสภาวะตรงกันข้ามกันรูปคลื่นการทำงาน ของเซอร์กิตเบรกเกอร์แบบ โซลิดสเตตในระบบไฟฟ้า 1 เฟสแสดงให้เห็นว่าในช่วงเวลาปกติ กระแสไฟฟ้าสามารถไหลผ่านหน้าสัมผัสของเซอร์กิตเบรกเกอร์ได้ปกติเมื่อในระบบเกิดการเปลี่ยนแปลงของแรงดันไฟฟ้าแบบทันทีทันใดจะตัดวงจรออกทันที จากผลการทดลองเบื้องต้นจาก

การใช้โปรแกรม Matlab/Simulink จำลองการเกิดความผิดปกติของระบบไฟฟ้าในช่วงเวลา ในการตัดวงจรจำลองโดยใช้โครงสร้างของไอจีบีทีในการสวิตช์มาจำลองและวิเคราะห์เพื่อความเป็นไปได้ ในการสร้างเซอร์กิตเบรกเกอร์แบบ โซลิดสเตตเป็นการจำลองการทำงานของเซอร์กิตเบรกเกอร์แบบ โซลิดสเตตในกรณีที่เกิดแรงดันไฟฟ้าเกิน โดยระบบจะเริ่มช่วงเวลาที่ 0 มิลลิวินาทีถึง 6 มิลลิวินาที ดังรูปที่ 3.3



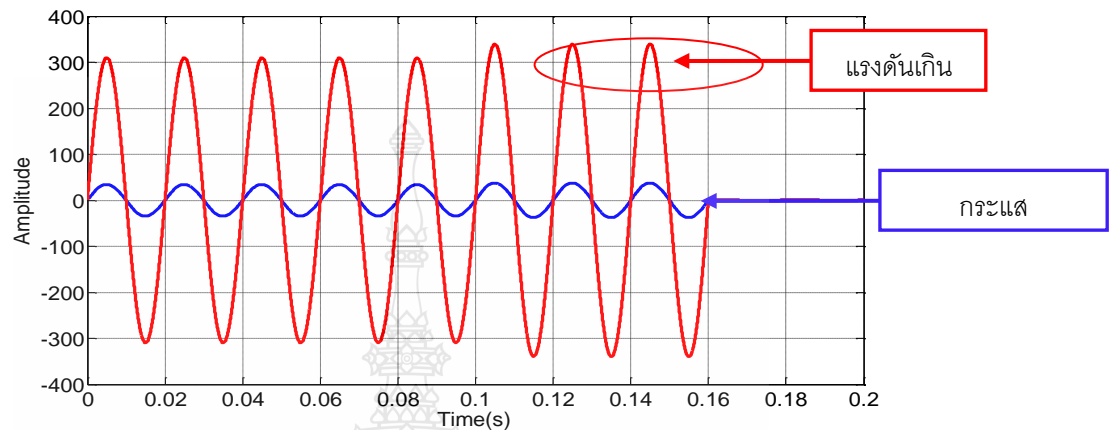
รูปที่ 3.3 การจำลองรูปคลื่นการตัดวงจรของเซอร์กิตเบรกเกอร์แบบ โซลิดสเตต

เริ่มจำลองตัดวงจรในช่วงเวลาในการจำลองที่ 3.5 มิลลิวินาทีเริ่มทำให้ระบบเกินในค่าแรงดันของระบบเป็น 250 โวลต์ เมื่อมีความผิดปกติจะมีการตรวจจับความผิดปกติเกิดขึ้นจะมีเวลาในการประมวลผล 3 ลูกคลื่นหรือ 60 มิลลิวินาทีจึงมีการตัดวงจรโดยใช้ ไอจีบีทีเป็นตัวยุติการทำงาน ของเซอร์กิตเบรกเกอร์แบบ โซลิดสเตต เมื่อแรงดันไฟฟ้าของระบบกลับสู่สภาวะปกติประมาณ 220 โวลต์ต้องวงจรอีกครั้งที่เวลา 240 มิลลิวินาที จนถึงสิ้นสุดการจำลองที่ 500 มิลลิวินาที

3.2 การทำงานของเซอร์กิตเบรกเกอร์แบบโซลิดสเตตกรณีที่เกิดแรงดันไฟฟ้าเกิน

การจำลองการทำงานของเซอร์กิตเบรกเกอร์แบบ โซลิดสเตตในกรณีที่เกิดแรงดันไฟฟ้าเกิน โดยระบบจะเริ่มช่วงเวลาที่ 0 มิลลิวินาทีถึง 200 มิลลิวินาที เริ่มจำลองการเกิดความผิดปกติในกรณี แรงดันตกในช่วงเวลาในการจำลองที่ 100 มิลลิวินาที เริ่มทำให้ค่าแรงดันปกติของระบบเป็น 250 โวลต์ เมื่อมีความผิดปกติจะมีการตรวจจับความผิดปกติเกิดขึ้นจะมีเวลาในการประมวลผล 3 ลูกคลื่น หรือ 60 มิลลิวินาทีจึงมีการตัดวงจรโดยใช้ ไอจีบีทีเป็นตัวยุติการทำงาน ของเซอร์กิตเบรกเกอร์แบบ โซลิดสเตต 160 มิลลิวินาที สิ้นสุดการจำลองที่ 200 มิลลิวินาทีดังรูปที่3.4

สรุปผลการจำลองการทำงานของเซอร์กิตเบรกเกอร์ตั้งค่าการตรวจจับค่าอาร์เอ็มเอสมากกว่าหรือเท่ากับ 250 โวลต์ของ Matlab/Embedded ทำการปรับค่าแรงดันของแหล่งจ่ายมากกว่า 250 โวลต์ ทำให้เซอร์กิตเบรกเกอร์ตัดวงจร

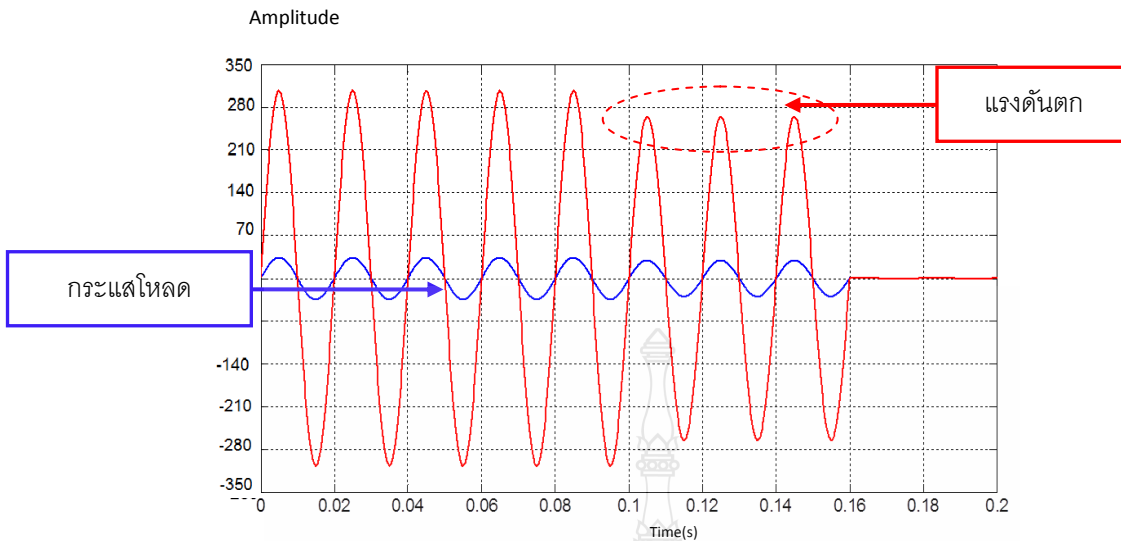


รูปที่ 3.4 การจำลองเซอร์กิตเบรกเกอร์แบบโซลิดสเตตขณะแรงดันไฟฟ้าเกิน

3.3 การทำงานของเซอร์กิตเบรกเกอร์แบบโซลิดสเตตกรณีที่เกิดแรงดันไฟฟ้าตก

การจำลองการทำงานของเซอร์กิตเบรกเกอร์แบบโซลิดสเตตในกรณีที่เกิดแรงดันไฟฟ้าตก โดยระบบจะเริ่มช่วงเวลา 0 มิลลิวินาที ถึง 200 มิลลิวินาที เริ่มจำลองการเกิดความผิดปกติในกรณีแรงดันไฟฟ้าตกในช่วงเวลาในการจำลองที่ 100 มิลลิวินาที เริ่มทำให้ค่าแรงดันไฟฟ้าของระบบเป็น 190 โวลต์ เมื่อมีความผิดปกติจะมีการตรวจจับความผิดปกติเกิดขึ้นจะมีเวลาในการประมวลผล 3 ลูกคลื่นหรือ 60 มิลลิวินาที จึงมีการตัดวงจรโดยใช้ ไอจีบีที เป็นตัววงจรการทำงานของเซอร์กิตเบรกเกอร์แบบโซลิดสเตต 160 มิลลิวินาที สิ้นสุดการจำลองที่ 200 มิลลิวินาที

สรุปผลการจำลองการทำงานของเซอร์กิตเบรกเกอร์ตั้งค่าการตรวจจับค่าอาร์เอ็มเอสน้อยกว่าหรือเท่ากับ 190 โวลต์ของ Matlab/Embedded ทำการปรับค่าแรงดันของแหล่งจ่ายน้อยกว่า 190 โวลต์ ทำให้เซอร์กิตเบรกเกอร์ตัดวงจรดังรูปที่ 3.5

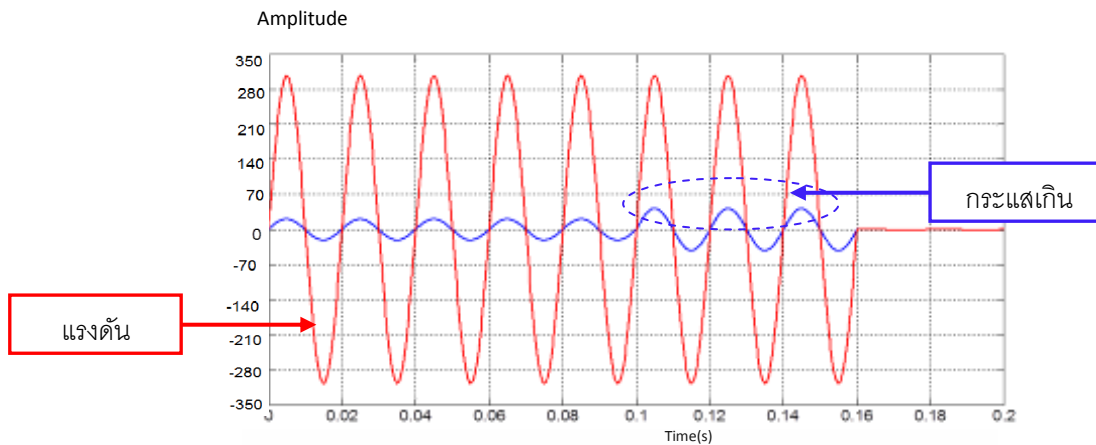


รูปที่ 3.5 การจำลองของเซอร์กิตเบรกเกอร์แบบโซลิดสเตตขณะแรงดันไฟฟ้าตก

3.4 การทำงานของเซอร์กิตเบรกเกอร์แบบโซลิดสเตตกรณีที่เกิดกระแสไฟฟ้าเกิน

การจำลองการทำงานของเซอร์กิตเบรกเกอร์แบบโซลิดสเตตในกรณีที่กระแสไฟฟ้าเกินโดยระบบจะเริ่มช่วงเวลา 0 มิลลิวินาทีถึง 200 มิลลิวินาที เริ่มจำลองการเกิดความผิดปกติในกรณีกระแสเกินในช่วงเวลาในการจำลองที่ 100 มิลลิวินาที เริ่มทำให้ค่ากระแสของระบบเป็น 30 แอมแปร์ เส้นสีน้ำเงินคือค่ากระแส เมื่อมีความผิดปกติจะมีการตรวจจับความผิดปกติเกิดขึ้นจะมีเวลาในการประมวลผล 3 ลูกคลื่นหรือ 60 มิลลิวินาที การตัดวงจรโดยใช้ ไอจีบีทีเป็นตัวยกการทำงานของเซอร์กิตเบรกเกอร์แบบโซลิดสเตต 160 มิลลิวินาที สิ้นสุดการจำลองที่ 200 มิลลิวินาที

สรุปผลการจำลองการทำงานของเซอร์กิตเบรกเกอร์ตั้งค่าการตรวจจับค่าอาร์เอ็มเอสมากกว่าหรือเท่ากับ 30 แอมแปร์ของ Matlab/Embedded ทำการต่อความต้านทานที่โหลดทำให้เกิดกระแสไฟฟ้าเกินสามารถวัดกระแสของโหลดดังรูปที่ 3.6

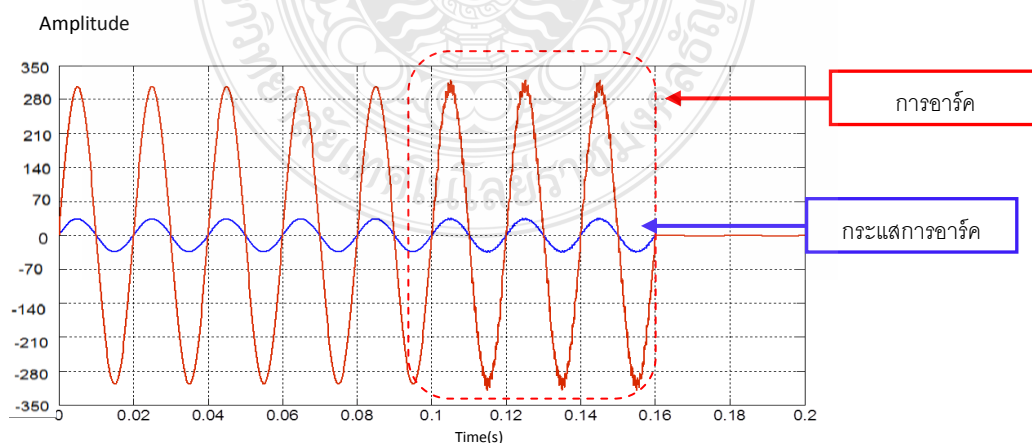


รูปที่ 3.6 การจำลองของเซอร์กิตเบรกเกอร์แบบโซลิตสเตรคขณะกระแสเกิน

3.5 การทำงานของเซอร์กิตเบรกเกอร์แบบโซลิตสเตรคกรณีที่เกิดการอาร์ค

การจำลองการทำงานของเซอร์กิตเบรกเกอร์แบบโซลิตสเตรคในกรณีที่เกิดการอาร์คโดยระบบจะเริ่มช่วงเวลาที 0 มิลลิวินาทีถึง 200 มิลลิวินาที เริ่มจำลองการเกิดความผิดปกติในกรณีเกิดการอาร์คในช่วงเวลาในการจำลองที่ 100 มิลลิวินาที เริ่มทำให้ค่าแรงดันไฟฟ้าของระบบเป็น 220 โวลต์ และจะมีการมอดูเลตสัญญาณความถี่ค่าขดต่ำกับสัญญาณแรงดัน 220 โวลต์ทำให้เกิด มีความผิดปกติเกิดขึ้น จะมีการตรวจจับความผิดปกติเกิดขึ้นจะมีเวลาในการประมวลผล 3 ลูกคลื่นหรือ 60 มิลลิวินาที จึงมีการตัดวงจรโดยใช้ ไอจีบีทีเป็นตัดวงจรการทำงานของเซอร์กิตเบรกเกอร์แบบโซลิตสเตรค 160 มิลลิวินาที สิ้นสุดการจำลองที่ 200 มิลลิวินาที

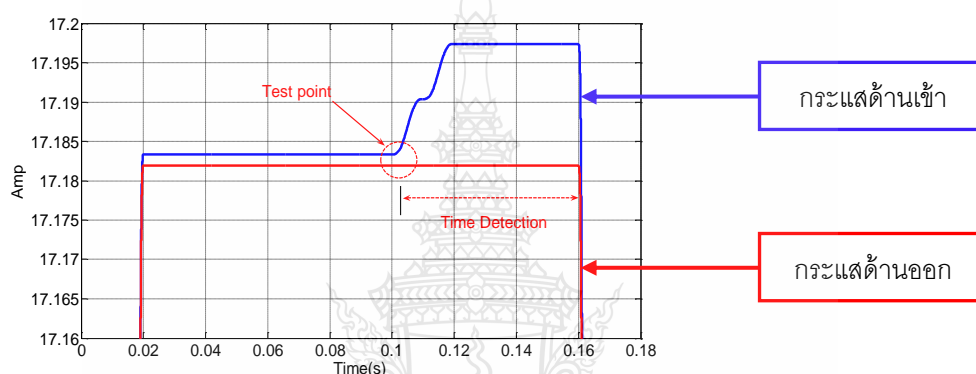
สรุปผลการจำลองการทำงานของเซอร์กิตเบรกเกอร์ตั้งค่าการตรวจจับค่าการอาร์คโดยใช้วิธีอาร์เอสเอสไอ โดยการนำสัญญาณกระแสไฟฟ้ามาทำการอนุพันธ์ จากนั้นทำการหาค่าสัมบูรณ์และเปรียบเทียบแรงดันอ้างอิง ทำการเปรียบเทียบผลโดยใช้ฟังก์ชันการทำงานของMathlab/Embedded สามารถวัดกระแสอาร์คที่ไหลดังรูปที่3.7



รูปที่ 3.7 การจำลองเซอร์กิตเบรกเกอร์แบบโซลิตสเตรคขณะเกิดการอาร์ค

3.6 การทำงานของเซอร์กิตเบรกเกอร์แบบโซลิดสเตตกรณีที่เกิดกระแสไฟฟ้ารั่ว

การจำลองการทำงานของเซอร์กิตเบรกเกอร์แบบโซลิดสเตตในกรณีที่เกิดการกระแสไฟฟ้ารั่ว โดยระบบจะเริ่มช่วงเวลาตั้งแต่ 2 มิลลิวินาที ถึง 16 มิลลิวินาที เริ่มจำลองการเกิดความผิดปกติในกรณีเกิดการรั่วไหลของกระแสไฟฟ้า ช่วงเวลาในการจำลองที่ 10 มิลลิวินาที เริ่มทำการตรวจจับกระแสไฟฟ้ารั่ว มีความผิดปกติเกิดขึ้น จะมีการตรวจจับความผิดปกติเกิดขึ้นจะมีเวลาในการประมวลผล 14 มิลลิวินาทีจึงมีการตัดวงจรโดยใช้ ไอจีบีทีเป็นตัดวงจรการทำงานของเซอร์กิตเบรกเกอร์แบบโซลิดสเตต ดังรูปที่ 3.8



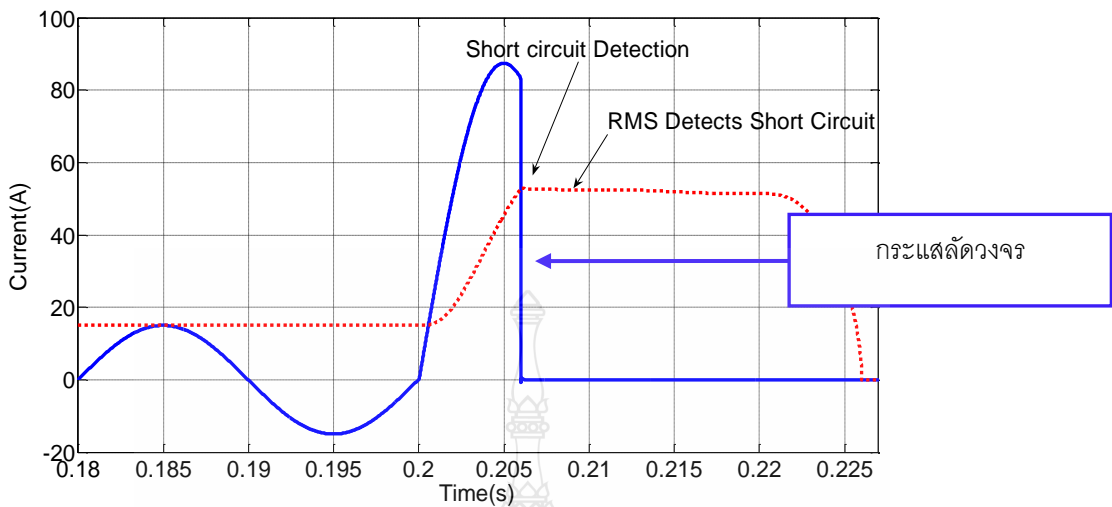
รูปที่ 3.8 การจำลองเซอร์กิตเบรกเกอร์แบบโซลิดสเตตขณะกระแสไฟฟ้ารั่ว

การจำลองการทำงานของเซอร์กิตเบรกเกอร์แบบโซลิดสเตตในกรณีที่เกิดการการลัดวงจร โดยระบบจะเริ่มช่วงเวลาตั้งแต่ 20 มิลลิวินาที ถึง 20.5 มิลลิวินาที เริ่มจำลองการเกิดความผิดปกติในกรณีเกิดการลัดวงจรในช่วงเวลาในการจำลองที่ 20 มิลลิวินาที

สรุปผลการจำลองการทำงานของเซอร์กิตเบรกเกอร์ตั้งค่าการตรวจจับค่าอาร์เอ็มเอสมากกว่าหรือเท่ากับ 25 มิลลิแอมป์ของ Mathlab/Embadded ทำการต่อความต้านทานที่โหลดทำให้เกิดกระแสรั่วสามารถวัดกระแสที่ด้านเข้าและด้านออกของโหลด

3.7 การทำงานของเซอร์กิตเบรกเกอร์แบบโซลิดสเตตกรณีที่เกิดการลัดวงจร

เริ่มทำให้ปรับค่ากระแสไฟฟ้าของวงจรโดยการลดค่าอิมพีแดนซ์ของวงจร การประมวลผลการทำงานเริ่มที่ 20.5 มิลลิวินาทีจึงมีการตัดวงจร โดยใช้ ไอจีบีทีเป็นตัดวงจรการทำงานของเซอร์กิตเบรกเกอร์ดังรูปที่ 3.9



รูปที่ 3.9 การจำลองการตัดวงจรของเซอร์กิตเบรกเกอร์แบบลัดวงจร

สรุปผลการจำลองการทำงานของเซอร์กิตเบรกเกอร์ตั้งค่าการตรวจจับค่ายอดของการลัดวงจรมากกว่าหรือเท่ากับ 80 แอมแปร์ของ Mathlab/Embadded ทำการลัดวงจรที่โหลดสามารถวัดกระแสที่โหลด

3.8 สรุปการออกแบบเซอร์กิตเบรกเกอร์แบบโซลิดสเตต

การออกแบบและการจำลองเซอร์กิตเบรกเกอร์แบบโซลิดสเตตผลการจำลองนั้น สรุปได้ว่า หลักการทำงานของโซลิดสเตตเซอร์กิตเบรกเกอร์มีส่วนประกอบด้วย 3 ส่วนคือ ส่วนการตรวจจับ ส่วนการสวิตช์และส่วนการควบคุม ซึ่งส่วนการตรวจจับจะใช้หลักการแปลงกระแสและแรงดันให้เป็นสัญญาณและได้ทำการ ขระดับสัญญาณเพื่อจะเข้าไมโครคอนโทรลเลอร์ STM32F4 ผลการจำลองการทำงานของโซลิดสเตตเซอร์กิตเบรกเกอร์จะมีการจำลองความผิดปกติของกระแสไฟฟ้าและแรงดันไฟฟ้างาน เช่น กระแสไฟฟ้าเกิน กระแสไฟฟ้ารั่ว การลัดวงจร แรงดันไฟฟ้าตก แรงดันไฟฟ้าเกิน การอาร์ค พิกัดของของเซอร์กิตเบรกเกอร์แบบโซลิดสเตต ขนาดอัตราการทนกระแสที่ 30 แอมแปร์ พิกัดแรงดัน 220 โวลต์ เพื่อเป็นอุปกรณ์ป้องกันจากระบบไฟฟ้าที่มีความผิดปกติเกิดขึ้น

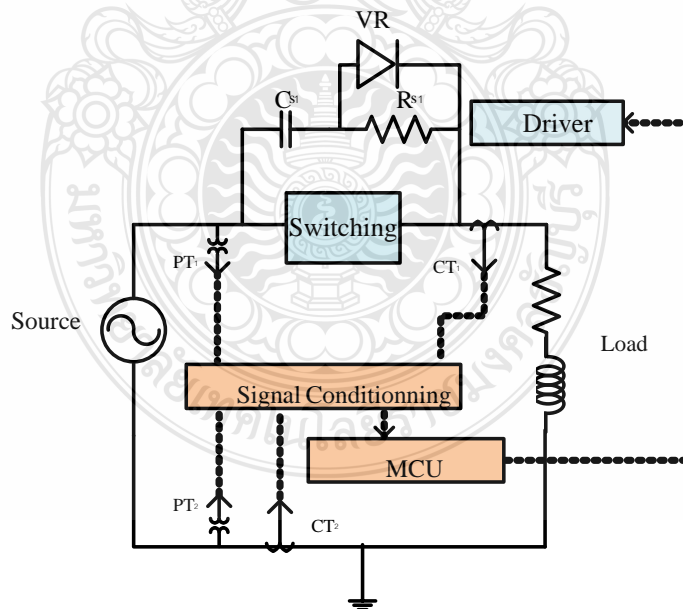
บทที่ 4

การทดสอบการทำงานและผลวิเคราะห์ข้อมูล

บทนี้จะกล่าวถึงโครงสร้างทางด้านฮาร์ดแวร์ทั้งระบบและค่าพารามิเตอร์ต่างๆที่ถูกใช้ทดสอบการทำงานจริง รวมทั้งผลการทดสอบการทำงานของระบบ ซึ่งการทดสอบเซอร์กิตเบรกเกอร์แบบโซลิดสเตต ในระบบไฟฟ้าแรงต่ำ ต่อดวงจรไฟฟ้า 1 เฟส แรงดัน 220 โวลต์ความถี่ที่ 50 เฮิรตซ์ การทดสอบแรงดันไฟฟ้าผิดปกติ ทดสอบที่พิกัดแรงดันน้อยกว่าหรือเท่ากับ 190 โวลต์ แรงดันเกิน ทดสอบที่พิกัดแรงดันมากกว่าหรือเท่ากับ 250 โวลต์กระแสเกิน ทดสอบที่พิกัดกระแสไฟฟ้าเกิน มากกว่าหรือเท่ากับ 30 แอมแปร์กระแสไฟฟ้ารั่วทดสอบที่พิกัดกระแสมากกว่าหรือเท่ากับ 30 มิลลิแอมแปร์ การลัดวงจรที่กระแสไฟฟ้า 80 แอมแปร์และการอาร์คทดสอบที่ความต่อเนื่องของการอาร์ค

4.1 ชุดทดสอบของเซอร์กิตเบรกเกอร์แบบโซลิดสเตต

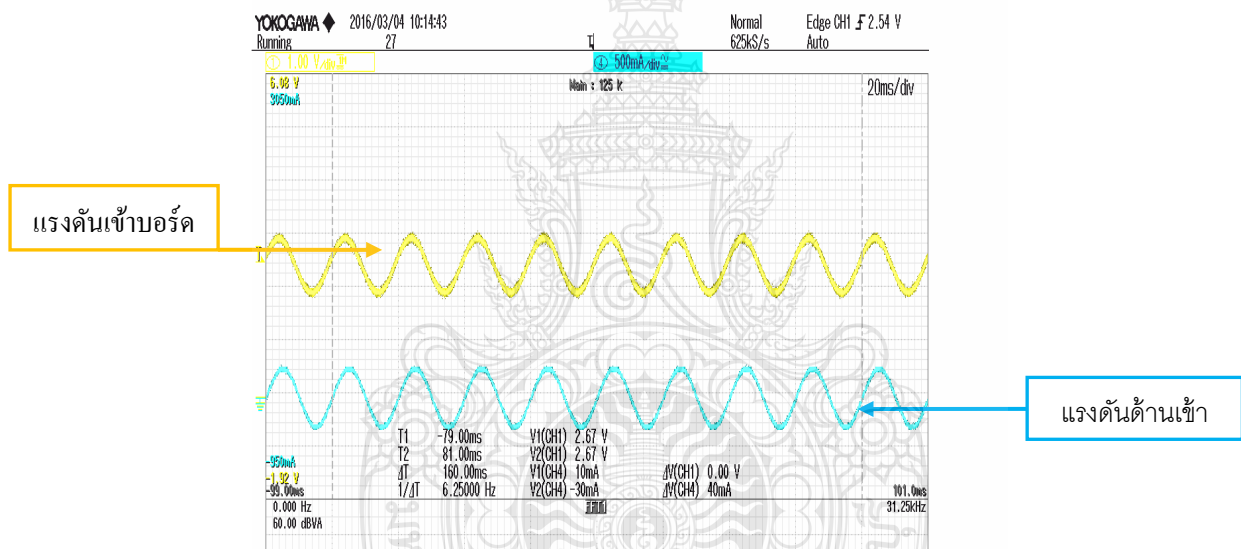
โครงสร้างของเซอร์กิตเบรกเกอร์โดยรวมของฮาร์ดแวร์แสดงดังภาพที่ 4.1 ประกอบด้วย วงจรการตัดต่อวงจรร่วมกับวงจรสับเบอร์ ชุดการตรวจจับกระแสและแรงดัน ชุดไมโครคอนโทรลเลอร์ STM32F4 ขนาดพิกัด 30 แอมแปร์ 220 โวลต์ 50 เฮิรตซ์ และ อินดักทีฟโหลด



รูปที่ 4.1 โครงสร้างของของเซอร์กิตเบรกเกอร์แบบโซลิดสเตต

4.2 การทดสอบการทำงานของการทำงานของตัวควบคุมแรงดันไฟฟ้าและกระแสไฟฟ้า

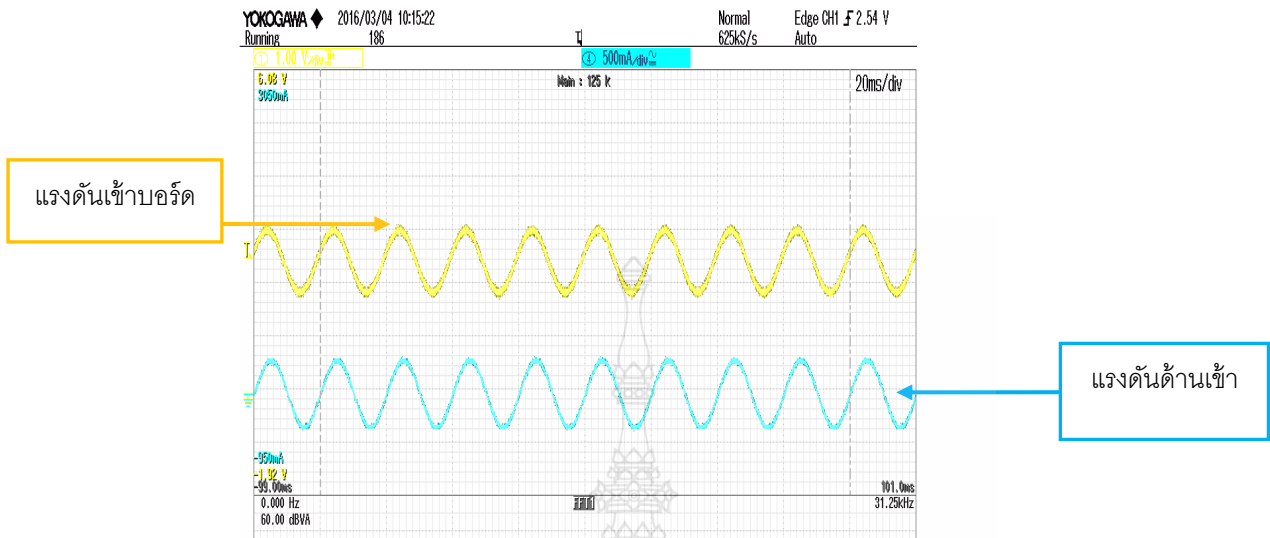
วัดสัญญาณจากออสซิลโลสโคป(YOKOGAWA DLM2024 2.5GS/s 200MHz Mixed Signal Oscilloscope) ดังรูป 4.2 สี่ฟามีขนาดแรงดันประมาณ 220 โวลต์ ความถี่ 50 Hz โดยผ่านการวัดจากตัววัดสัญญาณแรงดัน(Differential Probe Sapphire Instruments SI-9110 500mA/div) สี่เหลี่ยมเป็นสัญญาณที่ออกจากตัวตรวจวัดแรงดันซึ่งทำการยกระดับ(Signal Conditioning)แล้วสามารถที่จะผ่านเข้าไปในไมโครคอนโทรลเลอร์ได้ ขนาดแรงดันด้านเข้าจะมีมูฟเฟสที่ตรงกับแรงดันด้านออกจากตัวตรวจวัดแรงดันแต่จะต้องใช้โหมดการเชื่อมต่อกระแสสลับ(AC coupling Mode) และค่ายอดจะต่างกันโดยพิกัดแรงดัน 0-3.3 โวลต์ ดังรูป 4.2



รูปที่ 4.2 แรงดันด้านเข้าและสัญญาณแรงดันเข้าบอร์ด STM32F4

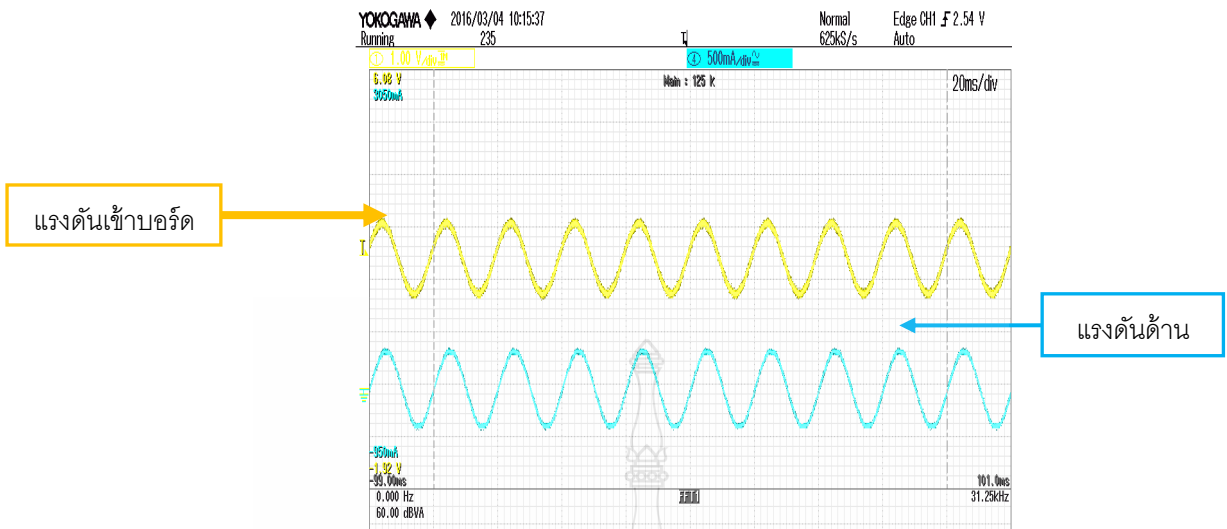
ผลที่ได้จากการวัดสรุปได้ว่าเมื่อแรงดันไฟฟ้ามีการวัดค่ายอดประมาณ 310 โวลต์และนำมาเข้าตัวตรวจวัดแรงดัน ZMPT101B Signal Phase AC Voltage Transformer Sensor Module สามารถที่จะปรับค่ายอดของสัญญาณและยกระดับสัญญาณก่อนที่จะเข้าไมโครคอนโทรลเลอร์ STM32F4 และสามารถปรับค่าแรงดันโดยใช้ Voltage Regulator Input 220 Volt/50-60 Hz, Output 0-250 Volt ได้ โดยแรงดันที่วัดออกมาจาก ZMPT101B ประมาณ 2.67 โวลต์

เริ่มทำการปรับแรงดัน 0-220 โดยใช้ตัวปรับแรงดัน(Voltage Regulator โมเดล TDGC2-1KVA)ใช้มัลติมิเตอร์เป็นตัววัดค่าแรงดันที่ออกจากตัวปรับแรงดัน



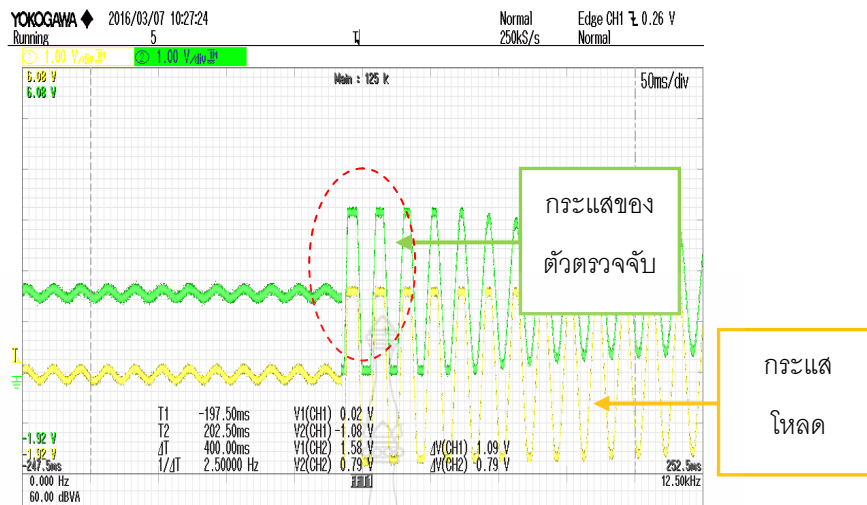
รูปที่ 4.3 แรงดันด้านเข้าและสัญญาณแรงดันเข้าบอร์ด STM32F เมื่อเกิดแรงดันไฟฟ้าตก

ทำการลดระดับแรงดัน 190 โวลต์ จะได้สัญญาณอนาล็อกที่จะเข้าไมโครคอนโทรลเลอร์ ดังรูป 4.3 โดยใช้ตัวรับแรงดัน(Voltage Regulator โมเดล TDGC2-1KVA)และใช้มัลติมิเตอร์(Digital Multimeter CD771 Auto Power Off SANWA)เป็นตัววัดค่าแรงดันที่ออกจากตัวรับแรงดันจะเห็นว่าค่าของแรงดันจะมีการเปลี่ยนแปลงลดลง เมื่อเทียบกับแรงดันใช้งาน ดังรูป 4.4 ผลที่ได้จากการวัดสรุปได้ว่าเมื่อแรงดันไฟฟ้ามีการวัดค่าขอยอด 269 โวลต์และนำมาเข้าตัวตรวจจับแรงดัน ZMPT101B Signal Phase AC Voltage Transformer Sensor Module สามารถที่จะปรับค่าของสัญญาณลดลงและยกระดับสัญญาณก่อนที่จะเข้าไมโครคอนโทรลเลอร์ STM32F4 และสามารถปรับค่าแรงดันโดยใช้ Voltage Regulator Input 220 Volt/50-60 Hz, Output 0-250 Volt ได้ โดยแรงดันที่วัดออกมาจาก ZMPT101B ประมาณ 2.42 โวลต์วัดสัญญาณจากออสซิลโลสโคป สีฟ้ามีขนาดแรงดันประมาณ 250 โวลต์ ความถี่ 50 เฮิร์ตซ์โดยผ่านการวัดจากโดยผ่านการวัดจากตัววัดสัญญาณแรงดันสีเหลืองเป็นสัญญาณที่ออกจากตัวตรวจวัดแรงดันซึ่งทำการยกระดับสัญญาณแล้วสามารถที่จะผ่านเข้าไปในไมโครคอนโทรลเลอร์ ได้ ขนาดแรงดันด้านเข้าจะมีมูฟเฟสที่ตรงกับแรงดันด้านออกจาก ตัวตรวจจับแรงดันแต่จะต้องใช้ โหมดเชื่อมต่อกรแสสลับ(Couping Mode AC)และค่าขอยอดจะต่างกันโดยพิกัดแรงดัน 0-3.3 โวลต์ดังรูป 4.4

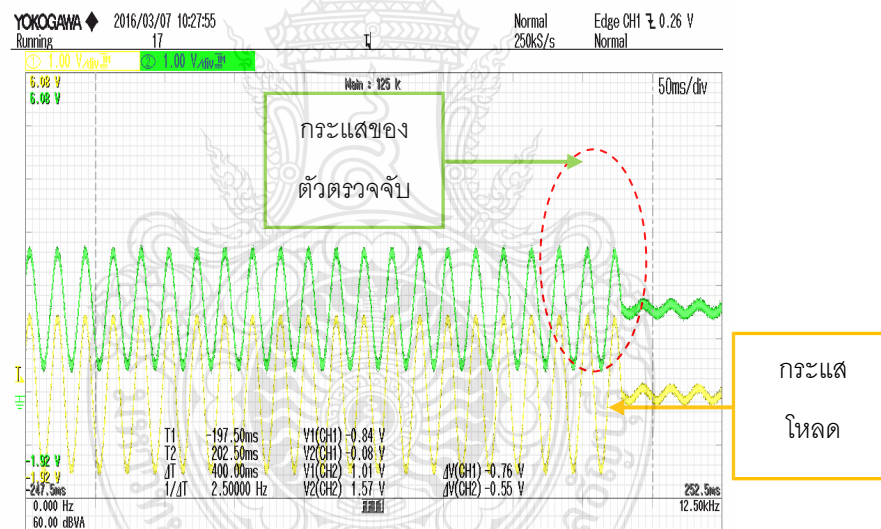


รูปที่ 4.4 แรงดันด้านเข้าและสัญญาณแรงดันเข้าบอร์ด STM32F เมื่อเกิดแรงดัน ไฟฟ้าเกิน

ผลที่ได้จากการวัดสรุปได้ว่าเมื่อแรงดันไฟฟ้ามักมีการวัดค่าขอยอด 354 โวลต์และนำมาเข้าตัวตรวจจับแรงดัน ZMPT101B Signal Phase AC Voltage Transformer Sensor Module สามารถที่จะปรับค่าขอยอดของสัญญาณเพิ่มขึ้นและยกระดับสัญญาณก่อนที่จะเข้าไมโครคอนโทรลเลอร์ STM32F4 และสามารถปรับค่าแรงดันโดยใช้ Voltage Regulator Input 220 Volt/50-60 Hz, Output 0-250 Volt ได้ โดยแรงดันที่วัดออกมาจาก ZMP101B ประมาณ 3.2 โวลต์ และไม่ให้เป็นอันตรายต่อบอร์ดควรมีการปรับระดับแรงดันให้เหมาะสมไม่ให้เกินพิกัดก่อนที่จะเข้าบอร์ด การตรวจวัดสัญญาณกระแส โดยปกติจะมีการวัดค่ากระแสที่โหลดประมาณ 10 แอมแปร์ หลังจากนั้นจะมีการเพิ่มกระแสของโหลดให้เกิน 30 แอมแปร์ เพื่อที่จะทำให้อยู่ในช่วงกระแสเกิน เพื่อไปปรับแต่งค่าสัญญาณก่อนเข้าไมโครคอนโทรลเลอร์สีเขียวคือสัญญาณของกระแสที่ผ่านการยกระดับสัญญาณก่อนจะเข้าไมโครคอนโทรลเลอร์ สีเหลืองคือการวัดสัญญาณกระแสโหลดดังรูป 4.6 กระแสที่โหลดและสัญญาณกระแสเข้าบอร์ดไมโครคอนโทรลเลอร์เมื่อต่อวงจรกระแสที่โหลดและสัญญาณกระแสเข้าบอร์ดไมโครคอนโทรลเลอร์เมื่อตัดวงจรดังรูปที่ 4.5ผลที่ได้จากการวัดสรุปได้ว่าเมื่อกระแสไฟฟ้ามักมีการวัดค่าประมาณ 10 แอมแปร์ และนำมาเข้าตัวตรวจจับกระแส ACS172-30Aสามารถที่ยกระดับสัญญาณก่อนที่จะเข้าไมโครคอนโทรลเลอร์ STM32F4 และสามารถปรับค่ากระแส โดยการต่อโหลดเพิ่มเป็น 30 แอมแปร์ โดยใช้ปรับค่าให้เหมาะสมประมาณ 3 โวลต์ก่อนที่จะเข้าไมโครคอนโทรลเลอร์ STM32F4

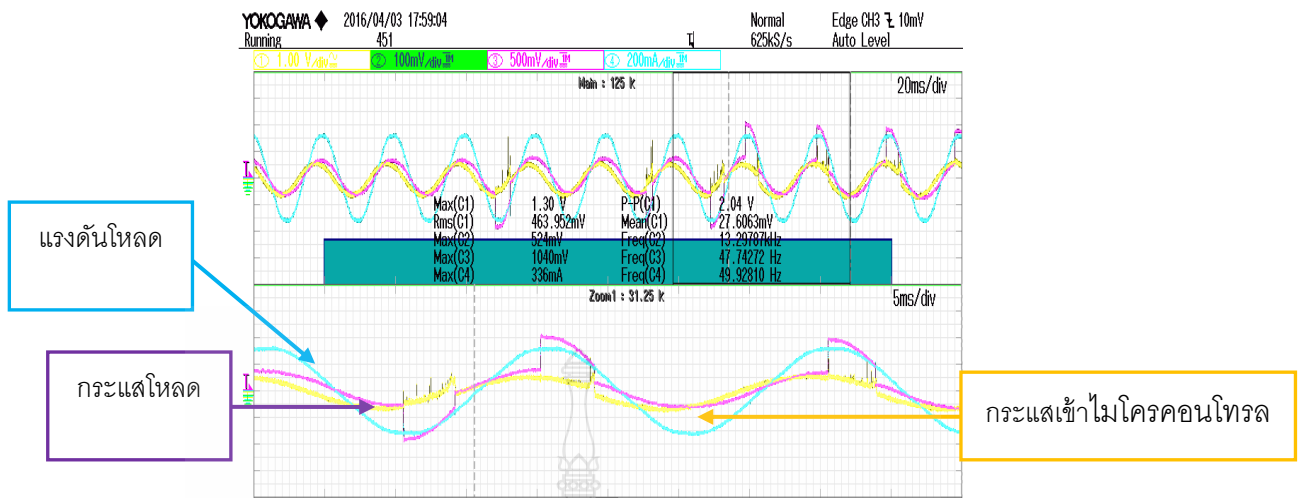


รูปที่ 4.5 กระแสที่ไหลตและสัญญาณกระแสเข้าบอร์ดไมโครคอนโทรลเลอร์ต่อวงจร



รูปที่ 4.6 กระแสที่ไหลตและสัญญาณกระแสเข้าบอร์ดไมโครคอนโทรลเลอร์เมื่อตัดวงจร

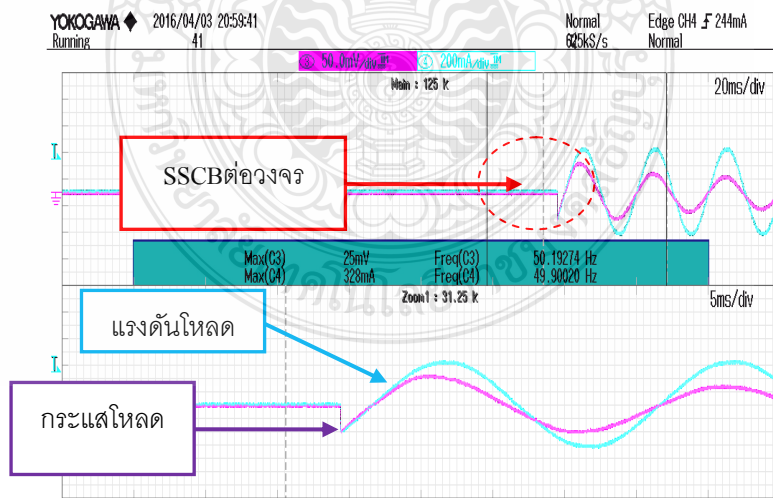
การทดสอบสัญญาณการอาร์คของเซอร์กิตเบรกเกอร์แบบโซลิดสเตต การทดสอบและวัดค่าเส้นสัญญาณก่อนที่จะเข้าไมโครคอนโทรลเลอร์สีม่วงแสดงการวัดค่ากระแสไหลตทดสอบที่พิกัด 5 แอมแปร์ สีฟ้าวัดแรงดันที่ตกคอมโพลตพิกัด 220 โวลต์ความถี่ 50 เฮิร์ตซ์ สีเหลืองแสดงกระแสเข้าไมโครคอนโทรลเลอร์ ดังรูปที่ 4.7



รูปที่ 4.7 การอาร์คของเซอร์กิตเบรกเกอร์แบบโซลิดสเตต

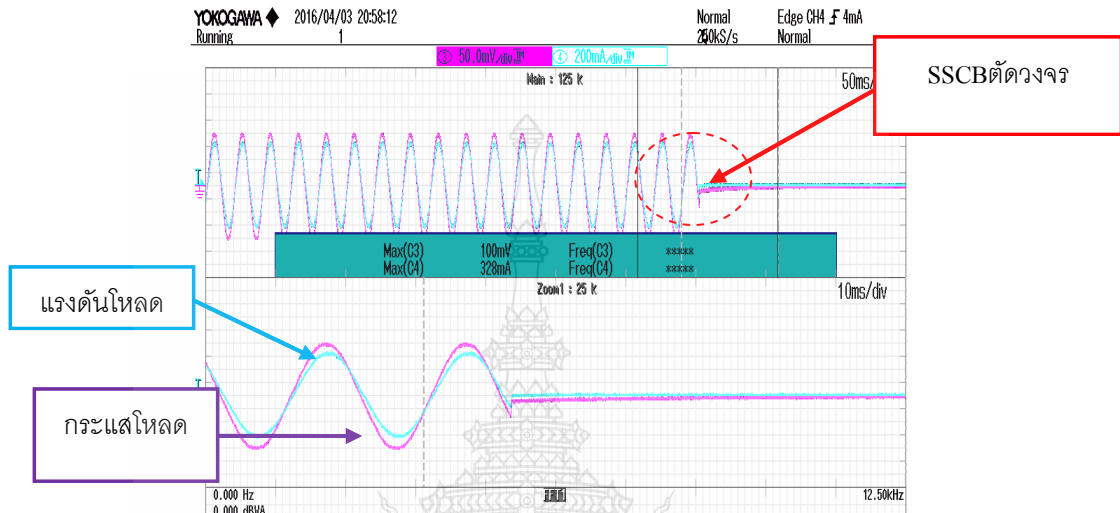
ผลที่ได้จากการวัดสรุปได้ว่าเมื่อเกิดการอาร์คเกิดขึ้น รูปคลื่นกระแสไฟฟ้าจะมีรูปคลื่นที่ผิดเพี้ยน และนำมาเข้าตัวตรวจจับกระแส ACS172-30Aสามารถที่ยกระดับสัญญาณก่อนที่จะเข้าไมโครคอนโทรลเลอร์ได้

4.3 การทดสอบการตัดและต่อวงจรของเซอร์กิตเบรกเกอร์แบบโซลิดสเตต



รูปที่ 4.8 การทดสอบการต่อวงจรของเซอร์กิตเบรกเกอร์แบบโซลิดสเตต

การทดสอบเซอร์กิตเบรกเกอร์แบบโซลิดสเตตในสภาวะปกติเริ่มทำการทดสอบและวัดค่า
เส้นสัญญาณสีม่วงแสดงการกระแส 5 แอมแปร์ สีฟ้าแสดงแรงดันพิกัด 220 โวลต์ความถี่ 50 เฮิรตซ์
รูปที่ 4.8

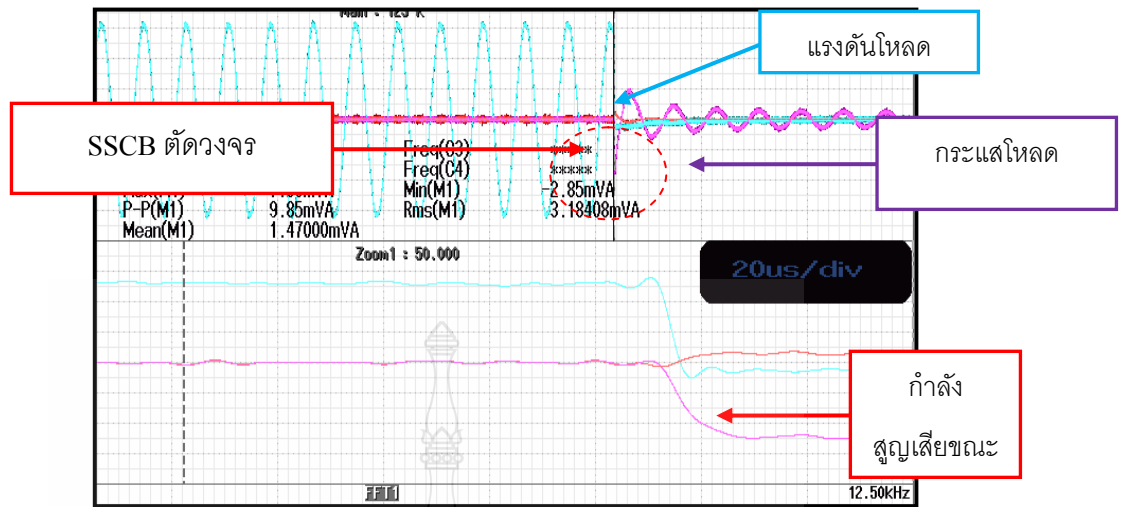


รูปที่ 4.9 การทดสอบการตัดวงจรของเซอร์กิตเบรกเกอร์แบบโซลิดสเตต

รูปที่ 4.9การทดสอบการตัดวงจรของเซอร์กิตเบรกเกอร์แบบโซลิดสเตตในสภาวะปกติการ
ทดสอบและวัดค่าเส้นสัญญาณสีม่วงแสดงการกระแส 5 แอมแปร์ สีฟ้าแสดงแรงดันพิกัด 220 โวลต์
ความถี่ 50 เฮิรตซ์ ผลที่ได้จากการวัดสรุปได้ว่าเซอร์กิตเบรกเกอร์แบบโซลิดสเตตสามารถที่จะตัด
และต่อวงจรได้เมื่อแรงดันไฟฟ้ามีการวัดค่าขอด 310 โวลต์ที่กระแสโหด 5 แอมแปร์ โดยกดสวิทช์
เปิดปิดและสามารถรีเซตการทำงานได้

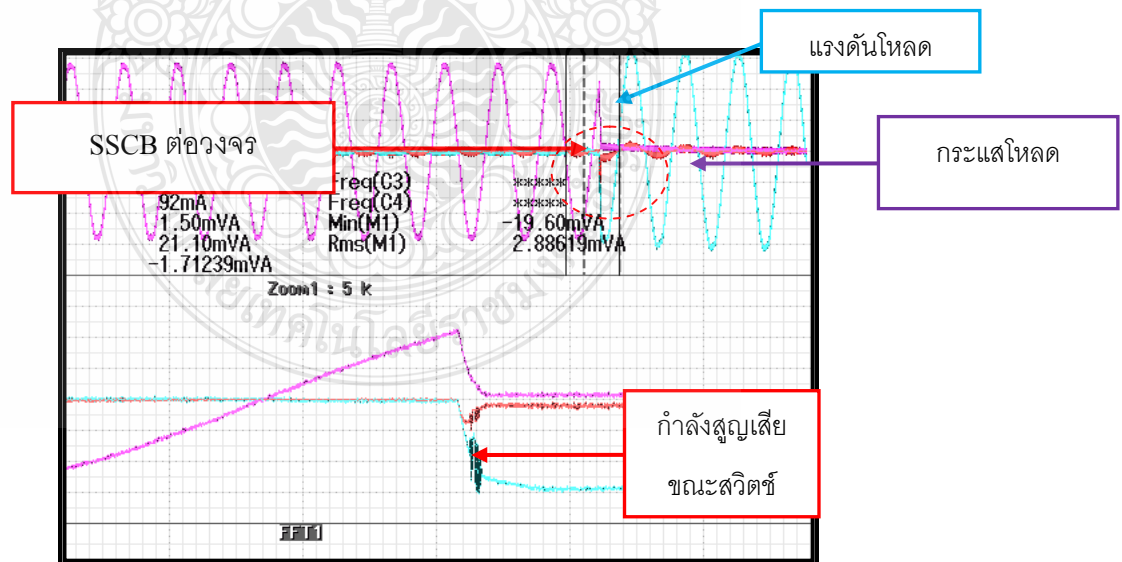
4.4 การวัดกำลังสูญเสียของเซอร์กิตเบรกเกอร์แบบโซลิดสเตตขณะทำการสวิทช์

เซอร์กิตเบรกเกอร์แบบโซลิดสเตตทำการวัดค่าการสูญเสียของการสวิทช์ เริ่มทำการทดสอบ
และวัดโดยการใช้โหนดขนาด 5 แอมแปร์ ดังแสดงดังรูป 4.10 หลังจากนั้นทำการทดสอบในสภาวะ
ปกติแรงดัน 220 โวลต์ สัญญาณม่วงวัดกระแสและสัญญาณสีฟ้าวัดค่าแรงดัน สีแดงแสดงกำลัง
สูญเสียในการตัดวงจรของ เซอร์กิตเบรกเกอร์แบบโซลิดสเตตใน ดังรูปที่ 4.10และรูปที่ 4.11 การวัด
กำลังสูญเสียในการสวิทช์ของเซอร์กิตเบรกเกอร์แบบโซลิดสเตตเมื่อต่อวงจร



รูปที่ 4.10 กำลังสูญเสียในการสวิตช์ของเซอร์กิตเบรกเกอร์แบบ โซลิดสเตตเมื่อตัดวงจร

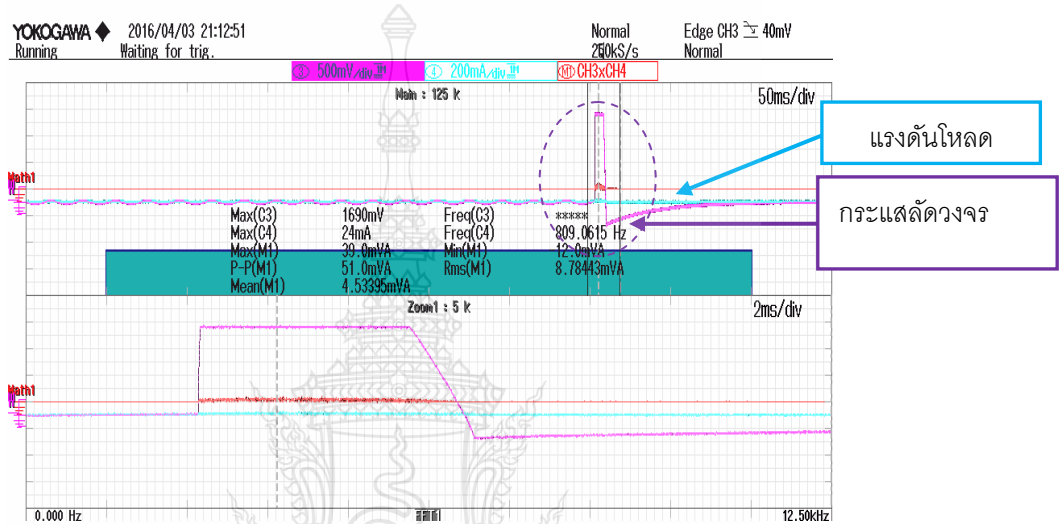
ผลที่ได้จากการวัดสรุปได้ว่าเมื่อแรงดันที่ตกคร่อมสวิตช์และกระแสที่ผ่านสวิตช์ของเซอร์กิตเบรกเกอร์แบบ โซลิดสเตตเมื่อตัดและต่อวงจรสามารถที่จะวัดค่ากำลังสูญเสียในการสวิตช์ โดยการนำสัญญาณกระแสและสัญญาณแรงดันที่วัดมาคูณกัน ซึ่งในโหมดการทำงานของออสซิโคสโคปจะมีอยู่ให้ทำการกำหนดเป็นช่อง 1 และ ช่อง 2 แล้วทำการทริกเกอร์ริงเพื่อจับรูปสัญญาณขณะทำการตัดและต่อวงจร



รูปที่ 4.11 กำลังสูญเสียในการสวิตช์ของเซอร์กิตเบรกเกอร์แบบ โซลิดสเตตเมื่อต่อวงจร

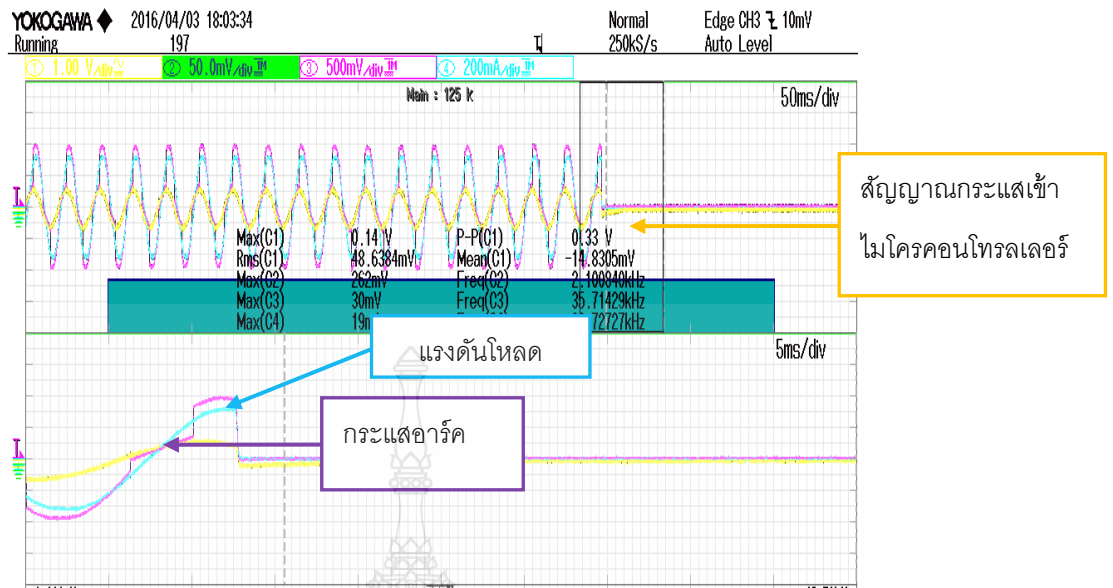
4.5 การทดสอบเซอร์กิตเบรกเกอร์แบบโซลิดสเตต

ผลการทดสอบการลัดวงจรของเซอร์กิตเบรกเกอร์แบบโซลิดสเตตการทำงานเมื่อเกิดการลัดวงจรโดยการจ่ายโหลด โดยการใส่สายไฟต่อที่ขั้วโหลด โดยทดสอบที่พิกัดแรงดัน 220 โวลต์ และกระแสโหลด 5 แอมแปร์ ผลการทดสอบการทำงานเมื่อการลัดวงจรดังรูปที่ 4.12 กระแสไฟฟ้าที่ลัดวงจรประมาณ 80 แอมแปร์



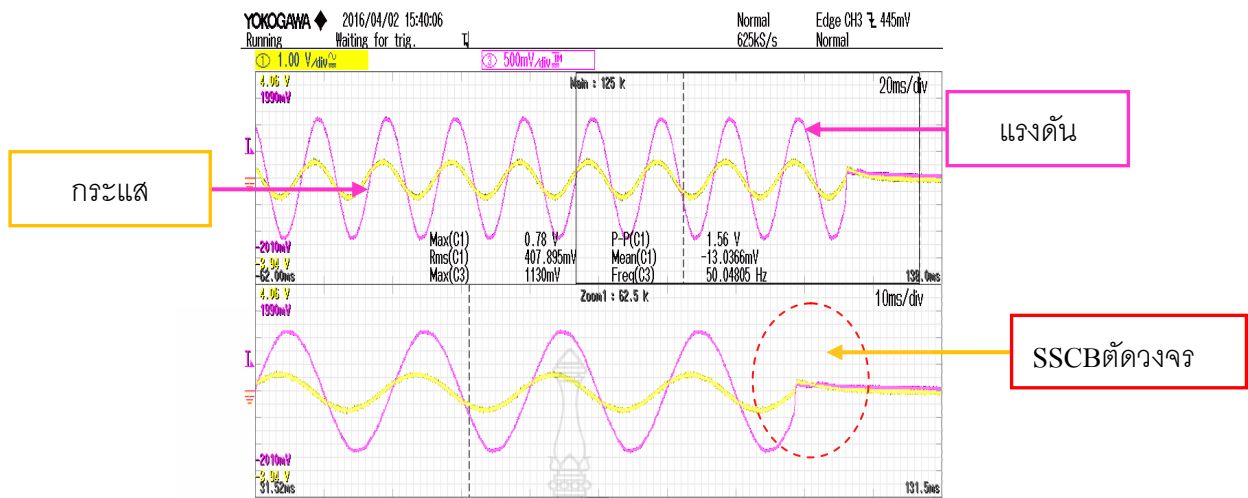
รูปที่ 4.12 ทดสอบการลัดวงจรของเซอร์กิตเบรกเกอร์แบบโซลิดสเตต

ผลที่ได้จากการวัดสรุปได้ว่าเมื่อกระแสไฟฟ้าโหลดมีการวัดค่าประมาณ 5 แอมแปร์ ได้ทำการลัดวงจรที่โหลด ทำให้เซอร์กิตเบรกเกอร์แบบโซลิดสเตตสามารถที่จะตรวจจับและตัดวงจรได้ โดยการตั้งค่าใน Waijung Blocksets ที่สามารถตรวจจับค่ากระแสไฟฟ้าลัดวงจรได้ 80 แอมแปร์ สัญญาณเข้าไปยัง Waijung Blocksets ชุดคำสั่งของไมโครคอนโทรลเลอร์ STM32F4 ตรวจจับพบสัญญาณผิดปกติทำให้ Embedded function ทำงานส่งสัญญาณตัดวงจรแสดงดังรูป 4.12 การทดสอบการอาร์คของเซอร์กิตเบรกเกอร์แบบโซลิดสเตต สีเหลืองสัญญาณกระแสเข้าไมโครคอนโทรลเลอร์ สีฟ้าแรงดัน 220 โวลต์ สีม่วงกระแสอาร์คที่โหลด เมื่อมีการอาร์คเกิดขึ้น จะเห็นได้ว่ารูปคลื่นกระแสไฟฟ้ามืดเพี้ยนดังรูปที่ 4.13



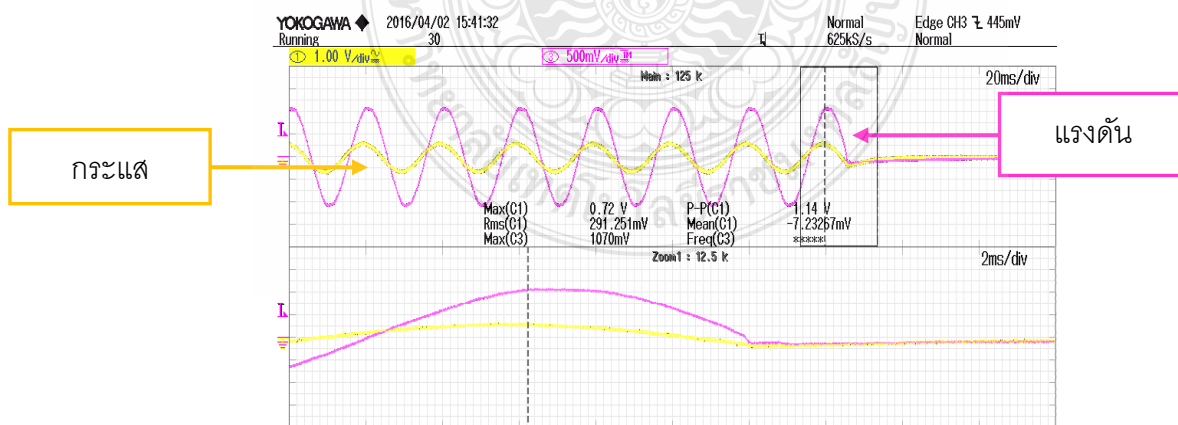
รูปที่ 4.13 การทดสอบการอาร์คของเซอร์กิตเบรกเกอร์แบบ โซลิดสเตต

ผลที่ได้จากการวัดสรุปได้ว่าเมื่อเกิดการอาร์ครูปคลื่นกระแสไฟฟ้าจะมีความผิดเพี้ยน มีการวัดได้ กระแสโหลด ประมาณ 5 แอมแปร์ และนำมาเข้าตัวตรวจจับกระแส ACS172-30A ส่งสัญญาณ ไมโครคอนโทรลเลอร์ สัญญาณเข้าไปยัง Waijung Blocksets ชุดคำสั่งของไมโครคอนโทรลเลอร์ STM32F4 ตรวจจับพบสัญญาณผิดปกติทำให้ Embedded function ทำงานส่งสัญญาณตัดวงจรแสดง ในรูป 4.13 การทดสอบเซอร์กิตเบรกเกอร์แบบโซลิดสเตตในสภาวะแรงดันเกิน เริ่มทำการทดสอบ และปรับตัวจ่ายแรงดัน จาก 220 โวลต์ ไปถึง พิกัดแรงดัน 250 โวลต์ สีม่วงคือค่าสัญญาณ แรงดันไฟฟ้าเมื่อผ่านตัวตรวจวัด จะได้ค่าแรงดัน 1.56 โวลต์ สีเหลืองแสดงเมื่อตรวจจับสัญญาณ กระแสเมื่อผ่านตัวตรวจจับ 0.78 โวลต์ก่อนเข้า ไมโครคอนโทรลเลอร์ดังรูป 4.14



รูปที่ 4.14 การทดสอบแรงดันไฟฟ้าเกินของเซอร์กิตเบรกเกอร์แบบโซลิดสเตต

ผลที่ได้จากการวัดสรุปได้ว่าเมื่อแรงดันไฟฟ้ามีการวัดได้ 250 โวลต์และนำมาเข้าตัวตรวจจับแรงดัน ZMPT101B Signal Phase AC Voltage Transformer Sensor Module สามารถที่จะปรับค่าแรงดันโดยใช้ Voltage Regulator ของสัญญาณเพิ่มขึ้นทำให้ชุดคำสั่งของไมโครคอนโทรลเลอร์ STM32F4 ตรวจจับพบสัญญาณผิดปกติทำให้ Embedded function ทำงานส่งสัญญาณตัดวงจรแสดงในรูป 4.14 การทดสอบเซอร์กิตเบรกเกอร์แบบโซลิดสเตตในสถานะแรงดันไฟฟ้าตก เริ่มทำการทดสอบและปรับตัวจ่ายแรงดัน จาก 220 โวลต์ ไปถึง พิกัดแรงดัน 190 โวลต์ สีม่วงคือค่าสัญญาณแรงดันไฟฟ้าเมื่อผ่านตัวตรวจวัด จะได้ค่าแรงดัน 1.14 โวลต์ สีเหลืองแสดงเมื่อตรวจจับสัญญาณกระแสเมื่อผ่านตัวตรวจจับ 0.72 โวลต์ ดังรูป 4.15

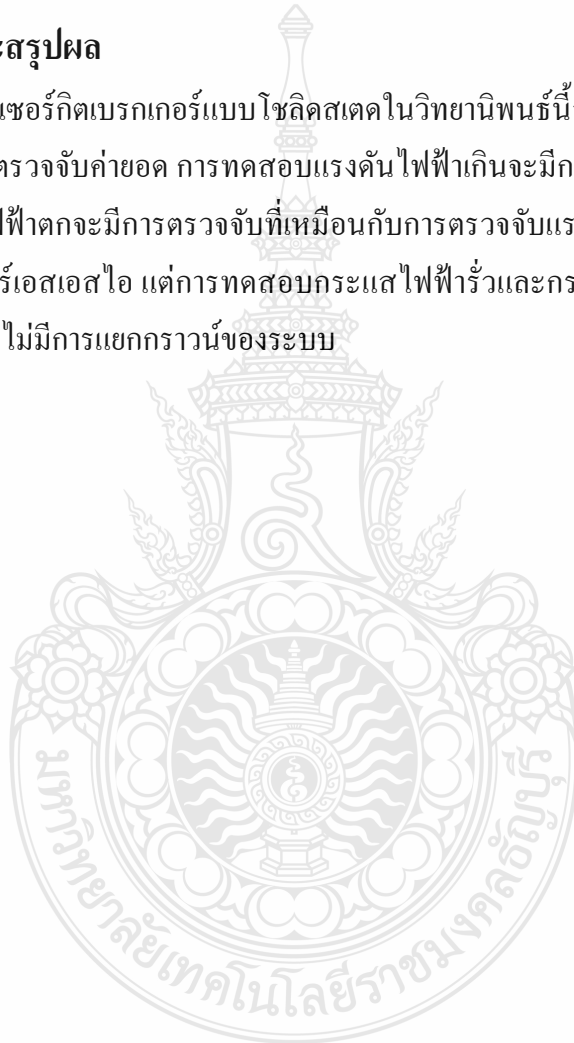


รูปที่ 4.15 การทดสอบแรงดันไฟฟ้าเกินตกเซอร์กิตเบรกเกอร์แบบโซลิดสเตต

ผลที่ได้จากการวัดสรุปได้ว่าเมื่อแรงดันไฟฟ้ามีการวัดได้ 190 โวลต์และนำมาเข้าตัวตรวจจับแรงดัน ZMPT101B Signal Phase AC Voltage Transformer Sensor Module สามารถที่จะปรับค่าแรงดันโดยใช้ Voltage Regulator ของสัญญาณเพิ่มขึ้นทำให้ชุดคำสั่งของไมโครคอนโทรลเลอร์ STM32F4 ตรวจจับพบสัญญาณผิดปกติทำให้ Embedded function ทำงานส่งสัญญาณตัดวงจรแสดงดังรูปที่ 4.15

4.6 เปรียบเทียบและสรุปผล

การทดสอบเซอร์กิตเบรกเกอร์แบบโซลิดสเตตในวิทยานิพนธ์นี้สามารถทำตามเงื่อนไขของการลัดวงจรได้ใช้การตรวจจับค่ายอด การทดสอบแรงดันไฟฟ้าเกินจะมีการตรวจจับแบบอาร์เอ็มเอส การทดสอบแรงดันไฟฟ้าตกจะมีการตรวจจับที่เหมือนกับการตรวจจับแรงดันไฟฟ้าเกิน การอาร์คจะใช้การตรวจจับแบบอาร์เอสเอสไอ แต่การทดสอบกระแสไฟฟ้ารั่วและกระแสไฟฟ้าเกิดอุปกรณ์ได้มีความเสียหายเนื่องจากไม่มีการแยกกราวด์ของระบบ



บทที่ 5

สรุปผลการวิจัยและข้อเสนอแนะ

5.1 สรุปผลการวิจัย

ผลการจำลองและทดสอบการทำงานของเซอร์กิตเบรกเกอร์แบบโซลิดสเตตสำหรับระบบจำหน่ายแรงต่ำ เพื่อป้องกันปัญหาของกระแสไฟฟ้าและแรงดันไฟฟ้าที่ผิดปกติของระบบไฟฟ้าแรงต่ำ สามารถที่จะแก้ปัญหาเซอร์กิตเบรกเกอร์ที่ใช้ในอดีตและปัจจุบันได้ และสามารถที่จะทำการป้องกันและทำงานเมื่อระบบไฟฟ้าเกิดความผิดปกติเกิดขึ้น ภายใต้เงื่อนไข แรงดันไฟฟ้าตก แรงดันไฟฟ้าเกิน กระแสไฟฟ้าเกิน กระแสไฟฟ้ารั่ว ลัดวงจรและการอาร์ค

การดำเนินการวิจัยซึ่งภายในตัวของเซอร์กิตเบรกเกอร์แบบโซลิดสเตตที่มีการออกแบบและการจำลองจนกระทั่งมีการทดสอบ ใช้ไอจีบีทีเป็นตัวสวิตซ์ในการตัดและต่อวงจร และวงจรสับเบรคเพื่อแก้ปัญหาของอินดักทีฟโหลด เมื่อเซอร์กิตเบรกเกอร์แบบโซลิดสเตตตัดวงจรทำ การเปลี่ยนแปลงของแรงดันเมื่อเทียบกับเวลาทำให้กำลังสูญเสียในการสวิตซ์น้อยลง ดังนั้นการใช้เทคนิคการรีโซแนนท์มาใช้ ผลการจำลองและผลการทดสอบได้มาเปรียบเทียบ การวัดค่าสัญญาณของแรงดันและสัญญาณกระแส สัญญาณการตรวจจับและสัญญาณของการขับของไอจีบีที การวัดค่าจะแสดงการตัดและต่อวงจรในสภาวะปกติและเมื่อเกิดความผิดปกติในระบบไฟฟ้าแรงต่ำ เพื่อให้เป็นไปตามเงื่อนไขในการทำงานคือ แรงดันไฟฟ้าเกิน แรงดันไฟฟ้าตก กระแสไฟฟ้าเกิน กระแสไฟฟ้ารั่ว การลัดวงจร และการอาร์ค ที่จะเกิดขึ้นกับระบบไฟฟ้า โดยอ้างอิงมาตรฐาน IEC 60898และUL 1966 การประยุกต์ใช้เพื่อให้ลดความเสียหายและป้องกันความเสียหายที่เกิดจากความผิดปกติของระบบ

ตารางที่ 5.1 การเปรียบเทียบเซอร์กิตเบรกเกอร์ทั่วไปกับเซอร์กิตเบรกเกอร์แบบโซลิดสเตต

| การทดสอบ | พิกัด | SSCB | MCB |
|-----------------|----------------|------|-----|
| กระแสไฟฟ้าเกิน | ≥ 30 A | ✓ | ✓ |
| แรงดันไฟฟ้าเกิน | ≥ 250 VAC | ✓ | X |
| แรงดันไฟฟ้าตก | ≤ 190 VAC | ✓ | X |
| การลัดวงจร | ≥ 80 A | ✓ | ✓ |
| การอาร์ค | | ✓ | X |

การเปรียบเทียบเซอร์กิตเบรกเกอร์ทั่วไปกับเซอร์กิตเบรกเกอร์แบบ โชลิตสเตรดสรุปการจำลองและทดสอบเซอร์กิตเบรกเกอร์แบบ โชลิตสเตรดที่ได้มาจากการออกแบบและวิเคราะห์การทำงานตัวเซอร์กิตเบรกเกอร์แบบ โชลิตสเตรดสำหรับระบบไฟฟ้าแรงต่ำ 1 เฟส โดยการนำไอจีบีทีมาทำการตัดและต่อภายในวงจรของเซอร์กิตเบรกเกอร์ได้มีการจำลองและทดสอบการทำงานแรงดันไฟฟ้าตก แรงดันไฟฟ้าเกิน กระแสไฟฟ้าเกิน กระแสไฟฟ้ารั่ว การลัดวงจรและการอาร์ค ผลการจำลองและทดสอบเป็นที่น่าพอใจจะเห็นได้ว่า เซอร์กิตเบรกเกอร์แบบ โชลิตสเตรดสามารถที่จะตรวจจับและสั่งการทำงานตัดวงจรไฟฟ้าเมื่อเกิดปัญหาได้อย่างถูกต้องตามที่ออกแบบไว้และเซอร์กิตเบรกเกอร์ที่ใช้ทั่วไปไม่สามารถที่จะป้องกันความผิดพลาดได้ทั้งหมดเนื่องจากการทำงานโดยใช้แผ่นโลหะคู่ทำหน้าที่ในการตรวจจับกระแสไฟฟ้าเกินและการทำงานของขดลวดโดยใช้อาศัยเส้นแรงแม่เหล็กทำหน้าที่ตรวจจับกระแสไฟฟ้าลัดวงจรดังตารางที่ 5.1 อีกทั้งปัญหาความเร็วในการทำงานและการอาร์คของหน้าสัมผัสขณะมีการตัดและต่อวงจร

ตารางที่ 5.2 การเปรียบเทียบเวลาการทำงานเซอร์กิตเบรกเกอร์ทั่วไปกับเซอร์กิตเบรกเกอร์แบบ โชลิตสเตรดภายใต้เงื่อนไขกระแสไฟฟ้าเกินและการลัดวงจร

| | กระแสไฟฟ้าเกิน | การลัดวงจร |
|------|----------------|------------|
| SSCB | 60-100 ms | 20-40 ms |
| MCB | 3-100 s | 0.1-1 s |

สรุปตารางที่ 5.2 การเปรียบเทียบเวลาการทำงานเซอร์กิตเบรกเกอร์ทั่วไปกับเซอร์กิตเบรกเกอร์แบบ โชลิตสเตรดภายใต้เงื่อนไขกระแสไฟฟ้าเกินและการลัดวงจรจะเห็นได้ว่าการทำงานกระแสไฟฟ้าเกิน เซอร์กิตเบรกเกอร์แบบ โชลิตสเตรดจะทำงานที่เวลา 60 – 100 มิลลิวินาที เซอร์กิตเบรกเกอร์ทั่วไปใช้เวลา 3- 100 วินาที และการทำงานของการลัดวงจรเซอร์กิตเบรกเกอร์แบบ โชลิตสเตรดจะทำงานที่เวลา 20 – 40 มิลลิวินาที เซอร์กิตเบรกเกอร์ทั่วไปใช้เวลา 0.10- 1 วินาที แสดงให้เห็นว่าเซอร์กิตเบรกเกอร์แบบ โชลิตสเตรดจะทำงานเร็วกว่าเซอร์กิตเบรกเกอร์ทั่วไป

5.2 ข้อเสนอแนะ

การทดสอบการทำงานในแต่ละส่วนของเซอร์กิตเบรกเกอร์แบบโซลิดสเตตจะต้องมีการทดสอบในแต่ละส่วนเพื่อให้แน่ใจว่าทุกส่วนทำงานได้ ส่วนวงจรกำลังจะประกอบด้วย วงจรสับเบอร์ด วงจรขับและวงจรสวิตช์ ส่วนการตรวจจำเป็นจะต้องมีการวัดและทดสอบหาค่าสูงสุดในการกำหนดก่อนที่สัญญาณจะเข้าไปยัง ไมโครคอนโทรลเลอร์ STM32F4 ถ้าเกิน 3.3 โวลต์จะทำให้บอร์ดเสียหายได้ ส่วนวงจรควบคุม ก่อนการทดสอบการทำงานของเซอร์กิตเบรกเกอร์แบบโซลิดสเตต จำเป็นต้องมีความระมัดระวังเป็นอย่างมากในการทดสอบ ถ้าจำเป็นต้องมีการโปรแกรมเพื่อเปลี่ยนแปลงค่าพารามิเตอร์ภายในจำเป็นต้องมีการแยกกราวด์ เพื่อป้องกันการลัดวงจรกราวด์ของคอมพิวเตอร์และกราวด์ของบอร์ด STM32F4 ดังนั้นควรเข้าใจในระบบกราวด์แยกระหว่างภาคจ่ายกำลังและส่วนควบคุม



บรรณานุกรม

- [1] Supawat Kamtip, Krischonme Bhumkittipich, Nathabhat Phankong “**Simulation of SSCBU using IGBTs Model based on ORCAD/PSPICE program**”, 11th Eco-Energy and Materials Science and Engineering Symposium, Phuket, Thailand, December 18-21. 2013, pp. 177-180.
- [2] ศุภวัฒน์ คำทิพย์, กฤษณ์ชนม์ ภูมิภิตติพิชญ์, ณัฐภัทร พันธุ์คง, “**การวิเคราะห์สัญญาณขนาดเล็กของเซอร์กิตเบรกเกอร์แบบโซลิดสเตตสำหรับระบบไฟฟ้า 1 เฟส**”, การประชุมวิชาการเครือข่ายวิศวกรรมไฟฟ้ามหาวิทยาลัยเทคโนโลยีราชมงคล ครั้งที่ 6, 26-28 มีนาคม 2557, จังหวัดกระบี่, หน้า 573-576
- [3] ศุภวัฒน์ คำทิพย์, กฤษณ์ชนม์ ภูมิภิตติพิชญ์, ณัฐภัทร พันธุ์คง, “**การวิเคราะห์สัญญาณขนาดเล็กและกำลังสูญเสียของเซอร์กิตเบรกเกอร์ แบบโซลิดสเตต**”, การประชุมวิชาการระดับชาติมหาวิทยาลัยเทคโนโลยีราชมงคล ครั้งที่ 6 วันที่ 23-25 กรกฎาคม 2557, ณ อาคารเทคโนโลยีสารสนเทศ มหาวิทยาลัยเทคโนโลยีราชมงคลสุวรรณภูมิ จังหวัดพระนครศรีอยุธยา
- [4] ศุภวัฒน์ คำทิพย์, กฤษณ์ชนม์ ภูมิภิตติพิชญ์, ณัฐภัทร พันธุ์คง, “**เซอร์กิตเบรกเกอร์แบบโซลิดสเตตสำหรับระบบไฟฟ้าแรงต่ำ**”, การประชุมวิชาการทางวิศวกรรมไฟฟ้า ครั้งที่ 37, 19 - 21 พฤศจิกายน 2557, ขอนแก่น
- [5] S. Kamtip; K. Bhumkittipich “**Comparison between mechanical circuit breaker and solid state circuit breaker under abnormal conditions for low voltage systems**” 18th International Conference on Electrical Machines and System (ICEMS), Oct. 25-28, 2015, Pattaya City, Thailand.
- [6] Supawat Kamtip, Krischonme Bhumkittipich, Nathabhat Phankong, “**Comparison between Mechanical Circuit Breaker and Solid State Circuit Breaker for Low Voltage System**”, 12th Eco-Energy and Materials Science and Engineering Symposium, Krabi, Thailand, June 11-14, 2015
- [7] Kai Ding, K.W.E.Cheng, X.D.Xue, B.P. Divakar, C.D.Xu, Y.B.Che, D.H.Wang, P.Dong “**A Novel Detection Method for Voltage Sags**” 2006 2nd International Conference on Power Electronics Systems and Applications Muhamad Mansor

บรรณานุกรม (ต่อ)

- [8] W. S. Moon; J. C. Kim; A. Jo; S. B. Bang; W. S. Koh “**Ignition Characteristics of Residential Series Arc Faults in 220-V HIV Wires**” IEEE Transactions on Industry Applications (Volume:51 , Issue: 3) May-June 2015
- [9] Seung Kook Yang, Yeon Su Kim, In-Gun Kim, Taejun Choi, Ju lee “**A study on Arc Detection using RSSI(Received Signal Strength Indication)**” 18th International Conference on Electrical Machines and System(ICEMS), Oct. 25-28, 2015, Pattaya City, Thailand.
- [10] Jonathan Andrea, Partrick Schweitzer and Jean-Mary Martel “**Arc Fault Model of Conductance Application to the UL1699 Tests Modelling**” Electrical Contacts (Holm), 2011 IEEE 57th Holm Conference on 11-14 Sept. 2011, Minneapolis, MN.
- [11] F. R. Zaro, M. A. Abido, S. Ameenuddin และ I. M. Elamin “Characterization of Short-duration Voltage Events” 2012 IEEE International Conference on Power and Energy (PECon), 2-5 December 2012, Kota Kinabalu Sabah, Malaysia
- [12] วณิดา ภู่อสร. แบบจำลองเซอร์กิตเบรกเกอร์แบบโซลิดสเตทสำหรับระบบจำหน่ายแรงดันต่ำ วิทยานิพนธ์หลักสูตรปริญญาวิศวกรรมศาสตรมหาบัณฑิต, สาขาวิชาวิศวกรรมไฟฟ้า, คณะวิศวกรรมศาสตร์, มหาวิทยาลัยเทคโนโลยีราชมงคลธัญบุรี, 2553.
- [13] IEEE Standards Coordinating Committee 22 on Power Quality, IEEE STD 1159-1995, Approved 1995. Standards Board, “IEEE Recommended Practice for Monitoring Electric Power Quality,” IEEE .
- [14] N. Batut, A. Schellmanns, S. Jacques, Z. Ren, L. V. Phung and F. Ihuel, "Development and characterization of a new low-loss monolithic AC switch based on super-gain BJT," Power Semiconductor Devices & IC's (ISPSD), 2014 IEEE 26th International Symposium on, Waikoloa, HI, 2014, pp. 197-200.
- [15] M. Mansor; N. A. Rahim “**Voltage Sag Detection – A Survey**” Technical Postgraduates (TECHPOS), 2009 International Conference
- [16] R. Grasseti ; R. Ottoboni ; M. Rossi ; S. Toscani “**A low-cost arc fault detector for aerospace applications**” AUTOTESTCON, Anaheim, CA, 2012 IEEE

บรรณานุกรม (ต่อ)

- [17] Vineeta Agarwal, "A **Mathematical Model for IGBT**," Asian Power Electronics Journal, Vol2, No 1Apr 2008.
- [18] William Long, Member IEEE, "**Low- voltage Powercircuit Breaker Comparison of Test Requirement**," International Electro technical Commission standard. IEC 60947-2.
- [19] Zhiping Yang, Hongkun Chen, and et al, 2011, "**Dynamic Simulation of the Overvoltage for Fault Current Limiter**," IEEE, p. 1-4.
- [20] วุฒิไกร จันทร์ขามเรียน "การพัฒนาอุปกรณ์ขดเค้นแรงดันตกชั่วคราวแบบอนุกรมโดยใช้โครงสร้างวงจรแปลงผัน 3 ระดับแบบไดโอดเคลมพ์" วิทยานิพนธ์หลักสูตรปริญญาวิศวกรรมศาสตรมหาบัณฑิต, สาขาวิชาวิศวกรรมไฟฟ้า, คณะวิศวกรรมศาสตร์, มหาวิทยาลัยเทคโนโลยีราชมงคลธัญบุรี, 2555
- [21] D. Bergogne, O. Ladhari, L. S. C. Gillot, R. Escoffier and W. Vandendaele, "**The single reference Bi-Directional GaN HEMT AC switch**," Power Electronics and Applications (EPE'15 ECCE-Europe), 2015 17th European Conference on, Geneva, 2015, pp. 1-7.
- [22] K. A and L. Umanand, "**A Simple Hysteretic Energy Harvesting Method for Nonneutral AC Switches in Load Automation**," in IEEE Transactions on Power Electronics, vol. 31, no. 7, pp. 4906-4915, July 2016.
- [23] T. LaBella and J. S. Lai, "**A hybrid resonant converter utilizing a bidirectional GaN AC switch for high-efficiency PV applications**," Applied Power Electronics Conference and Exposition (APEC), 2014 Twenty-Ninth Annual IEEE, Fort Worth, TX, 2014, pp. 1-8.
- [24] J. W. Schwartzenberg, "**Application of AC switch power electronic building blocks in medium voltage static transfer switches**," Power Engineering Society General Meeting, 2003, IEEE, 2003, pp. 1374 Vol. 3.

บรรณานุกรม (ต่อ)

- [25] H. H. Shin, H. Cha, H. G. Kim and D. W. Yoo, "**Novel Single-Phase PWM AC-AC Converters Solving Commutation Problem Using Switching Cell Structure and Coupled Inductor**," in IEEE Transactions on Power Electronics, vol. 30, no. 4, pp. 2137-2147, April 2015.
- [26] H. du T. Mouton; J. H. R. Enslin "A resonant turn-off snubber for high power IGBT converters" Industrial Electronics, 1998. Proceedings. ISIE '98. IEEE International Symposium on (Volume:2) 07 Jul 1998-10 Jul 1998
- [27] B. Wang; T. Q. Zheng; J. Zhang "Voltage controlled variable capacitor based snubber for the further reduction of IGBT's turn-off loss" Energy Conversion Congress and Exposition (ECCE), 2014 IEEE Pittsburgh, PA
- [28] C. Cai; P. Xue-jun; C. Yu; K. Yong "The loss calculation of RCD snubber with forward and reverse recovery effects considerations" Power Electronics and ECCE Asia (ICPE & ECCE), 2011 IEEE 8th International
- [29] A. Hassanpoor; J. Häfner; B. Jacobson "**Technical Assessment of Load Commutation Switch in Hybrid HVDC Breaker**" IEEE Transactions on Power Electronics Oct. 2015
- [30] G. Li, Y. Zhou, P. Fu, X. Zhang, H. Wang and L. Cao, "**Compact power supplier for snubber**," Power Modulator and High Voltage Conference (IPMHVC), 2010 IEEE International, Atlanta, GA, 2010, pp. 327-330.
- [31] IEEE Standard for Low-Voltage AC Power Circuit Breakers Used in Enclosures, in IEEE STD C37.13-2008 , vol., no., pp.1-29, March 20 2009
- [32] X. Cheng, M. Liao, X. Duan and J. Zou, "**Study on breaking characteristics of high voltage hybrid circuit breaker**," Discharges and Electrical Insulation in Vacuum (ISDEIV), 2010 24th International Symposium on, Braunschweig, 2010, pp. 449-452.
- [33] S. G. Jeyaraj and Y. Habtay, "**Effective and efficient circuit breaker analysis**," Reliability of Transmission and Distribution Networks (RTDN 2011), IET Conference on, London, 2011, pp. 1-6.

บรรณานุกรม (ต่อ)

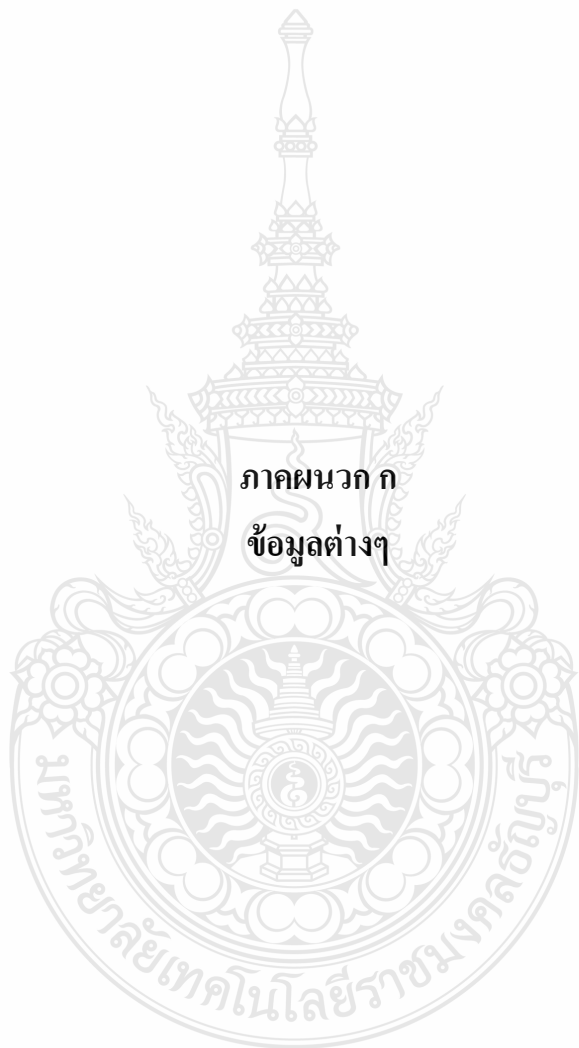
- [34] IEEE Recommended Practice for the Application of Low-Voltage Circuit Breakers in Industrial and Commercial Power Systems, in IEEE Std 3004.5-2014 , vol., no., pp.1-106, Feb. 6 2015
- [35] Z. Ganhao, "**Study on DC Circuit Breaker**," Intelligent Systems Design and Engineering Applications (ISDEA), 2014 Fifth International Conference on, Hunan, 2014, pp. 942-945.
- [36] IEEE Guide for Investigation, Analysis, and Reporting of Power Circuit Breaker Failures, in IEEE Std C37.10-2011 (Revision of IEEE Std C37.10-1995) , vol., no., pp.1-59, Dec. 30 2010
- [37] C. W. Kimblin and R. W. Long, "**Comparing test requirements for low-voltage circuit breakers**," in IEEE Industry Applications Magazine, vol. 6, no. 1, pp. 45-52, Jan 2000.
- [38] K. Dartawan and C. S. Pierre, "**Evaluating Generator Circuit Breakers Short-Circuit Duty Using IEEE C37.010 and C37.013**," in IEEE Transactions on Industry Applications, vol. 50, no. 6, pp. 4164-4170, Nov.-Dec. 2014.
- [39] W. Pusorn, W. Srisongkram, W. Subsingha, S. Deng-em and P. N. Boonchiam, "**Low Cost AC Solid State Circuit Breaker**," Power Electronics and Drive Systems, 2007. PEDS '07. 7th International Conference on, Bangkok, 2007, pp. 1724-1729.
- [40] C. Meyer, M. Hoing and R. W. De Doncker, "**Novel solid-state circuit breaker based on active thyristor topologies**," Power Electronics Specialists Conference, 2004. PESC
- [41] C. Meyer and R. W. De Doncker, "**Solid-state circuit breaker based on active thyristor topologies**," in IEEE Transactions on Power Electronics, vol. 21, no. 2, pp. 450-458, March 2006.
- [42] W. Pusorn, W. Srisongkram, K. Chiangchin and K. Bhumkittipich, "**Solid State Circuit Breaker using insulated gate bipolar transistor for distribution system protection**," Electrical Engineering Congress (iEECON), 2014 International, Chonburi, 2014.

บรรณานุกรม (ต่อ)

- [43] M. Chen et al., "**Development of topology and power electronic devices for solid-state circuit breakers,**" Instrumentation and Measurement, Sensor Network and Automation (IMSNA), 2013 2nd International Symposium on, Toronto, ON, 2013, pp. 190-193.
- [44] Wenjun Liu, Hua Yang, Fei Liu, Jianjun Sun and Xiaoming Zha, "**An improved RCD snubber for solid-state circuit breaker protection against bus fault in low-voltage DC microgrid,**" Future Energy Electronics Conference (IFEEC), 2015 IEEE 2nd International, Taipei, 2015, pp. 1-5.
- [45] M. Kempkes, I. Roth and M. Gaudreau, "**Solid-state circuit breakers for Medium Voltage DC power,**" 2011 IEEE Electric Ship Technologies Symposium, Alexandria, VA, 2011, pp. 254-257.
- [46] Bin Chen, A. Q. Huang, M. Baran, Chong Han and Wenchao Song, "**Operation characteristics of emitter turn-off thyristor (ETO) for solid-state circuit breaker and fault current limiter,**" Twenty-First Annual IEEE Applied Power Electronics Conference and Exposition, 2006. APEC '06., Dallas, TX, 2006, pp. 5 pp.-.
- [47] R. R. Boudreaux and R. M. Nelms, "**A comparison of MOSFETs, IGBTs, and MCTs for solid state circuit breakers,**" Applied Power Electronics Conference and Exposition, 1996. APEC '96. Conference Proceedings 1996., Eleventh Annual, San Jose, CA, 1996, pp. 227-233 vol.1.
- [48] J. Lezama Calvo, P. Schweitzer, S. Weber, E. Tisserand and P. Joyeux, "**Arcing Detection at Home System Using Correlation analysis,**" ICEC 2014; The 27th International Conference on Electrical Contacts; Proceedings of, Dresden, Germany, 2014, pp. 1-6.
- [49] W. Zhang; Y. Jing; X. Y. XIAO, "**Model-Based General Arcing Fault Detection in Medium Voltage Distribution System,**" in IEEE Transactions on Power Delivery , vol.PP, no.99, pp.1-1
- [50] J. A. Momoh and A. S. Ishola-Salawu, "**A new arcing fault modeling and detection technique for navy IPS power system,**" Power Engineering Society General Meeting, 2006. IEEE, Montreal, Que., 2006.

ภาคผนวก



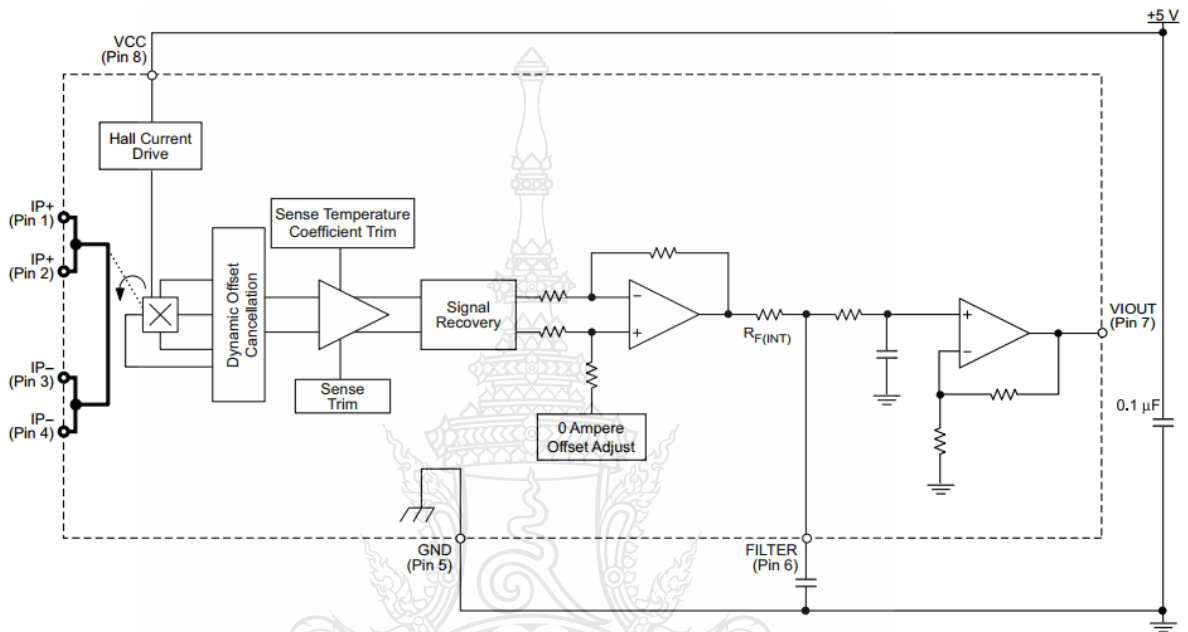


ภาคผนวก ก
ข้อมูลต่างๆ

ก.1 Datasheet ACS172-30A

ส่วนตรวจจับกระแส จะใช้สัญญาณการวัดจากกระแส

การตรวจวัดสัญญาณกระแสจะใช้เซ็นเซอร์กระแส รุ่น ACS712-30A ขนาดกระแสพิกัด 30-40 แอมแปร์ เป็นระบบแยกกราวด์



การทำงานวงจรตรวจจับโดยใช้หลักการของ Hall Effect หลักการทำงานของวงจรตรวจจับโดยใช้หลักการของ Hall Effect เมื่อรับค่าจากจุดตรวจจับ ค่าแรงดันที่ได้จะมีค่าขด AC 0-30 แอมแปร์ ขึ้นอยู่กับโหลด ผ่าน Hall-Current Driver จะทำการลดระดับกระแสและแปรกระแสเป็นสัญญาณแรงดัน AC 1.65 โวลต์ ผ่านชุด Signal Recovery มีการปรับค่าขดโดยผ่านชุด Ampere offset ผ่านชุดกรองก่อนที่จะสัญญาณจะก่อนเข้าสู่ควมคุม STM32 F4 โดยจะแปลงสัญญาณอนาล็อกเป็นดิจิตอลภายในตัวเซ็นเซอร์ใช้แรงดันอ้างอิง 3.3 โวลต์

Fully Integrated, Hall Effect-Based Linear Current Sensor with 2.1 kVRMS Voltage Isolation and a Low-Resistance Current Conductor

Features and Benefits

- Low-noise analog signal path
- Device bandwidth is set via the new FILTER pin
- 5 μ s output rise time in response to step input current
- 80 kHz bandwidth
- Total output error 1.5% at $T_A = 25^\circ\text{C}$
- Small footprint, low-profile SOIC8 package
- 1.2 m Ω internal conductor resistance
- 2.1 kV_{RMS} minimum isolation voltage from pins 1-4 to pins 5-8
- 5.0 V, single supply operation
- 66 to 185 mV/A output sensitivity
- Output voltage proportional to AC or DC currents
- Factory-trimmed for accuracy
- Extremely stable output offset voltage
- Nearly zero magnetic hysteresis
- Ratiometric output from supply voltage



TÜV America
Certificate Number:
UBV 06 05 54214 010

UL US

Description

The Allegro® ACS712 provides economical and precise solutions for AC or DC current sensing in industrial, commercial, and communications systems. The device package allows for easy implementation by the customer. Typical applications include motor control, load detection and management, switched-mode power supplies, and overcurrent fault protection.

The device consists of a precise, low-offset, linear Hall sensor circuit with a copper conduction path located near the surface of the die. Applied current flowing through this copper conduction path generates a magnetic field which is sensed by the integrated Hall IC and converted into a proportional voltage. Device accuracy is optimized through the close proximity of the magnetic signal to the Hall transducer. A precise, proportional voltage is provided by the low-offset, chopper-stabilized BiCMOS Hall IC, which is programmed for accuracy after packaging.

The output of the device has a positive slope ($>V_{\text{IOUT}(0)}$) when an increasing current flows through the primary copper conduction path (from pins 1 and 2, to pins 3 and 4), which is the path used for current sensing. The internal resistance of this conductive path is 1.2 m Ω typical, providing low power

Continued on the next page...

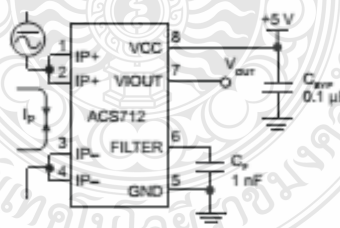
Package: 8 Lead SOIC (suffix LC)



Approximate Scale 1:1



Typical Application



Application 1. The ACS712 outputs an analog signal, V_{OUT} , that varies linearly with the uni- or bi-directional AC or DC primary sensed current, I_p , within the range specified. C_f is recommended for noise management, with values that depend on the application.

ACS712

Fully Integrated, Hall Effect-Based Linear Current Sensor with 2.1 kVRMS Voltage Isolation and a Low-Resistance Current Conductor

Description (continued)

loss. The thickness of the copper conductor allows survival of the device at up to 5× overcurrent conditions. The terminals of the conductive path are electrically isolated from the sensor leads (pins 5 through 8). This allows the ACS712 current sensor to be used in applications requiring electrical isolation without the use of opto-isolators or other costly isolation techniques.

The ACS712 is provided in a small, surface mount SOIC8 package. The leadframe is plated with 100% matte tin, which is compatible with standard lead (Pb) free printed circuit board assembly processes. Internally, the device is Pb-free, except for flip-chip high-temperature Pb-based solder balls, currently exempt from RoHS. The device is fully calibrated prior to shipment from the factory.

Selection Guide

| Part Number | Packing* | T _A (°C) | Optimized Range, I _p (A) | Sensitivity, Sens (Typ) (mV/A) |
|-------------------|---------------------------------|---------------------|-------------------------------------|--------------------------------|
| ACS712ELCTR-05B-T | Tape and reel, 3000 pieces/reel | -40 to 85 | ±5 | 185 |
| ACS712ELCTR-20A-T | Tape and reel, 3000 pieces/reel | -40 to 85 | ±20 | 100 |
| ACS712ELCTR-30A-T | Tape and reel, 3000 pieces/reel | -40 to 85 | ±30 | 66 |

*Contact Allegro for additional packing options.

Absolute Maximum Ratings

| Characteristic | Symbol | Notes | Rating | Units |
|---------------------------------------|--------------------------|---|------------|-------------------|
| Supply Voltage | V _{CC} | | 8 | V |
| Reverse Supply Voltage | V _{RDC} | | -0.1 | V |
| Output Voltage | V _{OUT} | | 8 | V |
| Reverse Output Voltage | V _{ROUT} | | -0.1 | V |
| Reinforced Isolation Voltage | V _{ISO} | Pins 1-4 and 5-8; 60 Hz, 1 minute, T _A =25°C | 2100 | V |
| | | Voltage applied to leadframe (fp+ pins), based on IEC 60950 | 184 | V _{peak} |
| Basic Isolation Voltage | V _{ISO(basic)} | Pins 1-4 and 5-8; 60 Hz, 1 minute, T _A =25°C | 1500 | V |
| | | Voltage applied to leadframe (fp+ pins), based on IEC 60950 | 354 | V _{peak} |
| Output Current Source | I _{OUT(source)} | | 3 | mA |
| Output Current Sink | I _{OUT(sink)} | | 10 | mA |
| Overcurrent Transient Tolerance | I _p | 1 pulse, 100 ms | 100 | A |
| Nominal Operating Ambient Temperature | T _A | Range E | -40 to 85 | °C |
| Maximum Junction Temperature | T _{J(max)} | | 165 | °C |
| Storage Temperature | T _{stg} | | -65 to 170 | °C |

| Parameter | Specification |
|-------------------------|--|
| Fire and Electric Shock | CAN/CSA-C22.2 No. 60950-1-03 UL 60950-1:2003 EN 60950-1:2001 |



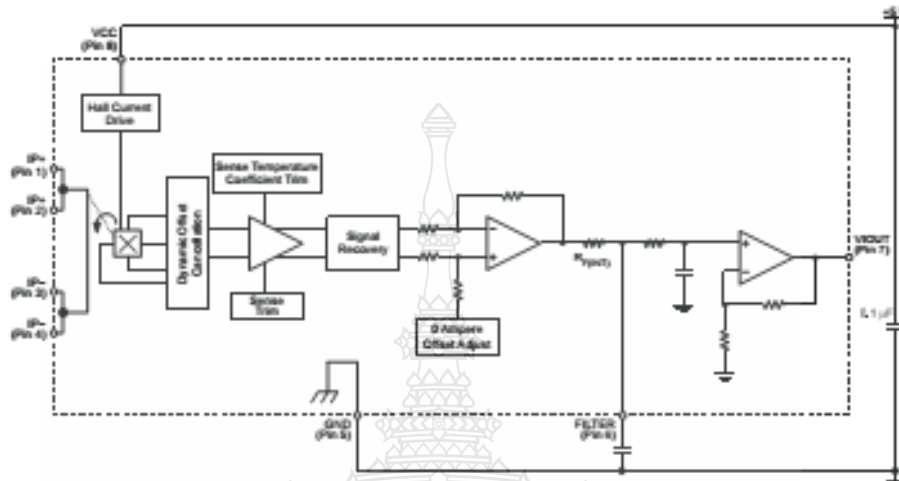
Allegro MicroSystems, Inc.
115 Northeast Cutoff
Worcester, Massachusetts 01115-0006 U.S.A.
1.508.853.8800; www.allegromicro.com

2

ACS712

Fully Integrated, Hall Effect-Based Linear Current Sensor with
2.1 kVRMS Voltage Isolation and a Low-Resistance Current Conductor

Functional Block Diagram



Pin-out Diagram



Terminal List Table

| Number | Name | Description |
|---------|--------|--|
| 1 and 2 | IP+ | Terminals for current being sensed; fused internally |
| 3 and 4 | IP- | Terminals for current being sensed; fused internally |
| 5 | GND | Signal ground terminal |
| 6 | FILTER | Terminal for external capacitor that sets bandwidth |
| 7 | VOUT | Analog output signal |
| 8 | VCC | Device power supply terminal |



Allegro Microsystems, Inc.
115 Northeast Cutoff
Worcester, Massachusetts 01615-0036 U.S.A.
1.508.853.5000; www.allegromicro.com

ACS712

Fully Integrated, Hall Effect-Based Linear Current Sensor with 2.1 kVRMS Voltage Isolation and a Low-Resistance Current Conductor

x05B PERFORMANCE CHARACTERISTICS $T_A = -40^\circ\text{C}$ to 85°C ¹, $C_F = 1\text{ nF}$, and $V_{OC} = 5\text{ V}$, unless otherwise specified

| Characteristic | Symbol | Test Conditions | Min. | Typ. | Max. | Units |
|---------------------------------|---------------------|--|------|-----------|------|---------|
| Optimized Accuracy Range | I_p | | -5 | - | 5 | A |
| Sensitivity | Sens | Over full range of I_p , $T_A = 25^\circ\text{C}$ | 180 | 185 | 190 | mV/A |
| Noise | $V_{noise(pp)}$ | Peak-to-peak, $T_A = 25^\circ\text{C}$, 185 mV/A programmed Sensitivity, $C_F = 47\text{ nF}$, $C_{OUT} = \text{open}$, 2 kHz bandwidth | - | 21 | - | mV |
| Zero Current Output Slope | $\Delta I_{OUT(O)}$ | $T_A = -40^\circ\text{C}$ to 25°C | - | -0.26 | - | mV/°C |
| | | $T_A = 25^\circ\text{C}$ to 150°C | - | -0.08 | - | mV/°C |
| Sensitivity Slope | ΔSens | $T_A = -40^\circ\text{C}$ to 25°C | - | 0.054 | - | mV/A/°C |
| | | $T_A = 25^\circ\text{C}$ to 150°C | - | -0.008 | - | mV/A/°C |
| Total Output Error ² | E_{TOT} | $I_p = \pm 5\text{ A}$, $T_A = 25^\circ\text{C}$ | - | ± 1.5 | - | % |

¹Device may be operated at higher primary current levels, I_p , and ambient temperatures, T_A , provided that the Maximum Junction Temperature, $T_{J(max)}$, is not exceeded.

²Percentage of I_p , with $I_p = 5\text{ A}$. Output filtered.

x20A PERFORMANCE CHARACTERISTICS $T_A = -40^\circ\text{C}$ to 85°C ¹, $C_F = 1\text{ nF}$, and $V_{OC} = 5\text{ V}$, unless otherwise specified

| Characteristic | Symbol | Test Conditions | Min. | Typ. | Max. | Units |
|---------------------------------|---------------------|--|------|-----------|------|---------|
| Optimized Accuracy Range | I_p | | -20 | - | 20 | A |
| Sensitivity | Sens | Over full range of I_p , $T_A = 25^\circ\text{C}$ | 96 | 100 | 104 | mV/A |
| Noise | $V_{noise(pp)}$ | Peak-to-peak, $T_A = 25^\circ\text{C}$, 100 mV/A programmed Sensitivity, $C_F = 47\text{ nF}$, $C_{OUT} = \text{open}$, 2 kHz bandwidth | - | 11 | - | mV |
| Zero Current Output Slope | $\Delta I_{OUT(O)}$ | $T_A = -40^\circ\text{C}$ to 25°C | - | -0.34 | - | mV/°C |
| | | $T_A = 25^\circ\text{C}$ to 150°C | - | -0.07 | - | mV/°C |
| Sensitivity Slope | ΔSens | $T_A = -40^\circ\text{C}$ to 25°C | - | 0.017 | - | mV/A/°C |
| | | $T_A = 25^\circ\text{C}$ to 150°C | - | -0.004 | - | mV/A/°C |
| Total Output Error ² | E_{TOT} | $I_p = \pm 20\text{ A}$, $T_A = 25^\circ\text{C}$ | - | ± 1.5 | - | % |

¹Device may be operated at higher primary current levels, I_p , and ambient temperatures, T_A , provided that the Maximum Junction Temperature, $T_{J(max)}$, is not exceeded.

²Percentage of I_p , with $I_p = 20\text{ A}$. Output filtered.

x30A PERFORMANCE CHARACTERISTICS $T_A = -40^\circ\text{C}$ to 85°C ¹, $C_F = 1\text{ nF}$, and $V_{OC} = 5\text{ V}$, unless otherwise specified

| Characteristic | Symbol | Test Conditions | Min. | Typ. | Max. | Units |
|---------------------------------|---------------------|---|------|-----------|------|---------|
| Optimized Accuracy Range | I_p | | -30 | - | 30 | A |
| Sensitivity | Sens | Over full range of I_p , $T_A = 25^\circ\text{C}$ | 64 | 66 | 68 | mV/A |
| Noise | $V_{noise(pp)}$ | Peak-to-peak, $T_A = 25^\circ\text{C}$, 66 mV/A programmed Sensitivity, $C_F = 47\text{ nF}$, $C_{OUT} = \text{open}$, 2 kHz bandwidth | - | 7 | - | mV |
| Zero Current Output Slope | $\Delta I_{OUT(O)}$ | $T_A = -40^\circ\text{C}$ to 25°C | - | -0.35 | - | mV/°C |
| | | $T_A = 25^\circ\text{C}$ to 150°C | - | -0.08 | - | mV/°C |
| Sensitivity Slope | ΔSens | $T_A = -40^\circ\text{C}$ to 25°C | - | 0.007 | - | mV/A/°C |
| | | $T_A = 25^\circ\text{C}$ to 150°C | - | -0.002 | - | mV/A/°C |
| Total Output Error ² | E_{TOT} | $I_p = \pm 30\text{ A}$, $T_A = 25^\circ\text{C}$ | - | ± 1.5 | - | % |

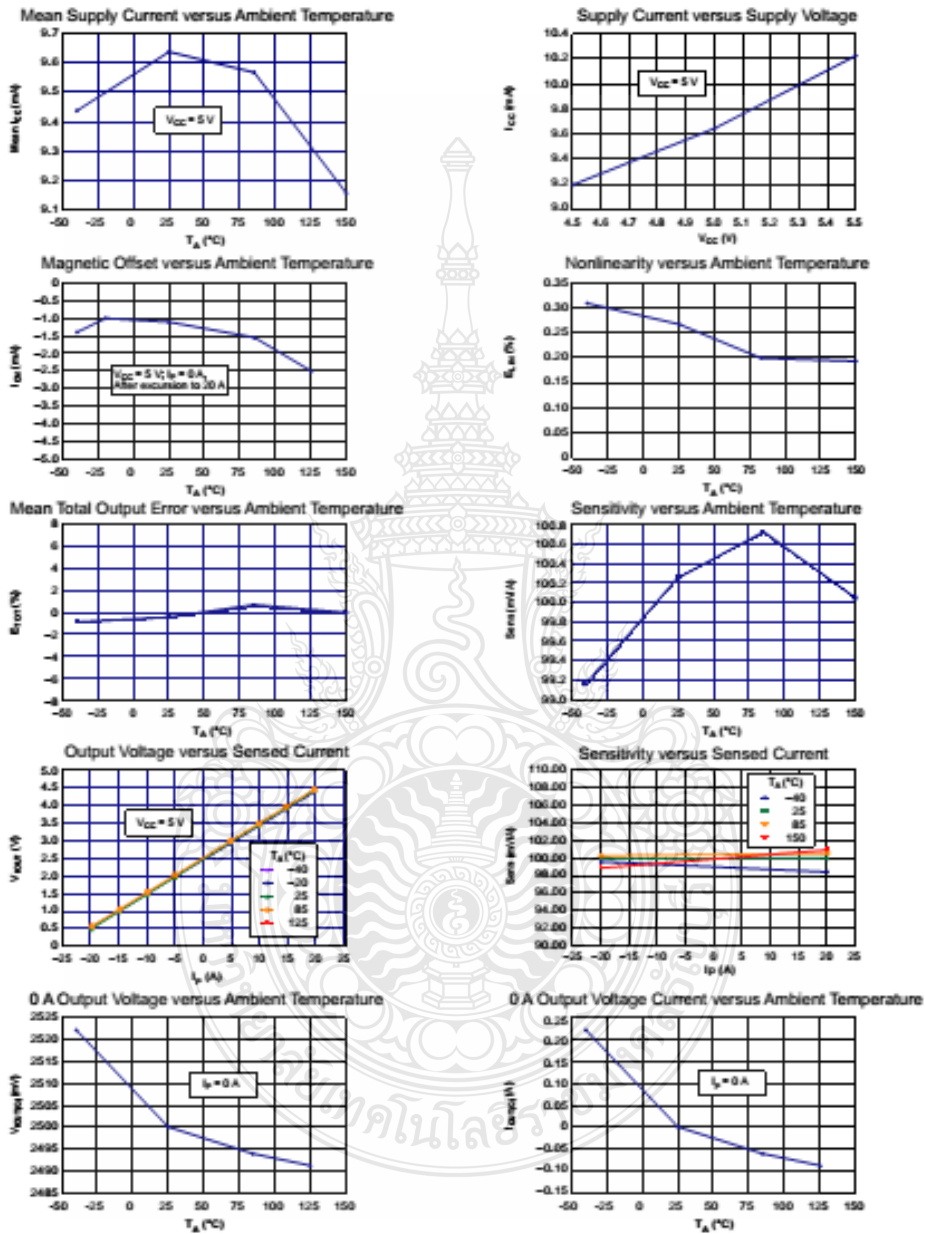
¹Device may be operated at higher primary current levels, I_p , and ambient temperatures, T_A , provided that the Maximum Junction Temperature, $T_{J(max)}$, is not exceeded.

²Percentage of I_p , with $I_p = 30\text{ A}$. Output filtered.



Allegro Microsystems, Inc.
115 Northwood Court
Worcester, Massachusetts 01615-0036 U.S.A.
1.508.853.5900; www.allegromicro.com

Characteristic Performance
 $I_p = 20\text{ A}$, unless otherwise specified

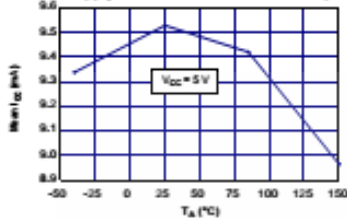


Allegro MicroSystems, Inc.
 115 Northeast Cutoff
 Worcester, Massachusetts 01615-0036 U.S.A.
 1.508.853.5000; www.allegromicro.com

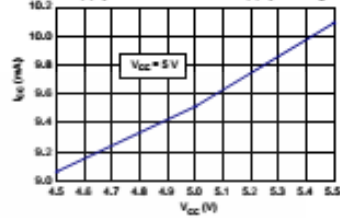
Characteristic Performance

$I_p = 30\text{ A}$, unless otherwise specified

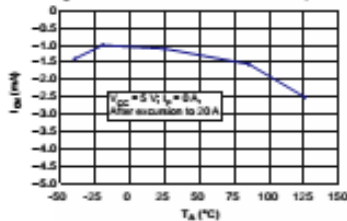
Mean Supply Current versus Ambient Temperature



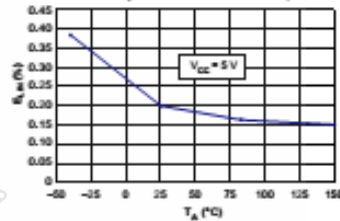
Supply Current versus Supply Voltage



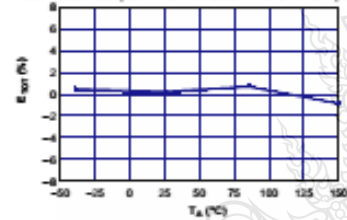
Magnetic Offset versus Ambient Temperature



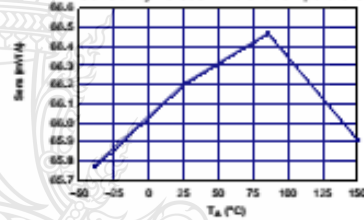
Nonlinearity versus Ambient Temperature



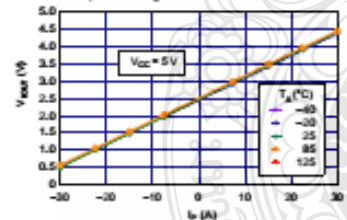
Mean Total Output Error versus Ambient Temperature



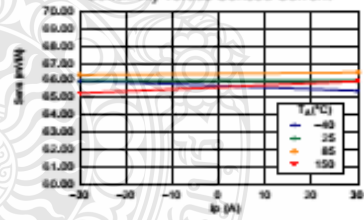
Sensitivity versus Ambient Temperature



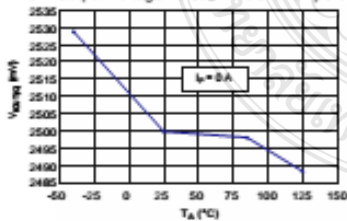
Output Voltage versus Sensed Current



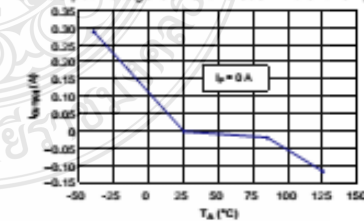
Sensitivity versus Sensed Current



0 A Output Voltage versus Ambient Temperature

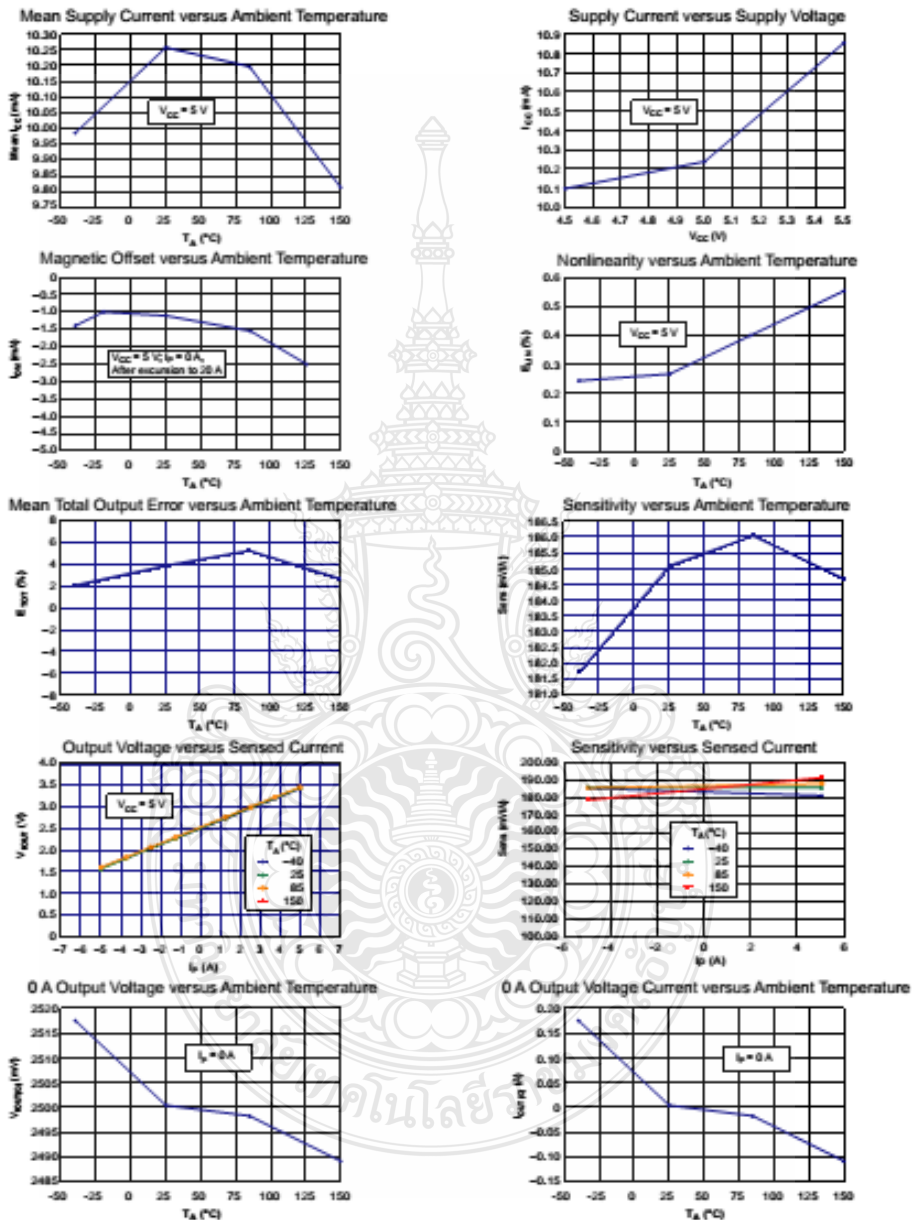


0 A Output Voltage Current versus Ambient Temperature



Allegro MicroSystems, Inc.
115 Northeast Cutoff
Worcester, Massachusetts 01615-0036 U.S.A.
1.508.853.5000; www.allegromicro.com

Characteristic Performance
 $I_p = 5\text{ A}$, unless otherwise specified



Allegro MicroSystems, Inc.
115 Northeast Cutoff
Worcester, Massachusetts 01615-0036 U.S.A.
1.508.853.5000; www.allegromicro.com

Definitions of Accuracy Characteristics

Sensitivity (Sens). The change in sensor output in response to a 1 A change through the primary conductor. The sensitivity is the product of the magnetic circuit sensitivity (G/A) and the linear IC amplifier gain (mV/G). The linear IC amplifier gain is programmed at the factory to optimize the sensitivity (mV/A) for the full-scale current of the device.

Noise (V_{NOISE}). The product of the linear IC amplifier gain (mV/G) and the noise floor for the Allegro Hall effect linear IC (≈1 G). The noise floor is derived from the thermal and shot noise observed in Hall elements. Dividing the noise (mV) by the sensitivity (mV/A) provides the smallest current that the device is able to resolve.

Linearity (E_{LIN}). The degree to which the voltage output from the sensor varies in direct proportion to the primary current through its full-scale amplitude. Nonlinearity in the output can be attributed to the saturation of the flux concentrator approaching the full-scale current. The following equation is used to derive the linearity:

$$100 \left[1 - \left| \frac{\Delta \text{gain} \times \% \text{ sat} (V_{\text{IOUT_full-scale amperes}} - V_{\text{IOUT}(Q)})}{2 (V_{\text{IOUT_half-scale amperes}} - V_{\text{IOUT}(Q)})} \right| \right]$$

where $V_{\text{IOUT_full-scale amperes}}$ = the output voltage (V) when the sensed current approximates full-scale ±I_P.

Symmetry (E_{SYM}). The degree to which the absolute voltage output from the sensor varies in proportion to either a positive or negative full-scale primary current. The following formula is used to derive symmetry:

$$100 \left(\frac{V_{\text{IOUT} + \text{full-scale amperes}} - V_{\text{IOUT}(Q)}}{V_{\text{IOUT}(Q)} - V_{\text{IOUT} - \text{full-scale amperes}}} \right)$$

Quiescent output voltage (V_{IOUT(Q)}). The output of the sensor when the primary current is zero. For a unipolar supply voltage, it nominally remains at V_{CC}/2. Thus, V_{CC} = 5 V translates into V_{IOUT(Q)} = 2.5 V. Variation in V_{IOUT(Q)} can be attributed to the resolution of the Allegro linear IC quiescent voltage trim and thermal drift.

Electrical offset voltage (V_{OE}). The deviation of the device output from its ideal quiescent value of V_{CC}/2 due to nonmagnetic causes. To convert this voltage to amperes, divide by the device sensitivity, Sens.

Accuracy (E_{TOT}). The accuracy represents the maximum deviation of the actual output from its ideal value. This is also known as the total output error. The accuracy is illustrated graphically in the output voltage versus current chart at right.

Accuracy is divided into four areas:

- **0 A at 25°C.** Accuracy of sensing zero current flow at 25°C, without the effects of temperature.
- **0 A over Δ temperature.** Accuracy of sensing zero current flow including temperature effects.
- **Full-scale current at 25°C.** Accuracy of sensing the full-scale current at 25°C, without the effects of temperature.
- **Full-scale current over Δ temperature.** Accuracy of sensing full-scale current flow including temperature effects.

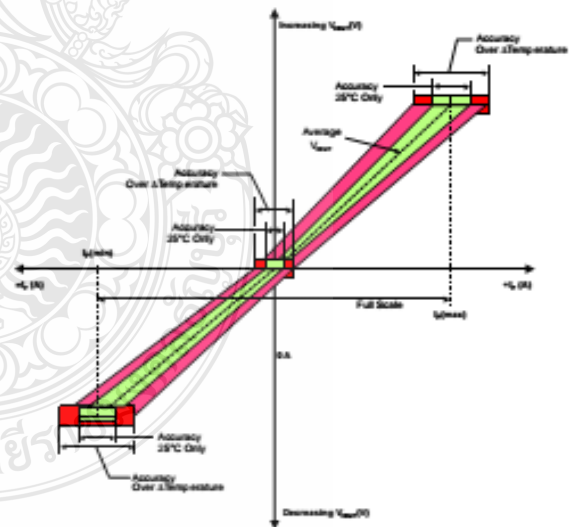
Ratiometry. The ratiometric feature means that its 0 A output, V_{IOUT(Q)} (nominally equal to V_{CC}/2) and sensitivity, Sens, are proportional to its supply voltage, V_{CC}. The following formula is used to derive the ratiometric change in 0 A output voltage, ΔV_{IOUT(Q)RAT} (%).

$$100 \left(\frac{V_{\text{IOUT}(Q) \text{VCC}} / V_{\text{IOUT}(Q) \text{SV}}}{V_{\text{CC}} / 5 \text{ V}} \right)$$

The ratiometric change in sensitivity, ΔSens_{RAT} (%), is defined as:

$$100 \left(\frac{\text{Sens}_{\text{VCC}} / \text{Sens}_{\text{SV}}}{V_{\text{CC}} / 5 \text{ V}} \right)$$

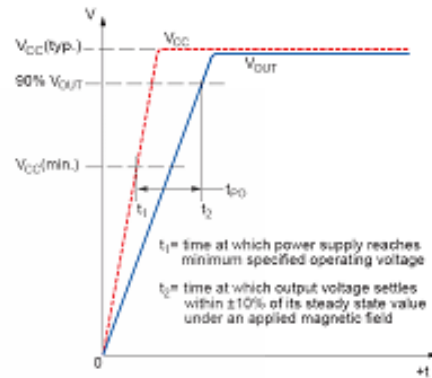
Output Voltage versus Sensed Current Accuracy at 0 A and at Full-Scale Current



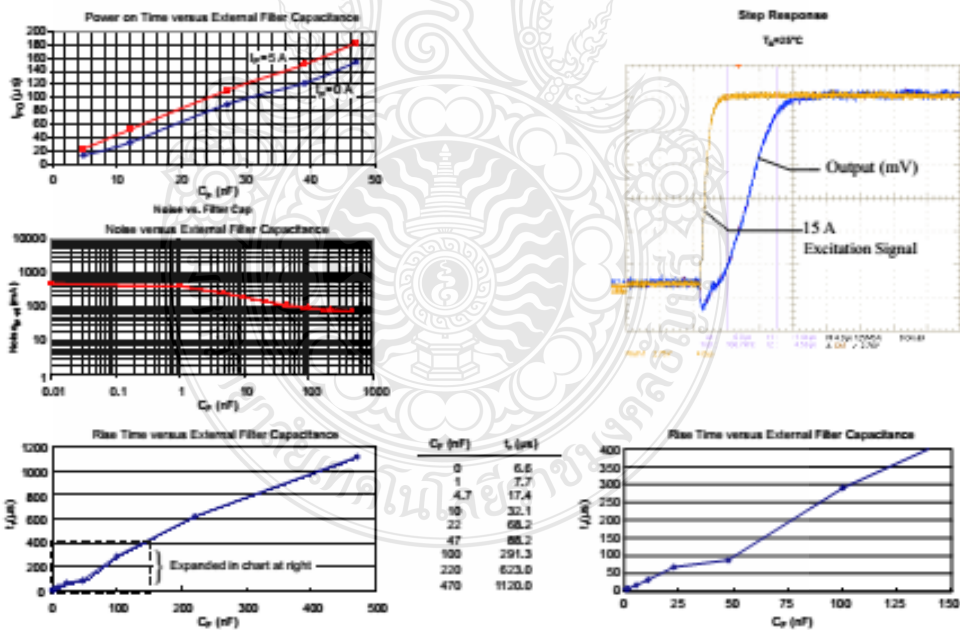
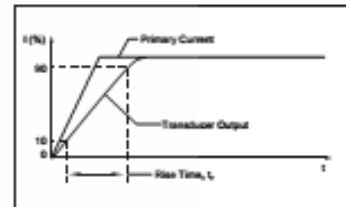
Allegro Microsystems, Inc.
115 Northeast Cutoff
Worcester, Massachusetts 01615-0036 U.S.A.
1.508.853.5000; www.allegromicro.com

Definitions of Dynamic Response Characteristics

Power-On Time (t_{PO}). When the supply is ramped to its operating voltage, the device requires a finite time to power its internal components before responding to an input magnetic field. Power-On Time, t_{PO} , is defined as the time it takes for the output voltage to settle within $\pm 10\%$ of its steady state value under an applied magnetic field, after the power supply has reached its minimum specified operating voltage, $V_{CC(min)}$, as shown in the chart at right.



Rise time (t_r). The time interval between a) when the sensor reaches 10% of its full scale value, and b) when it reaches 90% of its full scale value. The rise time to a step response is used to derive the bandwidth of the current sensor, in which $f(-3\text{ dB}) = 0.35/t_r$. Both t_r and $t_{RESPONSE}$ are detrimentally affected by eddy current losses observed in the conductive IC ground plane.

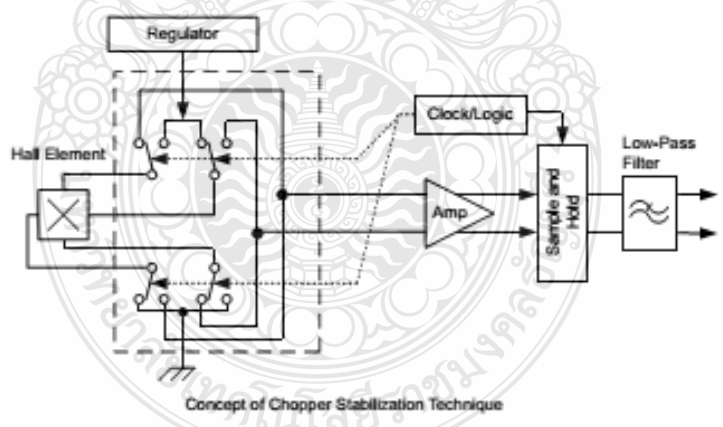


Allegro MicroSystems, Inc.
115 Northeast Cutoff
Worcester, Massachusetts 01615-0036 U.S.A.
1.508.853.5000; www.allegromicro.com

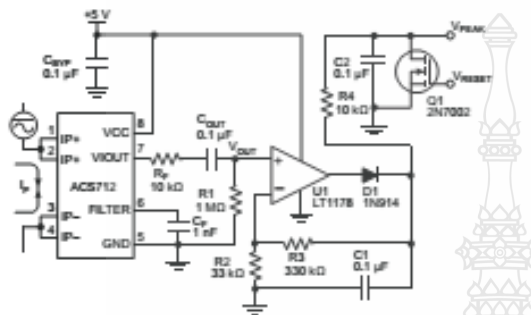
Chopper Stabilization Technique

Chopper Stabilization is an innovative circuit technique that is used to minimize the offset voltage of a Hall element and an associated on-chip amplifier. Allegro patented a Chopper Stabilization technique that nearly eliminates Hall IC output drift induced by temperature or package stress effects. This offset reduction technique is based on a signal modulation-demodulation process. Modulation is used to separate the undesired dc offset signal from the magnetically induced signal in the frequency domain. Then, using a low-pass filter, the modulated dc offset is suppressed while the magnetically induced signal passes through the filter.

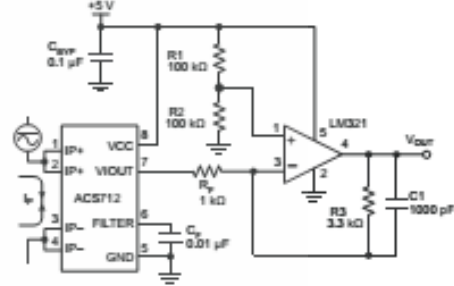
As a result of this chopper stabilization approach, the output voltage from the Hall IC is desensitized to the effects of temperature and mechanical stress. This technique produces devices that have an extremely stable Electrical Offset Voltage, are immune to thermal stress, and have precise recoverability after temperature cycling. This technique is made possible through the use of a BiCMOS process that allows the use of low-offset and low-noise amplifiers in combination with high-density logic integration and sample and hold circuits.



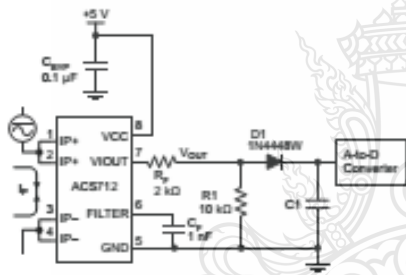
Typical Applications



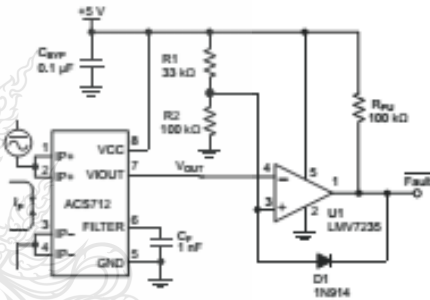
Application 2. Peak Detecting Circuit



Application 3. This configuration increases gain to 610 mV/A (tested using the ACS712ELC-05A).



Application 4. Rectified Output. 3.3 V scaling and rectification application for A-to-D converters. Replaces current transformer solutions with simpler ACS circuit. C1 is a function of the load resistance and filtering desired. R1 can be omitted if the full range is desired.



Application 5. 10 A Overcurrent Fault Latch. Fault threshold set by R1 and R2. This circuit latches an overcurrent fault and holds it until the 5 V rail is powered down.

ACS712

Fully Integrated, Hall Effect-Based Linear Current Sensor with 2.1 kVRMS Voltage Isolation and a Low-Resistance Current Conductor

Improving Sensing System Accuracy Using the FILTER Pin

In low-frequency sensing applications, it is often advantageous to add a simple RC filter to the output of the sensor. Such a low-pass filter improves the signal-to-noise ratio, and therefore the resolution, of the sensor output signal. However, the addition of an RC filter to the output of a sensor IC can result in undesirable sensor output attenuation — even for dc signals.

Signal attenuation, ΔV_{ATT} , is a result of the resistive divider effect between the resistance of the external filter, R_F (see Application 6), and the input impedance and resistance of the customer interface circuit, R_{INTFC} . The transfer function of this resistive divider is given by:

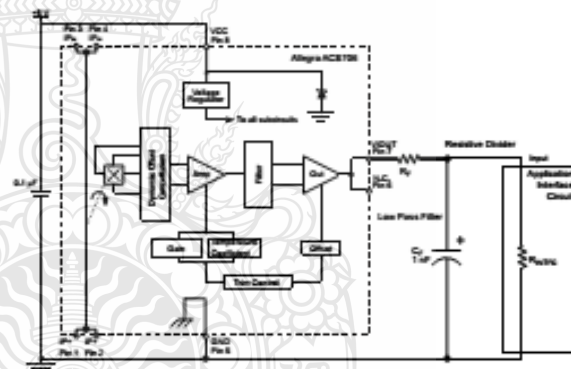
$$\Delta V_{ATT} = V_{KOUT} \left(\frac{R_{INTFC}}{R_F + R_{INTFC}} \right)$$

Even if R_F and R_{INTFC} are designed to match, the two individual resistance values will most likely drift by different amounts over

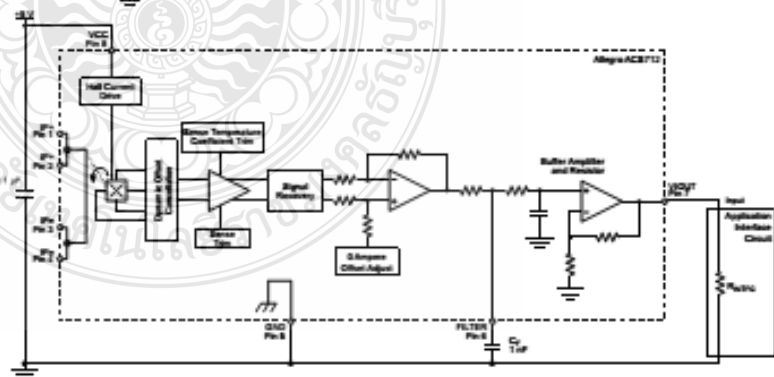
temperature. Therefore, signal attenuation will vary as a function of temperature. Note that, in many cases, the input impedance, R_{INTFC} , of a typical analog-to-digital converter (ADC) can be as low as 10 k Ω .

The ACS712 contains an internal resistor, a FILTER pin connection to the printed circuit board, and an internal buffer amplifier. With this circuit architecture, users can implement a simple RC filter via the addition of a capacitor, C_F (see Application 7) from the FILTER pin to ground. The buffer amplifier inside of the ACS712 (located after the internal resistor and FILTER pin connection) eliminates the attenuation caused by the resistive divider effect described in the equation for ΔV_{ATT} . Therefore, the ACS712 device is ideal for use in high-accuracy applications that cannot afford the signal attenuation associated with the use of an external RC low-pass filter.

Application 6. When a low pass filter is constructed externally to a standard Hall effect device, a resistive divider may exist between the filter resistor, R_F , and the resistance of the customer interface circuit, R_{INTFC} . This resistive divider will cause excessive attenuation, as given by the transfer function for ΔV_{ATT} .



Application 7. Using the FILTER pin provided on the ACS712 eliminates the attenuation effects of the resistor divider between R_F and R_{INTFC} , shown in Application 6.

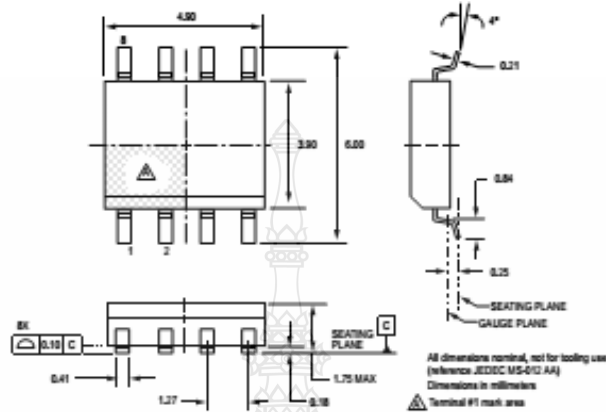


Allegro MicroSystems, Inc.
115 Northeast Cutoff
Worcester, Massachusetts 01615-0036 U.S.A.
1.508.853.5000; www.allegromicro.com

ACS712

Fully Integrated, Hall Effect-Based Linear Current Sensor with
2.1 kVRMS Voltage Isolation and a Low-Resistance Current Conductor

Package LC, 8-pin SOIC



Package Branding

Two alternative patterns are used



| | | | | | |
|----------------------------|-----|---|----------------------------------|-----|---|
| ACS712T RLCPPP YYWWA | ACS | Allegro Current Sensor | ACS712T RLCPPP L L YYWW | ACS | Allegro Current Sensor |
| | 712 | Device family number | | 712 | Device family number |
| | T | Indicator of 100% matte tin leadframe plating | | T | Indicator of 100% matte tin leadframe plating |
| | R | Operating ambient temperature range code | | R | Operating ambient temperature range code |
| | LC | Package type designator | | LC | Package type designator |
| | PPP | Primary sensed current | | PPP | Primary sensed current |
| | YY | Date code: Calendar year (last two digits) | | L L | Lot code |
| | WW | Date code: Calendar week | | YY | Date code: Calendar year (last two digits) |
| | A | Date code: Shift code | | WW | Date code: Calendar week |

Copyright ©2006, 2007, Allegro MicroSystems, Inc.

The products described herein are manufactured under one or more of the following U.S. patents: 5,045,920; 5,264,783; 5,442,283; 5,389,889; 5,581,179; 5,517,112; 5,619,137; 5,621,319; 5,650,719; 5,686,894; 5,694,038; 5,729,130; 5,917,320; and other patents pending.

Allegro MicroSystems, Inc. reserves the right to make, from time to time, such departures from the detail specifications as may be required to permit improvements in the performance, reliability, or manufacturability of its products. Before placing an order, the user is cautioned to verify that the information being relied upon is current.

Allegro's products are not to be used in life support devices or systems, if a failure of an Allegro product can reasonably be expected to cause the failure of that life support device or system, or to affect the safety or effectiveness of that device or system.

The information included herein is believed to be accurate and reliable. However, Allegro MicroSystems, Inc. assumes no responsibility for its use; nor for any infringement of patents or other rights of third parties which may result from its use.

For the latest version of this document, visit our website:

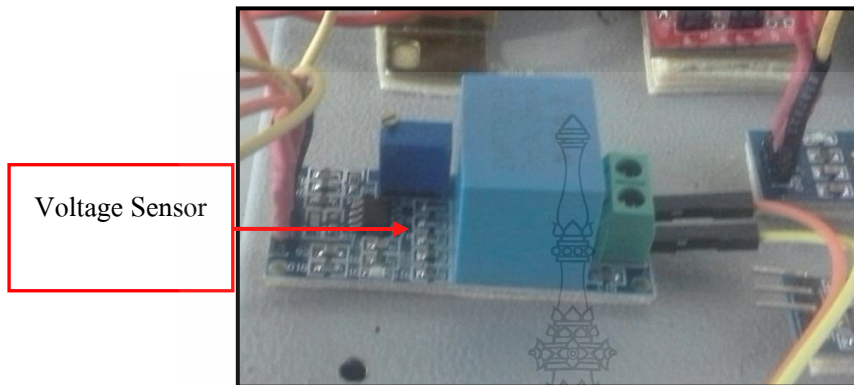
www.allegromicro.com



Allegro MicroSystems, Inc.
115 Northwase Court
Worcester, Massachusetts 01615-0236 U.S.A.
1.508.853.5000; www.allegromicro.com

14

การตรวจวัดสัญญาณแรงดันจะใช้เซ็นเซอร์แรงดัน รุ่น ZMPT101B Single Phase AC Voltage Transformer Sensor Module ขนาดพิกัดแรงดัน 220 โวลต์ โดยจะแปลงสัญญาณอนาล็อกเป็นดิจิตอล ภายในตัวเซ็นเซอร์แรงดันอ้างอิง 3.3 โวลต์



เซ็นเซอร์แรงดัน ZMPT101B Single Phase AC Voltage Transformer Sensor Module เมื่อประมวลผลเสร็จแล้วสัญญาณที่ได้จากบอร์ด STM32F4 จะถูกส่งไปยังวงจรขับสวิตช์ไอจีบีทีดัง



ZMPT101B VOLTAGE TRANSFORMER

Applications

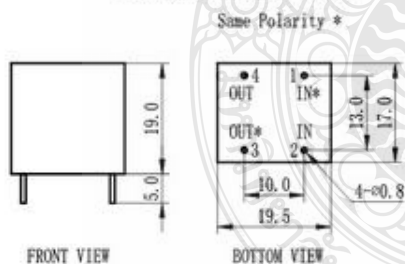
- * Sensing Overload Current
- * Ground fault detection
- * Metering
- * Analog to Digital Circuits

| Electrical Specification | |
|--------------------------|---------------------------|
| Primary Current | 2mA |
| Secondary Current | 2mA |
| Turns Ratio | 1000:1000 |
| Phase Angle Error | $\leq 20'$ (50 Ω) |
| Current Range | 0 ~ 3mA |
| Linearity | 0.1% |
| Accuracy Class | 0.2 |
| Rated Burden | $\leq 200 \Omega$ |
| Frequency Range | 50 ~ 60Hz |
| Dielectric Level | 3000VAC/min |
| DC Resistance at 20°C | 110 Ω |

| Mechanical Specification | |
|--------------------------|--------------------|
| Cup | PBT |
| Encapsulant | Epoxy |
| Terminals | Pin $\phi 0.80$ mm |
| Tolerance | ± 0.2 mm |
| Approx. Weight | 13g |
| Case | Carton |

| Environment Specification | |
|---------------------------|-----------------|
| Storage Temperature | -40°C ~ +130°C |
| Insulation Resistance | >100 M Ω |

Dimensions (mm)



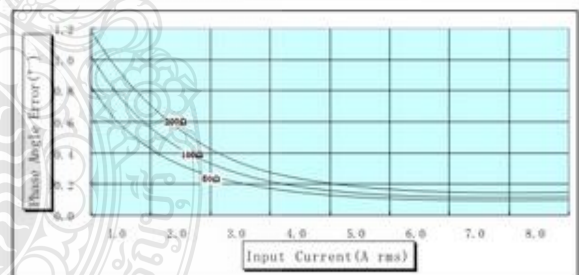
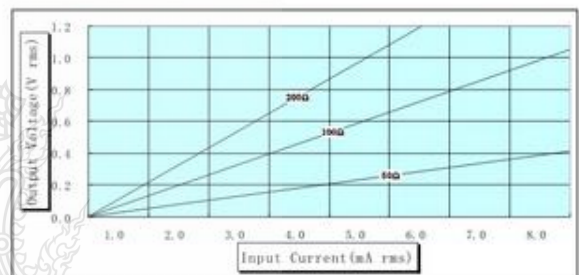
Label

TYPE:ZMPT101B
RATIO:2mA/2mA
NANJING ZEMING



Product Illustration

Output Characteristic



Description: Micro Precision Voltage Transformers, with low price, small size and easy PCB mounting, are mainly used in electrical energy meters, household electrical equipment, industrial apparatuses, electrical testing equipment and relay protection, widely acclaimed as well.



STM32F4 high-performance discovery board

Data brief

Features

- STM32F407VGT6 microcontroller featuring 32-bit ARM Cortex-M4F core, 1 MB Flash, 192 KB RAM in an LQFP100 package
- On-board ST-LINK/V2 with selection mode switch to use the kit as a standalone ST-LINK/V2 (with SWD connector for programming and debugging)
- Board power supply: through USB bus or from an external 5 V supply voltage
- External application power supply: 3 V and 5 V
- LIS302DL, ST MEMS motion sensor, 3-axis digital output accelerometer
- MP45DT02, ST MEMS audio sensor, omnidirectional digital microphone
- CS43L22, audio DAC with integrated class D speaker driver
- Eight LEDs:
 - LD1 (red/green) for USB communication
 - LD2 (red) for 3.3 V power on
 - Four user LEDs, LD3 (orange), LD4 (green), LD5 (red) and LD6 (blue)
 - 2 USB OTG LEDs LD7 (green) VBus and LD8 (red) over-current
- Two push buttons (user and reset)
- USB OTG FS with micro-AB connector
- Extension header for all LQFP100 I/Os for quick connection to prototyping board and easy probing



Based on the STM32F407VGT6, it includes an ST-LINK/V2 embedded debug tool, two ST MEMS, digital accelerometer and digital microphone, one audio DAC with integrated class D speaker driver, LEDs and push buttons and an USB OTG micro-AB connector.

A large number of free ready-to-run application firmware examples are available on www.st.com/stm32f4-discovery to support quick evaluation and development.

Description

The STM32F4DISCOVERY helps you to discover the STM32F4 high-performance features and to develop your applications easily. It includes everything required for beginners and experienced users to get started quickly.

Table 1. Device summary

| Order code | Reference |
|------------------|--|
| STM32F4DISCOVERY | STM32F4 high-performance discovery board |

1 System requirements

- Windows PC (2000, XP, Vista, 7)
- USB type A to Mini-B cable

2 Development toolchains

- Altium TASKING™ VX-Toolset
- Atollic TrueSTUDIO®
- IAR, Embedded Workbench® for ARM
- Keil, MDK-ARM™

3 Demonstration software

The demonstration software is preloaded in the board's Flash memory. It uses the MEMS motion sensor to blink the four LEDs according to the motion direction and speed. Connecting the board to a PC with a second USB 'type A to micro-B' cable converts it into a standard mouse, and board motion controls the PC cursor.

The latest versions of the demonstration source code and associated documentation can be downloaded from www.st.com/stm32f4-discovery.

4 Revision history

Table 2. Document revision history

| Date | Revision | Changes |
|--------------|----------|------------------|
| 15-Sept-2011 | 1 | Initial version. |

Please Read Carefully:

Information in this document is provided solely in connection with ST products. STMicroelectronics NV and its subsidiaries ("ST") reserve the right to make changes, corrections, modifications or improvements, to this document, and the products and services described herein at any time, without notice.

All ST products are sold pursuant to ST's terms and conditions of sale.

Purchasers are solely responsible for the choice, selection and use of the ST products and services described herein, and ST assumes no liability whatsoever relating to the choice, selection or use of the ST products and services described herein.

No license, express or implied, by estoppel or otherwise, to any intellectual property rights is granted under this document. If any part of this document refers to any third party products or services it shall not be deemed a license grant by ST for the use of such third party products or services, or any intellectual property contained therein or considered as a warranty covering the use in any manner whatsoever of such third party products or services or any intellectual property contained therein.

UNLESS OTHERWISE SET FORTH IN ST'S TERMS AND CONDITIONS OF SALE ST DISCLAIMS ANY EXPRESS OR IMPLIED WARRANTY WITH RESPECT TO THE USE AND/OR SALE OF ST PRODUCTS INCLUDING WITHOUT LIMITATION IMPLIED WARRANTIES OF MERCHANTABILITY, FITNESS FOR A PARTICULAR PURPOSE (AND THEIR EQUIVALENTS UNDER THE LAWS OF ANY JURISDICTION), OR INFRINGEMENT OF ANY PATENT, COPYRIGHT OR OTHER INTELLECTUAL PROPERTY RIGHT.

UNLESS EXPRESSLY APPROVED IN WRITING BY TWO AUTHORIZED ST REPRESENTATIVES, ST PRODUCTS ARE NOT RECOMMENDED, AUTHORIZED OR WARRANTED FOR USE IN MILITARY, AIR CRAFT, SPACE, LIFE SAVING, OR LIFE SUSTAINING APPLICATIONS, NOR IN PRODUCTS OR SYSTEMS WHERE FAILURE OR MALFUNCTION MAY RESULT IN PERSONAL INJURY, DEATH, OR SEVERE PROPERTY OR ENVIRONMENTAL DAMAGE. ST PRODUCTS WHICH ARE NOT SPECIFIED AS "AUTOMOTIVE GRADE" MAY ONLY BE USED IN AUTOMOTIVE APPLICATIONS AT USER'S OWN RISK.

Resale of ST products with provisions different from the statements and/or technical features set forth in this document shall immediately void any warranty granted by ST for the ST product or service described herein and shall not create or extend in any manner whatsoever, any liability of ST.

ST and the ST logo are trademarks or registered trademarks of ST in various countries.

Information in this document supersedes and replaces all information previously supplied.

The ST logo is a registered trademark of STMicroelectronics. All other names are the property of their respective owners.

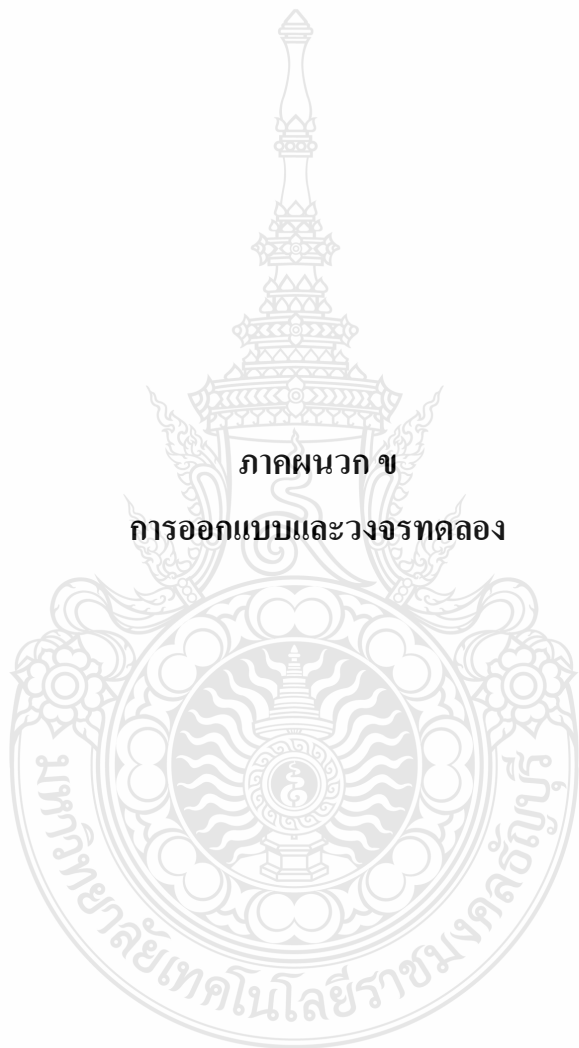
© 2011 STMicroelectronics - All rights reserved

STMicroelectronics group of companies

Australia • Belgium • Brazil • Canada • China • Czech Republic • Finland • France • Germany • Hong Kong • India • Israel • Italy • Japan • Malaysia • Malta • Morocco • Philippines • Singapore • Spain • Sweden • Switzerland • United Kingdom • United States of America

www.st.com



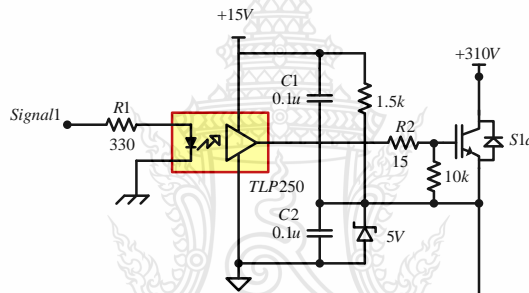


ภาคผนวก ข

การออกแบบและวงจรทดลอง

การออกแบบวงจรภาคขับสวิตช์ไอจีบีที

การออกแบบวงจรขับสวิตช์ไอจีบีทีที่จะใช้ Opto Isolate เบอร์ TLP250 เพื่อแยกแรงดันไฟต่ำกับแรงดันไฟสูงออกจากกัน โดย R_2 ในภาพที่ 3.15 จะใช้ค่าอยู่ระหว่าง 10 โอห์ม ถึง 100 โอห์ม เพื่อป้องกันการเกิดการแกว่งของสัญญาณที่ขาเกตของไอจีบีที ซึ่งในวิทยานิพนธ์นี้เลือกใช้ค่า R_2 เท่ากับ 39 โอห์ม เนื่องจากสัญญาณที่ด้านออกของ Opto Isolate เป็นสัญญาณพัลส์ PWM ที่ประกอบด้วย ฮาร์มอนิกส์ของสัญญาณไซน์หลายความถี่ซึ่งอาจทำให้เกิดการออสซิลเลตได้จึงจำเป็นต้องใส่ตัวต้านทาน R_2 เพื่อควบคุมไม่ให้เกิดการแกว่งของสัญญาณ



รูปที่ ข.1 วงจรภาคขับสวิตช์ไอจีบีที

การออกแบบ R_1 กำหนดให้กระแส (I_F) ที่ไหลผ่าน TLP250 มีค่าเท่ากับ 10 มิลลิแอมแปร์ และแรงดัน V_F เท่ากับ 1.6 โวลต์ โดยที่ V_{CC} มีค่าเท่ากับ 5 โวลต์ จะได้ว่า

$$R_1 = \frac{V_{CC} - V_F}{I_F} \quad (ข.1)$$

$$= \frac{5V - 1.6V}{10mA}$$

$$= 340\Omega$$

ดังนั้นในวิทยานิพนธ์นี้เลือกใช้ค่า 330 โอห์ม โดยจะได้กระแสประมาณ 10.3 มิลลิแอมแปร์ ซึ่งวงจรยังสามารถทำงานได้

การออกแบบวงจรสับเบอร์

เมื่อมีการควบคุมของอุปกรณ์โดยใช้ไอจีบีทีเป็นตัวตัดและต่อวงจร ซึ่งเป็นโหลด RL โดยหลักการทำงานกระแสและแรงดันมูมเฟสจะไม่ตรงกัน ดังนั้นการจึงเกิดความไม่แน่นอนของไอจีบีทีที่ตัดวงจร เพราะว่าเมื่อยังมีกระแสไหลกลับเข้าไปยังอุปกรณ์สวิตซ์ที่ทำให้เกิดความเสียหายเกิดขึ้น ดังนั้นจำเป็นต้องใช้วงจรสับเบอร์เข้ามาใช้แทนค่ากระแสแรงดันเข้าและเวลาในการหยุดนำกระแสของสวิตซ์ลงในสมการที่ ข.3 จะได้

เมื่อ $V_s = 220V \text{ rms}$

$$I_L = 30A$$

$$F_s = 5kHz$$

$$t_{f1} = 200ns \quad t_{d(OFF)1} = 240ns \quad \therefore t_f = t_{f1} + t_{d(OFF)1} = 440ns$$

Duty cycle 50 %

$$C = \frac{I_L \times t_f}{2V_s} = \frac{30 \times 440 \times 10^{-9}}{2 \times 220} = 0.03 \mu F \quad (\text{ข.2})$$

$$T_s = \frac{1}{f_s} = \frac{1}{5 \times 10^3} = 20ms \quad (\text{ข.3})$$

การนำกระแส Duty cycle 50 % เท่ากับ 10ms ช่วงเวลาที่สวิตซ์นำกระแส (t_{on}) จะต้องมากพอที่จะให้ตัวเก็บประจุ (C) สับเบอร์คายประจุได้หมดก่อนที่สวิตซ์จะหยุดนำกระแสในครั้งต่อไป ซึ่งโดยทั่วไปแล้วเวลาที่ใช้ในการคายประจุจะมีค่าประมาณ 5 τ จากสมการ ข.3

$$t_{on} > 5R_s C_s \quad (\text{ข.4})$$

$$R_s < \frac{t_{on}}{5C_s} \quad (ข.5)$$

t_{on} คือ ช่วงเวลาการนำกระแสของสวิตช์ที่วัฏจักรงานร้อยละ 50
แทนค่าตัวแปรลงในสมการที่ ข.4 จะได้

$$R_s < \frac{2.5 \times 10^{-5}}{5 \times 7.33 \times 10^{-9}} < 682.13 \text{ โอห์ม}$$

ดังนั้นสามารถหาค่า R_s ได้จากสมการ ข.6

$$R_s = \frac{5V_s}{I_o} \quad (ข.6)$$

แทนค่าตัวแปรลงในสมการที่ ข.5 จะได้

$$R_s = \frac{5 \times 300}{15} = 100 \text{ โอห์ม}$$

ค่ากำลังไฟฟ้าสูญเสียที่ไอจีบีทีขณะเริ่มหยุดนำกระแสได้จากสมการที่ ข.7

$$P_Q = \frac{1}{2} I_o V_s (t_s + t_f) f_s \quad (ข.7)$$

$$P_Q = \frac{1}{2} \times 15 \times 300 \times ((100 + 440) \times 10^{-9}) \times 20 \times 10^3 = 24.3 \text{ วัตต์}$$

เมื่อใส่วงจรสับเบอร์แล้ว ที่ช่วงเวลาเริ่มหยุดนำกระแส ค่ากำลังไฟฟ้าสูญเสียที่ไอจีบีทีจะหาได้จากสมการที่ ข.8 ซึ่งเท่ากับ

$$P_Q = \frac{I_o^2 t_f^2 f_s}{24C} \quad (ข.8)$$

$$P_o = \frac{15^2 \times (440 \times 10^{-9})^2 \times 20 \times 10^3}{24 \times 11 \times 10^{-9}} = 3.3 \text{ วัตต์}$$

ทั้งนี้ตัวเก็บประจุจะคายประจุผ่านทางตัวต้านทานในวงจรสับเบอร์ขณะไอจีบีทีเริ่มนำกระแส ซึ่งพลังงานสะสมที่ตัวเก็บประจุสามารถหาได้จากสมการที่ ข.9

$$W = \frac{1}{2} CV_s^2 \quad (\text{ข.9})$$

$$W = \frac{1}{2} \times 11 \times 10^{-9} \times 300^2 = 4.95 \times 10^{-4} \text{ วัตต์}$$

พลังงานนี้ส่วนใหญ่จะถูกถ่ายเทไปยังตัวต้านทานของวงจรสับเบอร์ขณะไอจีบีทีนำกระแส ซึ่งกำลังไฟฟ้าที่ตัวต้านทานในวงจรสับเบอร์นี้หาได้จากสมการที่ ข.10

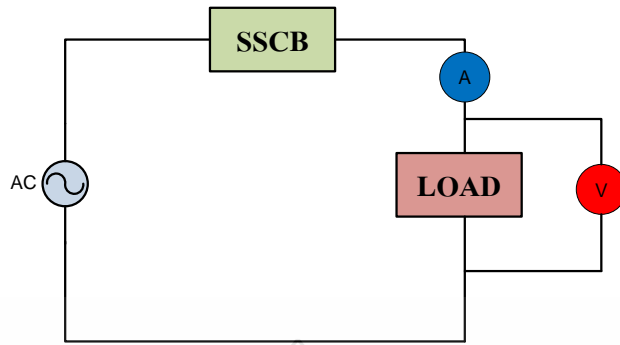
$$P_R = \frac{CV_s^2}{2T_s} = \frac{1}{2} CV_s^2 f_s \quad (\text{ข.10})$$

$$P_R = \frac{1}{2} \times 11 \times 10^{-9} \times 300^2 \times 20 \times 10^3 = 9.9 \text{ วัตต์}$$

จะเห็นได้ว่าค่าตัวเก็บประจุสามารถใช้ลดค่ากำลังไฟฟ้าสูญเสียที่ทรานซิสเตอร์ได้แต่ก็เป็นการสูญเสียกำลังไฟฟ้าที่ตัวต้านทานได้เช่นกัน

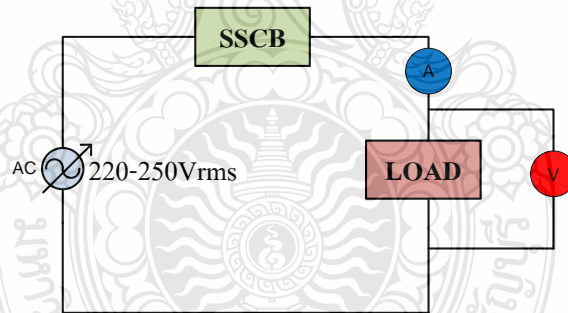
$$R < \frac{t_{on}}{5c} < \frac{10 \times 10^{-3}}{5 \times 0.03 \times 10^{-6}} < 100k\Omega \quad (\text{ข.11})$$

วงจรที่ใช้ในการจำลองการทำงานของเซอร์กิตเบรกเกอร์แบบโซลิดสเตต มีการวัดสัญญาณกระแสและสัญญาณแรงดัน วงจรของเซอร์กิตเบรกเกอร์แบบโซลิดสเตตที่ใช้ในการการจำลองจะมีส่วนประกอบคือ แหล่งจ่ายกระแสสลับ เซอร์กิตเบรกเกอร์แบบโซลิดสเตต โหลดและตัววัดสัญญาณกระแสและวัดสัญญาณแรงดัน ดังรูปที่ ข.1



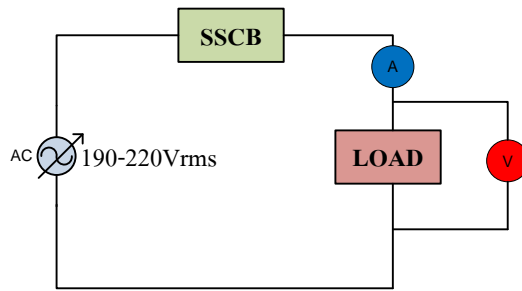
รูปที่ ข.2 วงจรของเซอร์กิตเบรกเกอร์แบบโซลิดสเตตที่ใช้ในการการจำลอง

วงจรของเซอร์กิตเบรกเกอร์แบบโซลิดสเตตที่ใช้ในการการจำลองแรงดันเกินโดยการปรับแรงดันที่ 220-250 โวลต์ที่แหล่งจ่ายกระแสสลับ มีการวัดสัญญาณกระแสและสัญญาณแรงดัน วงจรของเซอร์กิตเบรกเกอร์แบบโซลิดสเตตที่ใช้ในการการจำลองจะมีส่วนประกอบคือ แหล่งจ่ายกระแสสลับ เซอร์กิตเบรกเกอร์แบบโซลิดสเตต โหลดและตัววัดสัญญาณกระแสและวัดสัญญาณแรงดัน ดังรูปที่ ข.2



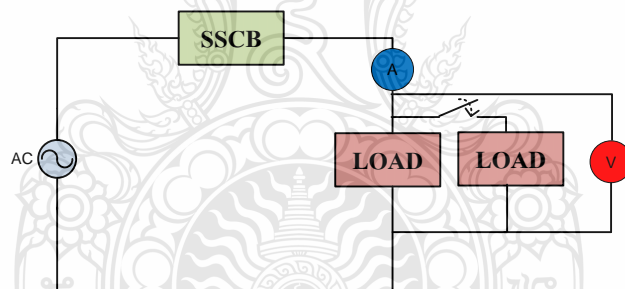
รูปที่ ข.3 วงจรของเซอร์กิตเบรกเกอร์แบบโซลิดสเตตที่ใช้ในการการจำลองแรงดันเกิน

วงจรของเซอร์กิตเบรกเกอร์แบบโซลิดสเตตที่ใช้ในการการจำลองแรงดันตกโดยการปรับแรงดันที่ 220-190 โวลต์ที่แหล่งจ่ายกระแสสลับ มีการวัดสัญญาณกระแสและสัญญาณแรงดัน วงจรของเซอร์กิตเบรกเกอร์แบบโซลิดสเตตที่ใช้ในการการจำลองจะมีส่วนประกอบคือ แหล่งจ่ายกระแสสลับ เซอร์กิตเบรกเกอร์แบบโซลิดสเตต โหลดและตัววัดสัญญาณกระแสและวัดสัญญาณแรงดัน ดังรูปที่ ข.3



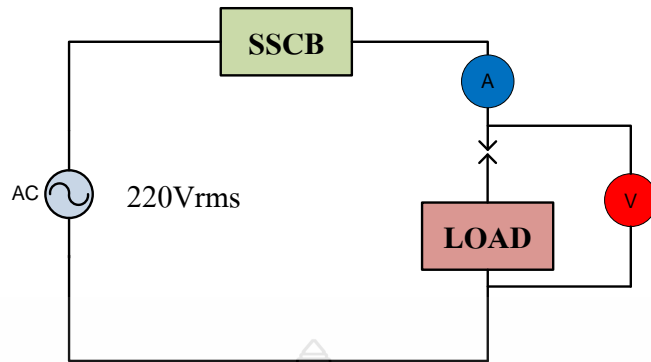
รูปที่ ข.4 วงจรของเซอร์กิตเบรกเกอร์แบบโซลิดสเตตที่ใช้ในการการจำลองแรงดันตก

วงจรของเซอร์กิตเบรกเกอร์แบบโซลิดสเตตที่ใช้ในการการจำลองกระแสเกิน โดยการจ่าย โหลดเพิ่มจากกระแส 25 แอมแปร์เป็น 35 แอมแปร์ มีการวัดสัญญาณกระแสและสัญญาณแรงดัน วงจรของเซอร์กิตเบรกเกอร์แบบโซลิดสเตตที่ใช้ในการการจำลองจะมีส่วนประกอบคือ แหล่งจ่าย กระแสสลับ เซอร์กิตเบรกเกอร์แบบโซลิดสเตต โหลดและตัววัดสัญญาณกระแสและวัดสัญญาณแรงดัน ดังรูปที่ ข.4



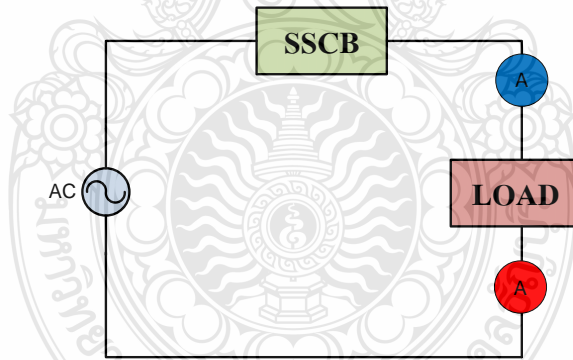
รูปที่ ข.5 วงจรของเซอร์กิตเบรกเกอร์แบบโซลิดสเตตที่ใช้ในการการจำลองกระแสเกิน

วงจรของเซอร์กิตเบรกเกอร์แบบโซลิดสเตตที่ใช้ในการการจำลองการอาร์ค โดยทำการอาร์ค อนุกรมก่อนจะถึง โหลด มีการวัดสัญญาณกระแสและสัญญาณแรงดัน วงจรของเซอร์กิตเบรกเกอร์แบบโซลิดสเตตที่ใช้ในการการจำลองจะมีส่วนประกอบคือ แหล่งจ่ายกระแสสลับ เซอร์กิตเบรกเกอร์แบบโซลิดสเตต ชุดการอาร์ค โหลดและตัววัดสัญญาณกระแสและวัดสัญญาณแรงดัน ดังรูปที่ ข.5



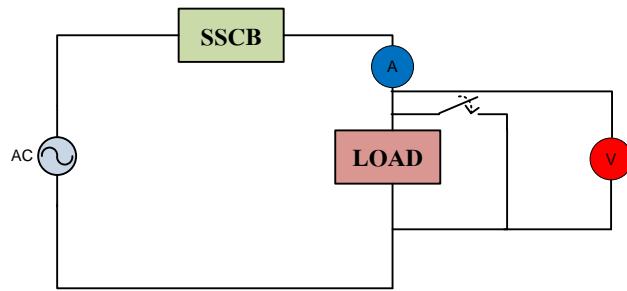
รูปที่ ข.6 วงจรของเซอร์กิตเบรกเกอร์แบบโซลิดสเตตที่ใช้ในการการจำลองการอาร์ค

วงจรของเซอร์กิตเบรกเกอร์แบบโซลิดสเตตที่ใช้ในการการจำลองกระแสไฟฟ้ารั่ว โดยทำให้กระแสเข้ากับกระแสออกที่โหลดต่างกัน 25 มิลลิแอมแปร์ มีการวัดสัญญาณกระแสและสัญญาณแรงดัน วงจรของเซอร์กิตเบรกเกอร์แบบโซลิดสเตตที่ใช้ในการการจำลองจะมีส่วนประกอบคือ แหล่งจ่ายกระแสสลับ เซอร์กิตเบรกเกอร์แบบโซลิดสเตต โหลดและตัววัดสัญญาณกระแสและวัดสัญญาณแรงดัน ดังรูปที่ ข.6

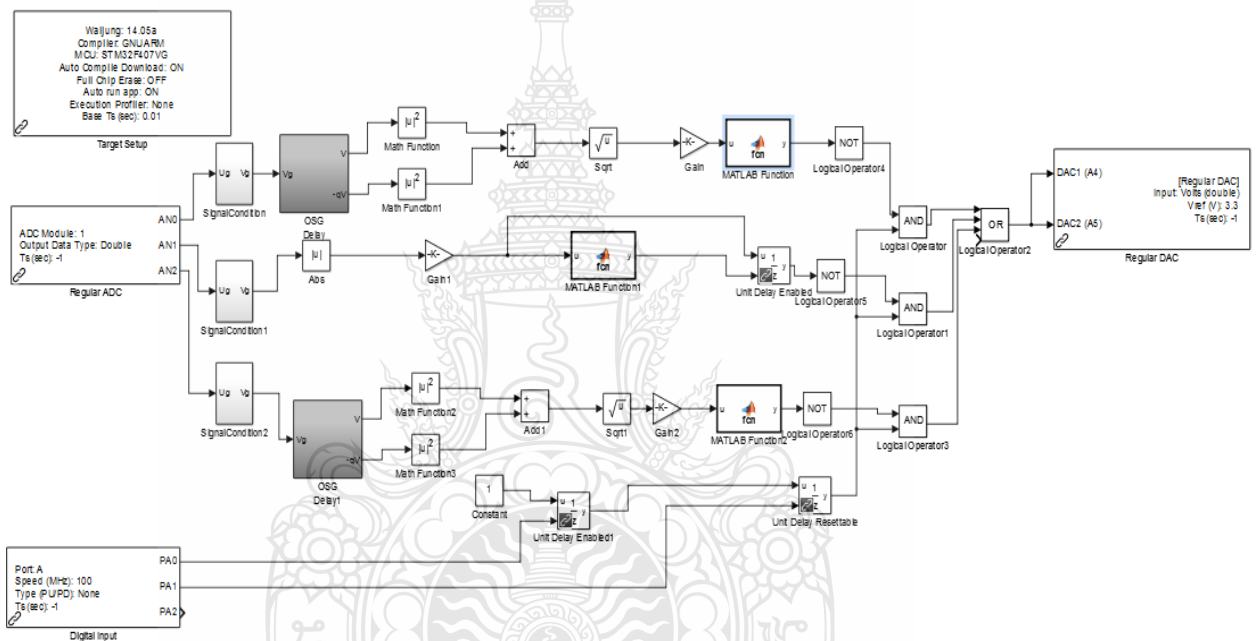


รูปที่ ข.7 วงจรของเซอร์กิตเบรกเกอร์แบบโซลิดสเตตที่ใช้ในการการจำลองกระแสไฟฟ้ารั่ว

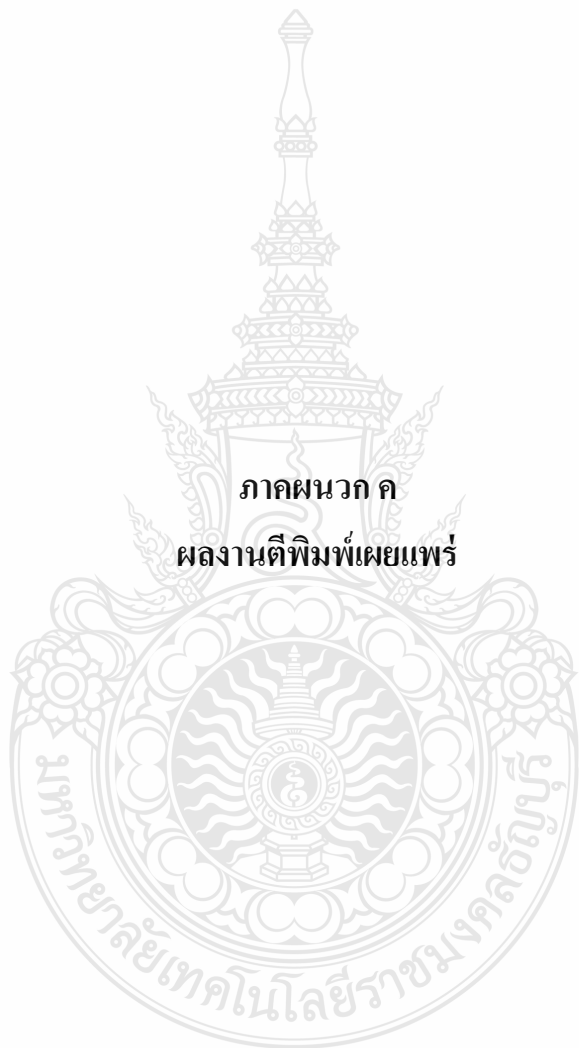
วงจรของเซอร์กิตเบรกเกอร์แบบโซลิดสเตตที่ใช้ในการการจำลองการลัดวงจร โดยการจ่ายโหลดปกติแล้วมีการลัดวงจรที่โหลด มีการวัดสัญญาณกระแสและสัญญาณแรงดัน วงจรของเซอร์กิตเบรกเกอร์แบบโซลิดสเตตที่ใช้ในการการจำลองจะมีส่วนประกอบคือ แหล่งจ่ายกระแสสลับ เซอร์กิตเบรกเกอร์แบบโซลิดสเตต โหลดและตัววัดสัญญาณกระแสและวัดสัญญาณแรงดัน ดังรูปที่ ข.7



รูปที่ ๘.๘ วงจรของเซอร์กิตเบรกเกอร์แบบ โซลิดสเตตที่ใช้ในการการจำลองการลัดวงจร



รูปที่ ๘.๙ โปรแกรมของไมโครคอนโทรลเลอร์ STM32F4



ภาคผนวก ค
ผลงานตีพิมพ์เผยแพร่

ผลงานตีพิมพ์เผยแพร่

- [1] Supawat Kamtip, Krischonme Bhumkittipich, Nathabhat Phankong “**Simulation of SSCB Using IGBTs Model based on ORCAD/PSPICE program**”, 11th Eco-Energy and Materials Science and Engineering Symposium, Phuket, Thailand, December 18-21. 2013, pp. 177-180.
- [2] ศุภวัฒน์ คำทิพย์, กฤษณ์ชนม์ ภูมิภักดีพิชญ์, ณัฐภัทร พันธุ์คง, “**การวิเคราะห์สัญญาณขนาดเล็กของเซอร์กิตเบรกเกอร์แบบโซลิดสเตตสำหรับระบบไฟฟ้า 1 เฟส**”, การประชุมวิชาการเครือข่ายวิศวกรรมไฟฟ้ามหาวิทยาลัยเทคโนโลยีราชมงคล ครั้งที่ 6 , 26-28 มีนาคม 2557 , จังหวัดกระบี่ , หน้า 573-576
- [3] ศุภวัฒน์ คำทิพย์, กฤษณ์ชนม์ ภูมิภักดีพิชญ์, ณัฐภัทร พันธุ์คง, “**การวิเคราะห์สัญญาณขนาดเล็กและกำลังสูญเสียของเซอร์กิตเบรกเกอร์ แบบโซลิดสเตต**” , การประชุมวิชาการ งานวิจัยและพัฒนาเชิงประยุกต์ ครั้งที่ 7 วันที่ 8-10 กรกฎาคม 2558 , ณ โรงเรียนธรรมรินทร์ ชนา , มหาวิทยาลัยเทคโนโลยีราชมงคลศรีวิชัย จังหวัดตรัง
- [4] ศุภวัฒน์ คำทิพย์, กฤษณ์ชนม์ ภูมิภักดีพิชญ์, ณัฐภัทร พันธุ์คง, “**เซอร์กิตเบรกเกอร์แบบโซลิดสเตตสำหรับระบบไฟฟ้าแรงต่ำ,**” การประชุมวิชาการทางวิศวกรรมไฟฟ้า ครั้งที่ 37, 19 - 21 พฤศจิกายน 2557, ขอนแก่น
- [5] S. Kamtip; K. Bhumkittipich “**Comparison between mechanical circuit breaker and solid state circuit breaker under abnormal conditions for low voltage systems**” 18th International Conference on Electrical Machines and System (ICEMS), Oct. 25-28, 2015, Pattaya City, Thailand.

Proceedings

11th

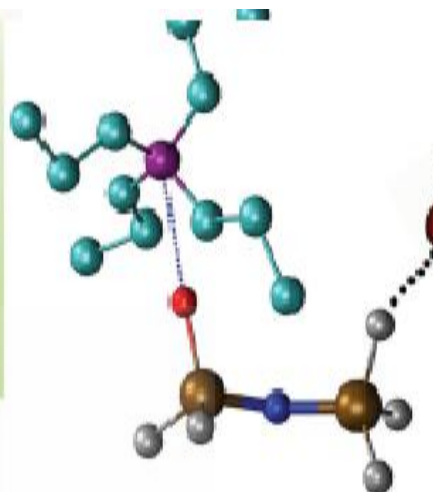
Eco-Energy and

Materials

Science and

Engineering

Symposium



Energy Technology, Environmental and Social Impact, Nanotechnology and Material Technology, Energy Economic and Management, Nuclear Technology, New Technology, Automotive Composite, and Other Topics related to Energy Field.

Organized by



December 18-21, 2013

Phuket Graceland Resort and Spa

Phuket, Thailand

Co-organized by



Sponsored by



CONTENT

| | | |
|-------------|--|-----|
| ET44 | An Off-line Battery Charger Based on Buck-Boost Power Factor Correction Converter for Plug-in Electric Vehicles <i>Sapassit Ketsingnoi and Pattana Kumsaran</i> | 159 |
| ET45 | Design of Power Rectifier Circuit for Three-Level Back-to-Back Converter <i>Nathabhat Phankong, Navin Yuktanon and Kritsachorn Blankimprich</i> | 164 |
| ET46 | Study of power grid connection with an unstable source from Elevator Energy Regenerative Unit (EERU) <i>A.Noppakant, B.Plungklang and Y. Parokem</i> | 169 |
| ET47 | Study of Power Generation Controller for Permanent Magnet Motor Elevator by Energy Regenerative Unit (EERU) <i>Statthal Kuntawong and Boonyang Plungklang</i> | 173 |
| ET48 | Simulation of SSCB Using IGBTs Model Based on ORCAD/PSPICE program <i>Sapawat Kuntip, Nathabhat Phankong and Kritsachorn Blankimprich</i> | 177 |

NANOTECHNOLOGY AND MATERIAL TECHNOLOGY

| | | |
|-------------|--|-----|
| NM03 | Morphological and Thermal Properties of LDPE/EVA Blended Films and Development of Antimicrobial Activity in Food Packaging Film <i>Karemsan Wattanasamvorn, Poonsub Thirapornwattana and Chanin Kulsetthachalee</i> | 181 |
| NM04 | Gold nanoparticles-based colorimetric sensor for cysteine detection <i>Soriyapha Jongjaisakul, Khwanthao Palzrak, Nutvan Boonrod and Sirivan Teepou</i> | 187 |
| NM06 | The Effects of Alkalized and Silanized Woven Sisal Fibers on Mechanical Properties of Natural Rubber Modified Epoxy Resin <i>S. Srisawan, N. Prasertpratha, N. Sappakorn and P. Chumsanrong</i> | 192 |
| NM07 | Effect of Microwave Curing Conditions on High Strength Concrete Properties <i>Rathasak Prasanna</i> | 197 |
| NM10 | Synergy Effects of Wood Flour and Fire Retardants in Flammability of Wood-Plastic Composites <i>Toshiyuki Umemura, Yoshitaka Arai, Satoru Nakamura, Fumi Tamita and Tatsuya Tamaki</i> | 203 |
| NM11 | Mechanical Properties and Prediction of Elastic Modulus of Glass Short Fiber/Wood Powder/Polypolyene Hybrid Composites <i>Ying YU, Tomoko Ota, Manabu Nomura and Hiroyuki Hamada</i> | 209 |
| NM12 | The Effect of Injection Speed on Morphology and Mechanical Properties of Polyoxymethylene/Poly(lactic acid) blends <i>S. Mathurasesomert, P. Lomwongwan, S. Nagai and H. Hamada</i> | 215 |
| NM14 | Reinvestigation thermoelectric properties of CuAlO ₂ <i>Chesta Rattanaporn, Wattana Kasawat, Chalermchai Rudrasakwong, Phamin Jindajitawan, Praibhat Borasaviri, Daragadesh Nuenkieng, Narongchai Boonyapalorn, Ahi Harawongwong, Warasoot Thowladda, Worakarn Neeyakorn, Chanchana Thanachayasoni, Anok Charoensaphakdee and Arue Wichainchai</i> | 220 |

International Scientific Advisory Committee:**General Chair:**

Assoc. Prof. Dr. Prasert PINPATHOMRAT RMUTT, Thailand

General Co-Chair:

Prof. Dr. Kiyoshi YOSHIKAWA Kyoto Uni., Japan

Organizing Chair:

Asst. Prof. Dr. Sommai PIVSA-ART RMUTT, Thailand

Prof. Dr. Takeshi YAO Kyoto Uni., Japan

Organizing Co-Chair:

Prof. Dr. Hideaki OHGAKI Kyoto Uni., Japan

International Scientific Committees:

Prof. Dr. Susumu YOSHIKAWA Kyoto Uni., Japan

Prof. Dr. Phadungsak RATTANADECHO TU, Thailand

Prof. Dr. Shiro SAKA Kyoto Uni., Japan

Prof. Dr. Hitomi OHARA KIT, Japan

Prof. Dr. Hideki YAMANE KIT, Japan

Prof. Dr. Hiroyuki HAMADA KIT, Japan

Prof. Dr.-Ing. Habil Ingo STADLER FH Koeln, Germany

Prof. Dr. Young S. CHAI Korea

Prof. Dr. Nipon TANGTHAM KU, Thailand

Prof. Dr. Masayoshi OKUBO Osaka Uni., Japan

Prof. Dr. Somchai WONGWISES KMUTL, Thailand

Prof. Dr. Nadarajah MITHULANANTHAN UQ, Australia

Prof. Dr. Yasuaki KISHIMOTO Kyoto Uni., Japan

Prof. Dr. Yuichi ANADA Hokkaido Info. Uni., Japan

Prof. Dr. Narongrit SOMBATSOMPOP KMUTT, Thailand

Assoc. Prof. Dr. Nurnyoot SONGTHANAPITAK RMUTT, Thailand

Assoc. Prof. Dr. Bandit FUNGTAMMASAN KMUTT, Thailand

Assoc. Prof. Dr. Ken KOKUBO Osaka Uni., Japan

Assoc. Prof. Dr. K. Srinivas REDDY IIT-Madras, India

Assoc. Prof. Dr. David Jan COWAN IUPUI, USA

Assoc. Prof. Dr. Per B. ZETTERLUND Australia

Assoc. Prof. Dr. Vijit KINNARES KMUTL, Thailand

Assoc. Prof. Dr. Yoshikazu SUZUKI Tsukuba Uni., Japan

Assoc. Prof. Dr. Kaan KERDCHEUN RMUTL, Thailand

Assoc. Prof. Dr. Wakin PIYARAT SWU, Thailand

Assoc. Prof. Dr. Seiichi KAWAHARA Nakaoga Uni., Japan

Assoc. Prof. Dr. Wissanu PECHARAPA KMUTL, Thailand

Asst. Prof. Dr. Somchai HIRANVAROMDOM RMUTT, Thailand

Asst. Prof. Dr. Wanchai SUBSINGHA RMUTT, Thailand

Asst. Prof. Dr. Thanapong SUWANNASRI KMUTNB, Thailand

Asst. Prof. Dr. Napaporn PHUANGPORNPIITAK KU, Thailand

Asst. Prof. Dr. Boonrit PRASARTKAEW RMUTT, Thailand

Asst. Prof. Dr. Supakit SUTTIRUENGWONG SU, Thailand

Asst. Prof. Dr. Vallop PHUPA RMUTP, Thailand

Asst. Prof. Dr. Pramook UNAHALEKHAKA RMUTSB, Thailand

Asst. Prof. Dr. Arthia SODE-YOME EGAT, Thailand

Asst. Prof. Dr. Yuttana KAMSUWAN Chaimai Uni., Thailand

Asst. Prof. Dr. Jakkree SRINONCHAI RMUTT, Thailand

Asst. Prof. Dr. Uthen KAMNAN RMUTL, Thailand

Asst. Prof. Dr. Cattariya SUWANNASRI KMUTNB, Thailand

Dr. Sei-ichi AIBA AIST, Japan

Dr. Nuvong CHOLLACOOP MITEC, Thailand

Dr. Wirachai ROYNARIN RMUTT, Thailand

Dr. Chatchai SOPPAPITAKSAKUL RMUTT, Thailand

Dr. Pinit SRITHORN RMUTL, Thailand

ASEAN Committee:

Prof. Dr. Yoyok Wahyu Subroto UGM, Indonesia

Prof. Dr. Wega TRISUNAYANTI UGM, Indonesia

Prof. Dr. Tumiran UGM, Indonesia

Prof. Dr. Jun Li NYU, Singapore

| | |
|--|-------------------|
| Prof. Dr. INTAN | ITB, Indonesia |
| Prof. Dr. Khamphone NANTHAVONG | NOL, Laos |
| Prof. Dr. Kampui SOUTHISOMBHAT | NOL, Laos |
| Prof. Dr. Yew Wei LEONG | NYU, Singapore |
| Prof. Dr. Nguyen Minh TAN | HU, Vietnam |
| General Secretary: | |
| Asst. Prof. Dr. Krischonme BHUMKITTIPICH | RMUTT, Thailand |
| Dr. Sumonman NIAMLANG | RMUTT, Thailand |
| Technical Program Chair: | |
| Asst. Prof. Dr. Krischonme BHUMKITTIPICH | RMUTT, Thailand |
| Area: Energy Technology (ET) | |
| Asst. Prof. Dr. Boonrit PRASARTKAEW | RMUTT, Thailand |
| Area: Environmental and Social Impact (ES) | |
| Dr. Nithiwat CHOOSAKUL | RMUTT, Thailand |
| Area: Nanotechnology and Materials Science (NM) | |
| Asst. Prof. Dr. Warunee ARIYAWIRIYANANT | RMUTT, Thailand |
| Area: Energy Economic and Management (EM) | |
| Dr. Surin NGAEMNGAM | RMUTT, Thailand |
| Dr. Pimnapat IEMSOMBOON | RMUTT, Thailand |
| Area: New Energy Technology (NT) | |
| Dr. Kiyooki ISHIMOTO | RMUTT, Thailand |
| Area: Nuclear Technology (NU) | |
| Prof. Dr. Hideaki OHGAKI | Kyoto Uni., Japan |
| Area: Automotive Composite (AC) | |
| Prof. Dr. Hiroyuki HAMADA | Kyoto Uni., Japan |
| Area: | |
| Exhibition Chair: | |
| Asst. Prof. Dr. Amnoiy REUNGWAREE | RMUTT, Thailand |
| Dr. Winai CHANPENG | RMUTT, Thailand |
| Local Arrangement Chair | |
| Dr. Sorapong PAVASUPREE | RMUTT, Thailand |
| Dr. Natee SRISAWAT | RMUTT, Thailand |
| Registration and Finance Chair | |
| Dr. Sumonman NIAMLANG | RMUTT, Thailand |
| Dr. Supaporn THOMSORN | RMUTT, Thailand |
| Weeraporn PIVSA-ART | RMUTT, Thailand |
| Publicity Chair | |
| Asst. Prof. Dr. Krischonme BHUMKITTIPICH | RMUTT, Thailand |
| Dr. Sumonman NIAMLANG | RMUTT, Thailand |
| Dr. Montip LASURIYONTA | RMUTT, Thailand |
| Somchai BIANSOONGNERN | RMUTT, Thailand |
| Publication Chair: | |
| Prof. Dr. Preecha P.YUPAPIN | KMITL, Thailand |
| Assoc. Prof. Dr. Takashi SAGAWA | Kyoto Uni., Japan |
| Dr. Boonyang PLANGKLANG | RMUTT, Thailand |
| Asst. Prof. Dr. Sonobe TARO | Kyoto Uni., Japan |
| Website and Information System Chair: | |
| Dr. Nathabhat PHANKONG | RMUTT, Thailand |
| Deachrat JAITHAWIN | RMUTT, Thailand |

Simulation of SSCB Using IGBTs Model based on ORCAD/PSPICE program

Supawat Kamtip Nathabhat Phankong and Krischonme Bhumkittipich

Power and Energy System Research Center, Department of Electrical Engineering,
Faculty of Engineering, Rajamangala University of Technology Thanyaburi, Pathumthani, 12110, Thailand
Tel: +662 549 3571, Fax: +662 549 3558, E-mail: krischonme.b@en.rmutt.ac.th

Abstract — This paper proposes a simulation of solid state circuit breaker (SSCB) for the low voltage level by using ORCAD/PSPICE environment. According to the conventional circuit breaker, the SSCB was developed by using the power electronics switching devices. The rapid operation and no arcing are proposed on the protection devices that can operate under malfunction. The SSCB based on IGBT switching device can be modeled on small signal averaging model format for searching the turn-on and turn off performance. The gate drive signal of IGBT is generated by using malfunction detection technique. The voltage and current sources of proposed system can be properly controlled under the proposed condition. The operation of SSCB can be simulated by using ORCAD/PSPICE program. The simulated results found that SSCB can be operated under several testing condition and voltage and current signal can be express as reality behavior at turn-on and turn-off condition according to internal parasitic parameter of IGBTs and loads. Therefore, SSCB can be normally used for controlling the voltage and current instead of a circuit in the system.

Keywords — Solid State Circuit Breaker (SSBC), IGBT, Small Signal Average Model, ORCAD/PSPICE



* Corresponding author. Tel.:086-523-0321.
E-mail address: krischonme.b@en.rmutt.ac.th.

1. INTRODUCTION

Nowadays, new current interruption technology, the solid-state circuit breaker (SSCB), offers a viable solution to the distribution system problems caused by available fault current. Although the power industry has been interested in this concept for decades, it appears that the time has now arrived when the selling price can be low enough to justify significant sales. By providing almost instantaneous voltage/current limitation, the SSCB alleviates the short circuit condition in both downstream and upstream devices by limiting fault currents coming from several sources of short circuit capacity. The advantages of added functions that a conventional circuit breaker cannot offer help to justify the higher cost associated with a solid state breaker.

To interrupt the current, the SSCB must rapidly insert an energy-absorbing element into the circuit to limit the fault current. In addition to limiting the fault current, the SSCB can also limit the inrush current (soft start capability), even for capacitive loads, by gradually phasing in the switching device rather than making an abrupt transition from an open to a closed position. A SSCB can offer the following advantages: limited fault current, limited inrush current (soft start), over voltage, under voltage, even for capacitive loads, repeated operations with high reliability, reduced switching surges, improved power quality for unfaulted lines.

As presented in [1], the present solutions dealing with short circuit protection are mechanical circuit breakers. After having detected a short circuit or over-load situation, sometime elapses prior to open the switches mechanically. As a result, turning off a short-circuit will take at least 100ms. So, SSCB based on power semiconductors potentially offer enormous advantages when compared to conventional solutions, since a SSCB is able to switch in a few microsecond.

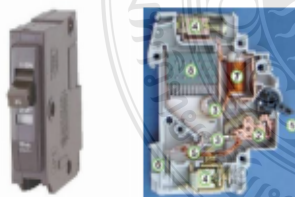


Fig. 1. Conventional low voltage circuit breaker.

Fig. 1 shows the conventional low voltage circuit breaker. The circuit breaker must detect a fault condition; in low voltage circuit breakers this is usually done within the breaker enclosure. Circuit breakers for small currents or low voltages are usually arranged with pilot devices to sense a fault current and to operate the trip opening mechanism. The design includes the following components

- Actuator lever-used to manually trip and reset the circuit breaker.
- Actuator mechanism
- Contacts

- Terminals
- Bimetallic strip
- Calibration screw
- Solenoid
- Arc divider / extinguisher

According to the SSCB are power electronics devices controlled by voltage source, there are different ways to implement the proposed device. Since we want to provide sub-half cycle current limiting, we need to either use semiconductor devices with turn-off capability such as GTO, IGBT or IGCT or to use an SCR switch together with a forced commutation circuit. The former option offers the advantage of using a simple power circuit and very high speed operation. In contrast to inverter applications, the switching loss of these devices turns out to be a minor issue in this application. Here, the conduction behavior and conduction losses are essential. As result, the IGBT has the advantage that, as a transistor, it limits the current automatically. Hence, current cannot exceed a certain value. The GTO and IGCT, the current is not limited. Thus, the detection time has to be short enough to assure a safe turn-off [4]. IGBT is selected in this simulation study. The reason to select this device is and based on the current limiting and simple driver circuit.

The SSCB are power electronics devices for protection system. The switching devices using IGBTs as of the operation and analysis of small signal averaging model for show parasitic parameters model. The simulation can be show the proposed procedure is as follows.

2. SOLID STATE CIRCUIT BREAKER

Power electronics devices are solid-state devices or transistors capable of modulating or converting electrical power. A power electronic device enables the production of power management modules that can handle all of the electric power control and conversion functions required to move power from the generating and storage sources to the ultimate loads. Electric energy will play an increasingly important role in future energy system because of its controllability, safety, and high efficiency.

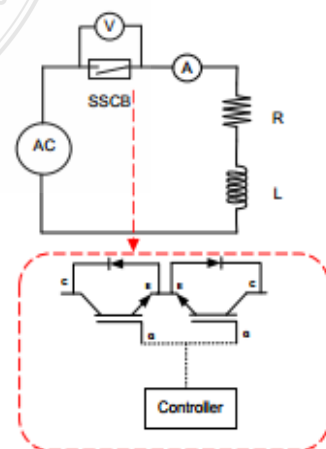


Fig. 2. Structure of solid state circuit breaker.

This article identifies the key parametric considerations for comparing IGBT performance in specific switch mode power supply applications. Parameters such as switching losses are investigated in both hard-switched and soft-switched ZVS (zero-voltage-switching) topologies. The three main power switch losses: turn-on, conduction and turn-off are described relative to both circuit and device characteristics. The impact of diode recovery performance on hard-switched topologies is also discussed illustrating that diode recovery is the dominant factor determining IGBT turn-on switching. Fig.2 shows the main circuit of SSCB for system operation. The structure of SSCB consists of a malfunction detecting circuit, controller and IGBT switching device.

3. ANALYSIS OF SMALL SIGNAL AVERAGE MODEL OF SSCB

A small signal average model of IGBT switching device is employed here with suitable modifications as shown in Fig. 3. It takes into account the IGBT internal gate, consists of R_{int} , C_{gc} , C_{ge} , $g_m V_{ge}$, R_o and C_o . This model is only valid for operation in the active region and device parameters vary throughout the switching depending on the operating conditions.

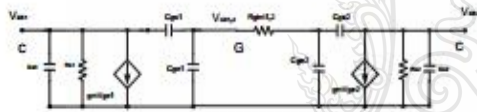


Fig.3. Equivalent circuit of SSCB

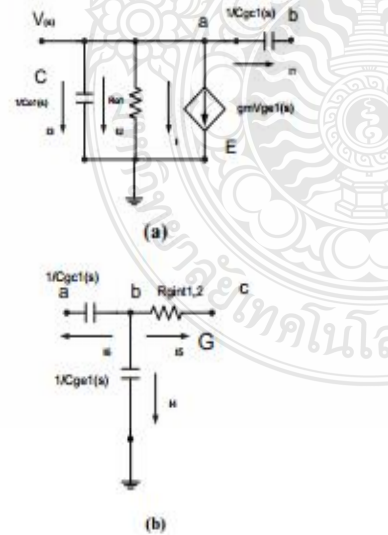


Fig.4. Equivalent circuit of IGBT

Using the laplace transform technique is used to solve the circuit in Fig.3. The state-space equation can be shown as equation (1)

$$\frac{d}{dt} \begin{bmatrix} i_v \\ V_v \end{bmatrix} = \begin{bmatrix} -\frac{1}{R_{int}} + C_{ge}(s) + C_{gc}(s) & -C_{gc}(s) \\ g_m - C_{ge}(s) & C_{gc}(s) + \frac{1}{R_o} + C_o(s) \end{bmatrix} \begin{bmatrix} i_v \\ V_v \end{bmatrix} \quad (1)$$

Then, it can derive the transfer function of the voltage as shown in equation (2)

$$V_o(s) = \frac{a_1 s + a_2}{b_1 s^2 + b_2 s + b_3} V(s) \quad (2)$$

when the discussions following immediately which shows the a_1, a_2, b_1, b_2, b_3 . A result form mathematics is a ratio of polynomials in (s) with real coefficients can be factored into a product of form (2) show the coefficients as below:

$$\begin{aligned} a_1 &= -\frac{1}{R_{int}} C_{gc} - \frac{1}{R_{int}} C_{gc} & a_2 &= -\frac{1}{R_{int}} \frac{1}{R_o} \\ b_1 &= C_{gc} C_{ge} + C_{ge} + C_{gc} C_o + C_{gc} C_o + C_{ge} C_o - C_{ge} C_{gc} \\ b_2 &= -\frac{1}{R_{int}} C + \frac{1}{R_o} C_{gc} + \frac{1}{R_o} C_{gc} - \frac{1}{R_{int}} C_o g_m C_{gc} - C_{gc} C_{gc} \\ b_3 &= -\frac{1}{R_{int}} \frac{1}{R_o} \end{aligned}$$

To show the performance of SSCB, this study used the above model that is modified in ORCAD/PSPICE programme environment. The parameters of IGBT switching device are determined and received from manual documents of each company.

4. SIMULATION RESULTS

As the previous section, the SSCB was solved by using small signal average model. The mathematical model is also expressed the detailed analysis on torn-on and turn-off conditions. This section shows the performance of SSCB using ORCAD/PSPICE programme environment. Therefore, the SSCB will be connted and disconnected of low voltage level in the parasitic parameters of the math model. It consists of voltage source, frequency 50 Hz, load 500 Watt. The IGBT is started at 0.1s until 50s.

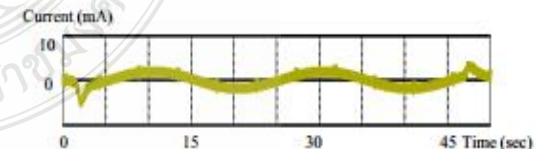


Fig.5. Current flows through $R_{gint}(t:5s/div; I_{gint} 10mA/div)$

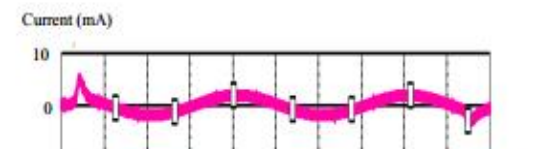


Fig.6. Current flows through $C_{gc}(t:5s/div; I_{gc} 10mA/div)$

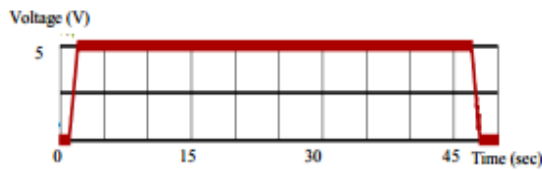


Fig.7. IGBT drive signal (t:5s/div.;V_{signal}:2.5V/div)

Fig.5 shows the current that flows through R_{gating} , Fig. 6 shows the current that flows through C_{ge} and Fig.7 represents the IGBT gate drive signal for driving SSCB.

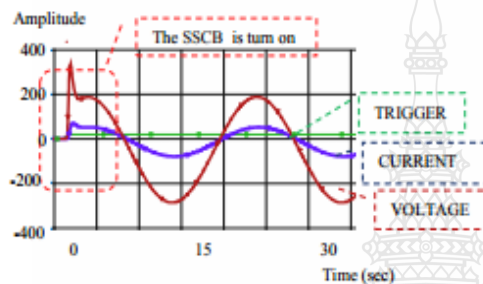


Fig.8. Turn-on waveforms under IGBT switch (t:5s/div.;V,I:200/div).

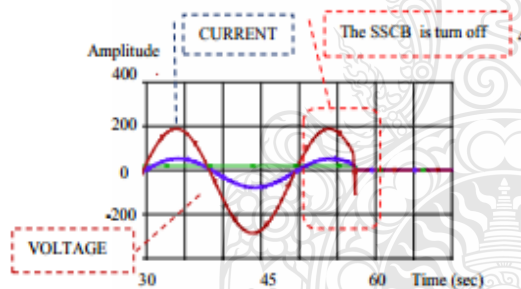


Fig.9. Turn-off waveforms under IGBT switch.(t:5s/div.;V,I:200/div).

Fig.8 shows the operation of SSCB that is switching turn-on operation. The red color is voltage. The violet color is current and green color is signal of the IGBT switch. In these result, the waveform of simulation is turn-on operation. Fig.9 shows the waveforms that SSCB is switching turn-off operation in result.

5. CONCLUSION

This paper presented the simulation of small signal average model of SSCB. The simulation result of the small signal average model has higher performance. Although, there is the condition of the fault, the control controller can operate normally. In addition, the over voltage, under voltage, overload, and the arcing. Therefore, the simulation result of solid state circuit breaker is well. It can be created the power electronics devices for power protection system.

REFERENCES

- [1] Zhiping Yang, Hongkun Chen, et al. Dynamic Simulation of the Overvoltage for Fault Current Limiter IEEE ;2011 p. 1-4
- [2] Jay R. Prigmore, Student Member, Comparison of Four Different Types of Ferromagnetic IEEE ;July 2013 p. 1491 - 1498
- [3] William Long, Member IEEE, Low- voltage Power circuit Breaker Comparison of Test Requirement , International Electro technical Commission standard IEC 60947-2
- [4] IEEE Standards Board, "IEEE Recommended Practice for Monitoring Electric Power Quality," IEEE Standards, IEEE Standards Coordinating Committee 22 on Power Quality: IEEE STD 1159-1995; Approved;1995.
- [5] Vineeta Agarwal, A Mathematical Model for IGBT, Asian Power Electronics Journal, Vol2,No 1Apr 2008
- [6] Nguyen-Dac, Jean-Christophe, CREBIER MOS Controlled AC Switches implemented with Full driver power supplies and dead time management circuits, IEEE ;2006.
- [7] Alexander Yair, Steady State Analysis of a Two-Branch Resistance Inductanceparallel Circuit Controlled By a Bidirectional ac Switch IEEE Transactions on Industry Applications Vol.p. IA-12 No2 ; 1976.
- [8] Ekstrom, A, Bennich, P, et al. "Design and Control of a Current-Controlled Current Limiting Device, EPE, Graz ;2001.
- [9] Klingbeil, L, Kalkner, W, Heinrich, and et al, "Fast Acting Solid-State Circuit Breaker using state-of-the-art power electronic devices", EPE, Graz ;2001.
- [10] De Doncker, R. W, "Recent Power Electronics Developments for FACTS and Customed Power", Korea Germany Advanced Power Electronics Symposium;1998.
- [11] Tosato F, "Voltage Sags Mitigation on Distribution Utilities", ETEP Vol. 1 1, No. 1 ; 2001.
- [12] Russ M Sommer, "Spannungszwischenkreisumrichter im Mittelspannungsbereich", ETG, Bad Nauheim ;2002.
- [13] Mohan, Undeland, and et al. "Power Electronics: Converters, Applications and Design";1989.



มหาวิทยาลัยเทคโนโลยีราชมงคล **ครั้งที่ ๖**

6th Electrical Engineering Network 2014
of Rajamangala University of Technology Conference

นวัตกรรมวิจัยแห่งเทคโนโลยี คอบสนองเออีซีด้านโครงข่ายพลังงาน

Technology Research Innovation for Responding
to the Energy Network of AEC

Volume II

- อิเล็กทรอนิกส์ (EL)
- ไฟฟ้าสื่อสาร (CM)
- คอมพิวเตอร์และเทคโนโลยีสารสนเทศ (CP)
- ระบบควบคุมและการวัด (CT)
- การประมวลผลสัญญาณดิจิทัล (DS)
- งานวิจัยที่เกี่ยวข้องกับวิศวกรรมไฟฟ้า (GN)



๒๖ - ๒๘ มีนาคม พ.ศ. ๒๕๕๗

ณ มารีไทม์ ปาร์คแอนสปาร์ตอร์ท จังหวัดกระบี่



ดำเนินการโดย คณะวิศวกรรมศาสตร์ มหาวิทยาลัยเทคโนโลยีราชมงคลศรีวิชัย

รายนามผู้ทรงคุณวุฒิพิจารณาบทความ

| | |
|--|--|
| รองศาสตราจารย์ ดร.มนตรี กาญจนะเคชะ | มหาวิทยาลัยสงขลานครินทร์ |
| รองศาสตราจารย์ ดร.วิจิตร กิณเรศ | สถาบันเทคโนโลยีพระจอมเกล้าเจ้าคุณทหารลาดกระบัง |
| รองศาสตราจารย์ ดร.อนุวัฒน์ จางวนิชเลิศ | สถาบันเทคโนโลยีพระจอมเกล้าเจ้าคุณทหารลาดกระบัง |
| รองศาสตราจารย์ ดร.กิริติ ชยะกุลศิริ | มหาวิทยาลัยศรีปทุม |
| รองศาสตราจารย์ ดร.บัลลังก์ เนียมมณี | มหาวิทยาลัยเทคโนโลยีพระจอมเกล้าพระนครเหนือ |
| รองศาสตราจารย์ ดร.สันติ หวังนิพนพานโต | สถาบันเทคโนโลยีปทุมวัน |
| รองศาสตราจารย์ ดร.เสถียร ธัญญศิริวิรัตน์ | สถาบันเทคโนโลยีปทุมวัน |
| รองศาสตราจารย์ ดร.สมเกียรติ อุดมทรมากุล | มหาวิทยาลัยเทคโนโลยีราชมงคลสุวรรณภูมิ |
| รองศาสตราจารย์ ดร.ภาณุพงศ์ เกิดชื่น | มหาวิทยาลัยเทคโนโลยีราชมงคลธัญบุรี |
| รองศาสตราจารย์ ดร.โกศล โอฬารไพโรจน์ | มหาวิทยาลัยเทคโนโลยีราชมงคลธัญบุรี |
| รองศาสตราจารย์ชัชวรงค์ วิเศษศักดิ์วิชัย | มหาวิทยาลัยเทคโนโลยีราชมงคลกรุงเทพ |
| รองศาสตราจารย์สมพันธ์ ย่ำพาวิน | มหาวิทยาลัยเทคโนโลยีราชมงคลศรีวิชัย |
| ผู้ช่วยศาสตราจารย์ ดร.ณัฐชาจินดาเพชร | มหาวิทยาลัยสงขลานครินทร์ |
| ผู้ช่วยศาสตราจารย์ ดร.ปภัชกรณีย์ อารีรักษ์กุล | มหาวิทยาลัยเทคโนโลยีราชมงคลศรีวิชัย |
| ผู้ช่วยศาสตราจารย์ ดร.ชัยวัฒน์ ศากุล | มหาวิทยาลัยเทคโนโลยีราชมงคลศรีวิชัย |
| ผู้ช่วยศาสตราจารย์ ดร.กฤษณชัชฌ์ ภูมิภักดีพิชญ์ | มหาวิทยาลัยเทคโนโลยีราชมงคลธัญบุรี |
| ผู้ช่วยศาสตราจารย์ ดร.สมชัย ทวีธัญโรดม | มหาวิทยาลัยเทคโนโลยีราชมงคลธัญบุรี |
| ผู้ช่วยศาสตราจารย์ ดร.บุญยัง ปลั่งกลาง | มหาวิทยาลัยเทคโนโลยีราชมงคลธัญบุรี |
| ผู้ช่วยศาสตราจารย์ ดร.จักรี ศรีนนท์ดีตร | มหาวิทยาลัยเทคโนโลยีราชมงคลธัญบุรี |
| ผู้ช่วยศาสตราจารย์ ดร.อำนาจ เรืองวารี | มหาวิทยาลัยเทคโนโลยีราชมงคลธัญบุรี |
| ผู้ช่วยศาสตราจารย์ ดร.สำนึก สันทาไม้ | มหาวิทยาลัยศรีปทุม |
| ผู้ช่วยศาสตราจารย์ ดร.จักรพงษ์ จารุมิตร | สถาบันเทคโนโลยีปทุมวัน |
| ผู้ช่วยศาสตราจารย์ ดร.วิชัย ครอบกิจศิริ | มหาวิทยาลัยเทคโนโลยีราชมงคลธัญบุรี |
| ผู้ช่วยศาสตราจารย์ ดร.ประมุข จุฬหเสขกะ | มหาวิทยาลัยเทคโนโลยีราชมงคลสุวรรณภูมิ |
| ผู้ช่วยศาสตราจารย์ ดร.ปรีชา สาครรังค์ | มหาวิทยาลัยเทคโนโลยีราชมงคลสุวรรณภูมิ |
| ผู้ช่วยศาสตราจารย์ ดร.ภักวิวัฒน์ จันทร์ศรี | มหาวิทยาลัยเทคโนโลยีราชมงคลสุวรรณภูมิ |
| ผู้ช่วยศาสตราจารย์ ดร.กฤษณวิทย์ บัวใหญ่ | มหาวิทยาลัยเทคโนโลยีราชมงคลธัญบุรี |
| ผู้ช่วยศาสตราจารย์ ดร.เจนศักดิ์ เอกบุรณะวัฒน์ | มหาวิทยาลัยเทคโนโลยีราชมงคลรัตนโกสินทร์ |
| ผู้ช่วยศาสตราจารย์ ดร.กันต์พงษ์ ศรีสถิตย์ | มหาวิทยาลัยเทคโนโลยีราชมงคลรัตนโกสินทร์ |
| ผู้ช่วยศาสตราจารย์ ดร.อรุณพล ป้อมสถิตย์ | มหาวิทยาลัยเทคโนโลยีราชมงคลรัตนโกสินทร์ |
| ผู้ช่วยศาสตราจารย์ ดร.ชาญชัย เศรษฐธรรมรงค์ | มหาวิทยาลัยเทคโนโลยีราชมงคลธัญบุรี |
| ผู้ช่วยศาสตราจารย์ ดร.อุเทน คำนำน | มหาวิทยาลัยเทคโนโลยีราชมงคลธัญบุรี |
| ผู้ช่วยศาสตราจารย์ ดร.วันไชย คำสน | มหาวิทยาลัยเทคโนโลยีราชมงคลธัญบุรี |
| ผู้ช่วยศาสตราจารย์ ดร.พานิช อินต๊ะ | มหาวิทยาลัยเทคโนโลยีราชมงคลธัญบุรี |
| ผู้ช่วยศาสตราจารย์ ดร.ประชา ฮินชงกุล | มหาวิทยาลัยเทคโนโลยีราชมงคลธัญบุรี |
| ผู้ช่วยศาสตราจารย์ ดร.วิษณุ ทองเล็ก | มหาวิทยาลัยเทคโนโลยีราชมงคลธัญบุรี |
| ผู้ช่วยศาสตราจารย์ ดร.นาคยา กล้ายเรือ | มหาวิทยาลัยเกษตรศาสตร์ |
| ผู้ช่วยศาสตราจารย์ ดร.บุญฤทธิ์ ประสานแก้ว | มหาวิทยาลัยเทคโนโลยีราชมงคลธัญบุรี |
| ผู้ช่วยศาสตราจารย์ ดร.อาทิตย์ โสทรโยม | มหาวิทยาลัยสยาม |

รายนามผู้ทรงคุณวุฒิพิจารณาบทความ

| | |
|--|---------------------------------------|
| ผู้ช่วยศาสตราจารย์ ดร.ยุทธชัย ศิลปวิจารณ์ | มหาวิทยาลัยเทคโนโลยีราชมงคลธัญบุรี |
| ผู้ช่วยศาสตราจารย์ ดร.กฤษณา ชิงขันธ์ | มหาวิทยาลัยเทคโนโลยีราชมงคลล้านนา |
| ผู้ช่วยศาสตราจารย์สาวิตรี คัมภานุช | มหาวิทยาลัยสงขลานครินทร์ |
| ผู้ช่วยศาสตราจารย์รัชชัย ทางรัตนสุวรรณ | มหาวิทยาลัยสงขลานครินทร์ |
| ผู้ช่วยศาสตราจารย์ศิริชัย แดงอม | มหาวิทยาลัยเทคโนโลยีราชมงคลธัญบุรี |
| ผู้ช่วยศาสตราจารย์ทอง ถานธารทอง | มหาวิทยาลัยเทคโนโลยีราชมงคลพระนคร |
| ผู้ช่วยศาสตราจารย์พิชญ์ ดาราพงษ์ | มหาวิทยาลัยเทคโนโลยีราชมงคลพระนคร |
| ผู้ช่วยศาสตราจารย์ศุภวุฒิ เนตร โพธิ์แก้ว | มหาวิทยาลัยเทคโนโลยีราชมงคลพระนคร |
| ผู้ช่วยศาสตราจารย์สรวิชัย ทองกุลภัทร์ | มหาวิทยาลัยเทคโนโลยีราชมงคลสุวรรณภูมิ |
| ผู้ช่วยศาสตราจารย์เจตนิมิต เรืองพัฒน์วิวัฒน์ | มหาวิทยาลัยเทคโนโลยีราชมงคลสุวรรณภูมิ |
| ผู้ช่วยศาสตราจารย์วราวุฒิ กฤษพันธ์ | มหาวิทยาลัยเทคโนโลยีราชมงคลสุวรรณภูมิ |
| ผู้ช่วยศาสตราจารย์พันธ์พงศ์ อภิชาติกุล | มหาวิทยาลัยเทคโนโลยีราชมงคลอีสาน |
| ผู้ช่วยศาสตราจารย์วิชชุ ทิพย์ประเสริฐ | มหาวิทยาลัยเทคโนโลยีราชมงคลล้านนา |
| ผู้ช่วยศาสตราจารย์วิสุทธิ์ พงษ์พุกขธาดู | มหาวิทยาลัยเทคโนโลยีราชมงคลศรีวิชัย |
| ผู้ช่วยศาสตราจารย์สมคิด สีลาชนะชัยพงษ์ | มหาวิทยาลัยเทคโนโลยีราชมงคลศรีวิชัย |
| อาจารย์ ดร.วฤทธิ์ วิชกุล | มหาวิทยาลัยสงขลานครินทร์ |
| อาจารย์ ดร.ณัฐภัทร พันธุ์คง | มหาวิทยาลัยเทคโนโลยีราชมงคลธัญบุรี |
| อาจารย์ ดร.ฉัตรชัย สุภพิทักษ์สกุล | มหาวิทยาลัยเทคโนโลยีราชมงคลธัญบุรี |
| อาจารย์ ดร.พฤตชน นันทนาวงศา | มหาวิทยาลัยเทคโนโลยีราชมงคลธัญบุรี |
| อาจารย์ ดร.ศิริชัย เจริญมั่งคั่ง | มหาวิทยาลัยเทคโนโลยีราชมงคลธัญบุรี |
| อาจารย์ ดร.กิตติวัฒน์ นิ่มมกิตผล | มหาวิทยาลัยเทคโนโลยีราชมงคลธัญบุรี |
| อาจารย์ ดร.วิเชียร อุบลแก้ว | มหาวิทยาลัยเทคโนโลยีราชมงคลธัญบุรี |
| อาจารย์ ดร.สุริยา แก้วอาษา | มหาวิทยาลัยเทคโนโลยีราชมงคลอีสาน |
| อาจารย์ ดร.กฤตยา สมสัย | มหาวิทยาลัยเทคโนโลยีราชมงคลอีสาน |
| อาจารย์ ดร.พรเทพ ปัญญาแก้ว | มหาวิทยาลัยเทคโนโลยีราชมงคลอีสาน |
| อาจารย์ ดร.พิชัย อยู่เปล่า | มหาวิทยาลัยเทคโนโลยีราชมงคลอีสาน |
| อาจารย์ ดร.นิธิโรจน์ พรสุวรรณเจริญ | มหาวิทยาลัยเทคโนโลยีราชมงคลอีสาน |
| อาจารย์ ดร.มธนา ทิศกร | มหาวิทยาลัยเทคโนโลยีราชมงคลอีสาน |
| อาจารย์ ดร.นำพน ทิพัฒน์โพธิ์ | มหาวิทยาลัยเทคโนโลยีราชมงคลอีสาน |
| อาจารย์ ดร.สันหวังจัน ทองแดง | มหาวิทยาลัยเทคโนโลยีราชมงคลอีสาน |
| อาจารย์ ดร.รสกสรร พลสุวรรณ | มหาวิทยาลัยเทคโนโลยีราชมงคลอีสาน |
| อาจารย์ ดร.ณัฐโชติ รักไทยเจริญชีพ | มหาวิทยาลัยเทคโนโลยีราชมงคลพระนคร |
| อาจารย์ ดร.ณัฐพงศ์ พันธุ์นะ | มหาวิทยาลัยเทคโนโลยีราชมงคลพระนคร |
| อาจารย์ ดร.พนา คูตีตากร | มหาวิทยาลัยเทคโนโลยีราชมงคลพระนคร |
| อาจารย์ ดร.สุรเชษฐ์ เศษทุ่ง | มหาวิทยาลัยเทคโนโลยีราชมงคลพระนคร |
| อาจารย์ ดร.พสิษฐ์ สุวรรณกิจการ | มหาวิทยาลัยเทคโนโลยีราชมงคลพระนคร |
| อาจารย์ ดร.ชลกาญจน์ วงศ์กัณฑ์ | มหาวิทยาลัยเทคโนโลยีราชมงคลพระนคร |
| อาจารย์ ดร.อุมารินทร์ แสงพานิช | มหาวิทยาลัยเกษตรศาสตร์ |
| อาจารย์ ดร.ชาญณรงค์ บาลมงคล | จุฬาลงกรณ์มหาวิทยาลัย |

รายนามผู้ทรงคุณวุฒิพิจารณาบทความ

| | |
|--------------------------------------|---|
| อาจารย์ ดร.ศรีสุดา ไชยทองสุข | มหาวิทยาลัยเทคโนโลยีราชมงคลสุวรรณภูมิ |
| อาจารย์ ดร.สมพร ศรีวัฒนพล | มหาวิทยาลัยเทคโนโลยีราชมงคลสุวรรณภูมิ |
| อาจารย์ ดร.ประจวบ อินระวงศ์ | มหาวิทยาลัยเทคโนโลยีราชมงคลอิสาน |
| อาจารย์ ดร.พินิจ ศรีธรร | มหาวิทยาลัยเทคโนโลยีราชมงคลอิสาน |
| อาจารย์ ดร.วรรณรีย์ วงศ์ไครรัตน์ | มหาวิทยาลัยเทคโนโลยีราชมงคลอิสาน |
| อาจารย์ ดร.มงคล กุฬิมาข | มหาวิทยาลัยเทคโนโลยีราชมงคลอิสาน |
| อาจารย์ ดร.ประสพโชค ให้อทองคำ | มหาวิทยาลัยเทคโนโลยีราชมงคลรัตนโกสินทร์ |
| อาจารย์ ดร.มนศรี สมกุลยกนก | มหาวิทยาลัยเทคโนโลยีราชมงคลรัตนโกสินทร์ |
| อาจารย์ ดร.ไกรฤกษ์ เศษชิ้น | มหาวิทยาลัยเทคโนโลยีราชมงคลรัตนโกสินทร์ |
| อาจารย์ ดร.พิชิต กิตติสุวรรณ | มหาวิทยาลัยเทคโนโลยีราชมงคลรัตนโกสินทร์ |
| อาจารย์ ดร.วิวัฒน์ ทิพจร | มหาวิทยาลัยเทคโนโลยีราชมงคลล้านนา |
| อาจารย์ ดร.วิฑูรย์ พรหมมี | มหาวิทยาลัยเทคโนโลยีราชมงคลล้านนา |
| อาจารย์ ดร.นพพร พันธ์ประภคิ | มหาวิทยาลัยเทคโนโลยีราชมงคลล้านนา |
| อาจารย์ ดร.ชาญยุทธ์ กาญจนพิบูลย์ | มหาวิทยาลัยเทคโนโลยีราชมงคลล้านนา |
| อาจารย์ ดร.จักรกฤษณ์ เคลือบวัง | มหาวิทยาลัยเทคโนโลยีราชมงคลล้านนา |
| อาจารย์ ดร.พลกฤษณ์ ทุนคำ | มหาวิทยาลัยเทคโนโลยีราชมงคลล้านนา |
| อาจารย์ ดร.ยุพดี หัตถสิน | มหาวิทยาลัยเทคโนโลยีราชมงคลล้านนา |
| อาจารย์ ดร.ขวัญชัย เอื้อวิธานกุล | มหาวิทยาลัยเทคโนโลยีราชมงคลล้านนา |
| อาจารย์ ดร.ศุภงษ ใดโพธิ์ชัย | มหาวิทยาลัยเทคโนโลยีราชมงคลล้านนา |
| อาจารย์ ดร.อนนท์ นำอิน | มหาวิทยาลัยเทคโนโลยีราชมงคลล้านนา |
| อาจารย์ ดร.ศุภกิต แก้วดวงคา | มหาวิทยาลัยเทคโนโลยีราชมงคลล้านนา |
| อาจารย์ ดร.จัดจตุฤทธิ์ ทองปรอน | มหาวิทยาลัยเทคโนโลยีราชมงคลล้านนา |
| อาจารย์ ดร.ธีรศักดิ์ สมศักดิ์ | มหาวิทยาลัยเทคโนโลยีราชมงคลล้านนา |
| อาจารย์ ดร.วุฒิวัฒน์ กงรัตน์ประเสริฐ | มหาวิทยาลัยเทคโนโลยีราชมงคลกรุงเทพ |
| อาจารย์ ดร.สาชชลด ชุคเจื้อจิ้น | มหาวิทยาลัยเทคโนโลยีราชมงคลกรุงเทพ |
| อาจารย์ ดร.นิธิวัฒน์ ชุคกุล | มหาวิทยาลัยเทคโนโลยีราชมงคลธัญบุรี |
| อาจารย์ ดร.พิทักษ์ บุญนุ่น | มหาวิทยาลัยเทคโนโลยีราชมงคลศรีวิชัย |
| อาจารย์ ดร.ปฏิมากร จันทร์พร้อม | มหาวิทยาลัยเทคโนโลยีราชมงคลศรีวิชัย |
| อาจารย์ ดร.ชยานินธุ์ บุญสนิท | มหาวิทยาลัยเทคโนโลยีราชมงคลศรีวิชัย |
| ดร.สุวิทย์ อัจริยะเมต | สถาบันวิจัยวิทยาศาสตร์และเทคโนโลยีแห่งประเทศไทย |
| ดร.อรรด พยอมหอม | การไฟฟ้านครหลวง |
| อาจารย์พินิจ จิตจริง | มหาวิทยาลัยเทคโนโลยีราชมงคลธัญบุรี |
| อาจารย์นิติพงศ์ ปานกลาง | มหาวิทยาลัยเทคโนโลยีราชมงคลธัญบุรี |
| อาจารย์ภัทรพงศ์ อัญชันภาติ | มหาวิทยาลัยเทคโนโลยีราชมงคลตะวันออก |
| อาจารย์สมอศ สันติมาลัย | มหาวิทยาลัยเทคโนโลยีราชมงคลตะวันออก |
| อาจารย์วุฒิไกร จันทร์ขามเรียน | มหาวิทยาลัยเทคโนโลยีราชมงคลตะวันออก |
| อาจารย์ตะวัน ขุนอาสา | มหาวิทยาลัยเทคโนโลยีราชมงคลสุวรรณภูมิ |
| อาจารย์มนัส บุญพิชิตทอง | มหาวิทยาลัยเทคโนโลยีราชมงคลพระนคร |
| อาจารย์สาคร วุฒิพัฒน์พันธ์ | มหาวิทยาลัยเทคโนโลยีราชมงคลพระนคร |

รายนามผู้ทรงคุณวุฒิพิจารณาบทความ

| | |
|---------------------------------|---|
| อาจารย์สุนศรี วรรณการ | มหาวิทยาลัยเทคโนโลยีราชมงคลพระนคร |
| อาจารย์เวทรินทร์ ชัญสิประเสริฐ | มหาวิทยาลัยเทคโนโลยีราชมงคลพระนคร |
| อาจารย์สุรสิทธิ์ ประกอบกิจ | มหาวิทยาลัยเทคโนโลยีราชมงคลพระนคร |
| อาจารย์จตุรงค์ จตุรเชิดชัยสกุล | มหาวิทยาลัยเทคโนโลยีราชมงคลพระนคร |
| อาจารย์อศิศศักดิ์ วิริยกรรม | มหาวิทยาลัยเทคโนโลยีราชมงคลพระนคร |
| อาจารย์ธนาวัฒน์ คันทมณีประเสริฐ | มหาวิทยาลัยเทคโนโลยีราชมงคลพระนคร |
| อาจารย์อานนท์ สิงห์เสถียร | มหาวิทยาลัยเทคโนโลยีราชมงคลพระนคร |
| อาจารย์อภิษฐา ทองรักษ์ | มหาวิทยาลัยเทคโนโลยีราชมงคลพระนคร |
| อาจารย์นิลमित นิลาศ | มหาวิทยาลัยเทคโนโลยีราชมงคลพระนคร |
| อาจารย์พัชรนันท์ ศรีธนาอุทัยกร | มหาวิทยาลัยเทคโนโลยีราชมงคลสุวรรณภูมิ |
| อาจารย์มาลีดา คังจิตเจษฎา | มหาวิทยาลัยเทคโนโลยีราชมงคลสุวรรณภูมิ |
| อาจารย์ธานี สมวงศ์ | มหาวิทยาลัยเทคโนโลยีราชมงคลสุวรรณภูมิ |
| อาจารย์ปวีติ บุญมา | มหาวิทยาลัยเทคโนโลยีราชมงคลสุวรรณภูมิ |
| อาจารย์อานนท์ พ่วงชิงงาม | มหาวิทยาลัยเทคโนโลยีราชมงคลสุวรรณภูมิ |
| อาจารย์วิสุทธิ์ คันทิวงศ์เรือง | มหาวิทยาลัยเทคโนโลยีราชมงคลสุวรรณภูมิ |
| อาจารย์ชูศักดิ์ กมลขันติธร | มหาวิทยาลัยเทคโนโลยีราชมงคลกรุงเทพ |
| อาจารย์บุญช่วย เจริญผล | มหาวิทยาลัยเทคโนโลยีราชมงคลกรุงเทพ |
| อาจารย์เอกพล อนุสุเรนทร์ | มหาวิทยาลัยเทคโนโลยีราชมงคลกรุงเทพ |
| อาจารย์วินัย เมธาวิทิต | มหาวิทยาลัยเทคโนโลยีราชมงคลกรุงเทพ |
| อาจารย์ชาญฤทธิ์ ธาวาสันติสุข | มหาวิทยาลัยเทคโนโลยีราชมงคลกรุงเทพ |
| อาจารย์มงคล คำนบรุ่งตระกูล | มหาวิทยาลัยเทคโนโลยีราชมงคลอีสาน |
| อาจารย์อศิศศักดิ์ แข็งสารกิจ | มหาวิทยาลัยเทคโนโลยีราชมงคลรัตนโกสินทร์ |
| อาจารย์ไสภา แซ่เฮ้ง | มหาวิทยาลัยเทคโนโลยีราชมงคลรัตนโกสินทร์ |
| อาจารย์ศิลาพร ฉันทะวิบูล | มหาวิทยาลัยเทคโนโลยีราชมงคลรัตนโกสินทร์ |
| อาจารย์กาญญาญา พรมิขเจริญ | มหาวิทยาลัยเทคโนโลยีราชมงคลรัตนโกสินทร์ |
| อาจารย์ปกรณ์ ฟูโพระะ | มหาวิทยาลัยเทคโนโลยีราชมงคลรัตนโกสินทร์ |
| อาจารย์ชาญยุทธ อุบายโกศล | มหาวิทยาลัยเทคโนโลยีราชมงคลรัตนโกสินทร์ |
| อาจารย์พีรวัฒน์ มีสุข | มหาวิทยาลัยเทคโนโลยีราชมงคลรัตนโกสินทร์ |
| อาจารย์อภาพล มหาวีระ | มหาวิทยาลัยเทคโนโลยีราชมงคลอีสาน |
| อาจารย์นิกร แสงงาม | มหาวิทยาลัยเทคโนโลยีราชมงคลธัญบุรี |
| อาจารย์คนใจ ปานทองคำ | มหาวิทยาลัยเทคโนโลยีราชมงคลศรีวิชัย |
| อาจารย์อัมพร บุญราม | มหาวิทยาลัยเทคโนโลยีราชมงคลศรีวิชัย |
| อาจารย์พิทักษ์ สติธรรมชนะ | มหาวิทยาลัยเทคโนโลยีราชมงคลศรีวิชัย |
| อาจารย์กิติ มินา | มหาวิทยาลัยเทคโนโลยีราชมงคลศรีวิชัย |
| อาจารย์ชัช สัตยรักษ์ | มหาวิทยาลัยเทคโนโลยีราชมงคลศรีวิชัย |
| อาจารย์ธีรพงษ์ ฉิมเพชร | มหาวิทยาลัยเทคโนโลยีราชมงคลศรีวิชัย |
| อาจารย์ภราดร เรืองกุล | มหาวิทยาลัยเทคโนโลยีราชมงคลศรีวิชัย |
| อาจารย์สาธิต ละอองโชค | มหาวิทยาลัยเทคโนโลยีราชมงคลศรีวิชัย |

| บทความสาขาอิเล็กทรอนิกส์ (EL) | | หน้า |
|-------------------------------|--|------|
| EL-B | | |
| EL09 | การสังเคราะห์วงจรกำเนิดสัญญาณไซน์โหมดกระแสที่ควบคุมขนาดได้โดยใช้ DVCCTAs และอุปกรณ์ต่อลงกราวนด์ 'อดิเรก จันตะคุณ' 'วินัย ใจกล้า' 'มหาวิทยาลัยเทคโนโลยีราชมงคลอีสาน' 'สถาบันเทคโนโลยีพระจอมเกล้าเจ้าคุณทหารลาดกระบัง | 557 |
| EL10 | วงจรถ่ายสัญญาณไซน์ที่ใช้ DVCCTA เพียงตัวเดียวและอุปกรณ์ต่อลงกราวนด์ สุภาพร ปานิกม อดิเรก จันตะคุณ มหาวิทยาลัยเทคโนโลยีราชมงคลอีสาน | 561 |
| EL11 | การปรับปรุงคุณสมบัติกระแสแรงดันของซีดทีทีไอไดโอดที่ถูกแพรว์แพลตฟอร์มด้วยการฉายรังสีอิเล็ก โวลตา สุวรรณชาติ สุภกร จันทน์ประภา สุรดา เตื่อนานะพงษ์ อิศระ ศรีธนชัย สุรศักดิ์ เมียมเจริญ สถาบันเทคโนโลยีพระจอมเกล้าเจ้าคุณทหารลาดกระบัง | 565 |
| EL12 | การออกแบบวงจรกรองผ่านทุกความถี่ค่าหนึ่งโหมดกระแสที่ควบคุมได้ด้วยวิธีทางอิเล็กทรอนิกส์ อรทัย เกตุแก้ว สมสิน วงษ์พูนทด สมชาย ศรีสกุลเสี่ยว มหาวิทยาลัยเทคโนโลยีราชมงคลอีสาน | 569 |
| EL13 | การวิเคราะห์สัญญาณขนาดเล็ของเซอร์กิตเบรกเกอร์แบบโซลิดสเตตสำหรับระบบไฟฟ้า 1 เฟส ศุภวัฒน์ คำทิพย์ กฤษณ์ชนม์ ภูมิภคพิชญ์ ณัฐภัทร พันธุ์คง มหาวิทยาลัยเทคโนโลยีราชมงคลธัญบุรี | 573 |
| EL14 | การออกแบบตัวควบคุมพีไอดีไอซีของวงจรของวงจรถูกเลือกโดเมน ชัชวัฒน์ ประเสริฐพงษ์ กฤษณ์ อ่องแก้ว มหาวิทยาลัยเทคโนโลยีพระจอมเกล้าพระนครเหนือ | 577 |
| EL-C | | |
| EL15 | การสร้างขั้วนาโนพอร์ซิลิคอนด้วยวิธีการแอโนไดซ์เซชัน พรพณา บุระดา นรินทร์ อดิวงศ์แสงทอง สุรศักดิ์ เมียมเจริญ สถาบันเทคโนโลยีพระจอมเกล้าเจ้าคุณทหารลาดกระบัง | 581 |
| EL16 | การสร้าง DIAMOND MESFET ปโยชาติ สดงาม วทิน ปัญญาเลิศ วิสุทธิ ฐิติรุ่งเรือง สถาบันเทคโนโลยีพระจอมเกล้าเจ้าคุณทหารลาดกระบัง | 585 |
| EL17 | การประยุกต์ใช้วิธีการฉายรังสีอิเล็กตรอนเพื่อลดค่า r_{on} ในอุตสาหกรรมการผลิตไดโอดแบบพื้นตัวเร็ว ชนิดซิลิคอนพินโครงสร้างเมซ่า พรหมทัตต์ ดาวัลต์ วิวัฒน์ อธิธิกุลสมานต์ ชบา สุริยาอมรานนท์ วิสุทธิ ฐิติรุ่งเรือง สถาบันเทคโนโลยีพระจอมเกล้าเจ้าคุณทหารลาดกระบัง | 589 |

การวิเคราะห์สัญญาณขนาดเล็กของเซอร์กิตเบรกเกอร์แบบโซลิตสเตรทสำหรับระบบไฟฟ้า 1 เฟส Small Signal Analysis of Single-phase Solid State Circuit Breaker

ศุภวัฒน์ คำทิพย์ กฤษณ์ชนม์ ภูมิภักดิ์พิชญ์ และ ณัฐภัทร พันธุ์คง

ภาควิชาวิศวกรรมไฟฟ้า คณะวิศวกรรมศาสตร์ มหาวิทยาลัยเทคโนโลยีราชมงคลธัญบุรี

ถนนรังสิต-นครนายก ตำบลคลองหก อำเภอธัญบุรี จังหวัดปทุมธานี 12110

โทรศัพท์: 086-5230321 E-mail : krischonme.b@cn.rmutt.ac.th

บทคัดย่อ

บทความนี้นำเสนอการวิเคราะห์สัญญาณขนาดเล็กของเซอร์กิตเบรกเกอร์แบบโซลิตสเตรทสำหรับระบบไฟฟ้าแรงต่ำ 1 เฟส เนื่องจากเทคโนโลยีของเซอร์กิตเบรกเกอร์มีการเปลี่ยนแปลงและมีการพัฒนาโดยใช้อุปกรณ์ทางด้านอิเล็กทรอนิกส์กำลังมาประยุกต์ใช้งาน มีข้อดีคือสามารถเร็วในการทำงานและไม่มีการอาร์คเกิดขึ้นเมื่อมีการสวิตซ์เปิดและปิดวงจร การวิเคราะห์การสวิตซ์ของเซอร์กิตเบรกเกอร์ได้โมเดลทางคณิตศาสตร์มาทำการวิเคราะห์โดยมีการคำนวณการหน่วงที่ถึงขั้นนำเอาไอออนของสัญญาณขนาดเล็กของเซอร์กิตเบรกเกอร์แบบโซลิตสเตรท และมีการใช้ ORCAD/PSPICE จำลองการทำงานของเซอร์กิตเบรกเกอร์แบบโซลิตสเตรท และอัลกอริทึมการตรวจจับแรงดัน, กระแส, ความถี่ และการอาร์คของตัวเซอร์กิตเบรกเกอร์แบบโซลิตสเตรท โดยการทดสอบซึ่งประกอบด้วยเงื่อนไขการทดสอบ แรงดันเกิน, แรงดันตก, กระแสเกินและการอาร์ค และผลการจำลองและทดสอบเป็นที่น่าพอใจซึ่งเป็นไปตามเงื่อนไขที่กำหนด

คำสำคัญ: เซอร์กิตเบรกเกอร์แบบโซลิตสเตรท, โมเดลทางคณิตศาสตร์, สัญญาณขนาดเล็ก

Abstract

The paper proposes a small signal analysis of single-phase of Solid State Circuit Breaker(SSCB) for low voltage level. According to the conventional circuit breaker, the SSCB is developed by using the power electronics switching devices. The rapid operation and arcless are proposed on the power protection devices that can operation under malfunction. The SSCB based on IGBT switching device can be modeled on small signal averaging model by turn-on and turn off conditions. The gate drive signal of IGBT is generated by using malfunction detection technique. The small signal can be calculated by using Mathematical model for analysis transient and steady state conditions. The operation of SSCB can be simulation by using ORCAD/PSPICE program. The results found that SSCB can be

operated under several testing condition and voltage and current signal can be express as reality behavior at turn-on and turn-off condition according to internalparasitic parameter of IGBTs and load. Experimental results can shown that current and voltage wave form in this paper.

Keywords: Solid State Circuit Breaker(SSCB), Small signal Average Model

1. บทนำ

การนำอุปกรณ์ป้องกันเพื่อลดความเสียหายที่เกิดขึ้นกับระบบไฟฟ้า และ โหลด การศึกษาในระบบไฟฟ้าแรงดันต่ำ พฤติกรรมการทำงานของเซอร์กิตเบรกเกอร์แรงดันต่ำที่มีใช้ในปัจจุบัน มีข้อดีอยู่ในหลายๆ ประเด็น ซึ่งเซอร์กิตเบรกเกอร์ที่มีใช้ในปัจจุบัน ได้มีการนำเทคโนโลยีต่างๆ มาใช้เพื่อให้ได้คุณสมบัติ และประสิทธิภาพในการทำงานที่ดีที่สุด สิ่งสำคัญที่พิจารณาในระบบไฟฟ้า คือ ความเร็วในการทำงาน ไม่ทำให้เกิดแรงดันเกินสูงและสามารถทำงานได้หลายครั้งอย่างมั่นใจ

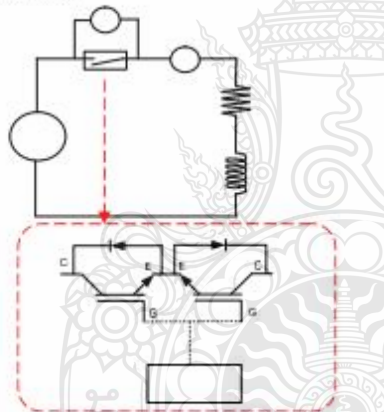
บทความ(1)นำเสนอการจำลองการทำงานของเซอร์กิตเบรกเกอร์แบบโซลิตสเตรทโดยใช้ ORCAD/PSPICE ในการจำลองการทำงานมีอุปกรณ์ป้องกันเพื่อลดความเสียหายที่เกิดขึ้นกับระบบไฟฟ้า และช่วยลดปัญหาที่ทำให้เกิดเพลิงไหม้ที่สาเหตุมาจากปัญหาด้วย บทความ(2)เป็นการทดสอบเซอร์กิตเบรกเกอร์แรงดันต่ำ เมื่อเกิดการอาร์คที่หน้าสัมผัสของเซอร์กิตเบรกเกอร์และการเกิดประกายไฟ ตามมาตรฐาน IEEE 1584 โดยทำการทดสอบเซอร์กิตเบรกเกอร์แรงดันต่ำของหลายบริษัทผู้ผลิต บทความ(3)เป็นการจำลองถึงผลกระทบของแรงดันเมื่อในระบบเกิดการเปลี่ยนแปลงขึ้น ตามช่วงเวลาของการเกิดการเปลี่ยนแปลงของแรงดัน มีการให้ค่าจำกัดความของการเกิดการเปลี่ยนแปลงของแรงดันแต่ละเหตุการณ์ เพื่อให้มีความเข้าใจต่อเหตุการณ์ และใช้ศัพท์คำจำกัดความเป็นไปในแนวทางเดียวกันตามมาตรฐานของ IEEE 1159- 1995, 1995 เป็นการนำเสนอการวิเคราะห์การเกิดการลัดวงจรในระบบไฟฟ้าโดยที่มีการต่อเซอร์กิตเบรกเกอร์เพื่อใช้งานในระบบโดยมีค่าหน่วงเวลาในการตัดวงจรออกจากระบบ บทความที่(4) นำเสนอการเปรียบเทียบการตรวจจับแรงดันตกชั่วคราวไม่สมมาตร เพื่อปรับปรุงคุณภาพไฟฟ้า เมื่อระบบไฟฟ้า

เกิดความผิดพลาดหรือเปรียบเทียบการตรวจจับแรงดันไฟฟ้าขนาด ความถี่ และมุมของแรงดันไฟฟ้า ตามมาตรฐาน IEEE 1159 - 1995, การนำ[5] เสนอความแตกต่างของอุปกรณ์สารกึ่งตัวนำ 3 ชนิดคือ ไอจีบีที, เจีทีไอ มี จีที, มีพฤติกรรมการทำงานคล้ายกัน แต่แตกต่างกันที่ลักษณะของ โครงสร้างภายใน และอัตราการทนแรงดันสูงสุด มีค่าความสูญเสียขณะ นำกระแสของอุปกรณ์ทั้ง 3 ชนิดเมื่อเทียบกับ ไอจีบีที

บทความนี้นำเสนอการวิเคราะห์สัญญาณขนาดเล็กลงของเซอร์ คิติกเบรกเกอร์แบบโซลิตสเตรสำหรับระบบไฟฟ้า 1 เฟส ซึ่งกล่าวถึง อัลกอริทึมการทำงานในการตัดสินใจของวงจรในสภาวะต่างๆ ของวงจรใน หัวข้อที่ 2 การวิเคราะห์สัญญาณขนาดเล็กลงของวงจรในหัวข้อที่ 3 การผล การจำลองและทดสอบการทำงานในหัวข้อที่ 4 และสรุปในหัวข้อที่ 5

2. เซอร์คิตเบรกเกอร์แบบโซลิตสเตร

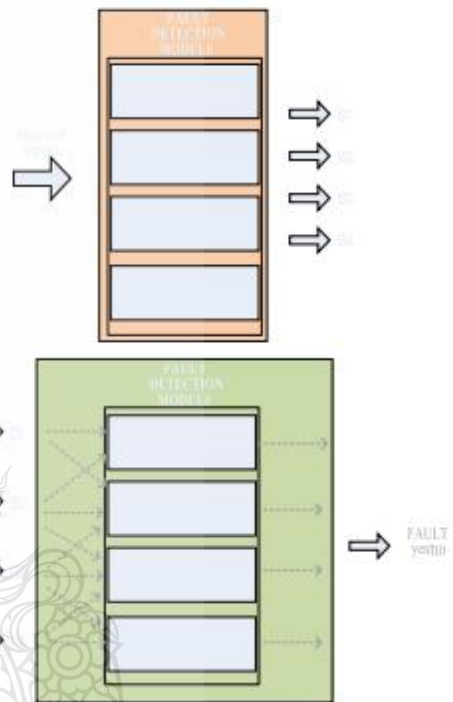
โครงสร้างภายในของเซอร์คิตเบรกเกอร์แบบโซลิตสเตร ประกอบด้วยไอจีบีที 2 ตัว



รูปที่ 1 โครงสร้างภายในของเซอร์คิตเบรกเกอร์แบบโซลิตสเตร

รูปที่ 1 โครงสร้างภายในของเซอร์คิตเบรกเกอร์แบบโซลิตสเตรประกอบด้วยไอจีบีที ซึ่งจะมีวงจรควบคุมการทำงานของตัวเอง ไอจีบีที โดยจะรับคำสั่งจากตัวประมวลผล ซึ่งเป็นไมโครคอนโทรลเลอร์สั่ง ให้ไอจีบีทีตัดหรือต่อ การทำงานของไอจีบีที เป็นไปตามอัลกอริทึมของ การตรวจจับของเซอร์คิตเบรกเกอร์แบบโซลิตสเตร ประกอบด้วย ตรวจจับแรงดัน, ตรวจจับกระแส, ตรวจจับความถี่และตรวจจับการอาร์ค และส่งสัญญาณมาที่อัลกอริทึมของการตรวจจับดังรูปที่ 2 จะมีการ ประมวลผลตามเงื่อนไขของแรงดันตกแรงดันเกิน กระแสเกินและการ เกิดการอาร์คของวงจร แล้วส่งข้อมูล ถ้ามีและเป็นไปตามเงื่อนไขจะสั่ง ให้วงจรจับทำงาน, วงจรไอจีบีทีทำการตัดวงจร การทำงานได้มีการกล่าว ขึ้นตอนของการนำกระแสของไอจีบีทีและช่วงเวลานในการหยุดนำกระแส

ของไอจีบีที และที่สำคัญคืออัลกอริทึมของการตรวจจับการอาร์คเป็นที่ นำสนใจอย่างมากในการตรวจจับ โดยจะแยกเป็นการตรวจจับ 2 ส่วน การตรวจจับการอาร์คคือจะมีการวัดกระแสกลับคืน โชนและรวมด้วย ความถี่สูง และใช้เทคนิคการกรองจะได้รูปคลื่นโชน นำมาลบทางเฟส เซอร์และส่วนต่อมายังได้ความถี่สูง ตอตกขึ้นขนาดเล็ก นำมาประมวลผล



รูปที่ 2 อัลกอริทึมของการตรวจจับสภาวะต่างๆ ของเซอร์คิตเบรก เกอร์แบบ โซลิตสเตร

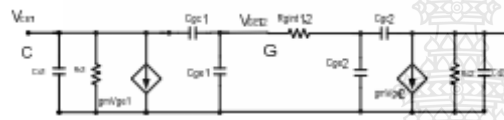
ช่วงเวลานในการนำกระแสของไอจีบีที มีลักษณะการ นำกระแส นับตั้งแต่เวลาที่แรงดันระหว่างขาคัดกับขาเซอรส์ การป้อน แรงดันนี้จะมีการเปลี่ยนแปลงทันทีทันใด มีลักษณะเป็นเอ็กซ์โปเนนเชียล ซึ่งเป็นผลจากการชาร์จประจุ ของตัวเก็บประจุระหว่างขาคัดกับขา เซอรส์ และขาคัดกับขาทรานภายในไอจีบีที แรงดันที่ขาทรานยังคงอยู่ใน ช่วงเวลาขาขึ้น หรือในช่วงเวลาที่กระแสที่ขาทรานยังไม่ถึงค่ากระแส ทำงาน หลังจากนั้นกระแสที่ขาทรานก็จะคงที่ แต่แรงดันจะตกลงโดย แบ่งช่วงเวลามีสองช่วง คือ ช่วงที่ทำงานอยู่ในย่านความถี่ความถี่สูง ส่วนอีกช่วงที่ทำงานอยู่ในย่านความถี่ต่ำ ค่า ซึ่งแสดงการเปรียบเทียบ ช่วงเวลาในการนำกระแสของไอจีบีทีและช่วงเวลานในการหยุดนำกระแส ของไอจีบีทีและความสัมพันธ์ของแรงดันในการจับของไอจีบีที ช่วงเวลา

ในการหาค่ากระแสของไอจีบีที จะเห็นว่ากระแสที่ขาแคทรานจะคงที่ตลอดช่วงเวลาที่แรงดันที่ขาแคทรานเพิ่มขึ้น และมีช่วงเวลาของกระแสที่ขาแคทรานที่แตกต่างชัดเจนสองช่วง โดยช่วงแรกจะเป็นช่วงหาค่ากระแสภายในไอจีบีที และช่วงจะเป็นช่วงหาค่ากระแสของทรานซิสเตอร์ที่เอ็นที ทำให้ช่วงเวลานี้นานกว่าช่วงแรก

3. วิเคราะห์สัญญาณขนาดหลักของเซอร์กิตเบรกเกอร์แบบโซลิตสแตท

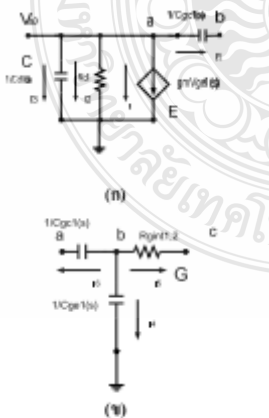
ลิตสแตท

การวิเคราะห์สัญญาณขนาดหลักของเซอร์กิตเบรกเกอร์แบบโซลิตสแตท ประกอบด้วย R_{int} , C_{gr} , C_{gc} , g_m , V_{gs} , R_s และ C_s



รูปที่ 3 วงจรสมมูลของไอจีบีที

รูปที่ 3 วงจรสมมูลของการเซอร์กิตเบรกเกอร์แบบโซลิตสแตท ซึ่งประกอบด้วยตัวรีดักทีฟทรานซิสเตอร์ โดยไอจีบีทีเป็นสวิทช์และตัววงจร และแสดงค่าความต้านทานและค่าตัวเก็บประจุภายในของไอจีบีทีที่นำวงจรมาวิเคราะห์ โดยนำค่าพลาซมาทรานส์ฟอร์ม มาใช้ในการแก้ปัญหาวงจรของเซอร์กิตเบรกเกอร์แบบโซลิตสแตท ในสภาวะชั่วคราว ซึ่งเป็นการแปลงจากฟังก์ชันของเวลาไปเป็นฟังก์ชันความถี่เชิงซ้อน จากนั้นจัดรูปของสมการให้เหมาะสมแล้วกลับมาเป็นฟังก์ชันของเวลาอีกครั้ง รูปที่ 4 เป็นการนำกฎของกระแสของเซอร์กิตที่แบบวงจรเพื่อหาสมการของกระแสของแต่ละวงจรเพื่อหาฟังก์ชันถ่ายโอนของวงจร



รูปที่ 4 วงจรสมมูลของไอจีบีทีโดยใช้กฎของกระแสของเซอร์กิต

$$\frac{d}{dt} \begin{bmatrix} i_i \\ V_i \end{bmatrix} = \begin{bmatrix} -\frac{1}{R_{int}} + C_{gr}(s) + C_{gc}(s) & -C_{gc}(s) \\ g_m - C_{gc}(s) & C_{gc}(s) + \frac{1}{R_0} + C_s(s) \end{bmatrix} \begin{bmatrix} i_i \\ V_i \end{bmatrix} \quad (1)$$

ดังนั้นจากสมการที่ (1) สามารถหาค่าฟังก์ชันถ่ายโอนของแรงดันด้านออก และนำสมการที่ (1) และสมการที่ (2) มาเปรียบเทียบกับประติภา

$$V_o(s) = \frac{a_1 s + a_2}{b_1 s^2 + b_2 s + b_3} V_i(s) \quad (2)$$

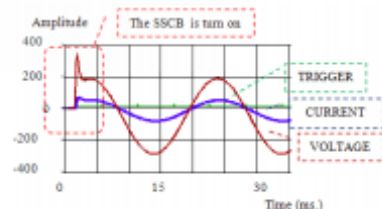
เมื่อได้ค่าฟังก์ชันถ่ายโอนของแรงดันด้านออก สามารถแทนค่า a_1, a_2, b_1, b_2, b_3 ที่ได้จากการหาค่าสัมประสิทธิ์โดยการเปรียบเทียบได้ดังนี้

$$\begin{aligned} a_1 &= -\frac{1}{R_{int}} C_{gr} - \frac{1}{R_{int}} C \\ a_2 &= -\frac{1}{R_{int}} \frac{1}{R_0} \\ b_1 &= C_{gc} C_{gr} + C_{gr} + C_{gc} C_{gc} + C_{gc} C_{gc} + C_{gc} C_{gc} - C_{gc} C_{gc} \\ b_2 &= -\frac{1}{R_{int}} C + \frac{1}{R_0} C_{gr} + \frac{1}{R_0} C_{gr} - \frac{1}{R_{int}} C_{gc} g_m C_{gr} - C_{gc} C_{gr} \\ b_3 &= \frac{1}{R_{int}} \frac{1}{R_0} \end{aligned}$$

จากสมการที่ (2) การคำนวณ a_1, a_2, b_1, b_2, b_3 และเปรียบเทียบค่าต่างๆ และแทนค่าเข้ามาคำนวณในฟังก์ชันถ่ายโอน หาค่าเศษส่วนย่อยจะได้ค่าเศษส่วนย่อยแล้วทำการลดพลาซมาทรานส์ฟอร์มกลับจะได้ค่าเวลาคงที่ และสภาวะชั่วคราวเข้าสู่สภาวะคงตัวเมื่อเวลาผ่านไปตามที่คำนวณ

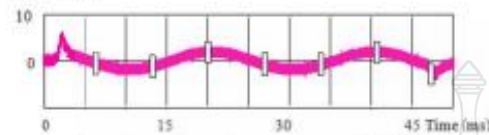
4. ผลการทดลองและทดสอบ

ผลการทดลองและทดสอบเซอร์กิตเบรกเกอร์แบบโซลิตสแตท สำหรับระบบไฟฟ้า 1 เฟสได้นำโมเดลทางคณิตศาสตร์มาทำการคำนวณหาค่าสภาวะชั่วคราวและสภาวะคงตัว เมื่อมีการเริ่มทำงานของเซอร์กิตเบรกเกอร์แบบโซลิตสแตท กำหนดค่าพารามิเตอร์ในการจำลองของเซอร์กิตเบรกเกอร์ที่ได้จากคู่มือของ ไอจีบีที มีการกำหนดค่าในการคำนวณค่าความต้านทานและค่าตัวเก็บประจุภายในตัวไอจีบีทีที่เซอร์กิตเบรกเกอร์



รูปที่ 5 ผลการจำลองของเซอร์กิตเบรกเกอร์แบบโซลิตสแตทเมื่อมีต่อวงจร (t:5ms/div.; V:200/div)

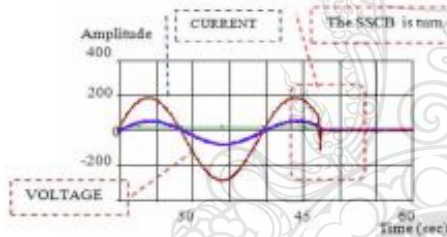
ผลการจำลองการต่อวงจรของเซอร์กิตเบรกเกอร์เมื่อเริ่มการ
ทำงานจาก 2.5 ms จะมีสถานะชั่วคราวที่เกิดจากค่าพารามิเตอร์ต่างๆรูปที่ 5
Current (mA)



รูปที่ 6 สัญญาณขนาดเล็กลงของกระแสภายในไอจีบีทีที่ผ่าน

$C_m(t:5s/div; I_{max} 10mA/div)$

ผลการจำลองที่ได้จากการวัดสัญญาณขนาดเล็กลงของกระแส
ภายในไอจีบีทีที่ผ่านส่วนที่มีผลต่อสัญญาณ ในกรณีสวิตช์ ทั้ง
แสดงในรูปที่ 6 ที่ผ่าน $C_m(t:5s/div; I_{max} 10mA/div)$ สัญญาณเริ่มทำงาน
2.5 ms จนถึง 48 ms เมื่อเซอร์กิตเบรกเกอร์แบบโซลิดสเตตเริ่มทำงาน
แสดงในรูปที่ 7 จะมีสถานะชั่วคราวที่เกิดจากค่าพารามิเตอร์ภายในของไอจี
บีทีและค่าอิมพีแดนซ์ของโหลด



รูปที่ 7 ผลการจำลองของเซอร์กิตเบรกเกอร์แบบโซลิดสเตตเมื่อมี

ตัวนำ (t:5ms/div; V:200/div)

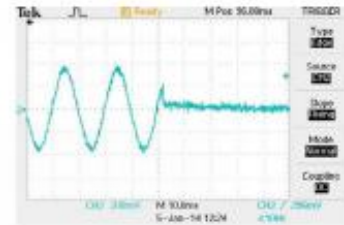
ผลการจำลองของเซอร์กิตเบรกเกอร์แบบโซลิดสเตตตัวจริง
เมื่อวงจรอยู่ในสภาวะคงตัวจาก 30 ms ถึง 48ms มีการตัดวงจรในรูปที่ 7



รูปที่ 8 ผลการทดสอบโดยการวัดกระแสที่ผ่านโหลดเมื่อมีการต่อวงจร

$(t:5ms/div; I:2A/div)$

สถานะชั่วคราวที่เกิดจากค่าพารามิเตอร์ต่างๆภายในของไอจีบีทีดัง
รูปที่ 8 และผลการทดสอบการตัดวงจรของเซอร์กิตเบรกเกอร์ดังรูปที่ 9



รูปที่ 9 ผลการทดสอบโดยการวัดกระแสที่ผ่านโหลดเมื่อมีการต่อวงจร

$(t:5ms/div; I:1A/div)$

5. สรุป

จากผลการจำลองและทดสอบการทำงานเซอร์กิตเบรกเกอร์
แบบโซลิดสเตต จะเห็นได้ว่ามีการวิเคราะห์และคำนวณ ผลจากการ
เปรียบเทียบจากสัญญาณขนาดเล็กลงของเซอร์กิตเบรกเกอร์แบบโซลิดส
เตตสำหรับระบบไฟฟ้าแรงต่ำ 1 เฟส จะแสดงผลการเปรียบเทียบจะได้
สถานะชั่วคราวและสภาวะคงตัวที่เกิดจากค่าพารามิเตอร์ต่างๆภายในของไอ
จีบีที ดังนั้นในระบบไฟฟ้า การตัดวงจร กระแสเกิน แรงดันตก แรงดัน
เกิน และการเกิดการอาร์คแล้วเกิดความร้อนสะสมในระบบไฟฟ้า นั้น จะ
เห็นได้ว่า เซอร์กิตเบรกเกอร์แบบโซลิดสเตตสามารถที่จะตรวจจับและ
สั่งการทำงานให้เซอร์กิตเบรกเกอร์แบบโซลิดสเตตตัดวงจรไฟฟ้าเมื่อเกิด
ปัญหาเหล่านี้ได้อย่างถูกต้องตามที่ออกแบบไว้

เอกสารอ้างอิง

- [1] Supawat K, Nathabhat P, and Krischonhe B, "Simulation of SSCB Using IGBTs Model based on ORCAD/PSPICE program," 11th EMSES, December 2013.
- [2] Zhiping Yang, Hongkun Chen, and et al, "Dynamic Simulation of the Overvoltage for Fault Current Limiter," IEEE, 2011, p. 1-4.
- [3] Jay R. Prigmore, Student Member, "Comparison of Four Different Types of Ferrromagnetic," IEEE, July 2013, p.1491 - 1498.
- [4] William Long, Member IEEE, "Low-voltage Powercircuit Breaker Comparison of Test Requirement," International Electro technical Commission standard, IEC 60947-2.
- [5] IEEE Standards Board, "IEEE Recommended Practice for Monitoring Electric Power Quality," IEEE Standards Coordinating Committee 22 on Power Quality, IEEE STD 1159-1995, Approved 1995.
- [6] Vinceta Agarwal, "A Mathematical Model for IGBT," Asian Power Electronics Journal, Vol2, No 1 Apr 2008.



ECTI
Association

ECTI
7th
CARD
2015

Proceedings

Conference on Applications

Research and Development



การประชุมวิชาการ งานวิจัยและพัฒนาเชิงประยุกต์ครั้งที่ 7
“รู้ค่าพลังงานและสิ่งแวดล้อมเพื่อก้าวสู่ศตวรรษที่ 21”

โครงการจัดตั้งคณะวิศวกรรมศาสตร์และเทคโนโลยี
มหาวิทยาลัยเทคโนโลยีราชมงคลศรีวิชัย

8-10 กรกฎาคม 2558
ณ โรงแรมธรรมรินทร์ ธนา
อำเภอเมือง จังหวัดตรัง

Mobile App 1

GIS&App

Network 1

Antennas

Power 1

Electronics 1

Energy 1

รายนามผู้ทรงคุณวุฒิพิจารณาบทความ

| | | | |
|----|-----------------|------------------|--|
| 1 | ศ.ดร.ประภาส | จงสถิตวัฒนา | จุฬาลงกรณ์มหาวิทยาลัย |
| 2 | ศ.ดร.ประยูทธ | อัครเอกผาลิน | มหาวิทยาลัยเทคโนโลยีพระจอมเกล้าพระนครเหนือ |
| 3 | ศ.ดร.โกสินทร์ | จำนงไทย | มหาวิทยาลัยเทคโนโลยีพระจอมเกล้าธนบุรี |
| 4 | รศ.ดร.สมศักดิ์ | ชุมช่วย | สถาบันเทคโนโลยีพระจอมเกล้าเจ้าคุณทหารลาดกระบัง |
| 5 | รศ.ดร.กอบชัย | เดชหาญ | สถาบันเทคโนโลยีพระจอมเกล้าเจ้าคุณทหารลาดกระบัง |
| 6 | รศ.ดร.พิพัฒน์ | พรหมมี | สถาบันเทคโนโลยีพระจอมเกล้าเจ้าคุณทหารลาดกระบัง |
| 7 | รศ.ดร.ชูวงศ์ | พงศ์เจริญพาณิชย์ | สถาบันเทคโนโลยีพระจอมเกล้าเจ้าคุณทหารลาดกระบัง |
| 8 | รศ.ดร.ฟูศักดิ์ | ชีวลุวิทย์ | สถาบันเทคโนโลยีพระจอมเกล้าเจ้าคุณทหารลาดกระบัง |
| 9 | รศ.ดร.อภิรักษ์ | ธนชยานนท์ | สถาบันเทคโนโลยีพระจอมเกล้าเจ้าคุณทหารลาดกระบัง |
| 10 | รศ.ดร.พรชัย | ทรัพย์นิธิ | สถาบันเทคโนโลยีพระจอมเกล้าเจ้าคุณทหารลาดกระบัง |
| 11 | รศ.ดร.สมผล | โกศลวิตร | สถาบันเทคโนโลยีพระจอมเกล้าเจ้าคุณทหารลาดกระบัง |
| 12 | รศ.ดร.มนตรี | กาญจนะเดชะ | มหาวิทยาลัยสงขลานครินทร์ |
| 13 | รศ.ดร.สินชัย | กมลวิวงศ์ | มหาวิทยาลัยสงขลานครินทร์ |
| 14 | รศ.ดร.ทวีศักดิ์ | เรืองพีระกุล | มหาวิทยาลัยสงขลานครินทร์ |
| 16 | รศ.ดร.วัฒนพงศ์ | เกิดทองมี | มหาวิทยาลัยวลัยลักษณ์ |
| 17 | รศ.ดร.พูลพงษ์ | บุญพรหมณ์ | มหาวิทยาลัยวลัยลักษณ์ |
| 18 | รศ.ดร.दनัย | ดรุงเรือง | มหาวิทยาลัยเอเชียน |
| 19 | รศ.ดร.ฐิติพงษ์ | เลิศวิริยะประภา | มหาวิทยาลัยเทคโนโลยีพระจอมเกล้าพระนครเหนือ |
| 20 | รศ.ดร.มนตรี | ศิริปรัชญานันท์ | มหาวิทยาลัยเทคโนโลยีพระจอมเกล้าพระนครเหนือ |
| 21 | รศ.ดร.สุรพันธ์ | ยิ้มมัน | มหาวิทยาลัยเทคโนโลยีพระจอมเกล้าพระนครเหนือ |
| 22 | รศ.ดร.บัลลังก์ | เนียมมณี | มหาวิทยาลัยเทคโนโลยีพระจอมเกล้าพระนครเหนือ |
| 23 | รศ.ดร.อิทธิพงศ์ | ชัยสายัณห์ | มหาวิทยาลัยเอเชียอาคเนย์ |
| 24 | รศ.ดร.อริคม | ฤกษ์บุตร | มหาวิทยาลัยเทคโนโลยีมหานคร |

รายนามผู้ทรงคุณวุฒิพิจารณาบทความ

| | | |
|----------------------|-------------------|---------------------------------------|
| 25 รศ.ดร.ลัญฉกร | วุฒิสัทธาภิณฑลกิจ | จุฬาลงกรณ์มหาวิทยาลัย |
| 26 รศ.ดร.เดวิด | บรรเจิดพงศ์ชัย | จุฬาลงกรณ์มหาวิทยาลัย |
| 27 รศ.ดร.รังสรรค์ | วงศ์สรรค์ | มหาวิทยาลัยเทคโนโลยีสุรนารี |
| 28 รศ.ดร.พีระพงษ์ | อุทราสกุล | มหาวิทยาลัยเทคโนโลยีสุรนารี |
| 29 รศ.ดร.นฤมล | วัฒนพงศกร | มหาวิทยาลัยเทคโนโลยีพระจอมเกล้าธนบุรี |
| 30 รศ.ดร.พีรพล | ศิริพงศ์วุฒิกร | มหาวิทยาลัยเทคโนโลยีพระจอมเกล้าธนบุรี |
| 31 รศ.ดร.เชวศักดิ์ | รักเป็นไทย | มหาวิทยาลัยพะเยา |
| 32 รศ.ดร.อนันต์ | ผลเพิ่ม | มหาวิทยาลัยเกษตรศาสตร์ |
| 32 รศ.ดร.สมหญิง | ไทยนิมิต | มหาวิทยาลัยเกษตรศาสตร์ |
| 33 รศ.ดร.เอกชัย | ไพศาลกิตติสกุล | มหาวิทยาลัยเกษตรศาสตร์ |
| 34 รศ.ดร.สุนันท์ | น้อยมณี | มหาวิทยาลัยเชียงใหม่ |
| 35 รศ.ดร.สมเกียรติ | อุดมรรษากุล | มหาวิทยาลัยเทคโนโลยีราชมงคลสุวรรณภูมิ |
| 36 รศ.ดร.โกศล | โอฬารไพโรจน์ | มหาวิทยาลัยเทคโนโลยีราชมงคลล้านนา |
| 37 รศ.ชัยณรงค์ | วิเศษศักดิ์วิชัย | มหาวิทยาลัยเทคโนโลยีราชมงคลกรุงเทพ |
| 38 รศ.นภัทร | วัจนเทพินทร์ | มหาวิทยาลัยเทคโนโลยีราชมงคลสุวรรณภูมิ |
| 39 ผศ.รช.ดร.ประโยชน์ | คาสวัสดิ์ | มหาวิทยาลัยเทคโนโลยีสุรนารี |
| 40 ผศ.ดร.รังสรรค์ | ทองทา | มหาวิทยาลัยเทคโนโลยีสุรนารี |
| 41 ผศ.ดร.สมศักดิ์ | วาณิชอนันต์ชัย | มหาวิทยาลัยเทคโนโลยีสุรนารี |
| 42 ผศ.ดร.มนต์ทิพย์ภา | อุทราสกุล | มหาวิทยาลัยเทคโนโลยีสุรนารี |
| 43 ผศ.ดร.ปิยาภรณ์ | กระฉอดนอก | มหาวิทยาลัยเทคโนโลยีสุรนารี |
| 44 ผศ.ดร.วิภาวี | หัตถกรรม | มหาวิทยาลัยเทคโนโลยีสุรนารี |
| 45 ผศ.ดร.พงษ์ชัย | จิตตะมัย | มหาวิทยาลัยเทคโนโลยีสุรนารี |
| 46 ผศ.ดร.ชุตินา | พรหมมาก | มหาวิทยาลัยเทคโนโลยีสุรนารี |

รายนามผู้ทรงคุณวุฒิพิจารณาบทความ

| | | |
|---------------------|-------------------|--|
| 47 ผศ.ดร.ชาญชัย | ทองโสภากา | มหาวิทยาลัยเทคโนโลยีสุรนารี |
| 48 ผศ.ดร.อานุกาพ | มีสมบูรณ์ | มหาวิทยาลัยขอนแก่น |
| 49 ผศ.ดร.จีรณัฐ | เสงี่ยมศักดิ์ | มหาวิทยาลัยขอนแก่น |
| 50 ผศ.ดร.ดวงอาทิตย์ | ศรีมูล | มหาวิทยาลัยรังสิต |
| 51 ผศ.ดร.ยุทนา | ชาสุวรรณ | มหาวิทยาลัยเชียงใหม่ |
| 52 ผศ.ดร.กรกฎ | ไยบัวเทศทิพยาวงศ์ | มหาวิทยาลัยเชียงใหม่ |
| 53 ผศ.ดร.มานะ | แช่दान | มหาวิทยาลัยเชียงใหม่ |
| 54 ผศ.ดร.ประมุข | อุณหเลขกะ | มหาวิทยาลัยเทคโนโลยีราชมงคลสุวรรณภูมิ |
| 55 ผศ.ดร.ยุทนา | กันทะพะเยา | มหาวิทยาลัยเทคโนโลยีราชมงคลสุวรรณภูมิ |
| 56 ผศ.ดร.คมกฤตย์ | ชมสุวรรณ | มหาวิทยาลัยเทคโนโลยีพระจอมเกล้าธนบุรี |
| 57 ผศ.ดร.กฤตภาภัทร | สีหารี | มหาวิทยาลัยเทคโนโลยีพระจอมเกล้าธนบุรี |
| 58 ผศ.ดร.ณัฐภาพ | นัมบีติวัน | มหาวิทยาลัยกรุงเทพ |
| 59 ผศ.ดร.ชลฤดี | ใจสุทธิ์ | มหาวิทยาลัยเกษตรศาสตร์ |
| 60 ผศ.ดร.พงษ์ศักดิ์ | กักรัตินทกร | มหาวิทยาลัยเทคโนโลยีพระจอมเกล้าพระนครเหนือ |
| 61 ผศ.ดร.พิสิษฐ์ | ล้วนกุล | มหาวิทยาลัยเทคโนโลยีพระจอมเกล้าพระนครเหนือ |
| 62 ผศ.ดร.กฤษณ์ | อ่างแก้ว | มหาวิทยาลัยเทคโนโลยีพระจอมเกล้าพระนครเหนือ |
| 63 ผศ.ดร.เบญจพร | ลิมธรรมาภรณ์ | มหาวิทยาลัยเทคโนโลยีพระจอมเกล้าพระนครเหนือ |
| 64 ผศ.ดร.ณัฐพงศ์ | พันธุะ | มหาวิทยาลัยเทคโนโลยีราชมงคลพระนคร |
| 65 ผศ.ดร.ชาญชัย | ไทยเจียม | มหาวิทยาลัยศรีนครินทรวิโรฒ |
| 66 ผศ.ดร.วรพจน์ | พัฒนวิจิตร | มหาวิทยาลัยอัสสัมชัญ |
| 67 ผศ.ดร.กฤษณะ | ชินสาร | มหาวิทยาลัยบูรพา |
| 68 ผศ.ดร.ศราวุธ | ชัยมูล | มหาวิทยาลัยราชภัฏอุดรธานี |
| 69 ผศ.ดร.ศิริรัตน์ | วณิชโยบล | มหาวิทยาลัยสงขลานครินทร์ |

รายนามผู้ทรงคุณวุฒิพิจารณาบทความ

| | | |
|--------------------|------------------|--|
| 70 ผศ.ดร.ชนุต | เคารพาทงศ์ | มหาวิทยาลัยสงขลานครินทร์ |
| 71 ผศ.ดร.นิคม | สุวรรณวร | มหาวิทยาลัยสงขลานครินทร์ |
| 72 ผศ.ดร.สุนทร | วิฑูรพจน์ | มหาวิทยาลัยสงขลานครินทร์ |
| 73 ผศ.ดร.วรรณรัช | สันติอมรทัต | มหาวิทยาลัยสงขลานครินทร์ |
| 74 ผศ.ดร.สกฤมา | เจริญปัญญาศักดิ์ | มหาวิทยาลัยสงขลานครินทร์ |
| 75 ผศ.ดร.พรชัย | พฤษภักทรานนท์ | มหาวิทยาลัยสงขลานครินทร์ |
| 76 ผศ.ดร.วัชรวลี | ตั้งคุปตานนท์ | มหาวิทยาลัยสงขลานครินทร์ |
| 77 ผศ.ดร.สมภารภ | ชำเกลี้ยง | มหาวิทยาลัยราชภัฏสงขลา |
| 78 ผศ.ดร.พิทักษ์ | ธรรมวาริน | สถาบันเทคโนโลยีพระจอมเกล้าเจ้าคุณทหารลาดกระบัง |
| 79 ผศ.ดร.พิเชษฐ | ม่วงนวล | สถาบันเทคโนโลยีพระจอมเกล้าเจ้าคุณทหารลาดกระบัง |
| 80 ผศ.ดร.มนตรี | คำเงิน | สถาบันเทคโนโลยีพระจอมเกล้าเจ้าคุณทหารลาดกระบัง |
| 81 ผศ.ดร.วินัย | ใจกล้า | สถาบันเทคโนโลยีพระจอมเกล้าเจ้าคุณทหารลาดกระบัง |
| 82 ผศ.ดร.จักรี | ศรีนนท์ฉัตร | มหาวิทยาลัยเทคโนโลยีราชมงคลธัญบุรี |
| 83 ผศ.ดร.อำนาจ | เรืองวารี | มหาวิทยาลัยเทคโนโลยีราชมงคลธัญบุรี |
| 84 ผศ.ดร.สมชัย | หิรัญวโรดม | มหาวิทยาลัยเทคโนโลยีราชมงคลธัญบุรี |
| 85 ผศ.ดร.บุญยัง | ปลั่งกลาง | มหาวิทยาลัยเทคโนโลยีราชมงคลธัญบุรี |
| 86 ผศ.ดร.บุญยิ่ง | นบนอบ | มหาวิทยาลัยเทคโนโลยีราชมงคลธัญบุรี |
| 87 ผศ.ดร.กันต์พงษ์ | ศรีสถิต | มหาวิทยาลัยเทคโนโลยีราชมงคลรัตนโกสินทร์ |
| 88 ผศ.ดร.มนตรี | สมดุยกนก | มหาวิทยาลัยเทคโนโลยีราชมงคลรัตนโกสินทร์ |
| 89 ผศ.ดร.อุเทน | คำน่าน | มหาวิทยาลัยเทคโนโลยีราชมงคลล้านนา |
| 90 ผศ.ดร.กฤษดา | ยิ่งขยัน | มหาวิทยาลัยเทคโนโลยีราชมงคลล้านนา |
| 91 ผศ.ดร.พานิช | อินดีะ | มหาวิทยาลัยเทคโนโลยีราชมงคลล้านนา |
| 92 ผศ.ดร.พิทักษ์ | บุญนุ่น | มหาวิทยาลัยเทคโนโลยีราชมงคลศรีวิชัย |

รายนามผู้ทรงคุณวุฒิพิจารณาบทความ

| | | |
|-----|--------------------------------------|---------------------------------------|
| 93 | ผศ.ดร. ปภัศร์ชกรณ์ อารีย์กุล | มหาวิทยาลัยเทคโนโลยีราชมงคลศรีวิชัย |
| 94 | ผศ.ดร. ชัยวัฒน์ สากุล | มหาวิทยาลัยเทคโนโลยีราชมงคลศรีวิชัย |
| 95 | ผศ.ดร. สมเกียรติ เพียงพรานทอง | มหาวิทยาลัยเอเชียอาคเนย์ |
| 96 | ผศ.ดร. อรรถรงค์ อิงคนินันท์ บัณฑิตย์ | มหาวิทยาลัยวลัยลักษณ์ |
| 97 | ผศ.ดร. สุรัสวดี กุลบุญ ก่อเกื้อ | มหาวิทยาลัยวลัยลักษณ์ |
| 98 | ผศ.ดิชิตชัย เมตตาริกานนท์ | มหาวิทยาลัยวลัยลักษณ์ |
| 99 | ผศ.อุหมาด หมัดอาด้า | มหาวิทยาลัยวลัยลักษณ์ |
| 100 | ผศ.ดำรงค์ เคล้าดี | มหาวิทยาลัยสงขลานครินทร์ |
| 101 | ผศ.สมคิด สีสานชะชัยพงษ์ | มหาวิทยาลัยเทคโนโลยีราชมงคลศรีวิชัย |
| 102 | ผศ.กิตติกร ชันแก้ว | มหาวิทยาลัยเทคโนโลยีราชมงคลศรีวิชัย |
| 103 | ผศ.สันติพงศ์ ตั้งธรรมกุล | มหาวิทยาลัยเทคโนโลยีราชมงคลศรีวิชัย |
| 104 | ผศ.สัณญา ผาสุข | มหาวิทยาลัยเทคโนโลยีราชมงคลศรีวิชัย |
| 105 | ผศ.วิโรจน์ เพชรพันธุ์ศรี | มหาวิทยาลัยเทคโนโลยีราชมงคลกรุงเทพ |
| 106 | ผศ.ปราโมทย์ อนันตวรพงษ์ | มหาวิทยาลัยเทคโนโลยีราชมงคลกรุงเทพ |
| 107 | ผศ.นิพนธ์ ทางทอง | มหาวิทยาลัยเทคโนโลยีราชมงคลกรุงเทพ |
| 108 | ผศ.วิโรจน์ พิราญเนนชัย | มหาวิทยาลัยเทคโนโลยีราชมงคลธัญบุรี |
| 109 | ผศ.กฤษณ์ชนม์ ภูมิกิตติพิชญ์ | มหาวิทยาลัยเทคโนโลยีราชมงคลธัญบุรี |
| 110 | ผศ.ศิริชัย แดงएम | มหาวิทยาลัยเทคโนโลยีราชมงคลธัญบุรี |
| 111 | ผศ.ธนพงษ์ นพวงศ์ ณ อยุธยา | มหาวิทยาลัยเทคโนโลยีราชมงคลธัญบุรี |
| 112 | ผศ.ชาญชัย เดชธรรมรงค์ | มหาวิทยาลัยเทคโนโลยีราชมงคลล้านนา |
| 113 | ผศ.วิเชษฐ ทิพย์ประเสริฐ | มหาวิทยาลัยเทคโนโลยีราชมงคลล้านนา |
| 114 | ผศ.วิชุด มาลาเวช | มหาวิทยาลัยราชภัฏนครศรีธรรมราช |
| 115 | ดร.สมพร ศรีวัฒนผล | มหาวิทยาลัยเทคโนโลยีราชมงคลสุวรรณภูมิ |

รายนามผู้ทรงคุณวุฒิพิจารณาบทความ

| | | |
|----------------------|-----------------|--|
| 116 ดร.อนุรักษ์ | ฤงทอง | มหาวิทยาลัยวลัยลักษณ์ |
| 117 ดร.ธัญวัฒน์ | ลิมปิติ | มหาวิทยาลัยวลัยลักษณ์ |
| 118 ดร.อจลวิชัย | ฉันทวีโรจน์ | มหาวิทยาลัยวลัยลักษณ์ |
| 119 ดร.สลิล | บุญพรหมณ์ | มหาวิทยาลัยวลัยลักษณ์ |
| 120 ดร.จิราวัฒน์ | สิทธิวรชาติ | มหาวิทยาลัยวลัยลักษณ์ |
| 121 ดร.สัจจاریย์ | ศิริชัย | มหาวิทยาลัยวลัยลักษณ์ |
| 122 ดร.จิตติมา | ตั้งขมณี | มหาวิทยาลัยวลัยลักษณ์ |
| 123 ดร.ฐิมาพร | เพชรแก้ว | มหาวิทยาลัยวลัยลักษณ์ |
| 124 ดร.พุทธิพร | ธนธรรมเมธี | มหาวิทยาลัยวลัยลักษณ์ |
| 125 ดร.สุรินทร์ | แห่งมงาม | มหาวิทยาลัยเทคโนโลยีราชมงคลธัญบุรี |
| 126 ดร.วุฒิววัฒน์ | คงรัตน์ประเสริฐ | มหาวิทยาลัยเทคโนโลยีราชมงคลกรุงเทพ |
| 127 ดร.วรรณรีย์ | วงศ์ไตรรัตน์ | มหาวิทยาลัยเทคโนโลยีราชมงคลอีสาน |
| 128 ดร.จักรกฤษ | ตรรกพานิชย์ | มหาวิทยาลัยเทคโนโลยีมหานคร |
| 129 Dr.Karel | Sterckx | มหาวิทยาลัยกรุงเทพ |
| 130 ดร.สุรัชย์ | ชัยทัศนีย์ | จุฬาลงกรณ์มหาวิทยาลัย |
| 131 ดร.เกียรติศักดิ์ | ศรีพิมานวัฒน์ | ศูนย์เทคโนโลยีอิเล็กทรอนิกส์และคอมพิวเตอร์แห่งชาติ |
| 132 ดร.กมล | เขมะรังษี | ศูนย์เทคโนโลยีอิเล็กทรอนิกส์และคอมพิวเตอร์แห่งชาติ |
| 133 ดร.วันชัย | ทรัพย์สิงห์ | มหาวิทยาลัยเทคโนโลยีราชมงคลล้านนา |
| 134 ดร.รุ่งโรจน์ | สงค์ประกอบ | มหาวิทยาลัยเทคโนโลยีพระจอมเกล้าธนบุรี |
| 135 ดร.แสนศักดิ์ | ดีอ่อน | สถาบันเทคโนโลยีปทุมวัน |
| 136 ดร.ประจวบ | อินระวงศ์ | มหาวิทยาลัยเทคโนโลยีราชมงคลอีสาน |

บทความวิจัย (Oral Presentation)

Session : Energy 3

| | |
|---------------------|---|
| ID:1080 | การประหยัดพลังงานไฟฟ้าแสงสว่างด้วยวงจรแปลงผันไฟฟ้ากระแสสลับ |
| Page No. 414-417 | Street Lighting Energy Saving with AC Converter วันไชย คำเสณ และชอุ้ง สัมมัตตะ |
| ID:1212 | ศึกษาผลกระทบการปรับจุดความร้อนจากโพรงสัญญาณในตัวกลางขยะยางรถยนต์ |
| Page No. 418-421 | ต่อปริมาณน้ำมันที่ได้จากระบบไมโครเวฟไพโรไลซิส Study Effect Hotspot Steering Mechanism from Cavity in Waste tire Medium Upon oil output from Microwave Pyrolysis System เฉลิมชนม์ ตั้งวชิรพันธ์ |
| ID:1213 | การเปรียบเทียบระหว่างเซอร์กิตเบรกเกอร์เชิงกลกับเซอร์กิตเบรกเกอร์แบบโซลิดสเตท |
| Page No. 422-425 | สำหรับระบบไฟฟ้าแรงต่ำ Comparison between Mechanical Circuit Breaker and Solid State Circuit Breaker for Low Voltage System. ศุภวัฒน์ คำทิพย์ , กฤษณ์ชนม์ ภูมิภคพิชญ์ และ ณัฐภัทร พันธุ์คง |
| ID:1280 | ข้อพิจารณาในการออกแบบระบบส่งพลังงานไฟฟ้าไร้สายสมัยใหม่ |
| Page No. 426-430 | อินดักทีฟคัปปลิงและเรโซแนนซ์แม่เหล็ก Design Considerations in Modern Wireless Energy Transfer Systems: IC and MR ศราวุธ ชัยมูล |
| ID:1301 | การศึกษาการใช้งานพลังงานของโทรศัพท์มือถือผ่านเครือข่าย 3G และ 4G |
| Page No. 431-434 | A Study of Energy Consumption of Smartphone over 3G and 4G บุญศิริ มะสัน , เทอดพงษ์ แดงสี และ พงษ์พิสิฐ วุฒิชัยโชติ |

บทความวิจัย

การประชุมวิชาการ งานวิจัยและพัฒนาเชิงประยุกต์ ครั้งที่ 7

7th ECTI-CARD 2015, Trang, Thailand

การเปรียบเทียบระหว่างเซอร์กิตเบรกเกอร์เชิงกลกับเซอร์กิตเบรกเกอร์แบบโซลิดสเตตสำหรับระบบไฟฟ้าแรงต่ำ
Comparison between Mechanical Circuit Breaker and Solid State Circuit Breaker
for Low Voltage System.

ศุภวัฒน์ คำพิทย ฤกษ์ชัยภูมิ ภูมิภิกขิทธิชัย และ ณัฐภัทร พันธุ์คง

ภาควิชาวิศวกรรมไฟฟ้า คณะวิศวกรรมศาสตร์ มหาวิทยาลัยเทคโนโลยีราชมงคลธัญบุรี

ถนนรังสิต-นครนายก ตำบลคลองหก อำเภอธัญบุรี จังหวัดปทุมธานี 12110 E-mail: krischonme.b@en.mutt.ac.th

บทคัดย่อ

การเปรียบเทียบการจำลองการทำงานของเซอร์กิตเบรกเกอร์เชิงกลกับเซอร์กิตเบรกเกอร์แบบโซลิดสเตตเซอร์กิตเบรกเกอร์แบบโซลิดสเตตเป็นอุปกรณ์ที่ใช้ในการป้องกันปัญหาของระบบไฟฟ้าเมื่อเกิดความผิดปกติ สำหรับระบบไฟฟ้าแรงต่ำ 1 เฟส จุดประสงค์ของบทความนี้จะมีกล่าวถึงการเปรียบเทียบการทำงานของเซอร์กิตเบรกเกอร์เชิงกลและเซอร์กิตเบรกเกอร์แบบโซลิดสเตตความเร็วในการตรวจจับและการตัดวงจร ใช้อุปกรณ์ทางด้านอิเล็กทรอนิกส์กำลังมาประยุกต์ใช้งานสำหรับการสวิตซ์ทำให้ไม่มีการอาร์คเกิดขึ้นเมื่อมีการสวิตซ์เปิดและปิดวงจร การตรวจจับแรงดัน, กระแส, ความถี่ และการอาร์คของตัวเซอร์กิตเบรกเกอร์แบบโซลิดสเตต โดยการจำลองซึ่งประกอบด้วยเงื่อนไขการทดสอบ แรงดันเกิน, แรงดันตก, กระแสเกินและการอาร์ค และผลการจำลองการเปรียบเทียบเซอร์กิตเบรกเกอร์เชิงกลกับเซอร์กิตเบรกเกอร์แบบโซลิดสเตต

คำสำคัญ: เซอร์กิตเบรกเกอร์เชิงกล, เซอร์กิตเบรกเกอร์แบบโซลิดสเตต

Abstract

The paper is proposed a comparison between Mechanical Circuit breaker and solid state circuit breaker of single-phase. The SSCB is growly developed by using the power electronics switching devices. The rapid operation and arcless are proposed on the power protection mainly devices that can operation under malfunction. The SSCB is mostly based on power electronics switching device can be modeled by using turn-on and turn off conditions. The table results found that the solid state circuit breaker and the mechanic circuit breaker can be operated under simulating condition the voltage sag, voltage swell, over current and arcing. The result of a comparison between mechanical circuit breaker and solid state circuit breaker can be express as reality behavior detection.

Keywords: Solid State Circuit Breaker (SSCB), Mechanical Circuit Breaker (MCB).

1. บทนำ

การศึกษาระบบไฟฟ้าแรงต่ำ พฤติกรรมการทำงานของเซอร์กิตเบรกเกอร์แรงดันต่ำที่มีใช้อยู่ในปัจจุบัน มีข้อดีหลายประเด็นซึ่งเซอร์กิตเบรกเกอร์ที่มีใช้ในปัจจุบันได้มีการนำเทคโนโลยีต่างๆมาใช้เพื่อให้ได้คุณสมบัติ และประสิทธิภาพในการทำงานที่ดีที่สุด ซึ่งสำคัญที่ต้องการในระบบไฟฟ้า คือ ความเร็วขณะทำงาน ไม่ทำให้เกิดแรงดันเกินสูงและสามารถทำงานได้หลายครั้งอย่างมั่นใจ

บทความ(1)นำเสนอการจำลองการทำงานของเซอร์กิตเบรกเกอร์แบบโซลิดสเตต โดยใช้การจำลองการทำงานมีอุปกรณ์ป้องกันเพื่อลดความเสียหายที่เกิดขึ้นกับระบบไฟฟ้า และข้อจุดปัญหาที่ทำให้เกิดเพลิงไหม้ที่สาเหตุมาจากปัญหาด้วย บทความ(2)เป็นการทดสอบเซอร์กิตเบรกเกอร์แรงดันต่ำ เมื่อเกิดการอาร์คที่หน้าสัมผัสของเซอร์กิตเบรกเกอร์และการเกิดประกายไฟ ตามมาตรฐาน IEEE 1584 โดยทำการทดสอบเซอร์กิตเบรกเกอร์แรงดันต่ำของหลายบริษัทผู้ผลิต บทความ(3) เป็นการจำลองผลกระทบของแรงดันเมื่อในระบบเกิดการเปลี่ยนแปลงขึ้น ตามช่วงเวลาของการเกิดการเปลี่ยนแปลงของแรงดัน มีการให้ค่าจำกัดความของการเกิดการเปลี่ยนแปลงของแรงดันแต่ละเหตุการณ์ เพื่อให้มีความเข้าใจต่อเหตุการณ์ และใช้ศัพท์คำจำกัดความในแนวทางเดียวกันตามมาตรฐานของ IEEE 1159 - 1995, 1995 เป็นการนำเสนอการวิเคราะห์การเกิดการลัดวงจรในระบบไฟฟ้าโดยที่มีการต่อเซอร์กิตเบรกเกอร์เพื่อใช้งานในระบบโดยมีค่าหน่วงเวลาในการตัดวงจรออกจากระบบ

บทความนี้จึงนำเสนอการเปรียบเทียบระหว่างเซอร์กิตเบรกเกอร์เชิงกลกับเซอร์กิตเบรกเกอร์แบบโซลิดสเตตที่ใช้ระบบไฟฟ้า 1 เฟส คุณสมบัติ การทำงานเมื่อมีความผิดปกติของแรงดันและกระแสซึ่งกล่าวถึงการทำงานในการตัดและต่อวงจรในสภาวะต่างๆ ของวงจร และการจำลองการทำงานการเปรียบเทียบระหว่างเซอร์กิตเบรกเกอร์เชิงกลกับเซอร์กิตเบรกเกอร์แบบโซลิดสเตต และสรุป

7th ECTI-CARD 2015 “รู้ค่าพลังงานและสิ่งแวดล้อมเพื่อก้าวสู่ศตวรรษที่ 21”



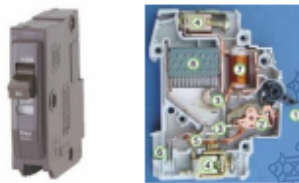
บทความวิจัย

การประชุมวิชาการ งานวิจัยและพัฒนาเชิงประยุกต์ ครั้งที่ 7

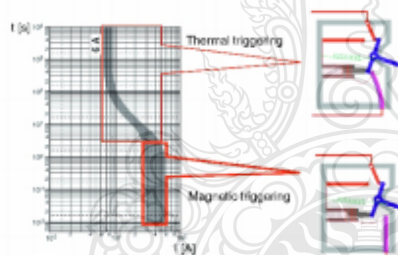
ECTI-CARD 2015, Trang, Thailand

2. เซอร์คิตเบรกเกอร์เชิงกล

เซอร์คิตเบรกเกอร์เชิงกลเป็นอุปกรณ์ป้องกันที่ใช้หน้าสัมผัสตัดและต่อวงจรเมื่อเกิดความผิดปกติของระบบไฟฟ้า หลักการทำงานของเซอร์คิตเบรกเกอร์แบบเคลื่อนที่ทางกลประกอบด้วยหน้าสัมผัสที่เคลื่อนที่ หน้าสัมผัสอยู่กับที่ ขดลวดเหนี่ยวนำ และ แคน์ โสเหะคู่ดังรูปที่ 1 โดชนชาติที่ใช้ในการเปรียบเทียบกับคัท 30(AT) แอมแปร์ 230 โวลต์



รูปที่ 1 เซอร์คิตเบรกเกอร์เชิงกล

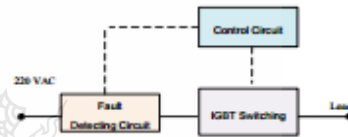


รูปที่ 2 การทำงานของเซอร์คิตเบรกเกอร์

รูปที่ 2 การทำงานของเซอร์คิตเบรกเกอร์ในช่วงของความร้อนสะสม โดยอาศัยหลักการของการขยายความร้อนของ โลหะต่างชนิดกันเมื่อได้รับกระแสมากกว่าที่คิดประมาณ 1.25 เท่าของกระแสไหลสถ ในช่วงระยะเวลาในช่วง 10-100 วินาที จึงทำอยู่ในสภาวะไหลสถเกิน ช่วงการทำงานในช่วงต่อมาเมื่อมีการเปลี่ยนแปลงของค่าอิมพีแดนซ์ลดต่ำลงจนเข้าใกล้ศูนย์หรือเกิดการลัดวงจรทำให้เกิดการเปลี่ยนแปลงของกระแสซึ่งมีผลจากการเปลี่ยนแปลงของค่าอิมพีแดนซ์ของวงจร จึงเกิดการลัดวงจรเกิดขึ้นจะทำให้เกิดกระแสลัดวงจรทำให้ขดลวดภายในของเซอร์คิตเบรกเกอร์เกิดการเหนี่ยวนำ แล้วทำให้เกิดเส้นแรงแม่เหล็กเกิดขึ้น โดยมีแรงทำให้กลไกของเซอร์คิตเบรกเกอร์ทำงาน ทำการตัดวงจรออกจากระบบหรือจำกัดพื้นที่ไม่ให้เกิดปัญหากระทบกับวงจรอื่น

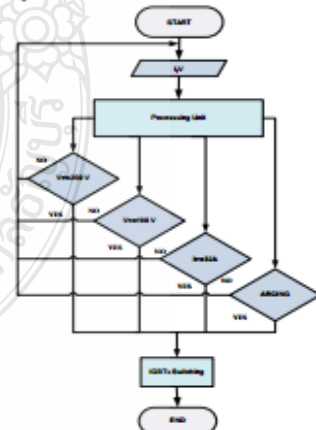
3 เซอร์คิตเบรกเกอร์แบบโซลิดสเตท

การทำงานของเซอร์คิตเบรกเกอร์แบบโซลิดสเตท จำเป็นต้องมีความปลอดภัย ความน่าเชื่อถือ มีคุณภาพและความทนทานต่อการใช้งาน เมื่อเกิดความผิดปกติของระบบไฟฟ้า หน้าทีการทำงานของเซอร์คิตเบรกเกอร์แบบโซลิดสเตทเป็นการนำเทคโนโลยีต่างๆมาใช้ และนำปัญหาของเซอร์คิตเบรกเกอร์เชิงกลที่ไม่สามารถตรวจจับหรือไม่สามารถตัดวงจรเมื่อเกิดปัญหาทางไฟฟ้า เช่นการเกิดไฟไหม้บ้านเรือน ส่วนมากจะสรุปมาจากไฟฟ้าลัดวงจรแต่ในทางไฟฟ้าถ้าเกิดการลัดวงจรจริงเซอร์คิตเบรกเกอร์ต้องมีการตัดวงจร รูปที่ 3 ส่วนการทำงานของเซอร์คิตเบรกเกอร์แบบโซลิดสเตท ประกอบด้วย 3 ส่วนหลัก ชุดการตรวจจับ ชุดประมวลผลและความคุมการทำงาน ชุดการสวิตซ์



รูปที่ 3 ส่วนการทำงานของเซอร์คิตเบรกเกอร์แบบโซลิดสเตท

การตรวจจับส่วนจะมีการตรวจจับหรือการวัดแบบเวลาจริงของกระแส แรงดัน เพื่อส่งข้อมูล ไปให้กับชุดประมวลผลเพื่อทำหน้าที่ตัดสินใจในการต่อหรือตัดวงจรเมื่อเกิดปัญหาของกระแสและแรงดัน ไฟฟ้าดังรูปที่ 4

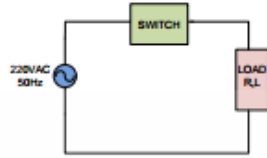


รูปที่ 4 อัลกอริทึมการทำงานของเซอร์คิตเบรกเกอร์แบบ โซลิดสเตท

บทความวิจัย

การประชุมวิชาการ งานวิจัยและพัฒนาระบบประยุกต์ ครั้งที่ 7

ECTI-CARD 2015, Trang, Thailand



รูปที่ 5 วงจรที่ใช้ในการวิเคราะห์

รูปที่ 5 การทำงานในแต่ละส่วนของเซอร์กิตเบรกเกอร์เชิงกลมีแหล่งจ่ายไฟที่ขนาด 220VAC 50Hz โหลดความต้านทานและโหลดเหนี่ยวนำ เซอร์กิตเบรกเกอร์เชิงกลสามารถนำหลักการเทคนิคของเซอร์กิตที่ใช้ในการวิเคราะห์ดัง(1)

$$L \frac{di}{dt} + Ri - Vu(t) = 0$$

โดย $t < 0$, จะได้(2)

$$\frac{di}{dt} + \frac{R}{L}i = 0$$

โดยให้ค่าแรงดันเริ่มต้นเท่ากับศูนย์ $t < 0$ และ $i = 0$ ดังนั้น $i(t) = 0$

$$\frac{di}{dt} + \frac{R}{L}i = \frac{V}{L}u(t)$$

$$\frac{di}{dt} + \frac{R}{L}i = \frac{V}{L}$$

เมื่อ $x(t) = i(t)$ และ $a = R/L$ และ $b = V/L$ ดังนั้นจะได้(5)

$$i_f(t) = \frac{b}{a} = \frac{V/L}{R/L} = \frac{V}{R}$$

$$i_n(t) = Ae^{-at} = Ae^{-Rt/L}$$

$$i(t) = i_f(t) + i_n(t) = \frac{V}{R} + Ae^{-Rt/L}$$

ให้ $t < 0$ และ $i(0) = 0$ ดังนั้นจะได้(6)

$$i(0) = \frac{V}{R} + Ae^0 = 0$$

$$i(t) = \frac{V}{R} - \frac{V}{R}e^{-Rt/L}$$

$$i(t) = \left(\frac{V}{R} - \frac{V}{R}e^{-Rt/L} \right) u(t) = \frac{V}{R}(1 - e^{-Rt/L})u(t) \quad (7)$$

ดังนั้น

$$V_R(t) = Ri(t) = V(1 - e^{-Rt/L})u(t)$$

$$V_L(t) = Vu(t) - V_R(t) = Vu(t) - V(1 - e^{-Rt/L})u(t) = Ve^{-Rt/L}u(t)$$

หาค่า $V_L(t)$ (8)

$$V_L(t) = L \frac{di(t)}{dt} = L \frac{d}{dt} \left[\frac{V}{R}(1 - e^{-Rt/L})u(t) \right] \\ = \frac{LV}{R} \left[(1 - e^{-Rt/L})\delta(t) + (-e^{-Rt/L}) \left(-\frac{R}{L} \right) u(t) \right] \quad (8)$$

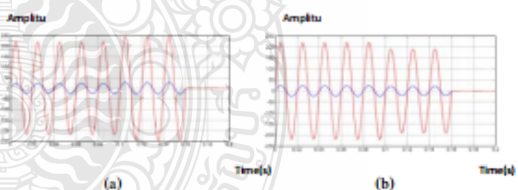
$$\text{และ } (1 - e^{-Rt/L})\delta(t) = 0$$

$$(1) \quad V_L(t) = \frac{LV}{R} \left(\frac{R}{L} e^{-Rt/L} \right) u(t) = Ve^{-Rt/L}u(t) \quad (9)$$

(8) และ (9) จะแสดงความสัมพันธ์ระหว่างค่าการเหนี่ยวนำ (L) ค่าความต้านทาน (R)

4 ผลการจำลองการทำงาน

วงจรที่ใช้ในการทดลองค่าแรงดันที่ใช้ 220 โวลต์ ความถี่ 50 เฮิร์ตซ์ ความต้านทานของโหลด 9 โอห์ม ค่าเหนี่ยวนำ 20 ไมโครเฮนรี่ รูปที่ 7 สีนี้นั้นแสดงการวัดกระแส สีแดงจะวัดแรงดัน โดยเริ่มต้นจะใช้แรงดัน 220 โวลต์ เมื่อเวลาประมาณ 100 ms จะมีการปรับแรงดันขึ้นเป็น 250 โวลต์ และลดลง 190 โวลต์ เซอร์กิตเบรกเกอร์แบบโซลิดสเตทมีการตรวจสอบความผิดปกติ จะทำการตัดวงจรเมื่อเวลา 160 ms



รูปที่ 7 การจำลองแรงดันเกิน(a)และแรงดันตก(b)ของเซอร์กิตเบรกเกอร์แบบโซลิดสเตทขณะตัดวงจร(t:20ms/div.;V:50V/div)

รูปที่ 8 เมื่อในการจะมีการจำลองการตรวจสอบกระแสเกินจะมีที่กักกระแสไม่เต็ม 32 แอมแปร์ สีนี้นั้นแสดงการวัดกระแส สีแดงจะวัดแรงดัน โดยเริ่มต้นสีนี้นั้นจะใช้กระแสใช้ในการจำลอง 12 แอมแปร์ เมื่อเวลาประมาณ 10 ms จะมีการเพิ่มโหลดอีก 20 แอมแปร์รวมเป็น 32 แอมแปร์ ทำให้เซอร์กิตเบรกเกอร์แบบโซลิดสเตทมีการตรวจสอบความผิดปกติพร้อม ใช้เวลาในการประมวลผล 60 ms โอลิมปิกจะทำการตัด

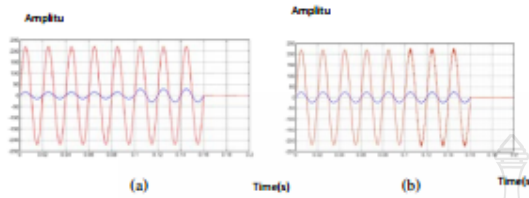
7 ECTI-CARD 2015 "ผู้กำกับงานและสิ่งแวดล้อมเพื่อก้าวสู่ศตวรรษที่ 21"



บทความวิจัย

การประชุมวิชาการ งานวิจัยและพัฒนาเชิงประยุกต์ ครั้งที่ 7

7th ECTI-CARD 2015, Trang, Thailand



รูปที่ 8 การจำลองกระแสเกิน(a)และการอาร์ค(b)ของเซอร์กิตเบรกเกอร์แบบโซลิตสแตทขณะตัดวงจร(c:20ms/div.;V:50/div)

วงจรมีเวลา 160 ms เว้นไขการจะมีการจำลองการตรวจจับการอาร์ค จะมีฟังก์ชันตรวจสอบความต่อเนื่องของลำอาร์ค โดยเริ่มต้นการใช้โพลีปกติ เมื่อเวลาประมาณ 10 ms จะมีการเพิ่มแรงดันประมาณ 5 โวลต์ ความถี่ 20-30 kHz เข้ากับแรงดันของระบบเป็นการจำลองการทำงานการเกิดการอาร์ค ทำให้เซอร์กิตเบรกเกอร์แบบโซลิตสแตทมีการตรวจสอบพบความผิดปกติ ทำการตัดวงจรเมื่อเวลา 160 ms

| การทดสอบ | พิกัด | SSCB | MCB |
|------------|------------------------|------|-----|
| กระแสเกิน | $\geq 32 \text{ A}$ | O | O |
| แรงดันเกิน | $\geq 250 \text{ VAC}$ | O | X |
| แรงดันตก | $\leq 190 \text{ VAC}$ | O | X |
| ตัดวงจร | | O | O |
| การอาร์ค | | O | X |

ตารางที่ 1 การเปรียบเทียบเซอร์กิตเบรกเกอร์เชิงกลกับเซอร์กิตเบรกเกอร์แบบโซลิตสแตทเซอร์กิตเบรกเกอร์แบบโซลิตสแตท

ตารางที่ 1 การเปรียบเทียบเซอร์กิตเบรกเกอร์เชิงกลกับเซอร์กิตเบรกเกอร์แบบโซลิตสแตทเซอร์กิตเบรกเกอร์แบบโซลิตสแตท กระแสเกินและตัดวงจรสามารถทำทั้งสองชนิด แต่แรงดันตก แรงดันเกิน และการอาร์คเซอร์กิตเบรกเกอร์เชิงกลไม่สามารถทำงานได้ ๐ คือทดสอบผ่าน x คือ ทดสอบไม่ผ่าน

5. สรุป

การเปรียบเทียบเซอร์กิตเบรกเกอร์เชิงกลกับเซอร์กิตเบรกเกอร์แบบโซลิตสแตทเซอร์กิตเบรกเกอร์แบบโซลิตสแตทจากการจำลองทำงานเซอร์กิตเบรกเกอร์แบบโซลิตสแตท กับเซอร์กิตเบรกเกอร์เชิงกลจะมีข้อแตกต่างกันคือ เมื่อมีความผิดปกติของรูปคลื่นไฟฟ้าที่เกิดขึ้น ความผิดปกติในระบบไฟฟ้า กระแสเกิน แรงดันตก แรงดันเกิน และการอาร์คในระบบจะเห็นได้ว่า เซอร์กิตเบรกเกอร์แบบโซลิตสแตทสามารถที่จะตรวจจับและสั่งการทำงานตัดวงจรไฟฟ้าเมื่อเกิดปัญหาได้อย่างถูกต้อง

รวดเร็ว แต่เซอร์กิตเบรกเกอร์เชิงกลไม่สามารถทำงานเหมือนเซอร์กิตเบรกเกอร์แบบโซลิตสแตทได้

เอกสารอ้างอิง

- [1] Supawat K, Nathabhat P, and Krischonme B, "Simulation of SSCB Using IGBTs Model based on ORCAD/PSPICE program," 11th EMSES, 2013.
- [2] Zhiping Yang, Hongkun Chen, and et al, "Dynamic Simulation of the Overvoltage for Fault Current Limiter," IEEE, 2011.
- [3] William Long and Member IEEE, "Low-voltage Powercircuit Breaker Comparison of Test Requirement," International Electro technical Commission standard. IEC 60947-2.
- [4] IEEE Standards Board, "IEEE Recommended Practice for Monitoring Electric Power Quality," IEEE Standards Coordinating Committee 22 on Power Quality.
- [5] ศุภวัฒน์ คำพิทย กฤษณ์ชานม์ ภูมิภักดีพิชญ์ และ ณฐภัทร พันธุ์คง การวิเคราะห์สัญญาณขนาดเล็กและกำลังสูญเสียของเซอร์กิตเบรกเกอร์แบบโซลิตสแตท 6h RMUTNC & 5h RMUTIC วันที่ 23-25 กรกฎาคม 2557ณ อาคารเทคโนโลยีสารสนเทศ มหาวิทยาลัยเทคโนโลยีราชมงคลสุวรรณภูมิศูนย์ทันตรา จังหวัดพระนครศรีอยุธยา
- [6] ศุภวัฒน์ คำพิทย กฤษณ์ชานม์ ภูมิภักดีพิชญ์ และ ณฐภัทร พันธุ์คง เซอร์กิตเบรกเกอร์แบบโซลิตสแตทสำหรับระบบไฟฟ้าแรงต่ำการประชุมวิชาการทางวิศวกรรมไฟฟ้าครั้งที่ 3719-21 พฤศจิกายน 2557 ณ โรงแรมพูลแมน ขอนแก่น ราชา ออคิด ขอนแก่น
- [7] ศุภวัฒน์ คำพิทย กฤษณ์ชานม์ ภูมิภักดีพิชญ์ และ ณฐภัทร พันธุ์คง การวิเคราะห์สัญญาณขนาดเล็กของเซอร์กิตเบรกเกอร์แบบโซลิตสแตทสำหรับระบบไฟฟ้า 1 เฟส การประชุมวิชาการเครือข่ายวิศวกรรมไฟฟ้ามหาวิทยาลัยเทคโนโลยีราชมงคล ครั้งที่ 6 26-28 มีนาคม 2557 ณ โรงแรมปาร์กแอนด์สปาร์ตอร์ จังหวัดกระบี่



การประชุมวิชาการทางวิศวกรรมไฟฟ้าครั้งที่ 37
The 37th Electrical Engineering Conference
(EECON-37)

วันที่ 19-21 พฤศจิกายน 2557 ณ โรงแรมพูลแมน ขอนแก่น ราชา ออคิด

ABSTRACTS
รวมบทความย่อ



ภาควิชาวิศวกรรมไฟฟ้า คณะวิศวกรรมศาสตร์
มหาวิทยาลัยขอนแก่น
KHON KAEN UNIVERSITY





คณะกรรมการดำเนินงาน
การประชุมวิชาการทางวิศวกรรมไฟฟ้า ครั้งที่ 37



ฝ่ายประสานงานผู้ทรงคุณวุฒิพิจารณาบทความ

รศ. ดร. วิระสิทธิ์ อิ่มถวิล ประธานฝ่าย

รศ. ดร. นันทกานต์ วงศ์เกษม

รศ. ดร. พีระยศ แสนโกชน์

รศ. ดร. ราชวดี ศิลาพันธ์

รศ. อำนาจ สุขศรี

รศ. กิตติพงษ์ ตันมิตร

รศ. บุญเจริญ วงศ์กิตติศึกษา

รศ. เรวัตน์ เหล่าไพบูลย์

ผศ. ดร. อานุกาฬ มีสมบูรณ์

ผศ. ดร. นภัสส์ ไตรโรจน์

ผศ. ดร. ปานหทัย บัวศรี

ผศ. ดร. อาคม แก้วระวัง

ผศ. ดร. บุญยิ่ง เจริญ

ผศ. ดร. บุญเรือง มะรังศรี

ผศ. ดร. นิวัตร์ อังควิษณุพันธ์

ผศ. ดร. สุชาติ แย้มเม่น

อ. ดร. สถาพร พรพรหมลิขิต

อ. ดร. ภัทรวิทย์ พลพิณิจ

อ. ดร. ชัยภัฏ วรรณะสาร

อ. ดร. สุรภาพ รายนาค

อ. ดร. มนต์วี แก่นอำพรพันธ์

อ. วราวุธ คัมภีราวัฒน์

อ. จงกฤษฏี จงอุดมการณ์

นางคำภา วงษ์คำอูด

ฝ่ายจัดหาผู้สนับสนุน

ผศ. ดร. ประมินทร์ อัจฉฤทธิ์ ประธานฝ่าย

ศ. ดร. อภิรัฐ ศิริธราธิวัตร

รศ. ดร. วิระสิทธิ์ อิ่มถวิล

รศ. กิตติพงษ์ ตันมิตร

ผศ. ดร. จีรบุษ เสงี่ยมศักดิ์

นายเกียรติศักดิ์ คำภักดี

นางบุญส่ง ชมทรัพย์เจริญ

ฝ่ายพิธีการ

ผศ. ดร. จีรบุษ เสงี่ยมศักดิ์ ประธานฝ่าย

อ. ดร. สถาพร พรพรหมลิขิต

นางบุญส่ง ชมทรัพย์เจริญ

นางสาวบุษราภรณ์ อินทร์ตาแสง

นางสาวทิพากร ชัยสงค์

นางสาวจากรุณี นวลบุญมา

นางสาวสุนันทา มัครมย์

นายธีรวัตร อนิวรรณเมธี

นายพิพัฒน์พงศ์ พันธุ์รัตน์

Session PE-10 Modeling and Energy Storage

วันศุกร์ที่ 21 พฤศจิกายน 2557 10:30 – 12:00

ห้องจัดสรรที่ 2

PE044 เซอร์กิตเบรกเกอร์แบบโซลิตสเททสำหรับระบบไฟฟ้าแรงต่ำ

ศุภวัฒน์ คำทิพย์ กฤษณ์ชนม์ ภูมิภคดิพิชญ์ ณัฐภัทร พันธังค

บทความนี้นำเสนอผลการจำลองและทดสอบเซอร์กิตเบรกเกอร์แบบโซลิตสเททที่ได้มาจากการวิเคราะห์สัญญาณขนาดเล็กของวงจรถักไอจีบีทีที่อยู่ภายในตัวเซอร์กิตเบรกเกอร์แบบโซลิตสเททสำหรับระบบไฟฟ้าแรงต่ำ 1 เฟสขณะทำการสวิตซ์ตัดและต่อวงจร โดยการนำไอจีบีทีมาทำการสวิตซ์มีข้อดีคือความรวดเร็วในการทำงานและไม่มีการอาร์คเกิดขึ้นเมื่อมีการสวิตซ์ตัดและต่อวงจร การวิเคราะห์การสวิตซ์ของเซอร์กิตเบรกเกอร์ได้นำโมเดลทางคณิตศาสตร์มาทำการวิเคราะห์โดยมีการคำนวณจากการหาค่าพารามิเตอร์ภายในอุปกรณ์หาค่าสัญญาณขนาดเล็กของฟังก์ชันถ่ายโอนของเซอร์กิตเบรกเกอร์แบบโซลิตสเทท และมีการจำลองและทดสอบการทำงานของเซอร์กิตเบรกเกอร์แบบโซลิตสเทท และอัลกอริทึมการตรวจจับแรงดัน, กระแส, ความถี่ และการอาร์คของตัวเซอร์กิตเบรกเกอร์แบบโซลิตสเทท โดยการจำลองและทดสอบซึ่งประกอบด้วยเงื่อนไขการทดสอบ แรงดันเกิน, แรงดันตก, กระแสเกินและการอาร์ค และผลการจำลองและทดสอบเป็นที่น่าพอใจซึ่งเป็นไปตามเงื่อนไขที่กำหนด

PE045 การวิเคราะห์และการออกแบบวงจรแปลงผันไฟตรง-ไฟตรงแบบทบทแรงดันร่วมกับทิศทางที่มีอัตราขยายสูง

ชยภัทร ประไพพรเลิศ และ พิสิษฐ์ ลีธรรณกุล

บทความนี้นำเสนอการวิเคราะห์และการออกแบบวงจรแปลงผันไฟตรง-ไฟตรงแบบทบทแรงดันร่วมกับทิศทางที่มีอัตราขยายสูง (HGIBFC) ซึ่งเป็นวงจรที่ถูกดัดแปลงมาจากวงจรแปลงผันไฟตรง-ไฟตรงแบบทบทแรงดันร่วมกับทิศทาง (IBFC) เดิม เพื่อที่จะลดความเครียดแรงดันไฟฟ้าที่ไดโอด และตัวเก็บประจุทางด้านเอาต์พุตลงโดยขดลวดเหนี่ยวนำของหม้อแปลงได้ถูกกระจายออกเป็นขดเล็ก ๆ จำนวน 4 ขด โดยใช้โปรแกรม LT Spice IV ตรวจสอบการวิเคราะห์ห้วงจรตามทฤษฎี ซึ่งนำเสนอผ่านวงจร HGIBFC ที่มีขนาดพิกัดกำลังไฟฟ้าเอาต์พุต = 150 W แรงดันอินพุต = 12 VDC แรงดันเอาต์พุต = 400 VDC และความถี่สวิตซ์ = 25 kHz จากการจำลองวงจรพบว่าสามารถลดแรงดันตกคร่อมไดโอดขณะหยุดนำกระแสได้จาก 684 V เหลือเพียง 169 V และสามารถลดแรงดันตกคร่อมตัวเก็บประจุเอาต์พุตจาก 389 V เหลือเพียง 97 V (ลดได้ถึง 75%) แต่ต้องแลกกับจำนวนอุปกรณ์ที่เพิ่มขึ้น ทำให้สามารถเลือกใช้อุปกรณ์ที่มีขนาดพิกัดต่ำกว่าได้ ซึ่งจะส่งผลต่อต้นทุนการผลิตอีกด้วย อย่างไรก็ตามในทางปฏิบัติควรพิจารณาค่าใช้จ่ายต่าง ๆ ที่อยู่ในหม้อแปลง ซึ่งอาจจะส่งผลกระทบต่อการทำงานของวงจร ซึ่งนั้นจะถูกนำมาพิจารณาในโอกาสต่อไป

เซอร์กิตเบรกเกอร์แบบโซลิตสเทคสำหรับระบบไฟฟ้าแรงต่ำ Solid State Circuit Breaker for Low Voltage System.

ศุภวัฒน์ คำพิชัย คุณณัฏชานันท์ ภูมิภักดิ์พิชญ์ ณัฐภัทร พันธุ์คง

ศูนย์วิจัยระบบไฟฟ้ากำลังและพลังงาน ภาควิชาวิศวกรรมไฟฟ้า คณะวิศวกรรมศาสตร์ มหาวิทยาลัยเทคโนโลยีราชมงคลธัญบุรี
39 หมู่ 1 ตำบลคลองหก อําเภอลาดหลุมแก้ว จังหวัดปทุมธานี 12110 Tel: 0-2549-3571 Fax: 0-2549-3422 E-mail: krischonme.b@en.nmutt.ac.th

บทคัดย่อ

บทความนี้นำเสนอผลการจำลองและทดสอบเซอร์กิตเบรกเกอร์แบบโซลิตสเทคที่ได้มาจากการวิเคราะห์สัญญาณขนาดเล็กระยะเวลาสั้นๆ ที่อยู่ในตัวเซอร์กิตเบรกเกอร์แบบโซลิตสเทคสำหรับระบบไฟฟ้าแรงต่ำ 1 เฟสขณะทำการสวิตช์ตัดและต่อวงจร โดยการนำไอซีที่มีฟังก์ชันการสวิตช์ซึ่งคือความเร็วในการทำงานและไม่มีการอาร์คเกิดขึ้นเมื่อมีการสวิตช์ตัดและต่อวงจร การวิเคราะห์การสวิตช์ของเซอร์กิตเบรกเกอร์ได้นำมาทดลองทางคณิตศาสตร์มาทำการวิเคราะห์โดยมีการคำนวณการไหลค่าพารามิเตอร์ภายในอุปกรณ์มาหาสัญญาณขนาดเล็กระยะเวลาสั้นๆ ของเซอร์กิตเบรกเกอร์แบบโซลิตสเทค และมีการจำลองและทดสอบการทำงานของเซอร์กิตเบรกเกอร์แบบโซลิตสเทค และอัลกอริทึมในการตรวจนับแรงดัน, กระแส, ความถี่ และการอาร์คของตัวเซอร์กิตเบรกเกอร์แบบโซลิตสเทค โดยการจำลองและทดสอบซึ่งประกอบด้วยเงื่อนไขการทดสอบแรงดันเกิน, แรงดันตก, กระแสเกินและการอาร์ค และผลการจำลองและทดสอบเป็นที่น่าสนใจและเป็นไปตามเงื่อนไขที่กำหนด

คำสำคัญ: เซอร์กิตเบรกเกอร์แบบโซลิตสเทค, ความผิดปกติ

Abstract

The paper is proposed a small signal analysis of single-phase of Solid State Circuit Breaker (SSCB) for low voltage level of suddenly switching. The SSCB is growly developed by using the power electronics switching devices. The rapid operation and arcless are proposed on the power protection mainly devices that can operation under malfunction. The SSCB is mostly based on IGBTs switching device can be modeled on small signal averaging model by using turn-on and turn off conditions. The gate drive signals of IGBTs are generated by using malfunction detection technique. The small signal can be calculated by using Mathematical model for analysis transient and steady state conditions. The results found that SSCB can be operated under several testing condition and voltage and current signal can be express as reality behavior at turn-on and turn-off condition according to internal parasitic parameter of IGBTs and load. Experimental results can shown that current and voltage wave form in this paper.

Keywords: Solid State Circuit Breaker (SSCB), Small signal Average Model

1. คำนำ

การศึกษาระบบไฟฟ้าแรงดันต่ำ พฤติกรรมการทำงานของเซอร์กิตเบรกเกอร์แรงดันต่ำที่มีอยู่ในปัจจุบัน มีข้อดีหลายประเด็น ซึ่งเซอร์กิตเบรกเกอร์ที่มีใช้ในปัจจุบันได้มีการนำเทคโนโลยีต่างๆ มาใช้เพื่อให้คุณสมบัติ และประสิทธิภาพในการทำงานที่ดีที่สุด ซึ่งสัญญาณที่ต้องการในระบบไฟฟ้า คือ ความเร็วขณะทำงาน ไม่ทำให้เกิดแรงดันเกินสูงและสามารถทำงานได้อย่างมั่นใจ

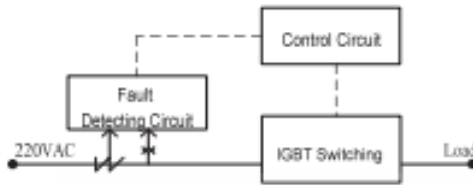
บทความ(1) นำมาเสนอการจำลองการทำงานเซอร์กิตเบรกเกอร์แบบโซลิตสเทคโดยใช้ ORCAD/PSPICE การจำลองการทำงานมีอุปกรณ์ป้องกันเพื่อลดความเสียหายที่เกิดขึ้นกับระบบไฟฟ้า และช่วยลดปัญหาที่นำไปเกิดเพลิงไหม้ที่สาเหตุมาจากปัญหาด้วย บทความ(2) เป็นการทดสอบเซอร์กิตเบรกเกอร์แรงดันต่ำ เมื่อเกิดการอาร์คที่หน้าสัมผัสของเซอร์กิตเบรกเกอร์และยกยัดประกายไฟ ตามมาตรฐาน IEEE 1584 โดยทำการทดสอบเซอร์กิตเบรกเกอร์แรงดันต่ำของหลายบริษัทผู้ผลิต บทความ(3) เป็น การจำลองสัญญาณรบกวนของแรงดันเมื่อในระบบเกิดการเปลี่ยนแปลงขึ้น ตามช่วงเวลาของการเกิดการเปลี่ยนแปลงของแรงดัน มีการใช้ค่าจำกัดความของกฎเกิดการเปลี่ยนแปลงของแรงดันแต่ละเหตุการณ์ เพื่อให้มีความเข้าใจต่อเหตุการณ์ และใช้ศัพท์คำจำกัดความเป็นในแนวทางเดียวกันตามมาตรฐานของ IEEE 1159 - 1995, 1995 เป็นการนำเสนอการวิเคราะห์การเกิดการสวิตจิงในระบบไฟฟ้าโดยที่มีการต่อเซอร์กิตเบรกเกอร์เพื่อใช้งานในระบบโดยมีค่าพารามิเตอร์ในการคำนวณหรือจากระบบ

บทความนี้จึงนำเสนอเซอร์กิตเบรกเกอร์แบบโซลิตสเทคสำหรับระบบไฟฟ้า 1 เฟส ซึ่งกล่าวถึงอัลกอริทึมการทำงานในการตัดและต่อวงจรในสภาวะต่างๆ ของวงจร และวงจรสมมูลของเซอร์กิตเบรกเกอร์แบบโซลิตสเทคผลการจำลองและทดสอบการทำงาน และสรุป

2. เซอร์กิตเบรกเกอร์แบบโซลิตสเทค

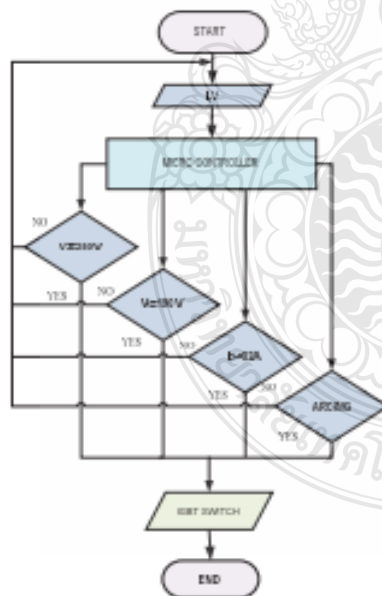
โครงสร้างภายในของเซอร์กิตเบรกเกอร์แบบโซลิตสเทคประกอบด้วยไอซีที่มี 2 ตัว

PE044



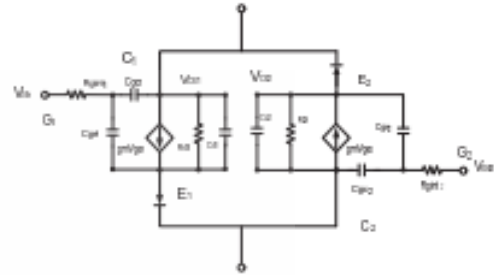
รูปที่ 1 โครงสร้างภายในของเซอร์กิตเบรกเกอร์แบบโซลิตสแตท

โครงสร้างภายในของเซอร์กิตเบรกเกอร์แบบโซลิตสแตท ประกอบด้วยไอซีบีที 2 ตัว ทำหน้าที่นำกระแสไฟฟ้าผ่านลบและด้านบวกและทำหน้าที่ในการตัดและต่อวงจร ซึ่งจะมีวงจรควบคุมการไหลของตัว ไอซีบีที โดยจะรับคำสั่งจากตัวประมวลผล ถ้าเป็นไปตามเงื่อนไขที่กำหนดจะสั่งให้ไอซีบีทีที่ตัดหรือต่อ การทำงานของไอซีบีที เป็นไปตามอัลกอริทึมของการตรวจสอบของเซอร์กิตเบรกเกอร์แบบ โซลิตสแตท ประกอบด้วยตรวจสอบแรงดัน ตรวจสอบกระแส และส่งสัญญาณมาที่ไมโครคอนโทรลเลอร์ ประมวลผล อัลกอริทึมของการตรวจสอบรูปที่ 2 จะมีการตรวจสอบโดยรับค่าจากสัญญาณที่เกิดจากการวัดความผิดปกติของกระแสและแรงดันของระบบไฟฟ้าและประมวลผลตามเงื่อนไขของแรงดันตกแรงดันเกิน กระแสเกินและการเกิดการอาร์คของวงจร ถ้ามีและเป็นไปตามเงื่อนไขจะสั่งให้วงจรจับทำงาน วงจร ไอซีบีทีทำการตัดวงจร



รูปที่ 2 อัลกอริทึมการทำงานในการตัดและต่อวงจร

3. วงจรสมมูลของเซอร์กิตเบรกเกอร์แบบโซลิตสแตท
การวิเคราะห์วงจรของเซอร์กิตเบรกเกอร์แบบ โซลิตสแตท ประกอบด้วย R_{on} , C_{on} , C_{off} , g_mV_{gs} , R_{off} และ C_{off}

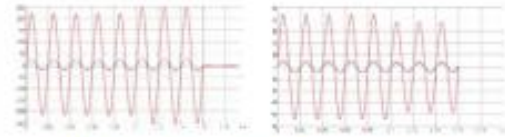


รูปที่ 3 วงจรสมมูลของเซอร์กิตเบรกเกอร์แบบโซลิตสแตทประกอบด้วยตัวแปร นิพจน์ต่างๆภายในไอซีบีที

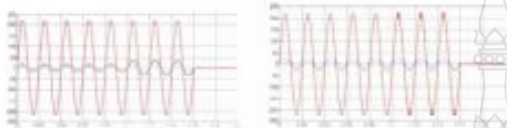
รูปที่ 3 วงจรสมมูลของเซอร์กิตเบรกเกอร์แบบโซลิตสแตทซึ่งประกอบด้วยตัวขั้วขั้วอิเล็กทรอนิกส์กำลัง โดยไอซีบีทีเป็นตัวตัดและต่อวงจร และแสดงค่าความต้านทานและค่าตัวเก็บประจุภายในของ ไอซีบีทีที่มีวงจรวิเคราะห์โดยนำเอาพารามิเตอร์มาใช้ในการแก้ปัญหาของวงจรของเซอร์กิตเบรกเกอร์แบบโซลิตสแตทในสถานะชั่วคราว ซึ่งเป็นการแปลงจากที่เก็บประจุเวลาไปเป็นฟังก์ชันความถี่เชิงซ้อน จากนั้นจัดรูปของสมการ ให้เหมาะสมแล้วแก้สมการเป็นฟังก์ชันของเวลาอีกครั้งเป็นเทอเรียลฟังก์ชันด้วยโอเนของวงจร

$$\begin{bmatrix} \frac{dV_{in}}{dt} \\ \frac{dV_{out}}{dt} \end{bmatrix} \begin{bmatrix} \frac{1}{R_1 + C_1(s) + C_2(s)} + \frac{1}{R_2 + C_3(s) + C_4(s)} & -C_5(s) - C_6(s) \\ g_m - C_5(s) + g_m - C_6(s) & C_5(s) + \frac{1}{R_2 + C_3(s) + C_4(s)} + \frac{1}{R_1 + C_1(s) + C_2(s)} \end{bmatrix} \begin{bmatrix} V_{in}(s) \\ V_{out}(s) \end{bmatrix} \quad (1)$$

ดังนั้นจากสมการที่ (1) สามารถหาค่าฟังก์ชันด้วยโอเนของแรงดันด้านออก การทำงานของเซอร์กิตเบรกเกอร์แบบโซลิตสแตทสำหรับระบบไฟฟ้า 1 เฟส 220 โวลต์ 50 เฮิรตซ์ ขนาดโหลด 9 โหลัม 20 ไมโครเฮิรตซ์ การจำลองจะมีการตรวจสอบแรงดันเกิน เมื่อแรงดันจะมีค่ามากกว่าหรือเท่ากับ 250 โวลต์และแรงดันตกจะมีค่าน้อยกว่าหรือเท่ากับ 190 โวลต์ รูปที่ 4 สีนี้นั้นแสดงการวัดกระแส สิ้นลงจะวัดแรงดัน โดยเริ่มต้นจะใช้รดับัน 220 โวลต์ เมื่อเวลาประมาณ 100 ms จะมีการปรับแรงดันขึ้นเป็น 250 โวลต์ และลดลง 190 โวลต์ เซอร์กิตเบรกเกอร์แบบโซลิตสแตทมีการตรวจสอบพบความผิดปกติของ ไอซีบีทีจะทำการตัดวงจรเมื่อเวลา 160 ms



รูปที่ 4 การจำลองการเดินกับและแรงดันตกของเซมิคอนดักเตอร์แบบไอซิลิคสเตทขณะ
สัปดาห์แรก (20ms/div, V:50div)



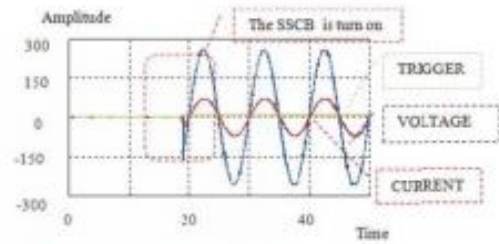
รูปที่ 5 การจำลองกระแสกินและการสวิตช์ของเซมิคอนดักเตอร์แบบไอซิลิคสเตทขณะ
สัปดาห์แรก (20ms/div, V:50div)

รูปที่ 5 เมื่อไฟการจะมีการจำลองการตรวจสอบกระแสกินจะมี
พิกัดกระแสไม่เกิน 32 แอมแปร์ สิ้นเงินแสดงการวัดกระแส สิ้นลงจะวัด
แรงดันโดยเริ่มต้นสิ้นเงินจะใช้กระแสใช้ในการจำลอง 12 แอมแปร์ เมื่อ
เวลาประมาณ 10 ms จะมีการเพิ่มโวลต์อีก 20 แอมแปร์รวมเป็น 32
แอมแปร์ ทำให้เซมิคอนดักเตอร์แบบไอซิลิคสเตทมีการตรวจสอบ
ความคิดพร้อม ใช้เวลาในการประมาณ 60 ms ไอจีบีทีจะทำการตัด
วงจรเป็นเวลา 160 ms เมื่อไฟการจะมีการจำลองการตรวจสอบกระแส
จะมีพิกัดการตรวจสอบความถี่ของไอจีบีที โดยเริ่มต้นการใช้
โวลต์ปกติ เมื่อเวลาประมาณ 10 ms จะมีการเพิ่มแรงดันประมาณ 5
โวลต์ ความถี่ 20-30 kHz เข้ากับแรงดันของระบบเป็นการจำลองการ
ทำงานการเกิดการรบกวน ทำให้เซมิคอนดักเตอร์แบบไอซิลิคสเตทมีการ
ตรวจสอบความคิดพร้อม ไอจีบีทีจะทำการตัดวงจรเป็นเวลา 160 ms

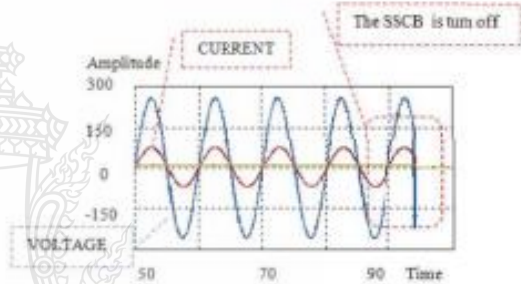
4. ผลการทดลองและทดสอบ

ผลการจำลองและทดสอบเซมิคอนดักเตอร์แบบไอซิลิคสเตทสำหรับ
ระบบไฟฟ้า 1 เฟสได้นำโมเดลทางคณิตศาสตร์มาทำการ คำนวณหาค่า
สภาวะชั่วคราวและสภาวะคงตัว เมื่อมีการเริ่มทำงานของเซมิคอนดักเตอร์
แบบไอซิลิคสเตทจะมีการเชื่อมต่่วงของไอจีบีทีที่เกิดสภาวะชั่วคราว
ของกระแสไฟฟ้าและต่อมาที่จะเกิดสภาวะคงตัวของวงจร การกำหนด
ค่าพารามิเตอร์ในการจำลองการทำงานของเซมิคอนดักเตอร์ที่ได้จาก
คู่มือของ ไอจีบีที มีการกำหนดค่าในการคำนวณค่าความต้านทานและ
ค่าตัวเก็บประจุภายในตัวไอจีบีทีที่เซมิคอนดักเตอร์ ผลการจำลองการ
ต่อวงจรของเซมิคอนดักเตอร์ ผลการจำลองที่ได้จากการวัดสัญญาณ
ขนาดเล็กลงและ โวลต์ กระแสภายใน ไอจีบีทีที่ผ่านส่วนที่สำคัญที่มีผลต่อ
สัญญาณในการวัดได้ ดังแสดงในรูปที่ 6 สัญญาณเริ่มทำงาน 18 ms
จนถึง 50 ms เมื่อเซมิคอนดักเตอร์แบบไอซิลิคสเตทเริ่มทำงาน จะมี
สภาวะชั่วคราวที่เกิดจากค่าพารามิเตอร์ภายในของ ไอจีบีทีและค่า

อินพุตเด่นของโวลต์ ค่าแรงดันที่ใช้ 220 โวลต์ ความถี่ 50 เฮิรตซ์ และ
ค่าความต้านทานของโวลต์ 9 โอห์ม ค่าหน่วยเป็น 20 ไมโครแอมป์

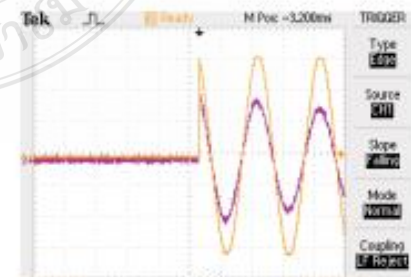


รูปที่ 6 การจำลองของเซมิคอนดักเตอร์แบบไอซิลิคสเตทขณะสัปดาห์
(5ms/div, V:200div)

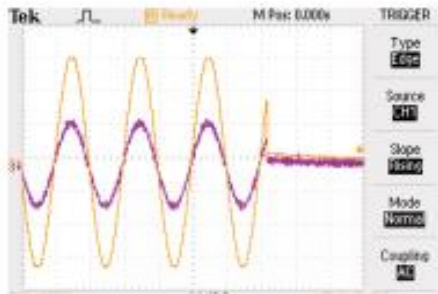


รูปที่ 7 การจำลองของเซมิคอนดักเตอร์แบบไอซิลิคสเตทขณะสัปดาห์
(5ms/div, V:200div)

ผลการจำลองของเซมิคอนดักเตอร์แบบไอซิลิคสเตทด้วยวงจร เมื่อ
วางอยู่ในสภาวะคงตัวจาก 50 ms ถึง 95ms มีการตัดวงจรในรูปที่ 7 การ
วัดผลการทดสอบของเซมิคอนดักเตอร์แบบไอซิลิคสเตทขณะต่อวงจร
แบบสภาวะปกติ ค่ากระแสแสดงที่สัญญาณสัญญาณ ค่าแรงดันจะแสดง
สัญญาณสัญญาณที่ใช้ทดสอบ 220 โวลต์ ความถี่ 50 เฮิรตซ์ โวลต์ขนาด
200 โวลต์ ดังรูปที่ 8 การวัดตอนเริ่มต้นจะใช้สัญญาณในการจับ
สัญญาณเริ่มต้นของเซมิคอนดักเตอร์แบบไอซิลิคสเตทตอนทำงาน



รูปที่ 8 การทดสอบของเซมิคอนดักเตอร์แบบไอซิลิคสเตทขณะต่อวงจร
(5ms/div, 100.5A/div)



รูปที่ 9 การทดสอบของเซมิคอนดักเตอร์แบบ ไอซิดิสเซทขณะเกิดวงจร
(0.5cm/div , 10.5A/div)



รูปที่ 10 เซมิคอนดักเตอร์แบบ ไอซิดิสเซทที่ใช้ทดสอบ

ผลการทดสอบของเซมิคอนดักเตอร์แบบ ไอซิดิสเซทขณะเกิด
วงจร เมื่อวงจรอยู่ในสภาวะคงตัว มีการสัดวงจรในรูปที่ 9 ดังนั้นการ
เปรียบเทียบการทดสอบและการทดลองในห้องปฏิบัติการมีความ
ใกล้เคียงกันมาก รูปที่ 10 แสดงชุดทดสอบของเซมิคอนดักเตอร์แบบ ไอ
ซิดิสเซท ประกอบไปด้วยชุดการทดสอบแรงดันตกและแรงดันเกิน ชุด

การทดสอบการอาร์คในน้ำและผงคาร์บอน ชุดทดสอบกระแสเกิน และ
โหนดทดสอบแบบต่างๆ ในศูนย์วิจัยระบบไฟฟ้าและพลังงานทดแทน

5. สรุป

จากผลการจำลองและทดสอบการทำงานเซมิคอนดักเตอร์
แบบ ไอซิดิสเซท เมื่อมีความผิดปกติของรูปคลื่นไฟฟ้าที่เกิดขึ้น เช่น
ความผิดปกติในระบบไฟฟ้า กระแสเกิน แรงดันตก แรงดันเกิน และการ
การอาร์คในระบบไฟฟ้า จะเห็นได้ว่า เซมิคอนดักเตอร์แบบ ไอซิดิสเซท
ที่สามารถที่จะตรวจขึ้นและสั่งการทำงานตัดวงจรไฟฟ้าเมื่อเกิดปัญหาได้
อย่างถูกต้องตามที่ออกแบบไว้

เอกสารอ้างอิง

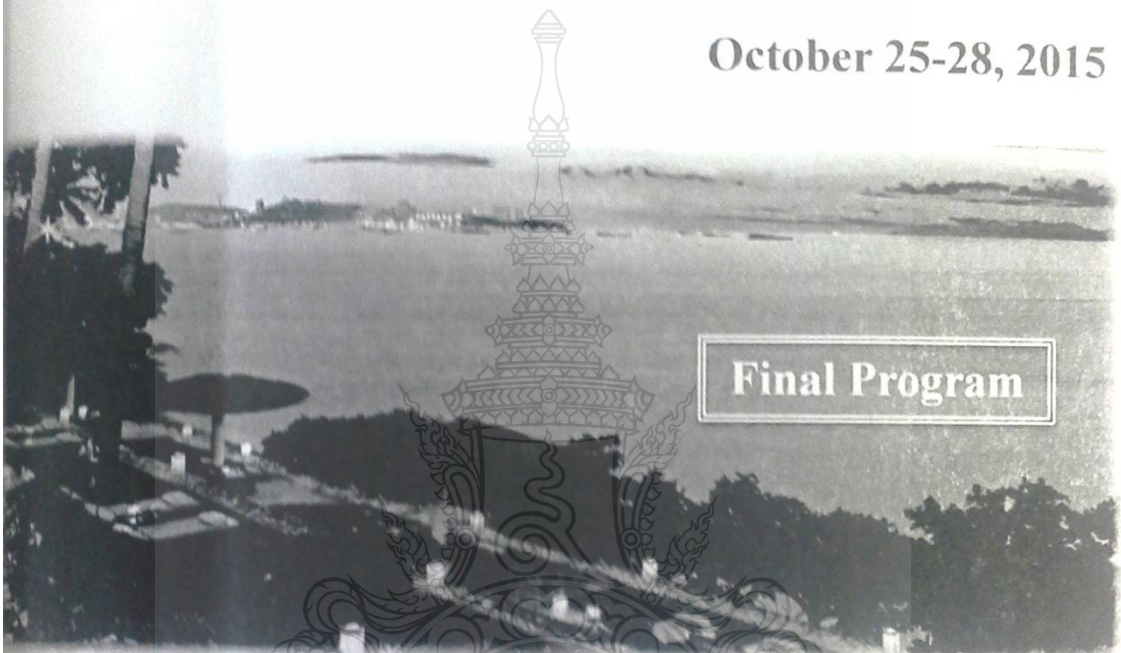
- [1] Supawat K, Nathabhat P, and Krischonme B, "Simulation of SSCB Using IGBTs Model based on ORCAD PSpice program," 11th EMSes, 2013.
- [2] Zhiping Yang, Hongkun Chen, and et al, "Dynamic Simulation of the Overvoltage for Fault Current Limiter," IEEE, 2011.
- [3] William Long and Member IEEE, "Low-voltage Powercircuit Breaker Comparison of Test Requirement," International Electro technical Commission standard. IEC 60947-2.
- [4] IEEE Standards Board, "IEEE Recommended Practice for Monitoring Electric Power Quality," IEEE Standards Coordinating Committee 22 on Power Quality, IEEE STD 1159-1995, Approved 1995.
- [5] Vineeta Agarwal, "A Mathematical Model for IGBT," Asian Power Electronics Journal, Vol2, No 1Apr 2008.









The 18th International Conference
on Electrical Machines and Systems
Pattaya City, Thailand

ICEMS 2015

October 25-28, 2015



Final Program

- Sponsored by :  EEAAT (Electrical Engineering Academic Association (Thailand))
- Organized By :  EEAAT (Electrical Engineering Academic Association (Thailand))
IEEE Joint IAS/IES/PELS Thailand Chapter
- Co-Organized By :  CES (China Electrotechnical Society)
 IEEJ (The Institute of Electrical Engineers of Japan)
 KIEE (The Korean Institute of Electrical Engineers)
- Technical Co-Sponsor :  IEEE Industry Applications Society

ICEMS 2015 PATTAYA, THAILAND

1

| | |
|---------|--|
| 27P5-5 | Asymmetric Fault Ride-Through Characteristic Analysis of Dual Stator-Winding Induction Generator Wind Power System Kai Shi, Zengqiang Wan, Peifeng Xu, Kerong Liu <i>School of Electrical and Information Engineering, Jiangsu University, Zhenjiang, China</i> |
| 27P5-6 | Steady-State Voltage Stability Analysis and Improvement Strategies of Microgrid With Double Fed Induction Wind Generator Zhuoli Zhao, Ping Yang, Timothy_C. Green, Yiwei Ma, Zhirong Xu <i>School of Electric Power, South China University of Technology, China; Department of Electrical and Electronic Engineering, Imperial College London, U.K.</i> |
| 27P5-7 | Zero Dead-time PWM Implementation Method for Reducing Total Harmonic Distortion in 3-Level NPC Inverter Yong Kan, Seung-Wook Hyun, Seok-Jin Hong, Chung-Yuen Won <i>Sungkyunkwan University, South Korea</i> |
| 27P5-8 | Analysis of DC Bus Overvoltage in Parallel Photovoltaic Systems Lan Wang, Zhenxing Wu, Liang Zhou, Jun Kang <i>National Key Laboratory for Vessel Integrated Power System Technology, Naval University of Engineering, China</i> |
| 27P5-9 | Fuzzy control strategy of energy storage for Wind-Storage System Xiao Yang, Chunjuan Jia, Pei Zhang, Fengjun Yi, Zike Sun <i>College of Electrical Engineering, Shandong University, China</i> |
| 27P5-10 | The Operating Method of Micro-grid including Distributed Power Min-Ho Shin, Kyu-Bum Kim, Young-Hoon Park, Chung-Yuen Won <i>Sungkyunkwan University, South Korea</i> |

Session 27P6 Various Topics of Machines, Electric Vehicles and Cooling Techniques

Time: Poster Sessions Start at 9:15 and End at 11:50, October 27, Tuesday

Session Chair : Dr. Chonlatee Photong

Venue: Foyer 2

| | |
|--------|--|
| 27P6-1 | Comparison between Mechanical Circuit Breaker and Solid State Circuit Breaker under Abnormal Conditions for Low Voltage Systems Supawal Kamup, Krischonme Bhunkittipich <i>Rajamangala University of Technology Thanyaburi, Thailand</i> |
| 27P6-2 | Operating Characteristics of Different Inner Evaporative Cooling Systems of generators Haihong Dong, Lin Ruan, Shuqin Guo <i>Institute of Electrical Engineering, Chinese Academy of Sciences, Beijing, P.R. China</i> |

ICEMS 2015 PATTAYA, THAILAND

Comparison between Mechanical Circuit Breaker and Solid State Circuit Breaker under Abnormal Conditions for Low Voltage Systems

Supawat Kamtip* and Krischonme Bhumkittipich†
 Department of Electrical Engineering, Faculty of Engineering,
 Rajamangala University of Technology Thanyaburi, Thailand

Abstract — This paper presents the comparison between mechanical circuit breaker and solid state circuit breaker under abnormal conditions for low voltage systems. According to the mechanical circuit breaker, the operation was limited on the fault types, detection method and operation error. The solid state circuit breaker is proposed to protect those events using Thyristor as switching device and detection controller in single phase power system. The design shows the operation scheme under 220V, 30A rating by using in low voltage system for supporting the smart home in the future. The simulation result showed that the comparison between mechanical circuit breaker and solid state circuit breaker under abnormal conditions. The paper can verify that this study can be designed the method of novel solid state circuit breaker for future applications.

Index Terms—mechanical circuit breaker, solid state circuit breaker, Thyristor, low power system, smart home.

I. INTRODUCTION

The power distribution system is currently operated under serious consideration by power system engineers in order to maintain the power system stability. The future electrical power requirements are expected to support power transmission capable of integrating a range of conventional sources, alternative sources and storage systems, with a range of voltages, frequencies, and power levels. The new energy management system or “smart-grid” was introduced into power system. The management system of generation, transmission and demand side were controlled under the concept of bidirectional power and bidirectional communication system. The smart protection device is also integrated into smart-grid for improving the novel power system protection.

In the past, the mechanical circuit breaker (MCB) is the power protection device that is used to detect the abnormal condition in low voltage systems. The MCB is a switching device which can open or close a circuit in a small fraction of time, being its purpose the establishment or

interruption of the circulation of current through the circuit under usual or unusual working conditions [1]. The interruption process of the current in a MCB is always carried out by an electric arc. This process begins when the movable contact starts to separate between electric source and load. As a consequence, the contact area between contacts decreases and current density gets larger, until the energy associated with this process causes the metal of the contacts to begin to vaporize and an arc appears. In spite of the existence of a physical separation of the switching contacts, the established arc makes possible that current continues flowing. Therefore, the current interruption involves the extinction of the electric arc, which is achieved when the interrupting medium between contacts becomes again an isolating medium [1]. Fig. 1 shows two modes operation of MCB; namely, turn-on operation and turn-off operation. First mode, the MCB contact is turned-on which the operating mechanism held in place the trip mechanism. When the faulted occurred, the trip mechanism is operated and the MCB contacted is turned-off.

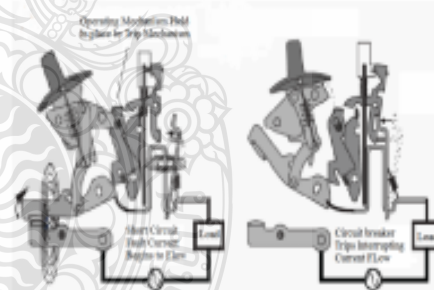


Fig.1. Operation of mechanical circuit breaker under turn-on and turn-off [3].

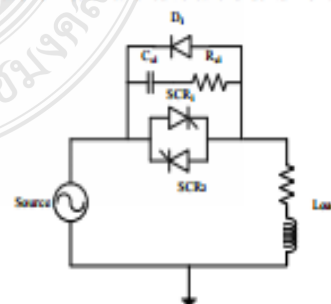


Fig.2. Equivalent circuit of solid state circuit breaker.

*Supawat Kamtip is Master Student in Electrical Engineering with CoE on Research and Teaching in Power and Energy System, Department of Electrical Engineering, Faculty of Engineering, Rajamangala University of Technology Thanyaburi, THAILAND, 12110.

†Krischonme Bhumkittipich is corresponding author and with CoE on Research and Teaching in Power and Energy System, Department of Electrical Engineering, Faculty of Engineering, Rajamangala University of Technology Thanyaburi, THAILAND, 12110, e-mail: krischonme.b@en.mutt.ac.th.

On the other hand, the solid state circuit breaker (SSCB) is growly developed by using the power electronics devices. The rapid operation and arcless are proposed of the power protection mainly devices that can operate under current and voltage abnormally. The SSCB is mostly based on thyristor switching device which can be modeled using turn-on and turn off conditions. The gate drive signals of Thyristors are generated using current and voltage detection technique. Fig. 2 shows the equivalent circuit of SSCB that consists of electric source, load, two SCRs and snubber circuit. The two SCRs or thyristor is operated when the abnormal condition occurred in upstream or downstream of SSCB. The driver circuit needs to generate the current source for thyristor. The surge arrester is also included into the SSCB equivalent circuit for protecting the surge or spike waveform form source.

The rest of this paper is organized as follows: section 2 presents the mechanical circuit breaker. The solid state circuit breaker is proposed in section 3. Section 4 proposes the comparison between mechanical circuit breaker and solid state circuit breaker under abnormal condition. The simulation result is showed in section 5 and finally, conclusion and discussion are given in section 6.

II. MECHANICAL CIRCUIT BREAKER

As previous section explained, the MCB is a switching device which can open or close a circuit in a small fraction of time, being its purpose the establishment or interruption of the circulation of current through the circuit under usual or unusual working conditions. Their working base is the electric arc that appears between their contacts when establishing or interrupting the electric current in the circuit. This electric arc is complex phenomenon where lots of physic interactions take place in a very short time. Therefore, the optimization of the operation of low voltage circuit breaker makes necessary a deep understanding of phenomena involved in the appearance electric arc. The operation of MCB is showed in Fig. 1 that consists of turn-on operation and turn-off operation [2].

$$dq_a / dt = d / dt (i_a / v_a) = (i_a dv_a / dt - v_a di_a / dt) / v_a^2 \quad (1)$$

$$dv_a = \left((1/\theta) \left((v_a / E_0)^2 - 1.0 \right) + (1/i_a) di_a / dt \right) v_a dt \quad (2)$$

where q_a is the conductivity of arc, v_a is the voltage across the arc, i_a is the current through the arc, τ is the arc time constant, θ is the angle between voltage and current arcs and E_0 is the constant arc voltage.

Arc electric models can be classified in different groups [5]. Thus, the following three groups are established: physical models, "Black box" models and models based on graphics and diagrams [6]. An example is the case where the characteristics of arc voltage are obtained experimentally. These characteristics can be used to estimate the arc-circuit interaction and can be expressed as shown in equation (3) [3]:

$$V_{arc} = k \cdot f(i, P_s, L) \quad (3)$$

where V_{arc} : Arc voltage, k : Characteristic constant of the switch and dependent on the geometry, gas type and pressure, i : Instantaneous current, P_s : Stagnation pressure in the arc area and L : Arc length. In particular, the arc models incorporated in the Arc Model Blockset are: Cassie, Siemens/Habedank, KEMA, Mayr, Modified Mayr, Schavemaker and Schwarz in MATLAB Blockset [3].

III. SOLID STATE CIRCUIT BREAKER

To interrupt the current, the SSCB must rapidly insert an energy-absorbing element into the circuit to limit the fault current. In addition to limiting the fault current, the SSCB can also limit the inrush current, even for capacitive loads, by gradually phasing in the switching device rather than making an abrupt transition from an open to a closed position [4]. A SSCB can offer the following advantages: limited fault current, limited inrush current, over voltage, even for capacitive loads, repeated operation with high reliability, reduced switching surges, improved power quality for unfaulted line [5].

According to improve the SSCB operation, SSCB is controlled by voltage or current source depended on the power electronics devices. There are many ways to implement the proposed driving device. Since it wants to provide sub-half cycle current limiting, they need to either use semiconductor devices with turn-off capability such as GTO, IGBT or IGCT or to use an thyristor switch together with a forced commutation circuit. The option offers the advantage of simple power circuit and very high speed operation. In contrast to motor drive applications, the switching loss of these devices turns out to be a minor issue in this application. Thyristor is selected in this study because it is based on the current limiting and simple driver circuit. The basically diagram of SSCB is operated of the microcontroller environment, and the switching on/off can be connected by using Thyristor performance as showed in Fig.3 [6]-[10]. The microcontroller unit (MCU) and signal conditioning are used to detect the abnormal conditions of power system and commands to Drive SCR block for generating the driver signal of thyristor.

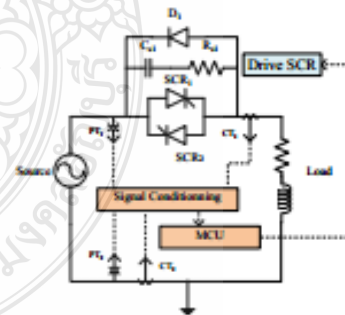


Fig.3. Block diagram of SSCB for low voltage applications

The main operation of SSCB is the detection method of abnormal conditions. There are many methods to measure and to detect the abnormal case in low voltage system. The root-mean-square (*rms*) method is proposed for overcurrent condition that uses a following equation (4) [12]:

$$v_i^{rms} = \sqrt{\frac{1}{N} \sum_{j=i}^{i+N-1} v_j^2} \quad (4)$$

where N is the samples per cycle of the fundamental, v_j is the j th sample of the recorded voltage waveform, v_i^{rms} is the i th sample of the calculated *rms* voltage and v_{rms} is delayed relative to the phase voltage by $N-1$ sample points due to the N -sample window.

The peak detection can be used to overvoltage condition. The following equation can be used to calculate voltage variation:

$$v_{peak} = \max |v(t-\tau)| \quad 0 < \tau < t \quad (5)$$

where $v(t)$ is the sampled waveform and t is an integer of one half cycle. For each sample, the maximum of the absolute value of the overvoltage the preceding half cycle is calculated.

The earth leakage current detection method is proposed the comparison of input value and output value of voltage or current as expressed in equation (6) below:

$$i_{com} = i_{in} - i_{out} > 25\text{mA} \quad (6)$$

where i_{com} is the command signal for SSCB, i_{in} is the input value of current and i_{out} is the output value of current. If i_{com} is more than the reference of earth leakage current (25 mA) under IEC standard, the driver circuit will generate the signal to turn-off the SSCB.

IV. COMPARISON BETWEEN MCB AND SSCB

The comparison between MCB and SSCB can be divided into two parts. The first part is structure of circuit and the second part is detection case. The structure of MCB as showed in Fig. 1, it is a switching device that can open or close a power circuit in a small time, being its purpose the establishment or interruption of the circulation of current through the circuit under usual or unusual working conditions. The interruption process of the current in a MCB is always carried out by an electric arc and magnetization process. The SSCB is power electronics switching that controlled the gate driver by current source. The detection method of both circuit breaker can be only compared two types of abnormal condition in the low voltage system which is the over current and short circuit. The voltage changing condition, the MCB cannot detect and operation any range of voltage variation. Table 1 shows the

comparison of operation time when the abnormal case occurred in the power system. It found the SSCB can operate faster than MCB under both abnormal conditions.

Fig. 3 shows load current and voltage waveform when SSCB turn-off operation on undervoltage condition. It is found that the power electronics switch will turn-off after 3 cycles of current waveform. Fig. 4 shows the operation of SSCB when over current occurred and Fig.5 shows the operation of SSCB when short circuit occurred at load side. The detection method of SSCB is detected current/voltage signal using *rms* detection.

Table 1. Operation time of SSCB and MCB when turn-off condition

| | Over current | Short Circuit |
|------|--------------|---------------|
| SSCB | 60-100 ms | 10-30 ms |
| MCB | 3-100 s | 0.1-1 s |

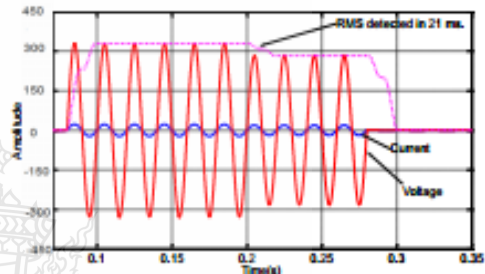


Fig.3. Turn-off state of SSCB when under voltage occurred.

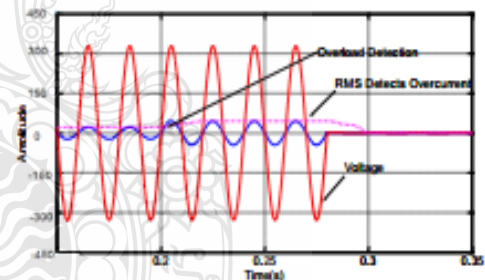


Fig.4. Turn-off state of SSCB when overcurrent occurred.

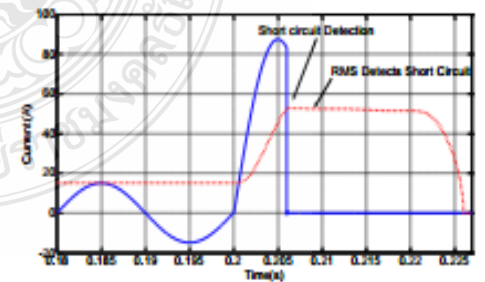


Fig.5. Turn-off state of SSCB when short circuit occurred at load side.

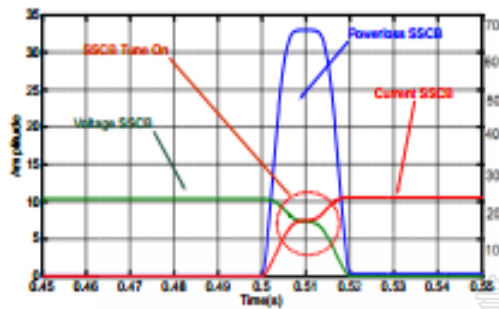


Fig.6. Power loss at Turn-on state of SSCB under normal condition.

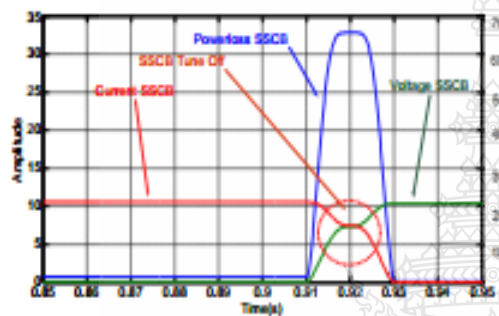


Fig.7. Power loss at Turn-off state of SSCB under normal condition.

Fig.6 shows three signals of SSCB when turn-on under normal condition using forced signal. The turn-on time is started at 50 ms and stop at 52 ms. The power loss of SSCB during turn-on and turn-off states will occur and change to heat on SSCB. Fig.7 also shows the three signals of SSCB but in case of turn-off under normal condition using forced signal. The turn-off conditions is started at 91 ms and stop at 93 ms. The maximum power loss is 33 W within 2 ms.

V. SIMULATION RESULTS

The simulation results are carried-out by using MATLAB/Simulink program. The equivalent circuit of MCB and SSCB can modify into electrical circuit blockset. The parameter of case study consists of 220V, 50Hz voltage source, 14.6Ω, 20 μH load and. MCB rating is 250V, 30A, 50Hz and SSCB rating 250V, 30A with 40A thyristor switch.

Fig.8 and Fig. 9 show the MCB voltage and Load current when turn-on and turn-off condition, respectively. The turn-on time is stated at 26 ms and tune off time is stopped at 35 ms. The electric arc occurred on the mechanical contact during turn-on and turn-off time. In the opposite way, Fig. 10 and Fig. 11 show the voltage and current waveform of SSCB under turn-on and turn-off condition, respectively. The turn-on time is stated at 25 ms and tune off time is stopped at 35 ms. The SSCB operation during turn-on and turn-off condition has arcless and rapid operation compared to MCB.

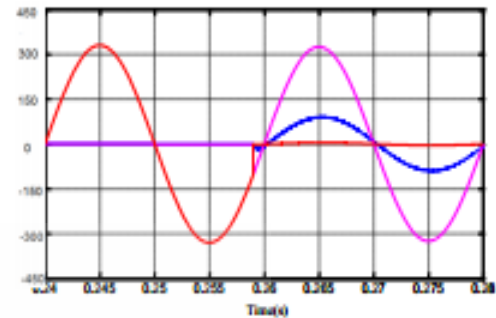


Fig.8. Turn-on state of MCB under normal condition.

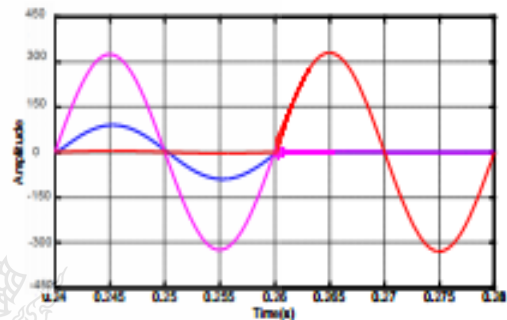


Fig.9. Turn-off state of MCB under normal condition.

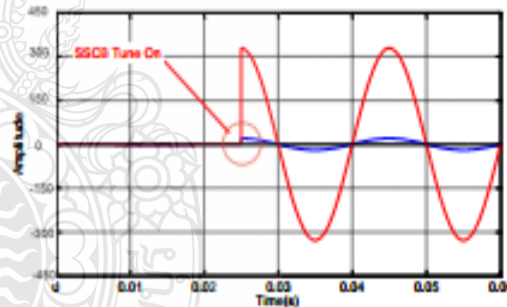


Fig.10. Turn-on state of SSCB under normal condition.

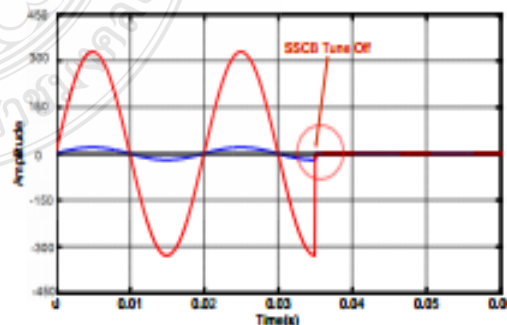


Fig.11. Turn-off state of SSCB under normal condition.

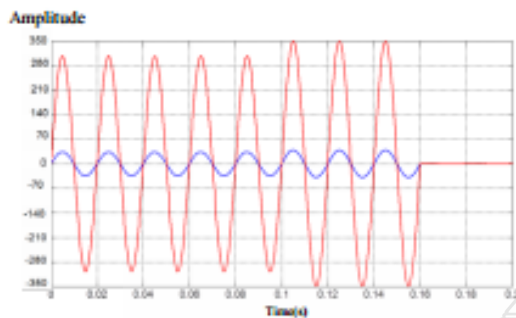


Fig.12.SSCB operation when overvoltage occurred.

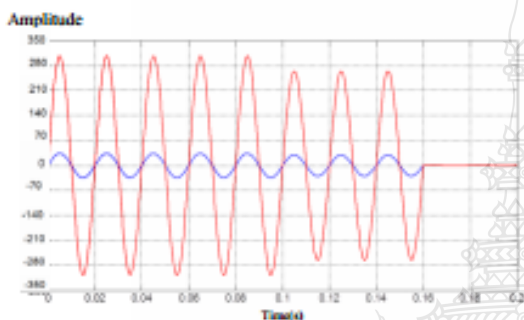


Fig.13. SSCB operation when undervoltage occurred.

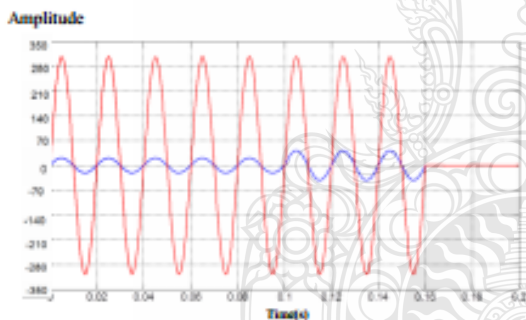


Fig.14. SSCB operation when overcurrent occurred.

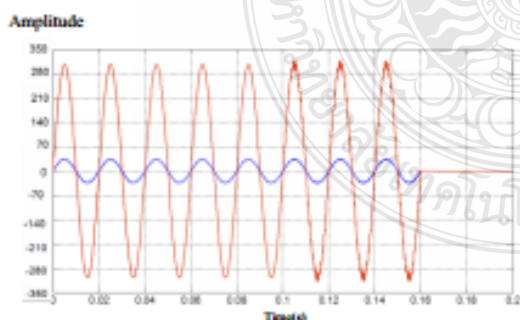


Fig.15. SSCB operation when arcing occurred.

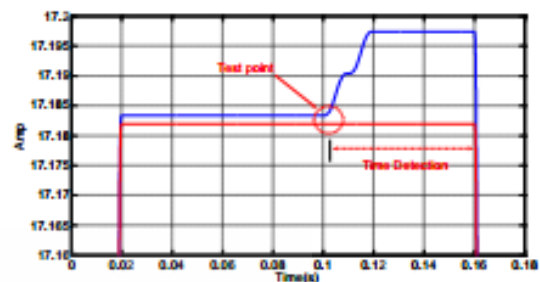


Fig.16. Time detection of earth leakage current.

Fig.12 to Fig. 15 show the operation of SSCB when overvoltage, undervoltage, overcurrent and arcing occurred, respectively. The rms detection method is used for overvoltage, undervoltage, overcurrent detection. The demodulation method is used for arcing detection because the current waveform during arcing was not sinusoidal waveform.

Fig.16 shows Time detection of earth leakage current before generate the driving signal for SSCB. The reference of earth leakage current is not more than 25 mA. If earth leakage current more than 25 mA at 100 ms, the command signal will generate the driving gate signal for SSCB at 160 ms. Therefore, the time detection is 60 ms.

VI. CONCLUSION

The comparison between MCB and SSCB is presented in this paper. The simulation result showed the turn-off and turn-on condition under normal and abnormal condition of MCB and SSCB. Moreover, the overvoltage, undervoltage, overload and arcing operations are also detected and controlled using signal conditioning methods. The SSCB selected the thyristor as power switch device. The case study under proposed designing used home applications as low voltage system for supporting the smart home in the future. The simulation results showed that the performance comparison between MCB and SSCB in order to ensure and verify this study for future applications.

REFERENCES

- [1] R. D. Garzon, High Voltage Circuit Breakers. Design and Applications. Marcel Dekker, 2002.
- [2] T. E. Browne, Circuit Interruption. Theory and Techniques. Marcel Dekker, 1984.
- [3] J. H. Brunke, "Circuit Breakers: Past, present and future," *Electra*, vol. 208, June, 2003.
- [4] Supawat K, Nathabhat P, and Krischonme B, "Simulation of SSCB Using IGBTs Model based on ORCAD/PSPICE program," 11th EMSES; 2013.
- [5] IEEE Standards Board, "IEEE Recommended Practice for Monitoring Electric Power Quality," IEEE Standards, IEEE Standards Coordinating Committee 22 on Power Quality: IEEE STD 1159-1995; Approved;1995.
- [6] Klingbeil, I Kalkner, W Heinrich, and et al, "Fast Acting Solid-State Circuit Breaker using state-of-the-art power electronic devices", EPE, Graz ;2001.

- [7] De Doncker, R. W, "Recent Power Electronics Developments for FACTS and Customed Power", Korea Germany Advanced Power Electronics Symposium,1998.
- [8] Jay R. Prigmore, Student Member, "Comparison of Four Different Types of Ferromagnetic," IEEE, July 2013, p.1491 – 1498.
- [9] William Long, Member IEEE, "Low- voltage Powercircuit Breaker Comparison of Test Requirement," International Electro technical Commission standard. IEC 60947-2.
- [10] IEEE Standards Board, "IEEE Recommended Practice for Monitoring Electric Power Quality," IEEE Standards Coordinating Committee 22 on Power Quality, IEEE STD 1159-1995, Approved 1995.
- [11] Vinceta Agarwal, "A Mathematical Model for IGBT," Asian Power Electronics Journal, Vol2, No 1Apr 2008.
- [12] Daud, K., et al. "New windowing technique detection of sags and swells based on continuous S-Transform (CST)", Proceeding on IJNCAA 2(4): 550-555



ประวัติผู้เขียน

| | |
|--------------------|---|
| ชื่อ-นามสกุล | นาย สุภวัฒน์ คำทิพย์ |
| วัน เดือน ปี | 11 ตุลาคม 2526 |
| ที่อยู่ | 10/1 หมู่ 5 ต.ฝ่ายหลวง อ.ลับแล จ.อุตรดิตถ์ 53130 |
| การศึกษา | สำเร็จการศึกษาระดับปริญญาตรี วิศวกรรมศาสตรบัณฑิต สาขา วิศวกรรมไฟฟ้า-ไฟฟ้ากำลัง จากมหาวิทยาลัยเทคโนโลยีราชมงคล ธัญบุรี เมื่อ พ.ศ. 2547 |
| ประสบการณ์การทำงาน | วิศวกรไฟฟ้า บริษัท ฟุจีสึ (ประเทศไทย) จำกัด ผู้ช่วยวิจัย ศูนย์วิจัยพลังงานทดแทนและระบบไฟฟ้า มทร.ธัญบุรี อาจารย์ผู้ช่วย ภาควิชาวิศวกรรมไฟฟ้า มหาวิทยาลัยเทคโนโลยี ราชมงคลธัญบุรีพ.ศ. 2557 ถึงปัจจุบัน |
| เบอร์โทรศัพท์ | 086-5230321 |
| อีเมล | supawatkamtip@gmail.com |

